

A. Q. Usmanqulov, K. Ismayilov,  
O. K. Adilov, Sh. R. Yaxshiboyev

# MATERIALLAR QARSHILIGI



**O'ZBEKISTON RESPUBLIKASI  
OLIY VA O'RTA MAXSUS TA'LIM VAZIRLIGI**

A.Q.Usmanqulov, K.Ismayilov,  
O.K.Adilov, Sh.R.Yaxshiboyev

**MATERIALLAR  
QARSHILIGI**

*(Oliy o'quv yurtlari uchun o'quv qo'llanma)*

**1-QISM**

TOSHKENT  
“MASHHIUR-PRESS”  
2018

531.534(075.8)

22.171

M 31

M 31 **Usmanqulov, A., Ismayilov, K. va boshq.**

**Materiallar qarshiligi** [Matn]: o'quv qo'llanma 1-qism. /  
A.Q.Usmanqulov, K.Ismayilov, O.K.Adilov, Sh.R.Yaxshiboyev.  
– Toshkent: "Mashhur-Press" nashriyoti, 2018. – 344 bet.

ISBN 978-9943-5567-8-2

O'quv qo'llanmada materiallarning xossalari tajribada tekshirish, brus-larning cho'zilishi (siqilishi), sijishi, buralishida kuchlanish va deformatsiya-lar hamda tekis kesim geometrik tavsiflari o'rganiladi.

O'quv qo'llanma O'zbekiston Respublikasi Oliy va o'rta maxsus ta'lif vazirligi tomonidan tasdiqlangan namunaviy dasturi asosida, 5340200 – "Bino va inshoot qurilishi" va 5310600 – "Yerusti transport tizimlari va ularning ekspluatatsiyasi" ta'lif yo'naliishlari talabalari uchun mo'ljallangan. Shuning-dek, o'quv qo'llanmadan soha mutaxassislari va ilmiy izlanuvchilar ham foy-dalanishlari mumkin.

UO'K 531.534(075.8)

KBK 22.171

**Mas'ul muharrir:**

**M.M.Mirsaidov** – t.f.d., professor, O'zRFA akademigi.

**Taqrizchilar:**

**X.Sh.Turayev** – Samarcand Davlat arxitektura-qurilish instituti professori, texnika fanlari doktori.

**O.I.Eshniyozov** – Samarcand Davlat Universiteti dotsenti, fizika-matematika fanlari nomzodi.

*O'zbekiston Respublikasi Oliy va o'rta maxsus ta'lif vazirligi oliy o'quv yurtlari ilmiy-uslubiy va o'quv-uslubiy birlashmalari faoliyatini muvofiqlash-tiruvchi kengashi darslik sifatida tavsija etgan.*

ISBN 978-9943-5567-8-2

© "MASHHUR-PRESS", 2018

© A.Q.Usmanqulov, K.Ismayilov va bosh., 2018

## ANNOTATSIYA

O'quv qo'llanma tashqi kuchlar ta'sirida materiallar qarshiligining tajriba natijalari bilan tasdiqlangan qonunlarini nazariy keltirib chiqarishni o'z ichiga oladi.

O'quv qo'llanmada materiallar qarshiligining asosiy muammolari, fan va texnikaning hozirgi kun talablari darajasida yoritilgan. Cho'zilish (sinqilish), siljish, materiallarning xossalarni tajribada tekshirish, tekis kesim yuzalarining geometrik tavsiflari, siljish va buralish bo'limlarini o'zlashtirib olish uchun yetarli darajada, qulay shaklda mukammal bayon qilingan. Uning har bir bobida masalalar yechib ko'rsatilgan va mustaqil yechish uchun topshiriqlar, tayanch iboralar va nazorat savollari, topshiriqlar keltirilgan.

O'quv qo'llanma O'zbekiston Respublikasi Oliy va o'rta maxsus ta'lim vazirligi tomonidan tasdiqlangan namunaviy dasturi asosida, 5340200 – Bino va inshoot qurilishi ta'lim yo'nalishi bo'yicha ba 5310600 – Yerusti transport tizimlari va ularning ekspluatatsiyasi ta'lim yo'nalishlari talabalari uchun mo'ljallangan. Shuningdek, o'quv qo'llanmadan soha mutaxassislari va izlanuvchilar ham foydalanishlari mumkin.

## **АННОТАЦИЯ**

Учебное пособие содержит теоретические выводы законов сопротивления материалов действию внешних сил, подкрепленные опытными данными.

В учебное пособие освещены основные вопросы сопротивление материалов, отражающие современный уровень науки и техники. Достаточно подробно изложены в удобной для усвоения форме разделы растяжение (сжатие), экспериментальные механические характеристики материалов, геометрические характеристики плоских сечений, сдвиг и кручение. В каждой его главе приведены решенные примеры, задачи для самостоятельного решения, даны ключевые слова и вопросы теста.

Учебное пособие написано на основе типовой программы Министерства высшего и среднего специального образования Республики Узбекистан, в направление образования 5340200 – Строительство зданий и сооружений и 5310600 – Наземные транспортные системы и их эксплуатация, в качестве учебного пособия для студентов университета и высших технических учебных заведений.

## **ANNOTATION**

The Scholastic allowance contains the theoretical findings of the laws of the resistance material action of external power, supported experienced data.

In Scholastic allowance is stated the main questions resistance material, reflecting modern levee sciences and technology. It is Enough are in detail stated in suitable for assimilation to form of the section sprain (the compression), experimentally mechanical features material, geometric features of the flat sections, shift and torsion.

The Scholastic allowance is written on base of the standard program Ministry high and average special forming the Republic Uzbekistan, in direction of the formation 5340200 – Building activity and buildings, 5310600 – a Mechanical engineers as scholastic allowance for student of the university and high technical educational institutions.

## SO‘ZBOSHI

Respublikamizda ma’rifat va ma’naviyatni yuksaltirish, ta’lim-tarbiya tizimini shakllantirish, uning milliy zaminini mustahkamlash, zamon talablari bilan uyg‘unlashtirish asosida jahon andozalari darajasiga ko’tarish, O‘zbekiston Respublikasining “Ta’lim to‘g‘risida”gi Qonuni va “Kadrlar tayyorlash milliy dasturi” talablarini amalga oshirishda hamda yosh avlodni yuqori saviyada tayyorlash bugungi kunning dolzarb vazifasidan biri bo‘lganligi sababli “Materiallar qarshiligi” fanidan o‘quv qo‘llanma tayyorlandi.

Aynan shu maqsadda, ushbu o‘quv qo‘llanma mualliflarning uzoq yillar davomida turli oliv o‘quv yurtlarida o‘qigan ma‘ruzalari, amaliy mashg‘ulotlarida to‘plagan va sinovdan o‘tgan tajribalari asosida yozilgan. Bunda “Materiallar qarshiligi” fanining so‘nggi yutuqligiga tayangan xorijiy mualliflarning fan sohasidagi yaratilgan yangi avlod darsliklari va o‘quv qo‘llanmalaridan foydalanib, talabalar tomonidan o‘z bilimlarini baholash va mustaqil nazorat qilish uchun tayyorlagan test savollari hamda zamonaviy pedagogik texnologiyalar asosida amaliy misol va masalalar keltirildi.

Bino va inshootlarni hisoblash uslublari zaminida ishonchlilik va iqtisodiy samaradorlik, ya’ni materiallarga sarflanadigan xarajatlarni kamaytirish masalasi ko‘ndalang turadi. Ishonchlilik tushunchasi esa konstruksiyaga qo‘yiladigan talablardan kelib chiqadi. Masalan, qurilish (metall, yog‘och, temir-beton va tosh-g‘isht) konstruksiyalari va mashinalari uchun chegaraviy holatlar bo‘yicha hisoblashdan maqsad loyihamayotgan konstruksiya va mashinlarda chegaraviy holatni yuzaga kelmasligini, ya’ni mustahkam, bikir va ustuvor bo‘lishini ta’minlashdan iborat.

O‘quv qo‘llanmani tayyorlashdá bakalavriat ta’lim yo‘nalishlarida tahsil olayotgan talabalar kelgusida mustahkam, bikir va ustuvor konstruksiyalarni loyihalashlari uchun “Metall konstruksiyalari”, “Yog‘och va plastmassa konstruksiyalari”, “Temir-beton va tosh-g‘isht konstruksiyalari” fanlaridan o‘tiladigan mavzular va ularga tegishli atama va iboralarga e’tibor qaratildi. Ayniqsa, “Materiallar qarshiligi” fanining asosiy tushunchalari, cho‘zilish va siqilish, mate-

riallarning xossalarini tajribada tekshirish, murakkab kuchlanish, siljish, tekis kesim yuzalarining geometrik tavsiflari va buralish mavzulari bo'yicha talabalar tomonidan o'z bilimlarini mustaqil tekshirish, o'zlashtirib olishlariga, ko'nikma va malakalarni ularda shakllantirish, kerakli o'quv materialini mustaqil izlash va topishga, amaliy faoliyatlarida bu bilimlarni qo'llashni o'rgatish hamda qobiliyatlarini rivojlantirish masalalarini kengroq olib berdi.

O'quv qo'llanma O'zbekiston Respublikasi Oliy va o'rta maxsus ta'lif vazirligi tomonidan tasdiqlangan "Materiallar qarshiligi" fani bo'yicha tayyorlangan namunaviy va ishchi dasturi asosida, oliy texnika o'quv yurtlari talabalarining tasavvurini kengaytirishga, bilimlarni mustaqil o'zlashtirib olishga, dastlabki bilimlarini rivojlantirishga va chuqurlashtirishga mo'ljallab tayyorlandi.

Mualliflar, qo'lyozma bilan tanishib qimmatli maslahatlar, fikr va ko'rsatmalar bergan t.f.d., professor T.M.Mavlonov, t.f.d., professor X.Sh.Turayev hamda t.f.n., dotsent V.F.Usmonov, dotsent A.Ibragimov va assistent S.S.Amanovlarga o'z minnatdorchiligini bildiradilar.

O'quv qo'llanma to'g'risidagi barcha fikr va mulohazalarni mualliflar jamoasi mammuniyat bilan qabul qiladi.

## **1-BOB.**

### **ASOSIY TUSHUNCHALAR**

#### **1.1-§. Materiallar qarshiligi masalalari va asosiy tushunchalar**

Amalda ishlatiladigan barcha bino, inshoot va mashinalar konstruksiya elementlariga qo'yiladigan asosiy talablar, ularning mustahkamligi, bikirligi va ustuvorligini ta'minlashdir.

Fanni o'rganishdan maqsad konstruksiyalarni ularning qismlari mustahkamligi, bikirligi va ustuvorligini ta'minlash usullarini yaratish va asoslashdan iborat.

Bu masalalarni hal qilish konstruksiya elementlarini to'g'ri loyihalash va hisoblash hamda bino, inshoot, mashina mexanizmlari va boshqalarning ekspluatatsiya jarayoni davomiyligi davrida to'liq va ishonchli ta'minlashdir.

Muhandislar inshootlarni qurishda mehnat ham, material ham eng kam sarf qilish maqsadida o'tkazilgan hisoblashlar natijasida ko'p variantli loyihalar tuzadi va ulardan eng arzon, qulay hamda yuqorida qo'yilgan uchta talablarga javob beradigan loyiha tanlab olinadi.

*Materiallar qarshiligi* – mashina va inshoot qismlarining mustahkam, bikir va ustuvor bo'lishini ta'minlashda zarur bo'lgan zo'riqish va deformatsiyalarni aniqlash usullarini o'rgatuvchi fandir.

*Mustahkamlik* – konstruksiya elementlarining yemirilmasdan tashqi kuchga qarshilik ko'rsatish qobiliyatidir.

*Bikirlik* – konstruksiya elementlarining tashqi kuch ta'siridan katta deformatsiya hosil qilmaslik qobiliyatidir.

*Ustuvorlik* – tashqi kuch ta'sirida konstruksiya elementlarining dastlabki muvozanat holatini saqlash qobiliyatidir.

Nazariy mexanika fanining materiallar qarshiligi fanidan farqi shundaki, nazariy mexanika fanida jism *absolyut qattiq jism*, ya'ni

deformatsiyalanmaydi deb qaraladi. Materiallar qarshiligi fanida esa aksincha, qattiq jism deformatsiyalanadi deb qaraladi.

Nazariy mexanikada absolyut qattiq jism qaralganligi sababli tashqi kuchlar ta'sirida bo'lgan absolyut qattiq jismlar o'z geometrik o'lchamlari va shaklini o'zgartirmaydi. Shu sababli nazariy mexanikada jismlar mustahkamlikka, bikirlilikka va ustuvorlikka tekshirilmaydi.

Materiallar qarshiligi fanida jismlar deformatsiyalanadi deb qaraladi, ya'ni tashqi kuchlar ta'siri natijasida jismlarning geometrik o'lchamlari yoki shakli o'zgaradi. Jismlarning tashqi kuchlar ta'sirida geometrik o'lchami yoki shaklini o'zgartirishiga *deformatsiya* deb ataladi va u quyidagilarga bo'linadi:

1. Jism tashqi yukdan ozod qilingandan keyin, u o'zining oldindagi o'lchamlari va shaklini to'liq qayta tiklasa, bunday deformatsiyaga *elastik deformatsiya* deyiladi.

2. Jism tashqi yukdan ozod qilingandan keyin, u o'zining oldindagi o'lchamlari va shaklini qayta tiklay olmasa, bunday deformatsiyaga *plastik (goldiq) deformatsiya* deyiladi.

### • 1.2-§. Konstruksiya elementlari va tuzilmalari

Amaliyotda uchraydigan konstruksiya elementlari quyidagi guruhlarga bo'linadi.

1. *Bruslar guruhi*. Ko'ndalang kesim o'lchamlari uzunlik o'lchamiga nisbatan juda kichik bo'lgan konstruksiya elementlariga *bruslar* deb ataladi (1.1, a-chizma) va ular quyidagilarga bo'linadi:

a) cho'zilish yoki siqilishga qarshilik ko'rsatuvchi ingichka brus *sterjen* deb ataladi (1.1, b-chizma).

b) buralishga qarshilik ko'rsatuvchi brusga *val* deb ataladi, masalan, aylanma harakatni elektrodvigateldan stanokka uzatuvchi sterjen (1.1, c-chizma).

v) egilishga qarshilik ko'rsatuvchi brusga *to'sin* deb ataladi (1.1, d-chizma).

2. *Plastinka yoki plita yoxud qobiqlar guruhi*. Qalinligi qolgan boshqa o'lchamlariga nisbatan juda kichik bo'lgan tekis sirt bilan chegaralangan konstruksiya elementlariga *plita* yoki *plastinka* deb ataladi (1.1, e-chizma).

	Konstruksiya elementlari nomlanishi	Konstruksiya elementlari turlari ko'rinishi	Konstruksiya elementlari turlari hisob sxemalari
a	Brus		O'q chiziqlar O'q chiziq
b	Sterjen		↔
c	Val		↔ O'q chiziq
d	To'sin		↓ O'q chiziq
e	Plita yoki plastinka		O'rta tekishlik
f	Qobiq		O'rta sirt
g	Massiv		
h	Ferma		
i	Rama		
k	Arka		

### 1.1-chizma. Konstruksiya elementlari

3. Qaliligi qolgan boshqa o'lchamlariga nisbatan juda kichik bo'lgan egrı sirt bilan chegaralangan konstruksiya elementlariga *qobiq* deb ataladi (1.1, f-chizma).

4. *Massivlar guruhi*. Uchala o'lchami bir xil tartibda bo'lgan konstruksiya elementlariga *massiv* deb ataladi (1.1, g-chizma).

5. *Ferma* deb bir necha sterjenlarni sharnirlar yordamida biriktirishdan hosil bo'lgan geometrik o'zgarmas sistemaga aytildi (1.1, h-chizma).

6. *Rama* deb bir necha sterjenlarni bikir qilib biriktirishdan hosil bo'lgan sterjenlar sistemasiga aytildi (1.1, i-chizma). Ramalar yuklanganda sterjenlari egilib, ular tutashgan nuqtalaridagi to'g'ri burchaklari o'zgarmaydi.

7. O'zaro bitta oraliq sharnir vositasida biriktirilgan va asosga ikkita qo'zg'almas sharnirli tayanchlar yordamida tiralgan ikki egrı brusdan tashkil topgan geometrik o'zgarmas sistema *uch sharnirli arka* deb ataladi (1.1, k-chizma).

### 1.3-§. Kuchlar tasnifi

Bino, inshootlar va mashina konstruksiyalari ish va ekspluatatsiya jarayonida turli yuklar ta'siriga qarshilik ko'rsatadi. Bu yuklarni quyidagi guruhlarga bo'lish mumkin (1.1-jadval).

*Sirtqi va hajmiy yuklar*. Jismga qo'shni bo'lgan ikkinchi jismdan o'tuvchi kuchlarga *sirtqi kuchlar* deb ataladi.

Jismning ichki barcha zarrachalariga ta'sir etuvchi kuchlarga *hajmiy kuchlar* deb ataladi. Hajmiy kuchga misol qilib jismning xususiy og'irligini, inersiya kuchlarini, magnit tortish kuchlarini va boshqalarni keltirish mumkin.

Masalalarni yechish oson bo'lishi uchun muhandislik amaliyotida materiallar qarshiligidagi hajmiy kuchlar, odatda, chiziq bo'yicha taqsimlangan kuchlar bilan yoki jismning ayrim bo'laklarga ajratilib shu bo'laklarning og'irlilik markazlariga qo'yilgan to'plangan kuchlar jismning butun hajmiga taqsimlangan deb qaraladi.

*Taqsimlangan va to'plangan yuklar*. Sirtqi kuchlar konstruksiya sirti yuzasiga yoki uning elementining biror sirti yuzasi bo'yicha taqsimlangan bo'lishi mumkin. Taqsimlangan kuchlar *q* intensivlik

bilan xarakterlanib, u ixtiyoriy qonun asosida o'zgaruvchi yoki doimiy bo'lishi mumkin. Doimiy yuk element sirti bo'yicha tekis taqsimlangan bo'ladi. Sirt bo'yicha taqsimlangan kuch yuza birligiga to'g'ri kelgan kuchning miqdori bilan xarakterlanib, o'lchov birligi N/m<sup>2</sup> (Pa).

Sterjenlarni hisoblashda sirt bo'yicha taqsimlangan kuchlar sterjen uzunligi bo'yicha chiziqli qonun asosida taqsimlangan kuchlarga keltiriladi. Chiziq bo'yicha taqsimlangan uzunlik birligiga to'g'ri kelgan kuchning miqdori bilan xarakterlani, b o'lchov birligi N/m. Taqsimlangan sirtqi kuchlarga misol sifatida silindrik idishdag'i suyuqlikning bosimini, qorning bino tomiga bosimini, shamolning ta'sirini va boshqalarini keltirish mumkin.

Konstruksiya o'lchamiga nisbatan juda kichik sirtiga ta'sir etuvchi kuchlar *to'plangan kuchlar* deb ataladi va ularni *bir nuqtaga qo'yilgan* deb faraz qilamiz, to'plangan kuchlarning o'lchov birligi Nyuton (N).

*Statik va dinamik yuklar.* Yuk o'z miqdori, qo'yilgan nuqtalari yoki yo'nalishlarini sekin-asta oxirgi qiymatigacha o'zgartiradigan, ya'ni tezlanishlari e'tiborsiz bo'lgan yuklarga *statik yuklar* deyiladi.

Yuklar o'z miqdor va qo'yilgan nuqtalarni juda qisqa vaqt mobaynida juda katta tezlik bilan o'zgartirsa, bunday yuklarga *dinamik yuklar* deyiladi. Bunda konstruksiya tebranishlar chastotasi va inersiya kuchlarini e'tiborga olish shart va ularni aniqlash, hisoblash ishlarining katta qismini tashkil etadi.

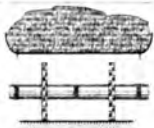
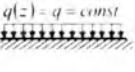
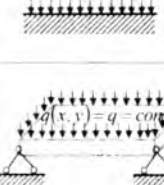
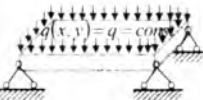
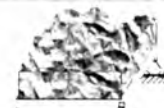
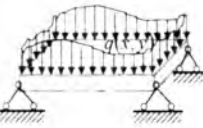
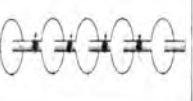
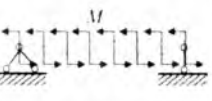
*Doimiy va vaqtincha yuklar.* Yuklarni bunday turlarga bo'lish konstruksiya elementlari hisoblash usuli bilan asoslanib, ayrim holarda ishonchilik yuk koefitsiyentini kiritish va ehtiyyotlik koefitsiyentlarini kiritish bilan tushuntiriladi.

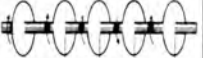
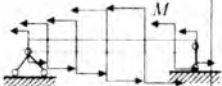
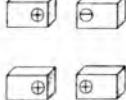
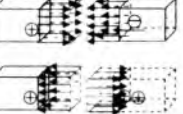
Konstruksiyalarni ekspluatatsiya qilish jarayonida ta'sir etadigan yuklar doimiy yuklardir (masalan, xususiy og'irligi).

Vaqtincha yuk ma'lum bir davrda ta'sir etadi, masalan, odamlarning va jihozlarning bino yopilmalariga bosimi, shamolning minoraga bosimi va boshqalar. Ekspluatatsiya jarayonida bu yuklarning ta'sir etish xarakteri va miqdori jiddiy o'zgarishi mumkin.

## Kuchlar tasnifi

1.1-jadval

Konstruksiya elementlari turlari	Ta'sir kuchlari ko'rinishi	Yuklar yoki kuchlarning nomi	Yuklar yoki kuchlarning o'lechov birligi
<i>Sirtqi yuklar yoki kuchlar</i>			
		<i>To'plangan yoki bir nuqtaga ta'sir etuvchi yuk</i>	$N$
		<i>Chiziq bo'yicha tekis taqsimlangan yuk</i>	$\frac{N}{m}$
		<i>Chiziq bo'yicha notejis taqsimlangan yuk</i>	$\frac{N}{m}$
		<i>Yuza bo'yicha tekis taqsimlangan yuk</i>	$\frac{N}{m^2}$
		<i>Yuza bo'yicha notejis taqsimlangan yuk</i>	$\frac{N}{m^2}$
		<i>To'plangan yoki bir nuqtaga ta'sir etuvchi yuk</i>	$N \cdot m$
		<i>Chiziq bo'yicha tekis taqsimlangan moment</i>	$N \cdot m / m$

			Chiziq bo'yicha notekis taqsim- langan moment	$N \cdot m/m$
1	<i>Hajmiy yuk yoki kuchlar</i>			
			Jism larning xususiy og'irligi	$N/m^3$
			Aylanayotgan jismning inersiya kuchlari	$N/m^3$
			Magnitlarning tor- tishish kuchlari	$N/m^3$

Sirtqi kuchlardan tashqari konstruksiya elementlari temperaturasining o'zgarishi (qizishi va sovushi) natijasida ham hosil bo'ladi.

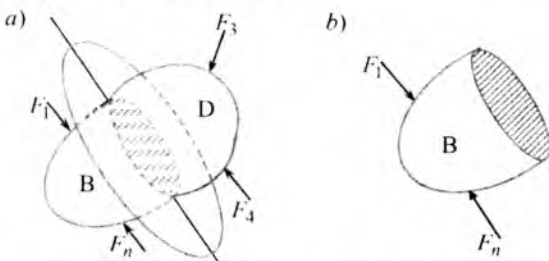
#### 1.4-§. Ichki kuchlar. Kesish usuli

Jism tashqi kuchlar ta'sirida, garchi muvozanatda bo'lsa ham, ma'lum darajada deformatsiyalanadi, buning natijasida jismning zarrachalari bir-biridan qochishga yoki o'zarlo yaqinlashishga intiladi, ana shu intilishda hosil bo'lgan reaksiya kuchlari zarrachalar muvozanatini saqlaydi. Zarrachalar muvozanatini saqlovchi reaksiya kuchlar *ichki kuchlar* yoki *zo'riqish kuchlari* deb ataladi.

Jism kesimlarida hosil bo'ladigan zo'riqish kuchlarining teng ta'sir etuvchisini topish uchun kesish usulidan foydalilanadi. Jismga qo'yilgan kuchlar sistemasi va unda hosil bo'lgan reaksiya kuchlari ta'sirida muvozanatda bo'ladi (1.2-chizma).

Qaralayotgan jismning kesimlarida hosil bo'lgan ichki kuchlarni aniqlash uchun *kesish usulidan* foydalanamiz. Kesish usulida ketma-ket quyidagi amallarni tartib bilan bajarish zarur:

1. Kuchlar sistemasi ta'sirida muvozanatda bo'lgan jismni ixtiyoriy kesimidagi ichki kuchni aniqlash uchun, jismning shu kesimdan o'tuvchi tekislik bilan fikran kesib, ikki bo'lakka (B – chap va D – o'ng) ajratiladi (1.2, a-chizma);



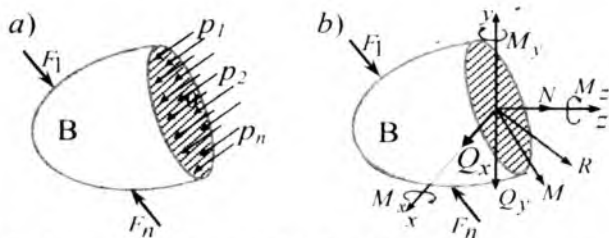
1.2-chizma. Tashqi kuchlar ta'sirida muvozanat holatdagi jism

2. Ajratilgan bo'laklardan biri, masalan, o'ng tomoni D tashlab yuborib, chap tomonini olib qolamiz, bunda olib qolingga qismining muvozanati buziladi (1.2, b-chizma);

3. Olib qolingga B qismning muvozanati buzilmasligini ta'minlash maqsadida tashlab yuborilgan qismining ta'sirini  $p_1, p_2, p_3, \dots, p_n$  kuchlar bilan almashtiramiz, bu kuchlar kesim yuzi bo'yicha ixtiyoriy qonun asosida taqsimlanadi (1.3, a-chizma), ular kesimning har bir nuqtasiga ta'sir etadi. Natijada jismning olib qolingga qismining muvozanati tiklanadi.

4. Olib qolingga qism uchun statik muvozanat tenglamalarini tuzamiz:

$$\boxed{\begin{aligned} \sum X &= 0; & \sum Y &= 0; & \sum Z &= 0; \\ \sum M_x &= 0; & \sum M_y &= 0; & \sum M_z &= 0. \end{aligned}} \quad (1.1)$$



1.3-chizma. Tashqi va ichki kuchlar ta'sirida muvozanat holatdagi jism

Tashqi kuchlar ta'siridan jismda hosil bo'lgan noma'lum ichki kuchlarning soni cheksiz ko'p bo'lgani sababli ularni (1.1) tenglamalardan bevosita topib bo'lmaydi, chunki zo'riqish kuchlari kesim bo'yicha ixtiyoriy qonun asosida taralgan. Demak, zo'riqish kuchlarining yoyilish qonunini bilish maqsadida tashqi kuchlar ta'siridan jismda hosil bo'ladigan deformatsiyani tekshirish lozim. Deformatsiyaning hosil bo'lish xarakteriga qarab, jism kesim yuzasida zo'riqish kuchlarining taqsimlanish qonunini bilish mumkin. Nati-jada jism kesim yuzasiga ta'sir etayotgan qo'yilgan zo'riqish kuchlarni birorta bosh vektor  $R$  va bosh moment  $M$  bilan almashtirish mumkin bo'ladi (1.3, b-chizma). Qaralayotgan masalani (1.1) tenglamalar yordamida yechish mumkin bo'ladi.

Demak, bulardan chiqadigan *xulosa* shuki, ichki kuchlar masalasini to'liq hal qilish uchun uning quyidagi tomonlarini tekshirish lozim ekan:

- statik tomoni, ya'ni jismning tekshirilayotgan qismining muvozanat tenglamalarini tuzish;
- geometrik tomoni, ya'ni jismning deformatsiyasini tekshirish;
- fizik tomoni, ya'ni jism deformatsiyasi bo'yicha ichki kuchlarning taqsimlanish qonunini bilish;
- sintez, ya'ni masalaning statik, geometrik va fizik tomonlarini o'rGANISH natijasida keltirib chiqarilgan tenglamalarni ichki kuchiga nisbatan yechish.

Bosh  $R$  vektorni koordinata o'qlari bo'yicha tashkil etuvchi  $N_z$  bo'ylama va  $Q_x$ ,  $Q_y$  ko'ndalang kuchga, bosh  $M$  momentni burov-

chi  $M_x$  va  $M_y$ ,  $M_z$  eguvchi momentlarga ajratamiz (1.3, b-chizma). Bular ichki kuch omillari deb ataladi.

Bu ichki kuch omillaridan konstruksiya elementlarida quyidagi deformatsiyalar hosil bo'ladi.

### 1.5-§. Deformatsiyalar to'g'risida tushuncha

Deformatsiya va ko'chishning farqini bilish shart.

Jism nuqtalari holatining fazoda o'zgarishi *ko'chish* deb ataladi.

Jism shakli va o'lchamlarining o'zgarishiga *deformatsiya* deb ataladi.

Deformatsiyalar *chiziqli* va *burchak* ko'rinishida bo'lishi mumkin.



### 1.4-chizma. Deformatsiyalar

Chiziqli deformatsiya jism o'lchamlarining o'zgarishini xarakterlaydi. U *absolyut chiziqli* va *nisbiy*  $\varepsilon = \Delta l / l$  bo'ladi. Bu ikki deformatsiyaning nisbiy deformatsiyasidan foydalanish maqsadga muvofiq, chunki u jism o'lchamlariga bog'liq emas.

Burchak deformatsiya jism shaklining o'zgarishi bilan xarakterlanadi va odatda siljish burchak deb ataladi.

*Siljish burchak* – bu dastlabki to'g'ri burchakning  $\gamma = \alpha + \beta$  o'zgarishidir [16–24-bet].

To'la deformatsiya chiziqli va burchak deformatsiyalarning yig'indisiga teng (1.4-chizma).

## 1.6-§. Deformatsiya turlari

Jismga ta'sir etayotgan kuchlarning qo'yilish xarakteriga qarab jism kesimi bo'ylab tarqalish qonuni bilan farq qiluvchi kuchlanishlarga asosan, deformatsiya bir nechta turlarga ajraladi:

1. *Cho'zilishi (siqilish) deformatsiyasi* – ko'ndalang kesimda faqat bitta nolga teng bo'limgan ichki kuch – bo'ylama kuch ta'sir etadi.

2. *Siljish deformatsiyasi* – ko'ndalang kesimda faqat ko'ndalang kuch ta'sir etadi.

3. *Buralish deformatsiyasi* – ko'ndalang kesimda faqat burovchi moment ta'sir etadi.

4. *Egilish deformatsiyasi* – ko'ndalang kesimda eguvchi moment va ko'ndalang kuch ta'sir etadi.

5. *Murakkab qarshilik* – bir nechta oddiy deformatsiyalarining bir vaqtida ta'siri – cho'zilish-siqilish, buralish, egilish.

## 1.7-§. Kuchlanishlar to'g'risida tushunchalar

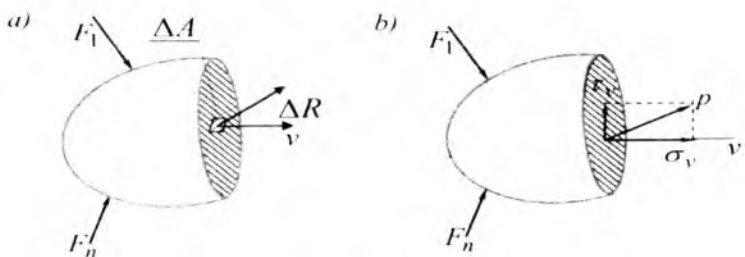
Jism kesimining birlik yuzalariga ta'sir etuvchi ichki kuch intensivligi *kuchlanish* deb ataladi.

Jism kesimining biror nuqtasi atrofida elementar yuzacha  $\Delta A$  ajratamiz. Bu yuzachaga ta'sir etuvchi ichki kuchlarning teng ta'sir etuvchisini  $\Delta R$  bilan belgilaymiz. Bu ichki kuchning elementar yuzachaga nisbati  $o'rta kuchlanish$  deyiladi va  $p_{o'r}$  bilan belgilanadi, uning qiymati (1.5, a-chizma) quyidagi formuladan topiladi:

$$p_{o'r} = \frac{\Delta R}{\Delta A} \quad (1.2)$$

Ajratilgan elementar yuzacha ( $\Delta A$ ) kichiklashtirilib borilsa, kesm nuqtasidagi ichki kuch intensivligi shuncha haqiqatga yaqinroq bo'ladi. Agar elementar yuzacha ( $\Delta A$ ) nolga intilsa, shu nuqtadagi kuchlanish *haqiqiy kuchlanish* deb ataladi va quyidagicha ifodalanadi [30, part I, p-22]:

$$p = \lim_{\Delta A \rightarrow 0} \frac{\Delta R}{\Delta A} \quad (1.3)$$



### 1.5-chizma. Jism kesimidagi kuchlanishlar

Tekshirilayotgan kesimning qaralayotgan nuqtasidagi kuchlanish vektor miqdordir, bu vektoring yo'nalishi  $\Delta A \rightarrow 0$  dagi  $\Delta R$  ning chekli yo'nalishiga to'g'ri keladi. Kuchlanish o'lchov birligi  $N/m^2$ .

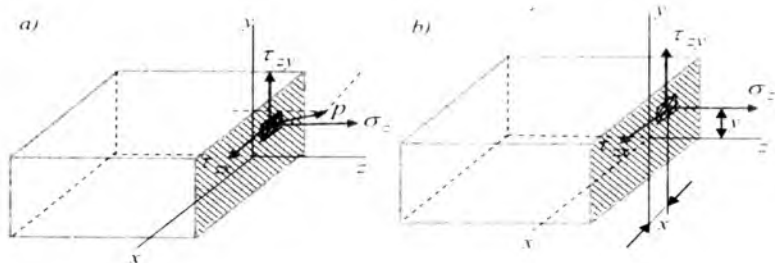
Jism kesimining biror nuqtasiga ta'sir qilayotgan kuchlanish  $\rho$  ni kesim yuzaga tik va parallel yo'nalgan ikkita tashkil etuvchiga ajratamiz (1.5, b-chizma). Bu tashkil etuvchilarning birinchisi *normal kuchlanish* va ikkinchisi *urinma kuchlanish* deyiladi. Normal kuchlanish  $\sigma$ , urinma kuchlanish  $\tau$  harflari bilan belgilanadi. Bu uchala kuchlanishlar orasida quyidagi munosabat mavjud [30, part I, p-22]:

$$p = \sqrt{\sigma^2 + \tau^2} \quad (1.4)$$

Kuchlanish  $P$  vektorni koordinata o'qlariga parallel bo'lgan uchta tashkil etuvchiga ajratish qulaylik tug'diradi (1.6-chizma).

Chizmada urinma kuchlanishlar ikkita indeks bilan ko'rsatilgan, ulardagi birinchi indeksi kuchlanish qaysi yuzada yotishini, ikkinchi indeksi esa kuchlanish qaysi o'qqa parallel yo'nalganligini ko'rsatadi [30, part I, p-28].

$$dN_z = \sigma_z dA \quad dQ_y = \tau_{zy} dA \quad dQ_x = \tau_{zx} dA$$



### 1.6-chizma. To'la kuchlanishning tashkil etuvchilarini

Bosh vektorning tashkil etuvchilarini topamiz:

$$\boxed{N_z = \int_A \sigma_z dA, \quad Q_y = \int_A \tau_{zy} dA, \quad Q_x = \int_A \tau_{zx} dA.} \quad (1.5)$$

Elementar momentlarni topamiz:

$$dM_z = (x\tau_{yz} + y\tau_{xz})dA, \quad dM_y = \sigma_z x dA, \quad dM_x = \sigma_z y dA.$$

Bosh momentning tashkil etuvchilarini topamiz:

$$\boxed{M_z = \int_A (x\tau_{zy} + y\tau_{zx})dA, \quad M_y = \int_A \sigma_z x dA, \quad M_x = \int_A \sigma_z y dA.} \quad (1.6)$$

### 1.8-§. Materiallar qarshiligining asosiy gipotezalari

Materiallar qarshiligidagi konstruksiya elementlarini hisoblashda material va detallarning bir-biriga ta'sir ko'rsatish xarakteriga nisbatan quyidagi gipotezalar qabul qilingan:

1-gipoteza. *Konstruksiya elementlari materiali yaxlit (g'ovaksiz) deb hisoblanadi*, ya'ni materialning diskret va atom tuzilishi e'tiborga olinmaydi. Jism materiali deformatsiyagacha va deformatsiyadan keyin ham uzlusizdir. Buning natijasida deformatsiya va kuchlanishlarni koordinatalarning uzlusiz funksiyasi deb qaraladi. Bu gipoteza mayda zarrachali jismlar uchun juda qo'l keladi. Bu gipoteza real materiallar uchun matematik analizning uzlusiz funksiya formulalarini ishlatishtga asos bo'ladi.

2-gipoteza. *Konstruksiya elementlari materiali bir jinsli va izotrop deb qaraladi*, ya'ni material har bir nuqtada, har bir yo'na-

lishda bir xil xususiyatga ega deb hisoblanadi. Metall bir jinsli materiallardan bo'lib, beton, tosh va g'ishtning bir jinsli xususiyati kamroqdir.

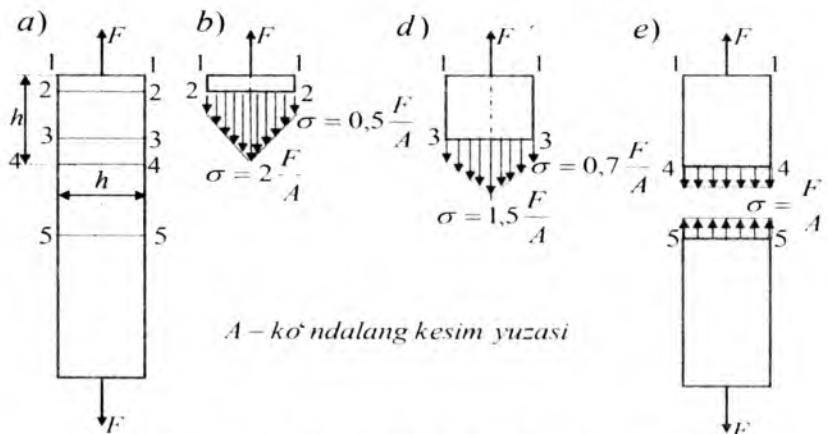
3-gipoteza. *Konstruksiya elementlari yuklanishdan oldin unda boshlang'ich zo'riqish kuchlari bo'lmaydi deb faraz qilinadi*. Masa-lan, po'lat detallarning notekis sovishi, yog'ochning notekis qurishi yoki betonning notekis qotishi natijasida ularda boshlang'ich zo'riqish kuchlari paydo bo'ladi. Ushbu boshlang'ich zo'riqish kuchlari bizga umuman noma'lum, agar ularning miqdori tashqi yuklar ta'siridan jismda hosil bo'ladigan qo'zg'aluvchi zo'riqish kuchlari miqdoriga qaraganda juda ham kichik bo'ladi. Agar boshlang'ich zo'riqish kuchlari sezilarli miqdorda ekanligi ma'lum bo'lsa, ularni tajriba yo'li bilan aniqlash lozim bo'ladi.

4-gipoteza. *Kuchlar ta'sirining mustaqillik prinsipi*. Ushbu prinsipga asosan kuchlar sistemasi ta'sirining natijasida bu kuchlarni yo ketma-ket, yoki tartibsiz qo'yilishidan hosil bo'ladigan ta'sirlar natijasiga teng deb faraz qilinadi. Ushbu prinsipdan nazariy mexanika keng ko'lamda foydalanilsa ham, deformatsiyalanuvchi jismlar uchun undan:

1) kuch qo'yilgan nuqtaning ko'chishi jism o'lchamlariga nisbatan juða ham kichik bo'lish sharti;

2) ko'chishlar, ta'sir qiluvchi kuchlarga proporsional, ya'ni chiziqli bog'langan bo'lish sharti bajarilgan taqdirdagina foydalanish mumkin.

5-gipoteza. *Sen-Venan prinsipi*. Jismga qo'yilgan kuchning ta'sir nuqtasidan yetarlicha uzoqda joylashgan nuqtalarda hosil bo'ladigan ichki kuchlar xarakteri tashqi kuchning ta'sir xarakteriga bog'liq emas.



1.7-chizma. To'plangan kuchdan cho'zilgan sterjen

Bu prinsip asosida jismga u qadar katta bo'limgan yuzachalar-da taqsimlangan kuchlar shu kuchlarning teng ta'sir etuvchisini ifodalovchi bitta to'plangan kuch bilan almashtirilishi mumkin, buning natijasida hisoblash ishi osonlashadi. Misol tariqasida to'plangan kuchdan cho'zilgan sterjen 1.7, a-chizmada keltirilgan, 1.7, b-chizmada 2-2 kesimda kuchlanish tarqalish keskin o'zgarishi, 1.7, d-chizmada 3-3 kesimda kuchlanish tarqalish asta-sekin tekislana borishi, 1.7, e-chizmada kuch qo'yilgan kesimda yetarlicha uzoqdagi 4-4 kesimda kuchlanish tekis tarqalganligi ko'rsatilgan [30, part I, p-45].

### Tayanch iboralar:

Materiallar qarshiligi, zo'riqish va deformatsiya, mustahkamlik, bikirlik, ustuvorlik, absolyut qattiq jism, deformatsiyalanuvchi qattiq jism, geometrik o'lchami va shakli, elastik, plastik, bruslar, sterjen, val, to'sin, plastinka yoki plita, qobiq, massiv, ferma, rama, sirtqi kuch, hajmiy kuch, to'plangan kuch, Nyuton (N), statik yoki dinamik yuklar, ichki kuch yoki zo'riqish kuchi, reaksiya kuchi, kesish usuli, statikaning muvozanat tenglamalari, cho'zilish (siqilish) deformatsiyasi, buralish, egilish, siljish, kuchlanish, o'rtacha kuchlanish, haqiqiy kuchlanish, normal va urinma kuchlanishlar, materiali yaxlit (g'ovaksiz), matematik analizning uzliksiz funksiyalari, bir

jinsli va izotrop, boshlang'ich zo'riqish kuchlari, kuchlar ta'sirining mustaqillik prinsipi, Sen-Venan prinsipi.

### **Test savollari:**

#### **1. Materiallar qarshiligi fani nimani o'rgatadi?**

- mashina va inshoot elementlarining mustahkam, bikir va ustuvor bo'lishini ta'minlashda zarur bo'lgan zo'riqish va deformatsiyalarni aniqlash usullarini;
- mashina va inshoot elementlarining fizik-ximik, biologik xossalarni;
- mashina va inshoot elementlarini tayyorlash va ishlatalish jarayonini;
- mashina va inshoot elementlarining zanglash, yemirilish jarayonlarini.

#### **2. Mustahkamlilik – bu:**

- konstruksiya elementlarining yemirilmasdan tashqi kuchga qarshilik ko'rsatish qobiliyatidir;
- konstruksiya elementlarining yemirilmasdan tashqi kuchga qarshilik ko'rsata olmaslik qobiliyatidir;
- konstruksiya elementlarining zanglamasdan tashqi kuchga qarshilik ko'rsatish qobiliyatidir;
- konstruksiya elementlarining yemirilmasdan tashqi va ichki kuchlarga qarshilik ko'rsatish qobiliyatidir.

#### **3. Bikirlik – bu:**

- konstruksiya elementlarining tashqi kuch ta'siridan katta deformatsiya hosil qilmaslik qobiliyatidir;
- konstruksiya elementlarining tashqi kuch ta'siridan kichik deformatsiya hosil qilmaslik qobiliyatidir;
- konstruksiya elementlarining tashqi kuch ta'siridan deformatsiya hosil qilmaslik qobiliyatidir;
- konstruksiya elementlarining tashqi kuch ta'siridan murakkab deformatsiya hosil qilmaslik qobiliyatidir.

#### **4. Ustuvorlik – bu:**

- tashqi kuch ta'sirida konstruksiya elementlarining dastlabki muvozanat holatini saqlash qobiliyatidir;

- tashqi kuch ta'sirida konstruksiya elementlarining dastlabki muvozanat holatini saqlay olmaslik qobiliyatidir;
- tashqi kuch ta'sirida konstruksiya elementlarining dastlabki muvozanat holatiga qaytmaslik qobiliyatidir;
- tashqi kuch ta'sirida konstruksiya elementlarining dastlabki muvozanat holatini yo'qotish qobiliyatidir.

### **5. Deformatsiya – bu:**

- qattiq jismlarning tashqi fizik kuchlar ta'sirida o'z geometrik o'lchamlari va shaklining o'zgartirishidir;
- qattiq jismlarning tashqi fizik kuchlar ta'sirida o'z muvozanat holatini saqlay olishi;
- qattiq jismlarning tashqi fizik kuchlar ta'sirida o'z geometrik o'lchamlari va shaklining o'zgartirmasligidir;
- qattiq jismlarning tashqi fizik kuchlar ta'sirida yemirilmasligidir.

### **6. Jismning elastik deformatsiyasi – bu:**

- jism tashqi yukdan ozod qilingandan keyin, u o'zining oldingi o'lchamlari va shaklini qayta tiklasa, bunday deformatsiyaga elastik deformatsiyadir;
- jism tashqi yuk bilan yuklangandan keyin, u o'zining oldingi o'lchamlari va shaklini qayta tiklasa, bunday deformatsiyaga elastik deformatsiyadir;
- jism tashqi yuk bilan yuklanmasdan oldin, u o'zining oldingi o'lchamlari va shaklini qayta tiklasa, bunday deformatsiyaga elastik deformatsiyadir;
- jism tashqi yukdan ozod qilingandan keyin, u o'zining oldingi o'lchamlari va shaklini qayta tiklamasa, bunday deformatsiyaga elastik deformatsiyadir.

### **7. Jismning plastik (qoldiq) deformatsiya – bu:**

- jism tashqi yukdan ozod qilingandan keyin, u o'zining oldingi o'lchamlari va shaklini qayta tiklay olmasa, bunday deformatsiyaga plastik (qoldiq) deformatsiyadir;
- jism tashqi yukdan ozod qilingandan keyin, u o'zining oldingi o'lchamlari va shaklini qayta tiklasa, bunday deformatsiyaga plastik (qoldiq)dir;

– jism tashqi yuk bilan yuklangandan keyin, u o'zining oldingi o'lchamlari va shaklini qayta tiklay olmasa, bunday deformatsiyaga plastik (qoldiq) deformatsiyadir;

– jism tashqi yuk bilan yuklangandan keyin, u o'zining oldingi o'lchamlari va shaklini qayta tiklay olsa, bunday deformatsiyaga plastik (qoldiq) deformatsiyadir.

### **8. Sterjen – bu:**

– cho'zilish yoki siqilishiga qarshilik ko'rsatuvchi ingichka brus sterjendir;

– cho'zilish yoki egilishga qarshilik ko'rsatuvchi ingichka brus sterjendir;

cho'zilish yoki buralishiga moyillik ko'rsatuvchi ingichka brus sterjendir;

– cho'zilish yoki siljishga moyillik ko'rsatmaydigan ingichka brus sterjendir,

### **9. To'sin – bu:**

– egilishga qarshilik ko'rsatuvchi brusdir;

buralishga qarshilik ko'rsatuvchi brusdir;

– siljishga qarshilik ko'rsatuvchi brusdir;

– siqilishga qarshilik ko'rsatuvchi brusdir.

### **10.'Plita yoki plastinka – bu:**

– jismning qalnligiga nisbatan qolgan boshqa o'lchamlari katta bo'lgan tekis sirt bilan chegaralangan konstruksiya qismiga plita yoki plastinkadir;

– jismning qalnligiga nisbatan qolgan boshqa o'lchamlari katta bo'lgan egri sirt bilan chegaralangan konstruksiya qismiga plita yoki plastinkadir;

– jismning qalnligiga nisbatan qolgan boshqa o'lchamlari kichik bo'lgan tekis sirt bilan chegaralangan konstruksiya qismiga plita yoki plastinkadir;

– jismning qalnligiga nisbatan qolgan boshqa o'lchamlari o'rtacha bo'lgan tekis sirt bilan chegaralangan konstruksiya qismiga plita yoki plastinkadir.

### **11. Qobiq – bu:**

– jismning qalnligiga nisbatan qolgan boshqa o'lchamlari katta bo'lgan egri sirt bilan chegaralangan konstruksiya qismidir;

- jismning qalinligiga nisbatan qolgan boshqa o'chamlari katta bo'lган tekis sirt bilan chegaralangan konstruksiya qismidir;
- jismning qalinligiga nisbatan qolgan boshqa o'chamlari kichik bo'lган egri sirt bilan chegaralangan konstruksiya qismidir;
- jismning qalinligiga nisbatan qolgan boshqa o'chamlari o'r-tacha bo'lган egri sirt bilan chegaralangan konstruksiya qismidir.

### **12. Massiv – bu:**

- uchala o'chami bir xil tartibda bo'lган jismdir;
- uchala o'chami turli xil tartibda bo'lган jismdir;
- uchala o'chami ixtiyoriy tartibda bo'lган jismdir;
- uchala o'chami majburiy tartibda bo'lган jismdir.

### **13. Ferma – bu:**

- bir necha sterjenlarni sharnirlar yordamida biriktirishdan hosil bo'lган geometrik o'zgarmas sistemadir;
  - bir necha bruslar bikir qilib tutashtirilishidan hosil bo'lган sterjenlar sistemasidir;
  - bir necha sterjenlarni sharnirlar yordamida biriktirishdan hosil bo'lган geometrik o'zgaruvchi sistemadir;
  - bir necha sterjenlarni qistirib mahkamlash yordamida biriktirishdan hosil bo'lган geometrik o'zgaruvchi sistemadir.

### **14. Rama – bu:**

- bir necha sterjenlarni bikir qilib tutashtirilishidan hosil bo'lган sterjenlar sistemasidir;
  - bir necha sterjenlarni sharnirlar yordamida biriktirishdan hosil bo'lган geometrik o'zgarmas sistemadir;
  - bir necha sterjenlarni bikir qilib tutashtirilmamasdan hosil qilin-gan sterjenlar sistemasidir;
  - bir necha sterjenlarni tutashtirilishidan hosil bo'lган geometrik o'zgaruvchi sterjenlar sistemasidir.

### **15. Konstruksiyaga ta'sir etuvchi tashqi kuchlar qanday guruhlarga bo'linadi?**

- sirtqi va hajmiy kuchlarga;
- jismga qo'shni bo'lган va qo'shni bo'lмаган;
- ichki va tashqi kuchlarga;
- ta'sir qilishi bo'yicha statik va dinamik.

## **16. Sirtqi kuchlar – bu:**

- jismga qo'shni bo'lgan ikkinchi jismdan o'tuvchi kuchlardir;
- jismga qo'shni bo'lmasagan ikkinchi jismdan o'tuvchi kuchlardir;
- jismga qo'shni bo'lgan ikkinchi kuchlarga sirtqi kuchlardir;
- jismga qo'shni bo'lgan ikkinchi jismdan o'tmaydigan kuchlardir.

## **17. To'plangan kuch – bu:**

- jism o'z o'lchamiga nisbatan, uning juda kichik sirtiga ta'sir qilgan kuchlardir;
- jism sirti yuzasining biror qismiga yoki undagi chiziqning uzunligi bo'yicha ta'sir qilgan kuchlardir;
- jismda tashqi kuch ta'siridan hosil bo'lgan deformatsiya jism kuchdan ozod qilingach, butunlay yo'qolib ketgan kuchlardir;
- jismga qo'shni bo'lmasagan ikkinchi jismdan o'tuvchi kuchdir.

## **18. Hajmiy kuchlar – bu:**

- jismning ichki barcha nuqtalariga ta'sir etuvchi kuchlardir;
- jismning tashqi barcha nuqtalariga ta'sir etuvchi kuchlardir;
- jismning ichtiyoriy nuqtalariga ta'sir etuvchi kuchlardir;
- jismning sirtqi barcha nuqtalariga ta'sir etuvchi kuchlardir.

## **19. Statik yuklar – bu:**

- yuk o'z miqdori, qo'yilgan nuqtalari yoki yo'nalishini juda ham sekin-asta o'zgartiradigan, ya'ni tezlanishlari e'tiborsiz bo'lgan yuklardir;
  - yuklar o'z miqdor va qo'yilgan nuqtalarni juda qisqa vaqt mobaynida juda katta tezlik bilan o'zgartirigan yuklardir;
  - yuk o'z miqdori, qo'yilgan nuqtalari yoki yo'nalishini me'yorida o'zgartiradigan, ya'ni tezlanishlari e'tiborli bo'lgan yuklardir;
  - yuk o'z miqdori, qo'yilgan nuqtalari yoki yo'nalishini tezlik bilan o'zgartiradigan, ya'ni tezlanishlari e'tiborli bo'lgan yuklardir.

## **20. Dinamik yuklar deb – bu:**

- yuklar o'z miqdor va qo'yilgan nuqtalarni juda qisqa vaqt mobaynida juda katta tezlik bilan o'zgartirigan yuklardir;
- yuk o'z miqdori, qo'yilgan nuqtalari yoki yo'nalishini juda ham sekin-asta o'zgartiradigan, ya'ni tezlanishlari e'tiborsiz bo'lgan yuklardir;

- yuklar o‘z miqdor va qo‘yilgan nuqtalarni o‘rtacha vaqt mobaynida juda kichik tezlik bilan o‘zgartirgan yuklardir;
- yuklar o‘z miqdor va qo‘yilgan nuqtalarni juda katta vaqt mobaynida juda kichik tezlik bilan o‘zgartirgan yuklardir.

## **21. Qanday kuchlarga ichki kuchlar yoki zo‘riqish kuchlari deb ataladi?**

- jism zarrachalari muvozanatini saqlovchi reaksiya kuchlarga;
- jismning tashqi barcha nuqtalariga ta’sir etuvchi kuchlarga;
- jism zarrachalari muvozanatini saqlamaydigan reaksiya kuchlarga;
- jism zarrachalari muvozanatini saqlamaydigan barcha kuchlarga.

## **22. Konstruksiya elementlarida qanday deformatsiya turlari hosil bo‘ladi?**

- cho‘zilishi (siqilish), egilishi, buralish va siljish;
- elastik, plastik (qoldiq) va statik;
- geometrik, statik, fizik va mexanik;
- o‘ta murakkab, murakkab, statik va oddiy.

## **23. Kuchlanish – bu:**

- ichki kuch intensivligining yuza birligidagi miqdori kuchlanishdir;
- ichki kuchlarning ko‘p ta’sir etuvchisi kuchlanishdir;
- qisqa muddat ichida yo‘nalishi o‘zgarib boruvchi kuchlardir;
- qurılma elementlarini eguvchi kuchi kuchlanishdir.

## **24. O‘rtacha kuchlanish – bu:**

- elementar yuzachadagi ichki kuch teng ta’sir etuvchisining konstruksiya elementidan ajratilgan elementar yuzachaga nisbatidir;
- elementar yuzachadagi ichki kuch intensivligining yuza birligidagi miqdoridir;
- elementar yuzachadagi ichki kuchning konstruksiya elementidan ajratilgan elementar yuzachalari ayirmasidir;
- elementar yuzachadagi ichki kuchning konstruksiya elementidan ajratilgan elementar yuzachalari yig‘indisidir.

## **25. Haqiqiy kuchlanish – bu:**

- ajratilgan elementar yuzacha nolga intilsa, shu nuqtadagi kuchlanishdir;

- ichki kuchning konstruksiyadan ajratilgan elementar yuzacha chaga nisbatidir;
- konstruksiyadan ajratilgan elementar yuzacha maksimumga intilsa, shu nuqtadagi kuchlanishdir;
- konstruksiyadan ajratilgan elementar yuzacha o'rtacha qiyomatga intilsa, shu nuqtadagi kuchlanishdir.

### **26. Normal kuchlanish – bu:**

- konstruksiya elementidan ajratilgan yuza normali bo'yicha yo'nalgan kuchlanishdir;
- konstruksiya elementidan ajratilgan yuza urinmasi bo'yicha yo'nalgan kuchlanishdir;
- konstruksiya elementidan ajratilgan yuza bo'yicha ixtiyoriy yo'nalgan kuchlanishdir;
- konstruksiya elementidan ajratilgan yuza bo'yicha faqat musbat yo'nalgan kuchlanishdir.

### **27. Tashqi kuch ta'sirida brus ko'ndalang kesimida umumiyl holda nechta ichki kuch faktori hosil bo'ladi?**

- oltita;
- beshta;
- bitta;
- uchta.

### **28. Qay bir jism materialari bir jinsli va izotrop bo'ladi?**

- metall bir jinsli materiallardan bo'lib, beton, tosh va g'ishtning bir jinslilik xususiyati kamroqdir;
  - yog'och, beton, tosh va g'isht uchun juda ham to'g'ri kelmasa-da, ammo hisob natijalari bu xildagi materiallar uchun ham haqiqatga yaqin keladi;
  - barcha materiallar juda ham to'g'ri kelmasa-da, ammo hisob natijalari bu xildagi materiallar uchun ham haqiqatga yaqin keladi;
  - metallmas bir jinsli bo'lмаган materiallar plastmassa, tekisitolit va qarag'ayning bir jinsli xususiyati kamroqdir.

### **29. Kuchlar ta'sirining mustaqillik prinsipidan qanday shartlar bajarilsa, foydalanilsa bo'ladi?**

- kuch qo'yilgan nuqtaning ko'chishi jism o'lchamlariga nisbatan juda ham kichik bo'lsa hamda ko'chishlar, deformatsiyalarning

natijasi bo'lganligidan, u ta'sir qiluvchi kuchlarga proporsional bo'l-ganda;

– kuch ta'sir nuqtasidan yetarlicha uzoqda joylashgan nuqtalarda hosil bo'lgan ichki kuchlar xarakteri tashqi kuch ta'sir xarakteriga bog'liq bo'lganda;

– kuch qo'yilgan nuqtaning kuchlanish jism o'lchamlariga nisbatan juda ham kichik bo'lsa hamda ko'chishlar, deformatsiyalar ning natijasi bo'lganligidan, u ta'sir qiluvchi kuchlarga teskari proporsional bo'lganda;

– kuch qo'yilgan nuqtaning kuchlanish jism o'lchamlariga nisbatan juda ham katta bo'lsa hamda ko'chishlar, deformatsiyalar ning natijasi bo'lganligidan, u ta'sir qiluvchi kuchlarga proporsional bo'lganda.

### **30. Sen-Venan prinsipi nima?**

– jismga qo'yilgan kuch ta'sir nuqtasidan yetarlicha uzoqda joylashgan nuqtalarda hosil bo'lgan ichki kuchlar xarakteri tashqi kuch ta'sir xarakteriga bog'liq emas;

– sterjen buralganda uning uzunligi o'zgarmaydi, faqat ko'ndalang kesim yuzalari bir-biriga nisbatan aylanadi;

– bunday prinsip materiallar qarshiligidagi qabul qilinmagan;

– jismga qo'yilgan kuchlar sistemasi ta'siri natijasida bu kuchlar ketma-ket yoki tartibsiz qo'yilishidan hosil bo'ladigan ta'sirlar natijasiga teng deb faraz qilinadi.

### **31. Absolyut qattiq jism – bu:**

– absolyut qattiq jism deganda deformatsiyalanmaydigan jismidir;

– absolyut qattiq jism deganda plastik deformatsiyalanadigan jismdir;

– absolyut qattiq jism deganda elastik deformatsiyalanadigan jismdir;

– absolyut qattiq jism deganda faqat shaklan deformatsiyalanmaydigan jismdir.

### **32. Qattiq jism – bu:**

– deformatsiyalanadigan jismdir;

– deformatsiyalanmaydigan jismdir;

– plastik deformatsiyalanadigan jismdir;

– plastik deformatsiyalanmaydigan jismidir.

### **33. Brus – bu:**

– ko'ndalang kesim o'lchami uzunlik o'lchamiga nisbatan juda ham kichik bo'lgan konstruksiya qismlaridir;

– ko'ndalang kesim o'lchami uzunlik o'lchamiga nisbatan juda ham katta bo'lgan konstruksiya qismlaridir;

– ko'ndalang kesim o'lchami uzunlik o'lchamiga nisbatan farqi bo'lmanan konstruksiya qismlaridir;

– ko'ndalang kesim o'lchami uzunlik o'lchamiga nisbatan juda mustahkam bo'lgan konstruksiya qismlaridir.

### **34. Val – bu:**

– buralishga qarshilik ko'rsatuvchi brusdir;

– buralishga qarshilik ko'rsatuvchi massivdir;

– buralishga qarshilik ko'rsatuvchi plastinkadir;

– buralishga qarshilik ko'rsatuvchi qobiq valdir.

## 2-BOB.

### CHO'ZILISH VA SIQILISH

#### 2.1-§. Bo'ylama kuchlar va ularning epyuralarini qurish

Konstruksiya elementlarining markaziy cho'zilishi va siqilishi amaliyotda juda ko'p uchraydi. Masalan: ko'tarish kranlari yuk ko'targanda arqonlarining cho'zilishi, avtomobilarni shatakkka olganda arqonlarining cho'zilishi, zavodlardan ishlangan gazlarni atmosferaga chiqaradigan juda ham baland quvurlarning, teleminorallarning xususiy og'irligidan siqilishi va boshqalarni misol qilib keltirish mumkin.

Sirtqi cho'zuvchi yoki siquvchi kuchlar ta'sirida bo'lgan sterjenlar ko'ndalang kesimlarida faqat bo'ylama ichki kuch omili hosil bo'lib, qolgan beshta ichki kuch omillari nolga teng bo'lsa ( $Q_x = Q_y = M_x = M_y = M_z = 0$ ), bunday sterjen markaziy cho'zilish (2.1, a-chizma) yoki siqilish (2.1, e-chizma) holatida bo'ladi. Sterjen ko'ndalang kesimining og'irlik markazlarini tutashtiruvchi to'g'ri chiziq bo'ylab yo'nalgan va uning ko'ndalang kesimga normal bo'lgan bo'ylama kuchni  $N_z$  yoki  $N$  bilan belgilaymiz.

Demak, bunda birinchi bobda keltirilgan ichki kuch omillaridan faqat bittasi qoladi, ya'ni [30, part I, p-18]

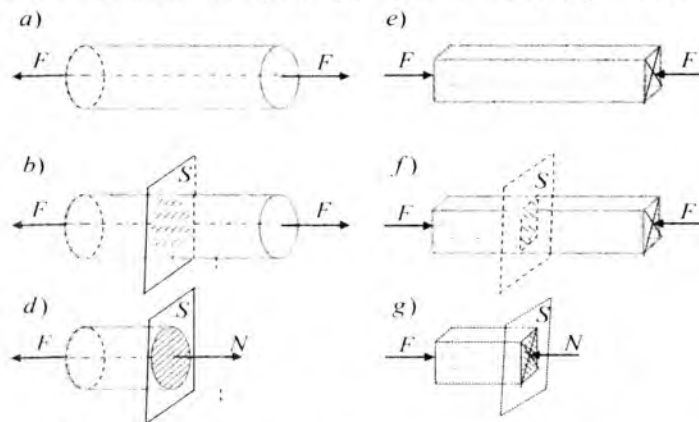
$$N = \int_A \sigma_z dA. \quad (2.1)$$

Demak, *bo'ylama kuch* deb sterjenning ko'ndalang kesimida hosil bo'lgan normal kuchlanishlarning teng ta'sir etuvchisiga aytildi.

Bo'ylama kuchlarni aniqlash uchun kesish usulidan foydalanamiz. Cho'zuvchi bo'ylama kuchlarni qaralayotgan kesimdan tashqariga, siquvchi bo'ylama kuchlarni kesimga qaratib yo'naltiramiz. Cho'zuvchi bo'ylama kuchni musbat, siquvchi bo'ylama kuchni esa manfiy deb qabul qilamiz. Ko'ndalang kesimdagи bo'ylama kuchni kesimdan tashqariga yo'naltiramiz, agar hisoblash natijalarida bo'y-

lama kuch mansiy ishora bilan chiqsa, uning yo'nalishini teskari tomonga o'zgartiramiz.

Ba'zi bir murakkab hollarda  $N_z$  kuchning yo'nalishi noma'lum bo'lsa, uni kesimdan tashqariga yo'naltirish maqsadga muvofiqdir.



2.1-chizma. To'g'ri o'qli sterjenning cho'zilishi va siqilishi

Agar hisoblash natijalarida  $N_z$  kuch mansiy ishora bilan chiqsa, uning yo'nalishini teskari tomonga o'zgartirib qo'yishimiz lozim. Murakkab hollarda, ya'ni sterjenga bir nechta kuchlar ta'sir etsa,  $N_z$  kuchning sterjen o'qi bo'y lab o'zgarishi bo'yicha to'liq tasavvurga ega bo'lish uchun uning grafigini qurish maqsadga muvofiqdir.

Sterjen ko'ndalang kesimda o'qi bo'y lab hosil bo'lgan bo'y-lama kuchning o'zgarish qonunini ko'rsatuvchi grafik *bo'y lama kuch epyurasasi* deb ataladi. Bo'y lama kuch epyurasini qurishni quyidagi misolda ko'rib chiqamiz (2.2-chizma).

Pastki uchi bilan mahkamlangan sterjen o'qi bo'y lab  $F_1$ ,  $F_2$  va  $F_3$  kuchlar bilan 2.2-chizmada keltirilgandek yuklangan bo'lsin. Sterjenning har bir oralig'i uchun ichki kuchlarni aniqlash va ularning epyularini qurish talab qilinsin, berilganlar  $F_1 = 3F$ ,  $F_2 = 5F$ ,  $F_3 = 4F$  va  $\ell_1 = \ell_2 = \ell_3 = \ell$ .

Tayanchni reaksiya kuchi bilan almashtirib, uning yo'nalishini ko'rsatamiz (bu tayanchda gorizontal reaksiya kuchi va reaktiv mo-

ment nolga teng bo'ldi). Tayanch reaksiya kuchini aniqlaymiz, ya'ni statik muvozanat tenglamasini tuzamiz (2.2, b-chizma):

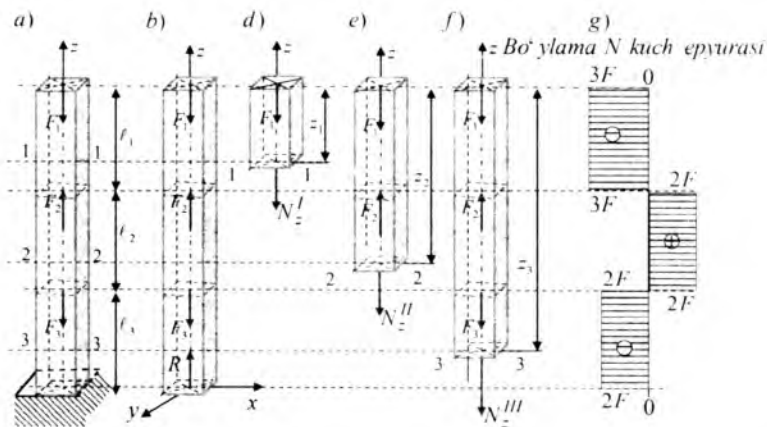
$$\sum z = 0; R - F_1 + F_2 - F_3 = 0,$$

$$R = F_1 - F_2 + F_3 = 3F - 5F + 4F = 2F.$$

bundan

Sterjen ko'ndalang kesimlaridagi ichki kuchlarni aniqlash uchun uning xarakterli (kuch qo'yilgan nuqtalardagi yoki ko'ndalang kesimi o'zgargan oraliq) kesimlari bo'yicha uchta oraliqqa bo'linadi.

Sterjenni kesish usulidan foydalanib 1-1, 2-2, 3-3, tekisliklar bilan kesamiz va har bir oraliqda qaralayotgan qism uchun statik muvozanat tenglamalarini tuzamiz. Ishni osonlashtirish uchun kesimni sterjenning erkin uchidan boshlash maqsadga muvofiqdir, chunki, bunda reaksiya kuchini aniqlash shart emas.



2.2-chizma. To'plangan kuchlardan cho'zilgan siqilgan sterjen

1-1 kesimdan yuqoridagi elementning muvozanat tenglamasini tuzamiz (2.2, d-chizma):

birinchi oraliqning o'zgarish sohasi  $0 \leq z_1 \leq \ell_1$

$$-N_z^I - F_1 = 0 \text{ yoki } N_z^I = -F_1.$$

$$z_1 = 0, \quad N_z^I = -F_1 = -3F. \quad z_1 = \ell_1 = \ell, \quad N_z^I = -F_1 = -3F.$$

2-2 kesimdan yuqoridagi elementning muvozanat shartidan (2.2, e-chizma):

ikkinchchi oraliqning o'zgarish sohasi  $\ell_1 \leq z_2 \leq (\ell_1 + \ell_2)$

$$-N_z^H - F_1 + F_2 = 0 \text{ yoki } N_z^H = -F_1 + F_2.$$

$$z_2 = \ell_1 = \ell, \quad N_z^H = -F_1 + F_2 = -3F + 5F = 2F,$$

$$z_2 = \ell_1 + \ell_2 = 2\ell, \quad N_z^H = -F_1 + F_2 = -3F + 5F = 2F.$$

3-3 kesimdan yuqoridagi elementning muvozanat shartidan (2.2, f-chizma):

uchinchchi oraliqning o'zgarish sohasi  $(\ell_1 + \ell_2) \leq z_3 \leq (\ell_1 + \ell_2 + \ell_3)$

$$-N_z^{III} - F_1 + F_2 - F_3 = 0 \text{ yoki } N_z^{III} = -F_1 + F_2 - F_3.$$

$$z_3 = (\ell_1 + \ell_2) = 2\ell, \quad N_z^{III} = -F_1 + F_2 - F_3 = -3F + 5F - 4F = -2F,$$

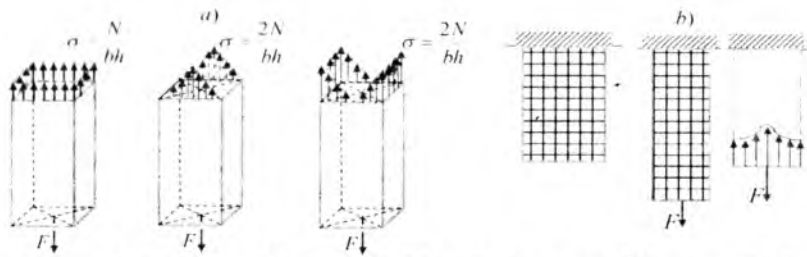
$$z_3 = (\ell_1 + \ell_2 + \ell_3) = 3\ell, \quad N_z^{III} = -F_1 + F_2 - F_3 = -3F + 5F - 4F = -2F.$$

Demak, sterjenning ixtiyoriy ko'ndalang kesimidagi ichki bo'ylama kuch, shu kesimdan (yuqori yoki pastki) olib qolingga qismining biriga ta'sir etuvchi barcha tashqi kuchlarning bo'ylama oz o'qiga proyeksiyalarining algebraik yig'indisiga teng ekan.

Turli oraliqlarda hosil bo'lgan bo'ylama kuch epyuralarini qurish uchun sterjen o'qiga parallel bo'lgan sanoq chiziq olamiz (2.2, g-chizma). Sanoq chiziqning chap tomoniga manfiy va o'ng tomoniga musbat ichki kuchlar qiymatlarini perpendikulyar ravishda mas-shtabda o'lehab qo'yamiz va nuqtalarni to'g'ri chiziq bilan tutashtiramiz. Hosil qilingan epyurani sterjen o'qiga perpendikulyar chiziqlar bilan shtrixlaymiz.

## 2.2-§. Brus ko'ndalang kesimidagi kuchlanishlar

Bo'ylama cho'zilgan (siqilgan) sterjenlarning ko'ndalang kesimida faqat normal kuchlanish  $\sigma$  hosil bo'ladi. Bo'ylama kuch juda kichik yuzasiga ta'sir etayotgan ichki  $\sigma \cdot dA$  kuchlarning teng ta'sir etuvchisi bo'lGANI uchun uni (1.1) ko'rinishida ifodalash mumkin. Agar kuchlanishni aniqlashda masalaning faqat statik tomonidan qarasak, unda  $N$  bo'ylama kuchning bir qiymatiga kesim bo'yicha kuchlanishning cheksiz ko'p turli tarqalish qonuni to'g'ri keladi. 2.3, a-chizmada keltirilgan normal  $\sigma$  kuchlanishning barcha tarqalish qonuniga, bo'ylama kuchning bir qiymati  $N = F$  to'g'ri keladi.



### 2.3-chizma. Normal kuchlanishning tarqalish qonunlari

Shunday qilib, kuchlanishning ko'ndalang kesim bo'yicha tarqalish qonuni aniq bo'lmaguncha (2.1) integral tenglamadan kuchlanishni aniqlab bo'lmaydi, qaralayotgan masala statik aniqmas. Kuchlanishning cheksiz ko'p statik mumkin bo'lган epyuralaridan biri haqiqiy hisoblanadi, agar u sterjenning deformatsiyalanish xarakteriga to'g'ri kelsa. Buning uchun masalaning geometrik tomonini tekshirish maqsadga muvofiqdir.

Tajribalar shuni ko'rsatadiki, agar sterjenning yon sirtiga sterjen o'qiga parallel va perpendikulyar to'g'ri chiziqlar o'tkazib to'r chizilsa, bo'ylama kuch ta'sirida deformatsiyadan keyin ham to'g'ri chiziqlar bir-biriga perpendikulyarligicha qoladi (2.3, b-chizma).

Demak, fikran tasavvur qilishimiz mumkin prizmatik sterjennarning sirtidagi bo'ylama elementlari bir xil uzunlikka uzayadi. Unda tabiiy holki, ichki bo'ylama elementlari ham bir xil uzunlikka uzayadi, ya'ni ko'ndalang kesimi parallel ravishda siljib ko'chadi. Bu tajriba tekis kesim gipotezasiga to'g'ri keladi, bu gipotezani birinchi bo'lib golland olimi Y.Bernulli aytganligi uchun uning nomi bilan ham yuritiladi.

*Tekis kesim gipotezasi – sterjenning deformatsiyagacha tekis bo'lган va sterjen o'qiga perpendikulyar bo'lган kesimlari deformatsiyadan keyin ham tekis va sterjen o'qiga perpendikulyar.*

Fikran sterjenden ajratilgan barcha bo'ylama elementlar bir xil sharoitda bo'ladi, unda ko'ndalang kesimning barcha nuqtalaridagi normal kuchlanishlar bir xil bo'lishi shart:  $\sigma = \text{const}$  shuning uchun ham (2.1) formuladan [30, part I, p-18]:

$$\boxed{\sigma = N/A} \quad (2.2)$$

Normal kuchlanishning o'chov birligi  $N/m^2, Pa$ .

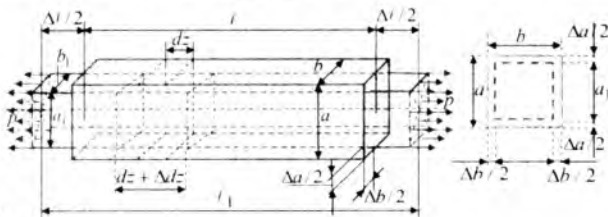
## 2.3-§. Cho'zilish va siqilishda bo'ylama deformatsiya. Guk qonuni

Tajribalar shuni ko'rsatadiki, sterjenga o'qi bo'yicha yo'nalган cho'zuvchi kuch ta'sir etsa, uning uzunligi ortadi, ko'ndalang kesim o'lchamlari esa qisqaradi (2.4-chizma). Siqilishda teskarisi ro'y beradi, ya'ni siqilishda sterjen uzunligi qisqaradi, ko'ndalang kesim o'lchamlari ortadi. Sterjenning dastlabki uzunligi  $\ell$  ga, deformatsiyadan keyingi uzunligi  $\ell_1$  ga teng bo'lsin. Sterjen uzunligining ortishi *absolyut bo'ylama cho'zilish*, kamayishi esa *absolyut bo'ylama qisqarish* deb ataladi va u  $\Delta\ell$  bilan belgilanib,  $m$  metrda o'lchanadi.

Absolyut bo'ylama cho'zilish quyidagi formula bilan ifodalanadi:

$$\boxed{\Delta\ell = \ell_1 - \ell.} \quad (2.3)$$

Qaralayotgan sterjenden fikran uzunligi  $dz$  bo'lgan cheksiz kichik element ajratib olamiz. Kuch qo'yilgandan keyin element  $\Delta dz$  absolyut bo'ylama cho'zilishga ega bo'ladi.



2.4-chizma. Cho'zuvchi kuch ta'siridagi sterjen

Sterjen uzunlik birligiga to'g'ri keluvchi absolyut bo'ylama deformatsiya nisbiy bo'ylama deformatsiya deb ataladi va  $\varepsilon$  bilan belgilanadi:

$$\varepsilon = \Delta dz / dz; \quad \Delta dz = \varepsilon dz.$$

Markaziy cho'zilishda barcha kesimlarda  $\sigma = const$  va  $\varepsilon = const$  ekanligini hisobga olib, sterjenning butun uzunligi bo'yicha kichik elementlarning cho'zilishlari yig'indisi quyidagicha ifodalanadi:

$$\Delta\ell = \int_0^\ell \varepsilon dz = \varepsilon \int_0^\ell dz = \varepsilon \cdot \ell.$$

Shunday qilib, markaziy cho'zilishda nisbiy bo'ylama deformatsiya quyidagi formula bilan ifodalanadi [30, part I, p-34]:

$$\boxed{\varepsilon = \Delta l / l} \quad (2.4)$$

Bu formuladan ko'rinish turibdiki, nisbiy bo'ylama deformatsiya birlik, o'chovsiz son.

Turli materiallardan yasalgan sterjen namunalari ustida cho'zilish va siqilishga o'tkazilgan tajribalar shuni ko'rsatadiki, cho'zuvchi kuch ma'lum bir chegaraga yetguncha absolyut bo'ylama deformatsiya kuchga hamda sterjen uzunligiga to'g'ri proporsional va ko'ndalang kesim yuzasiga, teskari proporsional ekanligi. Bu mu'lahoza larning matematik ifodasi quyidagicha bo'ladi:

$$\boxed{\Delta l = \frac{Nl}{EA}} \quad (2.5)$$

Bu formula Guk qonuning tajriba natijasi ifodasidir.

Yuqoridagi (2.5) formuladan ko'rinish turibdiki, absolyut bo'ylama deformatsiya cho'zuvchi kuch va sterjen uzunligiga to'g'ri proporsional, elastiklik moduli va ko'ndalang kesim yuziga teskari proporsional. Bu ifodadagi  $E$  bo'ylama elastiklik moduli deb ataladi. Bo'ylama elastiklik moduli materialning cho'zilish (siqilish)ga qarshilik ko'rsata olish xususiyatini bildiradi. O'chov birligi  $N/m^2$ .  $AE$  sterjen ko'ndalang kesimining cho'zilish (siqilish)dagi bikirligi deb ataladi.

(2.5) formulaning har ikkala tomonini sterjen uzunligi  $l$  ga bo'lsak, quyidagi hosil bo'ladi:

$$\frac{\Delta l}{l} = \frac{N}{EA} \text{ yoki } \boxed{\varepsilon = \frac{N}{EA}} \quad (2.6)$$

Bu (2.6) formulaga (2.1) ifoda qo'yilsa, Guk qonuning boshqa ko'rinishdagi matematik ifodasi hosil bo'ladi [30, part I, p-37]:

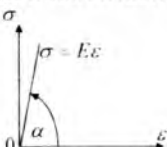
$$\boxed{\sigma = E\varepsilon} \quad (2.7)$$

Guk qonuni fizik qonun bo'lib, u  $\sigma$  normal kuchlanish nisbiy bo'ylama deformatsiyaga to'g'ri proporsional bog'lanishda ekanligini ifodalaydi [1.X. 23-24 b].

(2.7) formuladan quyidagini hosil qilish mumkin:

$$\boxed{E = \sigma/\varepsilon} \quad (2.8)$$

Ya'ni elastiklik moduli normal kuchlanishning o'ziga to'g'ri keluvchi nisbiy bo'ylama deformatsiyaga nisbatini ifodalaydi. Guk qonunini grafik ko'rinishida ham tasvirlash mumkin (2.5-chizma).



2.5-chizma. Kuchlanish va deformatsiyaning bog'lanish diagrammasi

Buning uchun ma'lum masshtabda gorizontal o'q bo'yicha nisbiy bo'ylama deformatsiyani, vertikal o'q bo'yicha esa normal kuchlanishlarni qo'yib quriladi. Natijada og'ma to'g'ri chiziq hosil bo'ladi.

#### Xulosa

1. Elastiklik modulining *geometrik ma'nosi* – cho'zilish diagrammasidagi og'ma to'g'ri chiziqli qismi bilan  $\varepsilon$  o'q orasidagi burchakning tangensi, elastiklik moduliga to'g'ri proporsionalligini bildiradi, ya'ni

$$E = \frac{\sigma}{\varepsilon} \approx \operatorname{tg} \alpha. \quad (2.9)$$

2. Elastiklik modulining *fizik ma'nosi* – sterjenni ikki marta uzayishini ta'minlovchi kuchlanishni bildiradi. Ya'ni  $E = \sigma / \varepsilon$ , bunda absolyut bo'ylama deformatsiya  $\Delta l = l$  bo'lqanda, nisbiy bo'ylama deformatsiya  $\varepsilon = 1$  bo'ladi. Bundan, elastik deformatsiyalanish sohadagi kuchlanishning erishadigan haqiqiy qiymati taxminan ming marta kichik bo'ladi.

## 2.4-§. Ko'ndalang deformatsiya

Sterjen bo'ylama deformatsiyalanganda, uning ko'ndalang kesim o'lchamlarining o'zgarishi ro'y beradi. Cho'zuvchi kuch ta'sir etsa, sterjen uzunligi ortadi, ko'ndalang kesim o'lchamlari qisqaradi. Siqilishda teskarisi ro'y beradi, ya'ni uzunligi qisqaradi, ko'ndalang kesim o'lchamlari esa ortadi. Cho'zilish va siqilishda sterjen ko'ndalang kesim o'lchamlarining o'zgarishi *ko'ndalang deformatsiya* deb ataladi. Sterjenning dastlabki ko'ndalang kesim o'lchamlarini  $a$  va  $b$  bilan belgilaymiz. Bu o'lchamlaridan biri  $a$  tomoni-

ning deformatsiyasini qaraymiz, sterjen cho'zilganda ko'ndalang a o'lcham  $\Delta a$  ga qisqaradi, bunga *absolyut ko'ndalang deformatsiya* deyiladi, ya'ni

$$\Delta a = a - a_1. \quad (2.10)$$

Absolyut ko'ndalang deformatsiyaning dastlabki o'lchamga nisbati:

$$\varepsilon' = \Delta a / a, \quad (2.11)$$

*nisbiy ko'ndalang deformatsiya* deb ataladi.

Nisbiy ko'ndalang deformatsiya tegishli nisbiy bo'ylama deformatsiyaga to'g'ri proporsional va ishorasi bo'yicha teskaridir:

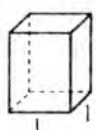
$$\varepsilon' = -\mu\varepsilon. \quad (2.12)$$

Bu yerda  $\mu$  *ko'ndalang deformatsiya koeffitsiyenti* bo'lib, materialning mexanik tavsiflaridan birini ifodalaydi, bu koeffitsiyent kattaligi birinchi bo'lib matematik yo'l bilan fransuz matematigi Puasson tomonidan aniqlangan. Bu koeffitsiyent nisbiy ko'ndalang deformatsiyaning nisbiy bo'ylama deformatsiyaga nisbatining absolut qiymatiga teng bo'lgan o'zgarmas miqdordir [30, part I, p-38]:

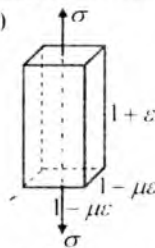
$$\mu = |\varepsilon'/\varepsilon|. \quad (2.13)$$

Ko'ndalang deformatsiya koeffitsiyenti miqdori qanday chegarada o'zgarishini aniqlaymiz. Buning uchun 2.4-chizmadagi sterjenning dastlabki holatidan tomonlari uzunliklari 1 birlikka teng bo'lgan elementar kubni fikran ajratib olamiz (2.6, a-chizma). Sterjen cho'zilganda qaralayotgan kub o'lchamlari o'zgaradi, ya'ni vertikal yo'nalishdagi uzunligi  $\varepsilon$  nisbiy cho'zilish miqdoriga ortadi, ko'ndalang kesimning qolgan har bir o'lchami  $\varepsilon' = -\mu\varepsilon$  nisbiy sifilish miqdoriga kamayadi. Natijada kubning balandligi  $1 + \varepsilon$  asos tomonlari  $1 - \mu\varepsilon$  teng bo'lgan qiymatlarga erishadi (2.6, b-chizma).

a)



b)



2.6 – Elementar kubning deformatsiyasi

Elementar kubning dastlabki hajmi  $V=1$  birlikka teng, deformatsiyadan keyin esa kubning hajmi  $V'=(1+\varepsilon)(1-\mu\varepsilon)^2$  ga teng bo'ladi. Bu ifodadagi hadlarni ko'paytirib ikkinchi tartibli kichik hadlarni e'tiborga olmasak kub hajmining nisbiy o'zgarishi quyidagiga teng:

$$\frac{\Delta V}{V} = \frac{V' - V}{V} = \frac{1 + \varepsilon(1 - 2\mu) - 1}{1} = \varepsilon(1 - 2\mu). \text{ yoki } \boxed{\frac{\Delta V}{V} = \frac{\sigma}{E}(1 - 2\mu)} \quad (2.14)$$

Sterjen cho'zilganda yuqoridagi tenglikdan  $(1 - 2\mu) \geq 0$  bo'lgani uchun  $\mu \leq 1/2$  bo'lganligi sababli sterjen hajmi ortadi, siqilishda esa aksincha sterjen hajmi kamayadi.

## Xulosa

1. Puasson koeffitsiyenti nazariy jihatdan 0 dan 0,5 gacha o'zgaradi. Puasson koeffitsiyenti xuddi elastik modul kabi aynan bir material uchun elastik deformatsiyalar chegarasida o'zgarmas miqdor (2.1-jadval).

2. Puasson koeffitsiyenti anizotrop materiallar uchun turli yo'nalishlari bo'yicha turli xil qiymatlarga ega bo'ladi.

Turli materiallar uchun Puasson koeffitsiyenti va elastiklik moduli qiymatlari tajriba yo'li bilan aniqlanadi.

2.1-jadval

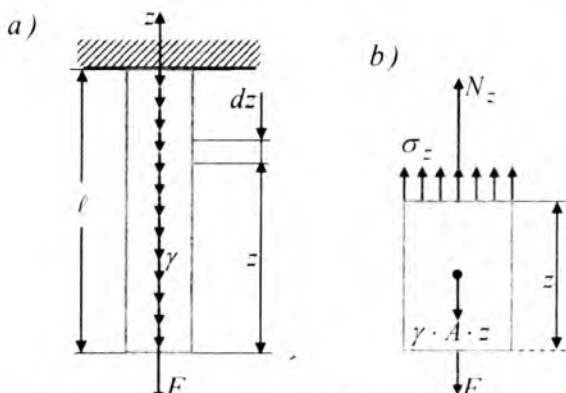
## Elastiklik moduli va Puasson koeffitsiyenti qiymatlari

Materialarning nomi	Elastiklik moduli $E$		Puasson koeffitsiyenti $\mu$
	$kgk / sm^2$	MPa	
Uglerodli po'lat	$2,1 \cdot 10^6$	$2,1 \cdot 10^5$	$0,24 - 0,30$
Alyuminiy qotishmalar	$0,72 \cdot 10^6$	$0,72 \cdot 10^5$	$0,26 - 0,36$
Titan $0,72 \cdot 10^5$	$1,12 \cdot 10^6$	$1,12 \cdot 10^5$	-
Mis	$(1,0 - 1,3) \cdot 10^6$	$(1,0 - 1,3) \cdot 10^5$	$0,31 - 0,34$
Cho'yan	$(1,15 - 1,6) \cdot 10^6$	$(1,15 - 1,6) \cdot 10^5$	$0,23 - 0,27$
Qarag'ay: tolalari bo'ylab	$(0,1 - 0,12) \cdot 10^6$	$(0,1 - 0,12) \cdot 10^6$	-

tolalariga ko'ndalang yo'naliishi bo'ylab	$(0,0005 - 0,01) \cdot 10^6$	$(0,0005 - 0,01) \cdot 10^5$	-
Beton	$(0,15 - 0,23) \cdot 10^6$	$(0,15 - 0,23) \cdot 10^5$	0,16 - 0,18
Granit	$0,49 \cdot 10^6$	$0,49 \cdot 10^5$	-
Marmar	$0,56 \cdot 10^6$	$0,56 \cdot 10^5$	-
G'isht qatlami	$(0,027 - 0,03) \cdot 10^6$	$(0,027 - 0,03) \cdot 10^5$	-
Oyna	$0,1 \cdot 10^6$	$0,1 \cdot 10^5$	0,25
Plastikoina SVAM	$0,35 \cdot 10^6$	$0,35 \cdot 10^5$	0,43
Nekistolit	$(0,07 - 0,13) \cdot 10^6$	$(0,07 - 0,13) \cdot 10^{58}$	-
Rezina kauchukli	$(0,00008) \cdot 10^6$	$(0,00008) \cdot 10^5$	0,50
Po'kak (tiqin)	-	-	0,00

## 2.5-§. Cho'zilish va siqilish deformatsiyalarida xususiy og'irlilikni hisobga olish

Amaliyotda uchraydigan ko'pgina konstruksiya elementlarining xususiy og'irligini e'tiborga olish lozim. Yuqori uchi bilan mahkamlangan pastki erkin uchiga qo'yilgan to'plangan  $F$  kuch va xususiy og'irligi ta'sirida bo'lgan ko'ndalang kesimi  $A$  o'zgarmas uzun sterjen masalasini ko'rib chiqamiz (2.7-a-chizma). Uning xususiy og'irligi o'qi bo'yicha teng taqsimlgan bo'lsin.



2.7-chizma. Xususiy og'irlilikli uzun sterjen

Sterjenning ixtiyoriy kesimidagi kuchlanishni aniqlash uchun uning erkin uchidan  $z$  masofada fikran kesib, ikki bo'lakka ajratamiz va sterjenning pastki qismining muvozanatini qaraymiz (2.7, b-chizma), ya'ni statikaning muvozanat tenglamasini tuzamiz:

$$\sum z = 0, N - F - \gamma \cdot A \cdot z = 0; \quad N = F + \gamma \cdot A \cdot z.$$

Bu yerda  $G(z) = \gamma \cdot A \cdot z$  olib qolingga qismning xususiy og'irligi;

$\gamma$ -sterjen materialining solishtirma og'irligi  $N/m^3$ . Po'lat uchun  $\gamma = 7,8 \cdot 10^4 N/m^3$ , alyumin uchun  $\gamma = 2,65 \cdot 10^4 N/m^3$  ga teng. Unda kuchlanish ikkinchi paragrafdagi (2.2) formulaga asosan quyidagicha ifodalanadi:

$$\sigma_z = \frac{F + \gamma \cdot A \cdot z}{A}. \quad (2.15)$$

Ushbu formuladagi  $z = 0$  bo'lsa, sterjenning eng pastki kesimida xususiy og'irlikni e'tiborga olmagandagi kuchlanish formulasini hosil qilamiz, ya'ni

$$\sigma_z = \frac{F}{A}. \quad (2.16)$$

Sterjenning mahkamlangan yuqorigi kesimida  $z = \ell$  bo'ladi, unda kuchlanish maksimal qiymatga erishadi:

$$\sigma_z = \frac{F + \gamma \cdot A \cdot \ell}{A} \quad (2.17)$$

Normal kuchlanish bo'yicha sterjenning mustahkamlik sharti:

$$\sigma_{\max} = \frac{F + \gamma \cdot A \cdot \ell}{A} \leq [\sigma]. \quad (2.18)$$

Bu formuladan sterjenning eng xavfli kesimi yuzini aniqlash mumkin:

$$A \geq \frac{N}{[\sigma] - \gamma \cdot \ell} \quad (2.19)$$

Sirtqi kuch  $F = 0$  teng bo'lsa, sterjenning erkin uchidan  $z$  masofadagi kesimida xususiy og'irlikdan hosil bo'lgan kuchlanish quyidagicha ifodalanadi:

$$\sigma_z = \frac{\gamma \cdot A \cdot z}{A} = \gamma \cdot z. \quad (2.20)$$

Ushbu (2.20) formuladan ko'rindik,  $z = \ell$  uzunlikda sterjen xususiy og'irligidan uzilish vaqtida hosil bo'lgan normal kuchlanish materialning vaqtincha (mustahkamlik chegarasi) qarshiligiga tenglashsa, unda:

$$\gamma \cdot \ell = \sigma_v$$

(2.21)

Sterjenning xususiy og'irligidan uzilish mumkin bo'lgan chegaravii uzunlik quyidagi formuladan aniqlanadi:

$$\ell_{che} = \frac{\sigma_v}{\gamma} \quad (2.22)$$

Xuddi shuningdek, sterjen xususiy og'irligi ta'sirida hosil bo'lgan kuchlanish ruxsat etilgan kuchlanishga teng bo'lganda sterjenning maksimal uzunligini topish mumkin:

$$\ell_{max} = \frac{[\sigma]}{\gamma} \quad (2.23)$$

Faqat xususiy  $G = \gamma \cdot A \cdot \ell$  og'irligi ta'sirida bo'lgan sterjenning cho'zilish deformatsiyasini topish uchun uning erkin uchidan  $z$  masofada uzunligi  $dz$  bo'lgan cheksiz kichik element ajratib olamiz va bu elementning absolyut cho'zilish deformatsiyasini Guk qonuni asosida quyidagicha ifodalash mumkin:

$$\Delta(z) = \frac{G(z)dz}{EA} = \frac{\gamma \cdot A \cdot z \cdot dz}{E \cdot A} = \frac{\gamma}{E} z \cdot dz \quad (2.24)$$

Sterjenning absolyut cho'zilish deformatsiyasini aniqlash uchun (2.24) ifodani 0 dan  $\ell$  gacha integrallaymiz:

$$\Delta\ell = \int_0^\ell \frac{\gamma}{E} z dz = \frac{\gamma \cdot \ell^2}{2E} \quad (2.25)$$

Bu formulani sterjen xususiy  $G = \gamma A \ell$  og'irligi ifodasini e'tiborga olib boshqacha ko'rinishda yozish mumkin, ya'ni

$$\Delta\ell = \frac{G\ell}{2EA} \quad (2.26)$$

To'plangan kuch va xususiy og'irligi ta'sirida bo'lgan sterjenning to'liq absolyut deformatsiyasi:

$$\Delta\ell = \frac{N\ell}{EA} + \frac{G\ell}{2EA} = \frac{(N+G/2)\ell}{EA} \quad (2.27)$$

Sterjenning erkin uchiga qo'yilgan  $F$  kuchidan hosil bo'lgan absolyut (2.5) bo'ylama deformatsiyasi bilan xususiy og'irligidan hosil bo'lgan absolyut (2.26) bo'ylama deformatsiyasini solishtirib, shunday xulosalarga kelish mumkin:

1. O'zgarmas kesimli sterjenlarda xususiy og'irligidan hosil bo'lgan kuchlanish kesim yuzasiga bog'liq emas (2.24);

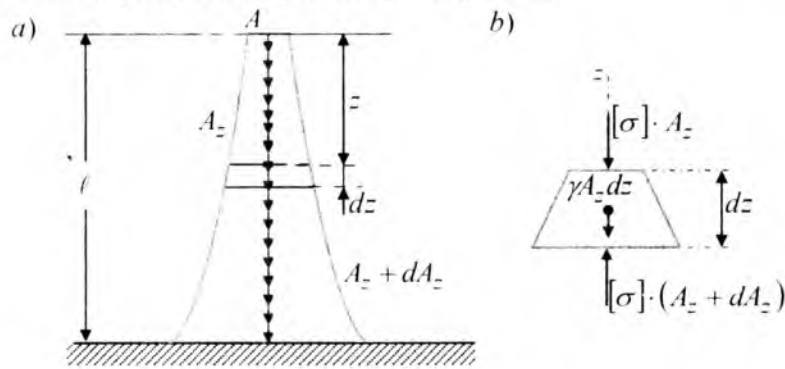
2. Sterjenlarning xususiy og'irligidan aniqlangan maksimal uzunligi, uning chegaraviy uzunligidan ortib ketmasligi lozim;

3. Sterjenlarning xususiy og'irlik ta'sirida hosil bo'lgan absolut bo'ylama deformatsiya, uning xususiy og'irligiga teng va erkin uchiga qo'yilgan to'plangan kuchdan hosil bo'lgan absolyut bo'ylama deformatsiyaga nisbatan ikki marta kichik bo'ladi.

## 2.6-§. Teng qarshilikli bruslar

Sterjenning uzunligi bo'ylab barcha ko'ndalang kesim yuzalarida kuchlanish o'zgarmas bo'lgan sterjenlar teng qarshilikli bruslar deb ataladi. Pastki uchi bilan mahkamlangan 2.8, a-chizmada keltirilgan teng qarshilikli sterjenning ko'ndalang kesimining o'zgarish qonunini aniqlaymiz, uning ixtiyoriy kesimda kuchlanish berilgan ruxsat etilgan  $[\sigma]$  kuchlanishga teng bo'lsin.

Sterjen ko'ndalang kesim yuzining o'zgarish qonunini aniqlash uchun erkin uchidan  $z$  masofada uzunligi  $dz$  ga teng bo'lgan kichik element ajratib olamiz (2.8, b-chizma), uning yuqoridagi kesim yuzasi  $A_z$  pastki kesim yuzasi  $A_z + dA_z$  bo'lsin.



2.8-chizma. Teng qarshilikli sterjen

Xususiy og'irligi  $\gamma \cdot A_z \cdot dz$  ga teng bo'lgan elementning muvozanat tenglamasini tuzamiz (2.8-chizma):

$$[\sum Z = [\sigma] (A_z + dA_z) - \gamma \cdot A_z \cdot dz - [\sigma] A_z = 0] \quad \text{yoki} \quad [[\sigma] \cdot dA_z - \gamma \cdot A_z \cdot dz = 0],$$

bundan

$$\frac{dA_z}{A_z} = \frac{\gamma}{[\sigma]} dz.$$

Bu ifodani integrallab quyidagini hosil qilamiz:

$$\ln A_z + C = \frac{\gamma}{[\sigma]} z.$$

Bu tenglamadagi o'zgarmas sonni, sterjenning erkin uchida  $z = 0$  bo'lganda  $A_z = A$  bo'lish shartidan foydalanamiz. Unda  $\ln A + C = 0$  bo'lgani uchun o'zgarmas sonni  $C = -\ln A$  teng bo'lishini aniqlaymiz. Yuqoridagi tenglamadagi  $C$  sonining o'miga qo'yib va logarifmning xossalardan foydalanib quyidagini hosil qilamiz:

$$\ln \frac{A_z}{A} = \frac{\gamma}{[\sigma]} z.$$

Ushbu ifodani potensirlab quyidagini topamiz:

$$\frac{A_z}{A} = e^{\frac{\gamma}{[\sigma]} z} \text{ yoki } A_z = Ae^{\frac{\gamma}{[\sigma]} z} \quad (2.28)$$

Bu ifodadan ko'rinaridiki, sterjen o'qi bo'ylab ko'ndalang kesimi konturi giperbola qonuni asosida o'zgaradi. Bunday shakldagi teng qarshilikli sterjenlarni yasash ancha murakkab va qimmatga tushadi.

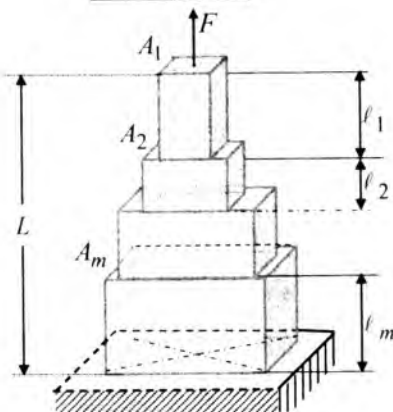
## 2.7-§. Pog'onali sterjenlar

Ko'ndalang kesim yuzasi har bir oraliq bo'yicha o'zgarmas bo'lgan, alohida oraliqlardan tashkil topgan sterjen, ko'ndalang kesimi o'zgarmas bo'lgan sterjen (2.7-chizma) va teng qarshilikli (2.8-chizma) sterjenlar oralig'ida bo'ladi. O'zgarmas kesim yuzali sterjenlarga qaraganda pog'onali sterjenlarda material ancha tejaladi. Pog'onali sterjenlarni tayyorlash teng qarshilikli sterjenlarni tayyorlashga qaraganda ancha sodda. Pog'onali sterjenlarni shunday loyi-halash lozimki, har bir pog'onaning oxiridagi xavfli kesimda kuchlanish ruxsat etilgan kuchlanishga teng bo'lishi shart. Bunda sterjenning qolgan barcha boshqa kesimlarida kuchlanish ruxsat etilgan kuchlanishdan kichik bo'ladi.

Pog'onali sterjen ko'ndalang kesim yuzasini tanlash formulalarini tuzamiz (2.9-chizma).

Birinchi pog'onaning ko'ndalang kesim yuzasi (2.19) formula asosida quyidagicha ifodalananadi:

$$A_1 \geq \frac{F}{[\sigma] - \gamma \cdot \ell_1} \quad (2.29)$$



### 2.9-chizma. Pog'onali sterjen

Ikkinci pog'onaning pastki uchiga ta'sir qilayotgan kuch  $N_1 = [\sigma]A_1$  ga teng bo'ladi. Unda ikkinchi kesimning yuzi quyidagi formuladan aniqlanadi:

$$A_2 \geq \frac{N_1}{[\sigma] - \gamma \cdot \ell_2} = \frac{A_1[\sigma]}{[\sigma] - \gamma \cdot \ell_2} = \frac{F[\sigma]}{([\sigma] - \gamma \cdot \ell_1)([\sigma] - \gamma \cdot \ell_2)}. \quad (2.30)$$

Yuqoridagi (2.30) formulaga asosan uchinchi pog'onaning kesim yuzini quyidagicha ifodalaymiz:

$$A_3 \geq \frac{N_2}{[\sigma] - \gamma \cdot \ell_3} = \frac{A_2[\sigma]}{[\sigma] - \gamma \cdot \ell_3} = \frac{F[\sigma]^2}{([\sigma] - \gamma \cdot \ell_1)([\sigma] - \gamma \cdot \ell_2)([\sigma] - \gamma \cdot \ell_3)}. \quad (2.31)$$

Sterjenning  $n$  chi pog'onasi kesim yuzasini aniqlovchi formula quyidagicha ifodalananadi:

$$A_n \geq \frac{N_{n-1}}{[\sigma] - \gamma \cdot \ell_n} = \frac{A_{n-1}[\sigma]}{[\sigma] - \gamma \cdot \ell_n} = \frac{F[\sigma]^{n-1}}{([\sigma] - \gamma \cdot \ell_1)([\sigma] - \gamma \cdot \ell_2)([\sigma] - \gamma \cdot \ell_3) \cdots ([\sigma] - \gamma \cdot \ell_n)} \quad (2.32)$$

Agar sterjen pog'onasi uzunliklari bir-biriga teng bo'lsa,  
 $\ell_1 = \ell_2 = \ell_3 = \dots = \ell_n = \dots = \ell_m = \frac{L}{m}$ , unda (2.32) formula quyidagicha ifoda-lanadi:

$$A_n \geq \frac{F[\sigma]^{n-1}}{\left([\sigma] - \frac{\gamma L}{m}\right)^n} = \frac{F}{\left[\sigma\left(1 - \frac{\gamma L}{[\sigma] m}\right)\right]^n}. \quad (2.33)$$

Bu yerda  $m$  sterjenning pog'onalarini soni;  
 $L$  sterjenning umumiy uzunligi.

## 2.8-§. Cho'zilish va siqilishda statik aniqmas masalalar

Hozirgacha o'rganib chiqqan masalalarimiz statik aniq masalalar edi, ya'ni noma'lum reaksiya kuchlarini yoki noma'lum zo'riqish kuchlarini qaralayotgan masala uchun tuzilgan statik muvozanat tenglamalaridan aniqlagan edik. Lekin amaliyotda shunday masalalar ko'p uchraydiki, unda noma'lum reaksiya kuchlarini yoki noma'lum zo'riqish kuchlarini qaralayotgan masala uchun tuzilgan statik muvozanat tenglamalaridan aniqlab bo'lmaydi. Chunki qaralayotgan masala uchun tuzilgan statik muvozanat tenglamalari sonidan noma'lum reaksiya kuchlari yoki noma'lum zo'riqish kuchlari soni ko'p bo'ladi. Bunday holda qaralayotgan masala uchun tuzilgan statik muvozanat tenglamalaridan noma'lum reaksiya kuchlarini yoki noma'lum zo'riqish kuchlarini aniqlab bo'lmaydi.

Demak, qaralayotgan masalada hosil bo'lgan zo'riqish kuchlarini yoki sistemada hosil bo'lgan noma'lum reaksiya kuchlarini faqat statik muvozanat tenglamalar yordamida aniqlab bo'lmasa, bunday sistema statik aniqmas sistema deb ataladi. Shuning uchun ham bunday masalalar statik aniqmas masalalar deb ataladi.

Qaralayotgan masalada noma'lum reaksiya kuchlari yoki noma'lum zo'riqish kuchlari soni tuzilgan statik muvozanat tenglamalar sonidan nechta ko'p bo'lsa, masala shuncha marta statik aniqmas bo'ladi.

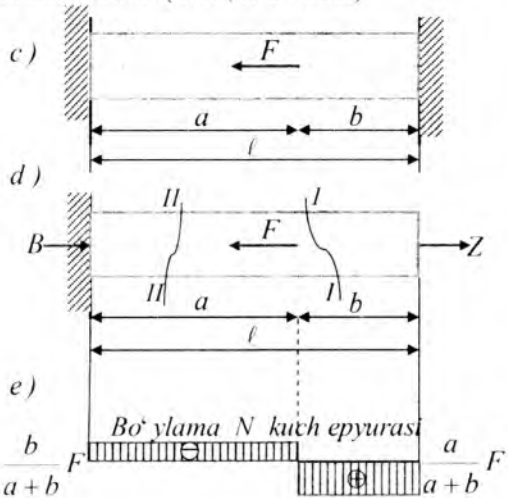
Statik aniqmas masalalarni yechish uchun masala necha marta statik noaniq bo'lsa, shuncha qo'shimcha tenglama tuzilib noma'-

lumlar aniqlanadi. Buning uchun masalani yechishda uning statik, geometrik va fizik tomonlarini qarash lozim. Statik aniqmas masalalarni yechish tartibini quyidagi masalalarda ko'rib chiqamiz.

*Birinchi masala.* Ikkala uchi bilan mahkamlangan sterjenga o'qi bo'ylab yo'nalgan  $F$  kuchi chap uchidan  $a$  masofada ta'sir etsin (2.10-chizma). Sterjenning  $a$  va  $b$  oraliqdagi zo'riqish kuchlari aniqlansin va ularning epyuralari qurilsin.

*Yechish:*

*I. Masalaning statik tomonini qaraymiz.* Sirtqi  $F$  kuch ta'siridan sterjen tayanchlarida noma'lum reaksiya  $B$ ,  $Z$  kuchlari hosil bo'ladi, ularning ikkalasi ham o'ng tomoniga yo'nalgan deb qabul qilamiz. Tayanchlardan birini, ya'ni chap yoki o'ng tayanchni tashlab yuboramiz, ya'ni asosiy sistema tanlaymiz va uni noma'lum reaksiya kuchi  $Z$  bilan almashtiramiz (2.10, d-chizma).



### 2.10-chizma. Statik aniqmas sterjen

Barcha kuchlar bitta to'g'ri chiziqda yotgani uchun statikaning bitta tenglamasini tuzamiz qolgan tenglamalari o'z-o'zidan qanoatlanтирлади:

$$\boxed{\sum Z = 0; \quad B - F + Z = 0; \quad B + Z = F} \quad (2.34)$$

Bu tenglamada ikkita  $B$  va  $Z$  noma'lumlar bo'lgani uchun masha bir marta statik aniqmas.

II. *Masalaning geometrik tomonini qaraymiz*. Sterjenning har ikkala uchi mahkamlanganligi sababli uning umumiyligi o'zgarmaydi, ya'ni

$$\boxed{\Delta l = 0} \quad (2.35)$$

III. *Masalaning fizik tomonini qaraymiz*. Guk qonunidan foydalanib  $Z$  va  $F$  kuchlar ta'sirida hosil bo'lgan deformatsiya quyidagi cha ifodalanadi:

$$\boxed{\Delta l = \frac{Za}{EA} + \frac{Zb}{EA} - \frac{Fa}{EA} = 0} \quad (2.36)$$

Bu tenglamaning har ikki qismini  $EA$  ga ko'paytirib quyidagini hosil qilamiz:

$$\boxed{Z(a+b) - Fa = 0} \quad (2.37)$$

IV. *Sintez*. Hosil qilingan (2.37) tenglamadan noma'lum reaksiya kuchi  $Z$  ni topamiz:  $Z = \frac{a}{a+b} F$  va uni (2.34) tenglamaga  $Z$  ni qiymatini qo'yib noma'lum reaksiya kuchi  $B$  ni topamiz:

$$\boxed{B = \frac{b}{a+b} F} \quad (2.38)$$

Sterjenning  $b$  oraliq'idagi zo'riqish kuchini aniqlash uchun kesish usulidan foydalanamiz, ya'ni  $b$  oraliqning biror kesimidan uni I-I tekislik bilan ikki qismga ajratamiz va o'ng qismini olib qolib uning uchun statikaning muvozanat tenglamasini tuzamiz:

Birinchi oraliq  $0 \leq z_1 \leq b$  o'zgaradi,

$$\sum z = 0; \quad Z - N_1 = 0; \quad N_1 = Z = \frac{a}{a+b} F.$$

$$z_1 = 0; \quad z_1 = b \quad bo'lganda ham \quad N_1 = \frac{a}{a+b} F.$$

Sterjenning  $a$  oraliq'idagi zo'riqish kuchini aniqlash uchun kesish usulidan foydalanamiz, ya'ni  $a$  oraliqning biror kesimidan uni II-II tekislik bilan ikki qismga ajratamiz va o'ng qismini olib qolib uning uchun statikaning muvozanat tenglamasini tuzamiz:

Ikkinchi oraliq  $b \leq z_2 \leq a+b$  o'zgaradi,

$$\sum z = 0; \quad Z - F - N_2 = 0; \quad N_2 = Z - F = \frac{b}{a+b} F.$$

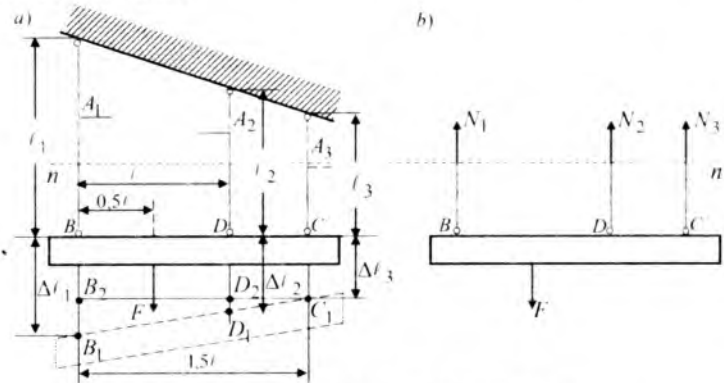
$$z_2 = b; \quad z_2 = a + b; \quad \text{bo'lganda ham } N_2 = Z - F = \frac{b}{a+b} F.$$

Bo'ylama kuch epyuralari 2.10, e-chizmada qurib ko'rsatilgan.

*Ikkinci masala.* Absolyut bikir  $BC$  brus shiftga po'lat sterjenlar bilan (2.11-chizma) osib qo'yilgan, unga ta'sir etayotgan sirtqi  $F$  kuchdan sterjenlarda hosil bo'lgan ichki kuchlar aniqlansin.

Sterjenlarning uzunlik  $\ell_1 = 2\ell$ ;  $\ell_2 = 1,5\ell$ ;  $\ell_3 = \ell$  va ko'ndalang kesim o'lchamlari  $A_1 = 0,5A$ ;  $A_2 = A$ ;  $A_3 = A$  bo'lsin. Birorta  $n-n$  tekisligi bilan uchala sterjenni kesib, ikki qismiga ajratamiz va pastki olib qolingan qismiga noma'lum ichki kuchlarni chizmada ko'rsatilgandek qo'yamiz (2.11, b-chizma).

*1. Masalaning statik tomonini qaraymiz.* Kesish usulidan foydalanamiz. Noma'lum ichki kuchlar qo'yilgan pastki qismining muvozanatini tekshiramiz.



2.11-chizma. Sterjenlar sistemasi

Barcha kuchlardan  $z$  vertikal o'qiga olingan proyeksiyalarining algebraik yig'indisi nolga teng bo'lishi lozim, ya'ni

$$\sum Z = 0, \quad N_1 + N_2 + N_3 - F = 0. \quad (2.39)$$

Barcha kuchlardan  $B$  nuqtaga olingan momentlarning yig'indisi nolga teng bo'lishi lozim, ya'ni

$$\sum M_B = 0, \quad -N_2 \cdot \ell + F \cdot 0,5\ell - N_3 \cdot 1,5\ell = 0. \quad (2.40)$$

Bu ikkita tenglamada uchta  $N_1$ ,  $N_2$ ,  $N_3$  noma'lumlar bo'lgani uchun masala bir marta statik aniqmas.

*II. Masalaning geometrik tomonini qaraymiz.* Vertikal sterjenerlar tashqi kuch ta'sirida cho'zilgandan keyin absolyut bikir  $BC$  brus shtrix chiziq bilan ko'rsatilgan  $B_1C_1$  holatga o'tadi. Uchburchak  $D_1D_2C_1$  va  $B_1B_2C_1$  larning o'xshashligidan quyidagi nisbat ma'lum:

$$\frac{B_2B_1}{B_2C_1} = \frac{D_2D_1}{D_2C_1} \quad (2.41)$$

Chizmadan ko'rindaniki,  $B_2C_1 = 1,5\ell$ ,  $D_2C_1 = 0,5\ell$ ,  $CC_1 = \Delta\ell_3$ ,  $B_2B_1 = BB_1 - CC_1 = \Delta\ell_1 - \Delta\ell_3$ ,  $D_2D_1 = DD_1 - CC_1 = \Delta\ell_2 - \Delta\ell_3$ , bularni (2.33) nisbatga qo'yib deformatsiya tenglamasini quyidagicha ifodalash mumkin.

$$\frac{\Delta\ell_1 - \Delta\ell_3}{1,5\ell} = \frac{\Delta\ell_2 - \Delta\ell_3}{0,5\ell} \quad (2.42)$$

*III. Masalaning fizik tomonini qaraymiz.* Sterjenlarning cho'zilish deformatsiyasini Guk qonunidan foydalanib quyidagicha ifodaylimiz.

$$\Delta\ell_1 = \frac{N_1 \cdot \ell_1}{E \cdot A_1} = \frac{N_1 \cdot 2\ell}{E \cdot 0,5A}; \quad \Delta\ell_2 = \frac{N_2 \cdot \ell_2}{E \cdot A_2} = \frac{N_2 \cdot 1,5\ell}{E \cdot A}, \quad \Delta\ell_3 = \frac{N_3 \cdot \ell_3}{E \cdot A_3} = \frac{N_3 \cdot \ell}{E \cdot A} \quad (2.43)$$

*IV. Sintez.*  $\Delta\ell_1$ ,  $\Delta\ell_2$ ,  $\Delta\ell_3$  qiymatlarini (2.34) deformatsiya tenglamasiga qo'yib ba'zi bir soddalashtirishlar bajarilgandan keyin quyidagi tenglamani hosil qilamiz:

$$N_1 = \frac{9N_2 - 4N_3}{8}. \quad (2.44)$$

Hosil qilingan (2.39) tenglamani (2.40) va (2.44) tenglamalar bilan birgalikda yechib zo'riqish kuchiarni aniqlaymiz:

$$N_1 = \frac{176}{344}F; \quad N_2 = \frac{20}{43}F; \quad N_3 = \frac{1}{43}F. \quad (2.45)$$

## 2.9-§. Montaj kuchlanishlar

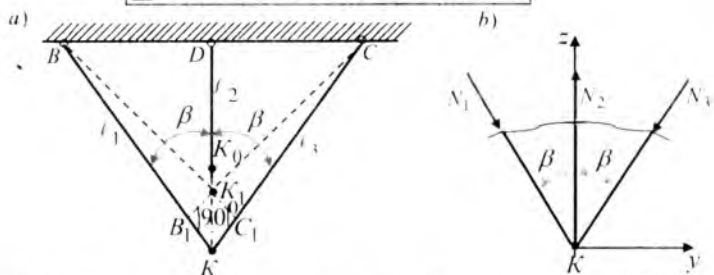
Statik aniqmas masalaning amaliyotda juda ham muhim bo'lgan xususiyatlaridan birini ko'rib chiqamiz. Inshootlarni va konstruksiyalarni qurishda ishlatiladigan elementlarni mutloq aniq o'l-

chamda tayyorlashni ta'minlab bo'lmaydi. Shuning uchun ham konstruksiya elementlarini tayyorlashda ba'zi bir noaniqliklarga yo'l qo'yiladi. Bu esa konstruksiya yig'ilganda elementlari o'lchamlarining noaniq tayyorlanishi natijasida agarda unga tashqi kuch qo'yilmagan bo'lsa ham, zo'riqish kuchlari hosil bo'ladi. Agar qaralayotgan konstruksiya statik aniq bo'lsa, unda zo'riqish kuchlari hosil bo'lmaydi. Masalan, 2.12-chizmada keltirilgan konstruksiya elementlaridan biri  $DK_0$  sterjen uzunlik o'lchami haqiqiy uzunligiga nisbatan  $K_0K = \delta$  ga qisqa qilib yasalgan bo'lsin.

Konstruksiya to'lqonlik bilan ishlashi uchun o'rtadagi  $DK_0$  sterjenni cho'zib  $K$  va  $K_0$  nuqtalarini  $K_1$  nuqtada tutashtiramiz, buning natijasida o'rtadagi sterjenning  $K_0K_1 = \Delta\ell_2$  miqdorga cho'zilishini va chetki sterjenlar uzunliklari  $\ell_1 = \ell_3$  teng bo'lgani uchun  $\Delta\ell_1 = \Delta\ell_3$  miqdorga qisqarishini kuzatamiz.

I. *Masalaning statik tomonini qaraymiz.* Kesish metodidan foydalanamiz, ya'ni sterjenlar sistemasini fikran qirqib olib qolingga (2.12,b-chizma) qism uchun statikaning muvozanat tenglamalarini tuzamiz:

$$\begin{aligned} \sum Y &= N_1 \sin \beta - N_3 \sin \beta = 0; \\ \sum Z &= -N_1 \cos \beta + N_2 - N_3 \cos \beta = 0. \end{aligned} \quad (2.46)$$



2.12-chizma. O'lchami aniq tayyorlanmagan sterjenlar sistemasi

Bu ikkita tenglamada uchta noma'lum bo'lgani uchun masala bir marta statik aniqlas.

II. *Masalaning geometrik tomonini qaraymiz.* Konstruksiyaning deformatsiyalanishidan foydalaniб qo'shimcha tenglama, uning deformatsiyalari orasidagi munosabatlardan tuziladi (2.12,a-chizma):

$$\delta = K_0 K_1 + K_1 K; \quad K_1 K = \frac{\Delta \ell_1}{\cos \beta}; \quad \ell_1 = \ell_3 = \frac{\ell_2}{\cos \beta} \quad \delta = \Delta \ell_2 + \frac{\Delta \ell_1}{\cos \beta} \quad (2.47)$$

III. *Masalaning fizik tomonini qaraymiz.* Guk qonuni orqali sterjen deformatsiyalarini quyidagicha ifodalash mumkin:

$$\Delta \ell_2 = \frac{N_2 \ell_2}{EA_2}; \quad \Delta \ell_1 = \frac{N_1 \ell_1}{EA_1}; \quad \Delta \ell_3 = \frac{N_3 \ell_3}{EA_3}$$

Bunda  $A_1 = A_3$  bo'lsin. Bularni yuqoridagi (2.47) ifodaga qo'yib quyidagi tenglamani hosil qilamiz:

$$\delta = \frac{N_2 \ell_2}{EA_2} + \frac{N_1 \ell_2}{EA_1 \cos \beta} \quad (2.48)$$

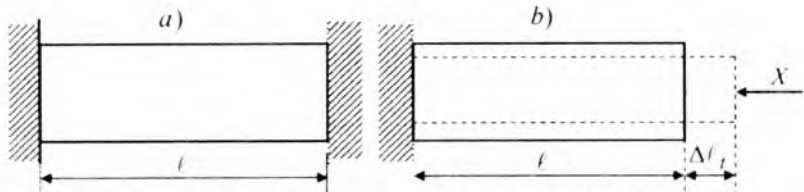
IV. *Sintez.* Yuqoridagi (2.46), (2.47) va (2.48) tenglamalarni birgalikda yechib, tashqi kuch ta'sir etmasa ham sistemada hosil bo'lgan  $N_1$ ,  $N_2$ ,  $N_3$  zo'riqishlar uchun quyidagi miqdorlarni aniqlaymiz:

$$N_1 = N_3 = \frac{N_2}{2 \cos \beta}; \quad N_2 = -\frac{EA_2 \delta}{\ell_2 \left[ 1 + \frac{EA_2}{2EA_1 \cos^3 \beta} \right]} \quad (2.49)$$

## 2.10-§. Haroratning o'zgarishi natijasida hosil bo'ladigan kuchlanishlar

Tashqi kuch ta'sir etmagan holda ham statik aniqmas masalalarda, kuchlanish nafaqat konstruksiya elementlari o'lchamlarining noaniq tayyorlanishi yoki yig'ish jarayoni noto'g'ri bajarilishidan hatto haroratining o'zgarishidan ham hosil bo'ladi.

Haroratning o'zgarishidan yetarlicha katta kuchlanishlar bir butun qilib payvandlangan reslarda hosil bo'lishini kuzatish mumkin. Harorati  $t_0$  bo'lgan sterjen ikki uchi bilan devorlarga mahkamlangan bo'lsin (2.13-chizma).



2.13-chizma. Temperatura ta'siridagi sterjen

Sterjenning harorati  $t_0$  dan  $t_1$  ga ko'tarilib, ular orasida farq  $\Delta t = t_1 - t_0$  bo'lganda sterjenning ko'ndalang kesim va uzunlik o'lchamlari o'zgarishi lozim edi, agar sterjenning bir uchi erkin bo'lsa. Lekin sterjenning uzayishiga devorlar yo'l qo'ymaydi, shuning uchun ham sterjen siqilishidan bo'ylama zo'riqish va kuchlanish hosil bo'ladi. Qaralayotgan masala bir marta statik aniqmas.

Sterjen temperatura ta'sirida  $\Delta\ell_t = \alpha\ell\Delta t$  miqdorga cho'ziladi.  $\alpha$  materialning chiziqli kengayish koefitsiyentidir. Statik aniqmas masalani yechish uchun uning o'ng tomonidagi bog'lanishni tashlab reaksiya kuchi bilan almashtiramiz. Unda temperatura ta'siridan hosil bo'lgan bo'ylama cho'zilish bilan reaksiya kuchidan hosil bo'lgan bo'ylama qisqarish bir-biriga teng bo'ladi:

$$\alpha\ell\Delta t = \frac{X_t}{EA} \quad (2.50)$$

Bu formuladan reaksiya kuchini topamiz:

$$X = EA\alpha\Delta t. \quad (2.51)$$

Sterjen temperaturasining o'zgarishi natijasida ko'ndalang kesimida hosil bo'lgan kuchlanish quyidagi formuladan aniqlanadi:

$$\sigma_t = \frac{X}{A} = E\alpha\Delta t \quad (2.52)$$

## 2.11-§. Cho'zilish va siqilishda sterjenlarni mustahkamlikka hisoblash

Konstruksiya elementlari kesimi, uning ishslash davrining bosishidan to oxirigacha yemirilmasligi va materialning iqtisodiy tejamlili bo'lish talabini e'tiborga olgan bir vaqtida katta deformatsiya hosil bo'lmasligini to'liq ta'minlash kerak.

Ko'ndalang kesimning zarur o'lchamlari konstruksiya elementini mustahkamlikka, bikirlikka va ustuvorlikka hisoblash natijasida aniqlanadi.

Mustahkamlikka hisoblashda quyidagi talab bajarilishi lozim: konstruksiya elementlarida hosil bo'ladigan eng katta kuchlanish (normal, urinma yoki ularning kombinatsiyalari) material uchun berilgan ruxsat etilgan kuchlanish qiymatidan ortib ketmasligi shart.

Konstruksiya elementlarini mustahkamlikka hisoblashning quyidagi uch xil usuli mavjud:

- I. Ruxsat etilgan kuchlanish usuli.
- II. Chegaraviy holatlar usuli.
- III. Xavfli yuklar usuli.

Hozircha konstruksiya elementlarini mustahkamlikka hisoblash usulini qisqacha ko'rib chiqamiz.

Konstruksiya elementlarini bikirlikka va ustuvorlikka hisoblash usullarini keyingi boblarda qaraymiz.

### *I. Ruxsat etilgan kuchlanish usuli*

Konstruksiya elementlarining xavfli ko'ndalang kesimlarida hosil bo'ladigan eng katta normal kuchlanish qiymati, konstruksiya materiali uchun berilgan ruxsat etilgan kuchlanishdan ortib ketmasa, bunday konstruksiya elementlarining mustahkamligi ta'minlangan hisoblanadi.

Konstruksiya elementlarining uzoq ishlash davrida yemirilmassligini ta'minlaydigan eng katta kuchlanishga *ruxsat etilgan kuchlanish* deb ataladi. Ruxsat etilgan normal kuchlanish  $[\sigma]$  kabi belgilanadi. Sterjen materiali cho'zilish va siqilishga turlicha qarshilik ko'rsatsa, ruxsat etilgan normal kuchlanish cho'zilishda  $[\sigma_{ch}]$  va siqilishda  $[\sigma_s]$  kabi belgilanadi.

Sterjen materiali cho'zilish va siqilishga turlicha qarshilik ko'rsatsa, cho'zilish va siqilishda ruxsat etilgan kuchlanishlari qiymatlari 2.2-jadvalda turli materiallar uchun berilgan.

## Materiallarning ruxsat etilgan kuchlanishlari

Materiallarning nomi	Ruxsat etilgan kuchlanish MPa	
	Cho'zilishda $[\sigma_{ch}]$	Siqilishda $[\sigma_s]$
Prokat po'lat rusumlari:		
BCt2	14	
BCt3	16	
Kam uglerodli mashinasozlik po'lat	60–250	
Kam uglerodli mashinasozlik po'lat ligerlangan	100–400 va yuqori	
Tekistolit	30–40	
Getinaks	50–70	
Mis	30–120	
Bronza	60–120	
Duralyuminiy	80–150	
Alyumin	30–90	
G'isht o'rими	0,2	0,6–2,5
Tosh o'rими	0,3	0,4–4
Kulrang cho'yan	28–80	120–160
Beton	0,1–0,7	1–9
Sosna el:		
Tolalari bo'ylab	7–10	10–12
Tolalariga ko'ndalang	–	5
Dub:	100	250
Tolalari bo'ylab	9–13	13–15
Tolalariga ko'ndalang	–	2–3,5

Plastik materiallardan tayyorlangan konstruksiya elementlar xavf-xatarsiz ishlashini ta'minlovchi ruxsat etilgan kuchlanish quyidagi formuladan aniqlanadi:

$$[\sigma] = \frac{\sigma_{oq}}{n_{oq}} \quad (2.53)$$

Bunda,  $\sigma_{oq}$  – materialning oquvchanlik chegarasi;  $n_{oq}$  oquvchanlik chegarasi bo'yicha ehtiyyot koeffitsiyenti bo'lib, qiymati  $1,5 \div 2,5$  ga teng.

Mo'rt materiallardan tayyorlangan konstruksiya elementlari xavf-xatarsiz ishlashini ta'minlovchi ruxsat etilgan kuchlanish quyi-dagi formuladan aniqlanadi:

$$[\sigma] = \frac{\sigma_v}{n_v} \quad (2.54)$$

Bunda  $\sigma_v$  – materialning vaqtinchalik qarshiligi (mustahkamlik chegarasi);  $n_v$  vaqtinchalik qarshilik bo'yicha ehtiyot koeffitsiyenti bo'lib, qiymati  $2,5 \div 5,0$  ga teng.

Turli materiallar uchun mustahkamlik chegaralari 2.3-jadvalda berilgan.

Yog'och materiallari uchun esa mustahkamlikning ehtiyot koeffitsiyenti 3 dan 8 gacha oraliqda tanlanadi.

2.3-jadval

### Materiallarning mustahkamlik chegaralari

Materiallarning nomi	Oquvchanlik chegarasi $\sigma_{oq}$ MPa	Mustahkamlik chegarasi MPa	
		Cho'zilishda $\sigma_{ch}$	Siqilishda $\sigma_s$
Prokat po'lat rusumlari			
BCt3kp	185–235	360–365	
BCt3ps	235–275	370–400	
BCt3sp	235–270	370–400	
09g2 (margenslangan)	235–270	430–500	
10XSND Xrom-kremli	390	530	
12u2SMF (ligerlangan termik puxtalangan)	590	685	
Titanli VT4	550–650	700–850	
Chugun seriy SCH	–	120–800	500–1500
Granit	–	3	120–260
G'isht	–	0,7–3,0	7–30
Beton	–	0,4–2,6	2,8–43,8
Sosna el:	–		
Tolalari bo'ylab	–	80	40
Tolalariga ko'ndalang	–	–	5
Tekistolit	–	100	250
Orgsteklo CT-1	–	78	120
Sterloplastik CBAM 1:1	–	480–500	420

Cho'zilishga va siqilishga ishlovchi konstruksiya elementlari ning mustahkamlik shartlari, ruxsat etilgan kuchlanishlar bo'yicha quyidagicha ifodalanadi:

$$\sigma_{ch} = \frac{N_{ch}}{A} \leq [\sigma_{ch}] \text{ va } \boxed{\sigma_s = \frac{N_s}{A} \leq [\sigma_s]}. \quad (2.55)$$

Sterjenning eng katta kuchlanish hosil bo'lgan kesimiga xavfli kesim deb ataladi.

Umumiy holda cho'zilgan va siqilgan sterjenlarning mustahkamlik sharti quyidagi ko'rinishda ifodalanadi:

$$\boxed{\sigma_{max} = \frac{N_{max}}{A_{netto}} \leq [\sigma]}. \quad (2.56)$$

Bunda  $A_{netto}$  – ko'ndalang kesim yuzadan teshik (kertik) yuzalarni chiqarib tashlagandan keyingi yuza.

Ushbu (2.56) ifodadan foydalanib, sterjen uchun aniqlanishi lozim bo'lgan tavsiflariga qarab quyidagi uch turdag'i masalani yechish mumkin:

### *1. Sterjenni mustahkamlikka tekshirish.*

Bunda quyida keltirilgan formula yordamida sterjen mustahkamligi ta'minlanadi:

$$\boxed{\sigma_{max} \leq [\sigma]}. \quad (2.57)$$

Sterjenni cho'zuvchi (siquvchi) kuchlar va uning ko'ndalang kesim o'lchamlari berilgan bo'lsa, unda xavfli kesimdagi maksimal normal kuchlanishni aniqlab, uni berilgan ruxsat etilgan kuchlanish bilan taqqoslaysiz. Taqqoslash natijasi orasidagi farq  $\pm 5\%$  dan ortmasligi lozim. Agar kuchlanish orasidagi farq  $+5\%$  katta bo'lsa, unda sterjen ortiqcha kuchlanishga qarshilik ko'rsatib, xavfli holatda bo'ladi. Agar kuchlanish orasidagi farq  $-5\%$  kichik bo'lsa, unda sterjen materialidan to'liq foydalilmagan bo'ladi.

### *2. Sterjen ko'ndalang kesim o'lchamlarini aniqlash.*

Agar sterjenga ta'sir etuvchi kuchlar va uning materiali ma'lum bo'lsa, unda sterjenning xavfsiz ko'ndalang kesim o'lchamlari quyidagi formuladan aniqlanadi:

$$A_{netto} \geq \frac{N_{\max}}{[\sigma]} \quad (2.58)$$

### 3. Sterjen ko'tara oladigan eng katta kuchni aniqlash.

Agar sterjenning ko'ndalang kesimi o'lchamlari va uning materiali berilgan bo'lsa, sterjen ko'tara oladigan eng katta kuch quyidagi formuladan aniqlanadi:

$$N_{\max} \leq A[\sigma]. \quad (2.59)$$

Ruxsat etilgan kuchlanish xavfli kuchlanishdan bir necha marta kichik bo'lishi lozim.

### *II. Sterjenlarni mustahkamlikka tekshirishda chegaraviy holat usuli.*

Bu chegaraviy holat usuli konstruksiyalarga ta'sir etuvchi turli omillarning ta'sirini to'la hisobga oladi.

Konstruksiyaning chegaraviy holati, deb uni normal ekspluatatsiya qilib bo'lmaydigan holatiga aytildi.

Qurilish me'yorlari va qoidalari (QMQ) chegaraviy holat uchta guruhga bo'lingan.

Birinchi guruhi chegaraviy holati konstruksiyaning yuk ko'tarish qobiliyatini – mustahkamlik yoki ustuvorligini yo'qotishi bilan aniqlanadi.

Ikkinci guruhi chegaraviy holati konstruksiya juda ham katta deformatsiya hosil qilishi yoki tebranishi bilan aniqlanadi.

Uchinchi guruhi chegaraviy holati konstruksiyada yoriqlarning paydo bo'lib rivojlanishi va boshqa darzlar hosil bo'lish bilan aniqlanadi.

Bu mavzuda konstruksiyaning birinchi tur chegaraviy holati bo'yicha mustahkamlikka hisoblashni ko'rib chiqamiz.

Konstruksiyalarni ruxsat etilgan normal kuchlanish bo'yicha mustahkamlikka hisoblashda bitta umumiy ehtiyyotlik koeffitsiyenti kiritiladi. Birinchi guruhi chegaraviy holati bo'yicha konstruksiyani mustahkamlikka hisoblashda moyilroq yondashuv bilan zaruriy ehtiyyotlik mustahkamligini ta'minlash bilan farq qiladi. Bunda bitta ehtiyyotlik koeffitsiyenti o'rniga bir nechta koeffitsiyentlar kiritiladi.

Mustahkamlikni ta'minlashda hisobiy yuk miqdori quyidagi formuladan aniqlanadi:

$$F = F_n \cdot \gamma_f \quad (2.60)$$

Yuklanishda QMQ da keltirilgan, me'yoriy  $F_n$  yuk miqdoriga nisbatan yukning ortishini hisobga oluvchi ishonchlilik  $\gamma_f$  koefitsiyent.

Bu ifodadagi ehtiyotlik koefitsiyenti doimiy yuklar uchun  $\gamma_f = 1,05 \div 1,3$ . Vaqtincha yuklar uchun  $\gamma_f = 1,05 \div 1,4$ . Misol uchun qor va shamol uchun  $\gamma_f = 1,4$ .

Konstruksiya materialining namunada o'tkazilgan tajriba natijalariga nisbatan, me'yoriy  $R_n$  qarshiligining mumkin bo'lgan kamayishini hisobga oluvchi, material bo'yicha ishonchlilik  $\gamma_m$  koefitsiyent kiritilgan. Plastik materiallar uchun me'yoriy qarshilik sifatida  $R_n = \sigma_{oq}$  oquvchanlik chegarasi, mo'rt materiallar uchun mustahkamlik  $R_n = \sigma_m$  chegarasi qabul qilinadi. Po'lat konstruksiyalar uchun material bo'yicha ehtiyotlik koefitsiyenti  $\gamma_m = 1,025 \div 1,15$  oralig'idagi qiymatlarni qabul qiladi.

Materialning hisobiy qarshiligi deb ataluvchi miqdor quyidagi formuladan aniqlanadi:

$$R = \frac{R_n}{\gamma_m} \quad (2.61)$$

Qurilish po'lati uchun materialning hisobiy qarshiligi quyidagicha aniqlanadi:

$$R = \frac{\sigma_{oq}}{\gamma_m} \quad (2.62)$$

U oquvchanlik chegarasi bo'yicha materialning hisobiy qarshiligi deb yuritiladi. Ba'zi bir materiallarning hisobiy qarshiligi 2.4-jadvalda keltirilgan. Bu haqidagi ma'lumotlarni kengroq QMQ dan olish mumkin.

Konstruksiyalarni mustahkamlikka hisoblashda ularning ish sharoitini e'tiborga oluvchi koefitsiyent  $\gamma_{i,sh}$  ham kiritiladi. Bu koefitsiyent  $\gamma_{i,sh} = 0,75 \div 1,0$  qiymatlar oralig'ida o'zgaradi.

## Hisobiy qarshiliklar

Materiallarning nomi	Hisobiy qarshilik MPa		
	Cho'zilish $R_{ch}$	Siqilish $R_s$	Siljish $R_{sil}$
Prokat po'lat markalari:			
VSt3kp	175–230	100–140	
VSt3ps, VSt3sp	230–280	140–170	
09G2(marganslangan)	290–360	180–215	
10xSMD(xromokremlı)	355	210	
12G2SMF(legirlangan termik ish- lov berilgan)	515	310	
Alyuminiy qotishmasi	125–200	75–120	
Kulrang cho'yan	95–100	160–250	40–75
Beton	0,26–1,68	2,13–33,6	–
Sosna el:			
tolalari bo'yicha	10	13	2,4
egilishda	13	13	2,4

Mustahkamlikka hisoblashda birinchi chegaraviy holat quydagi talabga keltiradi, ya'ni eng katta cho'zuvchi  $\sigma_{ch,max}$  kuchlanish va eng katta siquvchi  $\sigma_{s,max}$  kuchlanishning absolyut qiymati hisob yuk miqdori, cho'zilishdagi  $R_{ch}$  va siqilishdagi  $R_s$  hisobiy qarshiliklarning ish sharoitini e'tiborga oluvchi koeffitsiyentiga ko'paytmasi miqdoridan ortib ketmasligi lozim:

$$\sigma_{ch} \leq \gamma_{i,ch} R_{ch}; \quad \sigma_s \leq \gamma_{i,ch} R_s. \quad (2.63)$$

Agar material cho'zilish va siqilishga bir xil qarshilik ko'rsatsa, unda mustahkamlikka tekshirish absolyut qiymati bo'yicha eng katta normal kuchlanish bo'yicha hisoblaniladi:

$$\sigma_{max} \leq \gamma_{i,sh} R. \quad (2.64)$$

Urinma kuchlanish bo'yicha mustahkamlik sharti quydagicha yoziladi:

$$\tau \leq \gamma_{sh} R_{sil}. \quad (2.65)$$

Bunda  $R_{sil}$  siljishdagi hisobiy qarshilik bo'lib plastik materiallar uchun  $R_{sil} \approx 0,6R$  teng.

Markaziy cho'zilish yoki siqilishda sterjenning xavfli kesimida quyidagi mustahkamlik shartlari (2.64-2.65) shartlar kabi bajarilishi lozim:

$$\sigma_{ch} = \frac{N_{ch}}{A} \leq \gamma_{i,sh} R_{ch} \quad (2.66)$$

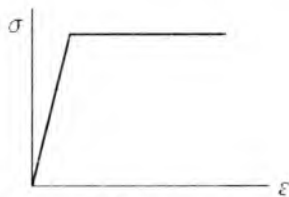
$$\sigma_s = \frac{N_s}{A} \leq \gamma_{i,sh} R_s \quad (2.67)$$

$$\sigma = \frac{N}{A} \leq \gamma_{i,sh} R \quad (2.68)$$

Bu formulalardagi bo'ylama kuchlar absolyut qiymatlari bilan olinadi.

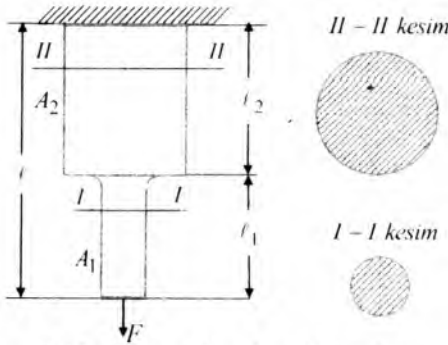
### *III. Sterjnlarni mustahkamlikka tekshirishda xavfli yuklar usuli*

Prandtl diagrammasiga (2.14-chizma) bo'ysinuvchi materialdan yasalgan konstruksiya uchun xavfli yuk sifatida uning elementlarida plastik deformatsiya yetarlicha katta bo'lgan yuk qabul qilinadi. Bunda konstruksiya yukni yana ortishini qabul qilish qobiliyati yo'qoladi.



2.14-chizma. Prandtl diagrammasi

Masalan, 2.15-chizmada keltirilgan o'zgarmas kesimli pog'onali sterjen plastik materialdan tayyorlangan bo'lsa, xavfli yuk  $F_{xavf} = \sigma_{oq} A_1$ , mo'rt materialdan yasalgan bo'lsa, xavfli yuk  $F_{xavf} = \sigma_m A_1$  sifatida qabul qilish lozim.



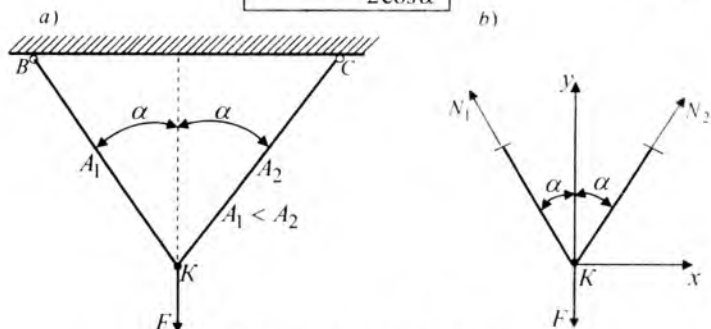
2.15-chizma. Pog'onali sterjen

Statik aniq sterjenlar sistemasida tashqi kuch ta'siridan hosil bo'lgan zo'riqish C tugun uchun tuzilgan statika muvozanat tenglamalaridan aniqlanadi. 2.16-chizma.

$$\begin{aligned} \sum z = 0; \quad N_1 \cos \alpha + N_2 \cos \alpha - F = 0; \\ \sum y = 0; \quad N_1 = N_2. \end{aligned} \quad (2.69)$$

Bu tenglamalardan

$$N_1 = N_2 = \frac{F}{2 \cos \alpha}. \quad (2.70)$$



2.16-chizma. Sterjenlar sistemasi

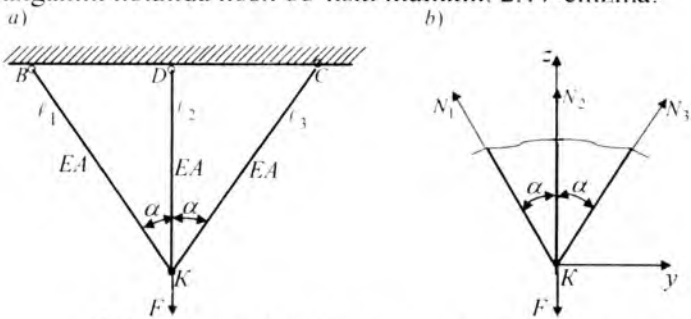
Plastik material uchun xavfli yuk, ko'ndalang kesim yuzasi kichik bo'lgan BK sterjenda hosil bo'lgan kuchlanish  $\sigma_{oq}$  ga teng. Unda xavfli yuk quyidagiga teng bo'ladi:

$$F_{xavf} = 2\sigma_{oq} A_1. \quad (2.71)$$

Mo'rt materiallar uchun kuchlanish  $\sigma_m$  ga teng bo'lгандаги ўқуқабул qилинади. Unda xavfli ўқуқидагига teng bo'ladi:

$$F_{xavf} = 2\sigma_m A_l. \quad (2.72)$$

Tajribalarning ko'rsatishicha, statik aniqmas sterjenlar materiali Prandtl diagrammasiga bo'yсинувчи sistemasiga ta'sir etuvchi sirtqi kuchning sekin-asta ortishi bilan kuchlanish quyidagi uch xil kuchlanganlik holatida hosil bo'lishi mumkin. 2.17-chizma:



2.17-chizma. Statik aniqmas sterjenlar sistemasi

1. Statik aniqmas sterjenlar sistemasida oquvchanlik chegarasiga teng bo'lган kuchlanish avval o'rtadagi sterjenlarda paydo bo'ladi  $N_{2oq} = \sigma_{oq} A$ ;

2. Statik aniqmas sterjenlar sistemasida oquvchanlik chegarasiga teng bo'lган kuchlanish avval chetki sterjenlarda paydo bo'ladi;

3. Statik aniqmas sterjenlar sistemasida oquvchanlik chegarasiga teng bo'lган kuchlanish barcha sterjenlarda hosil bo'ladi.

Birinchi ikki holatda konstruksiya ishdan chiqmaydi, chunki o'rtadagi sterjenda kuchlanish oquvchanlik chegarasiga teng bo'lганда chetki sterjenlarda kuchlanish oquvchanlik chegarasiga yetmaydi va teskarisi.

Uchinchini holatda barcha sterjenlarda kuchlanish oquvchanlik chegarasiga teng bo'lганда konstruksiya to'la yemiriladi, barcha sterjenlardagi kuchlar teng bo'ladi  $N_{1oq} = N_{2oq} = N_{3oq} = \sigma_{oq} A$ . Bunda xavfli ўқуқ statikaning muvozanat shartidan aniqlanadi:

$$\sum Z = 0; \quad N_{2oq} + (N_{2oq} + N_{2oq})\cos\alpha - F_{xavf} = 0. \quad (2.73)$$

$$F_{xavf} = A\sigma_{oq}(1 + 2\cos\alpha).$$

Agar qaralayotgan sistema, mo'rt materialdan yasalgan bo'lsa, unda xavfli yuk o'rtadagi sterjenda hosil bo'lган kuchlanish  $\sigma_m$  mustahkamlik chegarasiga yetgan holatiga to'g'ri keladi.

Xavfli yuk miqdorini aniqlab, sterjenlar va sterjenlar sistemalari yuk ko'tarish qobiliyatini quyidagi formula bilan o'rnatish mumkin:

$$[F] = \frac{F_{xavf}}{n}. \quad (2.74)$$

Bunda  $[F]$  ruxsat etilgan kuch.  $n$  – mustahkamlikning ehtiyyot koeffitsiyenti.

## 2.12-§. Bikirlik sharti

Mashina va inshootlarning normal ishlashini ta'minlash maqsadida ba'zan ularning konstruksiya elementlari o'lchamlarini shunday tanlash kerakki, unda bikirlik sharti bajarilishi ta'minlanishi lozim. Cho'zilish va sifilishda konstruksiya elementlarining bikirlik sharti quyidagicha ifodalanadi:

$$\Delta\ell = \sum \int \frac{N(z)dz}{EA(z)} \leq [\Delta\ell] \quad (2.75)$$

bunda

$\Delta\ell$  – absolyut deformatsiya;

$[\Delta\ell]$  – ruxsat etilgan absolyut deformatsiya.

Shuni eslatib o'tish lozimki, hisob ishlarini bikirlik sharti bo'yicha olib borilganda, albatta, mustahkamlik sharti bo'yicha tekshirib ko'rish lozim. Agar bikirlik sharti bajarilib, mustahkamlik sharti bajarilmasa, unda masalani mustahkamlik sharti bilan yechish zarur.

Deformatsiyalarning boshqa oddiy turlarida sterjenni mustahkamlikka va bikirlikka hisoblash ishlari xuddi shu kabi olib boriladi. Konstruksiya elementlarining bikirlik sharti quyidagicha ifodalanadi.

$$[\theta] \leq [\theta] \quad (2.75)$$

Murakkab kuchlanganlik hotatlarda mustahkamlikka hisoblashni keyinroq ko'rib chiqamiz.

## Masalalar

**2.1-masala.** Diametri 10 sm bo'lgan doira shakldagi ko'ndalang kesimli ikkita ustun 2.18-chizmada ko'rsatilganidek yuklangan. Horizontal elementlar ustunlarga sharnirli biriktirilgan deb faraz qilaylik.

Ikkala ustunning yuqori, o'rta va pastki qismlari kesimlaridagi kuchlanishlarni aniqlang.

**Yechish.** Diametri 10 sm bo'lgan ustun ko'ndalang kesim yuzasini aniqlaymiz:

$$D = 10 \text{ sm}; \quad A = \pi D^2 / 4 = \pi 100 / 4 = 78,5 \text{ sm}^2.$$

Gorizontallar (2.18,b-chizma) sterjenlar o'ng va chap ustunlarga sharnirlar yordamida biriktirilgan. Tashqi kuchlar ta'siridan birikish nuqtalarida hosil bo'lgan reaksiya kuchlarini aniqlash uchun statik muvozanat tenglamani tuzamiz:

$$\sum mom_{chap} = 0; \quad 6000 \cdot 50 + N_{o'ng} \cdot 100 - 5000 \cdot 150 = 0;$$

$$300000 - 75000 + 100 N_{o'ng} = 0; \quad N_{o'ng} = 4500 \text{ N}.$$

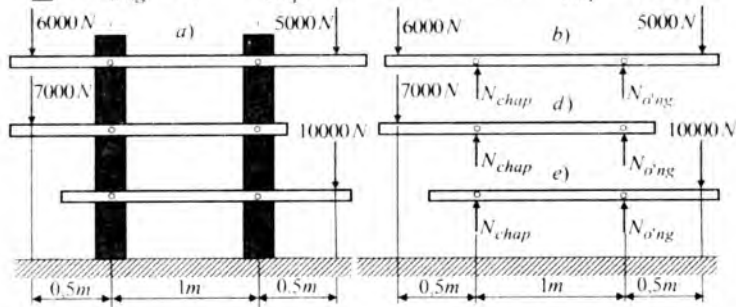
$$\sum mom_{o'ng} = 0; \quad 6000 \cdot 150 + N_{chap} \cdot 100 - 5000 \cdot 50 = 0;$$

$$900000 - 250000 - 100 N_{chap} = 0; \quad N_{chap} = 6500 \text{ N}.$$

O'rtradagi (2.18,d-chizma) sterjen o'ng va chap ustunlarga sharnirlar yordamida biriktirilgan. Tashqi kuch ta'siridan birikish nuqtalarida hosil bo'lgan reaksiya kuchlarini aniqlash uchun statik muvozanat tenglamani tuzamiz:

$$\sum mom_{chap} = 0; \quad N_{o'ng} \cdot 100 + 7000 \cdot 50 = 0; \quad N_{o'ng} = -3500 \text{ N}$$

$$\sum mom_{o'ng} = 0; \quad -N_{chap} \cdot 100 + 7000 \cdot 50 = 0; \quad N_{chap} = 10500 \text{ N}.$$



**2.18-chizma. Gorizontallar sharnirli ikkita ustunga biriktirilgan konstruksiya**

Pastdagi (2.18,e-chizma) sterjen o'ng va chap ustunlarga sharnirlar yordamida biriktirilgan. Tashqi kuch ta'siridan birikish nuqtalarida hosil bo'lgan reaksiya kuchlarini aniqlash uchun statik muvozanat tenglamani tuzamiz:

$$\sum mom_{chap} = 0; \quad N_{o'ng} \cdot 100 - 10000 \cdot 150 = 0; \quad N_{o'ng} = 15000 \text{ N}.$$

$$\sum mom_{o'ng} = 0; \quad -N_{chap} \cdot 100 - 10000 \cdot 50 = 0; \quad N_{chap} = -5000 \text{ N}.$$

O'ng va chap ustunning har bir oralig'ida hosil bo'lgan kuchlanishlarni aniqlaymiz.

Chap ustunning birnchi, ikkinchi va uchinchi oralig'ida hosil bo'lgan kuchlanishlarni aniqlasak, ular tegishlicha quyidagilarga teng bo'ladi:

$$\sigma_{chap}^I = \frac{6500}{78,5} = 83 \text{ N/sm}^2 = 8,3 \cdot 10^5 \text{ kN/m}^2;$$

$$\sigma_{chap}^{II} = \frac{6500 + 10500}{78,5} = \frac{17000}{78,5} = 216,6 \text{ N/sm}^2 = 21,6 \cdot 10^5 \text{ kN/m}^2;$$

$$\sigma_{chap}^{III} = \frac{6500 + 10500 - 5000}{78,5} = \frac{12000}{78,5} = 152,86624 \text{ N/sm}^2 = 15,3 \cdot 10^5 \text{ kN/m}^2.$$

O'ng ustunning birinchi, ikkinchi va uchinchi oralig'ida hosil bo'lgan kuchlanishlarni aniqlasak, ular tegishlicha quyidagilarga teng bo'ladi:

$$\sigma_{o'ng}^I = \frac{4500}{78,5} = 57 \text{ N/sm}^2 = 5,7 \cdot 10^5 \text{ kN/m}^2;$$

$$\sigma_{o'ng}^{II} = \frac{4500 - 3500}{78,5} = \frac{1000}{78,5} = 13 \text{ N/sm}^2 = 1,3 \cdot 10^5 \text{ kN/m}^2;$$

$$\sigma_{o'ng}^{III} = \frac{6500 - 3500 + 15000}{78,5} = \frac{16000}{78,5} = 204 \text{ N/sm}^2 = 20,4 \cdot 10^5 \text{ kN/m}^2.$$

**2.2-masala.** Absolyut qattiq *AB* brus, bir xil ko'ndalang ( $A = 10 \text{ sm}^2$ ) kesimli uchta sterjenga osilgan (2.19-rasmga qarang). Agar sterjenlar po'latdan qilingan bo'lsa, sterjenlardagi kuchlanishlarni hamda A nuqtaning ko'chishini va yo'nalishini aniqlang. 2.19-chizmada ko'rsatilganidek kuch 60 kN sterjen 2 bo'ylab yo'nalgan.

Berilganlar:

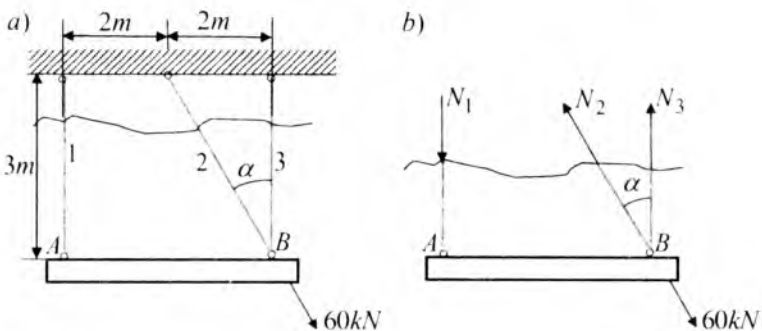
$$A_1 = A_2 = A_3 = 10 \text{ sm}^2; \quad E = 2 \cdot 10^7 \text{ N/sm}^2; \quad \ell_1 = \ell_2 = \ell_3 = \sqrt{13}.$$

*Yechish.* Kesish usulidan foydalananib zo'riqish kuchlarini aniqlaymiz. Statikaning muvozanat tenglamalarini tuzamiz:

$$\sum x(\rightarrow) = 0; + 60 \sin \alpha - N_2 \sin \alpha = 0.$$

$$\sum y(\uparrow) = 0; - 60 \cos \alpha - N_1 + N_2 \cos \alpha + N_3 = 0.$$

$$\sum mom_B = 0; - N_1 \cdot 4 = 0.$$



**2.19-chizma.** Absolyut qattiq gorizontal brus uchta sterjen bilan osilib qo'yilgan konstruksiya

Bu tenglamalarning birinchisidan quyidagini aniqlaymiz:

$$N_2 = 60 \text{ kN}.$$

Bu tenglamalarning ikkinchisidan quyidagini aniqlaymiz:

$$- 60 \cos \alpha - N_1 + 60 \cos \alpha + N_3 = 0; \quad N_1 = N_3.$$

Uchinchi tenglamadan

$$N_1 = 0.$$

Demak, chetki sterjenlarda zo'riqish kuchlari nolga teng bo'lar ekan.

Sterjenlarda hosil bo'lgan kuchlanishlarni aniqlaymiz:

$$\sigma_1 = \frac{N_1}{A_1} = \frac{0}{10} = 0. \quad \sigma_3 = \frac{N_3}{A_3} = \frac{0}{10} = 0. \quad \sigma_2 = \frac{60000}{10} = 60 \text{ MPa}.$$

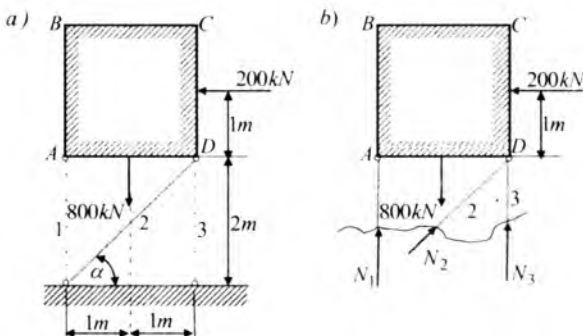
$$\Delta l_2 = \frac{N_2 l_2}{E A} = \frac{60000 \cdot 100 \sqrt{13}}{2 \cdot 10^7 \cdot 10} = 0,10816 \text{ sm}.$$

$$\Delta l_g = \frac{\Delta l_2}{\cos \alpha} = \frac{0,10816}{2 / \sqrt{13}} = 0,19498 \text{ sm} = 1.95 \text{ mm}.$$

**2.3-masala.** Konstruksiya  $ABCD$  poydevorga sterjenlar 1, 2 va 3 yordamida mahkamlangan (2.20-chizma). Konstruksiya deformasiyasini hisobga olmaymiz. Konstruksiyaning og'irligi va unga tushadigan yonlama bosim rasmida ko'rsatilgan. Agar  $[\sigma] = 100 \text{ MPa}$  bo'lsa, ustunlar 1 va 3 hamda qiya tirkak 2 ning (to'rtta teng yonli burchaklikdan iborat) kesimini tanlang.

Berilganlar:  $[\sigma] = 100 \text{ MPa}$

*Yechish.* Sirtqi kuchlardan hosil bo'ladigan zo'riqish kuchlarini aniqlashda kesish usulidan foydalanamiz (2.20-chizma). Chizmadan ko'rindiki,  $\alpha = 45^\circ$  unda  $\cos \alpha = \cos 45^\circ = \sqrt{2}/2$ ;  $\sin \alpha = \sin 45^\circ = \sqrt{2}/2$  ga teng ekanligi ma'lum. Statikaning muvozanat tenglamalarini tuzamiz:



**2.20-chizma. Poydevorga uchta sterjenlar yordamida biriktirilgan konstruksiya**

$$\sum mom_D = 0; N_1 \cdot 2 - 800 \cdot 1 - 200 \cdot 1 = 0; N_1 = 500 \text{ kN}.$$

$$\sum y = 0; N_1 - 800 + N_2 \cos \alpha + N_3 = 0; -300 + N_2 \frac{\sqrt{2}}{2} + N_3 = 0.$$

$$\sum x = 0; -200 + N_2 \sin \alpha = 0; N_2 = \frac{200}{\sqrt{2}} \text{ kN}.$$

Bu formulalarning ikkinchisidan uchinchi sterjenda hosil bo'ladigan zo'riqish kuchini aniqlaymiz:

$$N_3 = 300 - N_2 \frac{\sqrt{2}}{2} = 300 - \frac{200}{\sqrt{2}} \frac{\sqrt{2}}{2} = 100 \text{ kN}.$$

Sterjenlarning ko'ndalang kesim yuzalarini mustahkamlik shartidan foydalanib aniqlaymiz:

$$A_1 \geq \frac{N_1}{[\sigma]} = \frac{500000}{10000} = 50 \text{ sm}^2, \quad A_2 \geq \frac{N_2}{[\sigma]} = \frac{200000}{10000} \cdot \frac{2}{\sqrt{2}} = 28,3 \text{ sm}^2.$$

$$A_3 \geq \frac{N_3}{[\sigma]} = \frac{100000}{10000} = 10 \text{ sm}^2.$$

Birinchi sterjenning ko'ndalang kesim yuzasi  $50 \text{ sm}^2$  bo'lgani uchun sortament jadvalidan kesimi 14 bo'lgan teng yonli to'rtta burchakni tanlaymiz  $80 \times 80 \times 8$ .

Ikkinci sterjenning ko'ndalang kesim yuzasi  $28 \text{ sm}^2$  bo'lgani uchun sortament jadvalidan kesimi 7,28 bo'lgan teng yonli to'rtta burchakni tanlaymiz  $63 \times 63 \times 6$ .

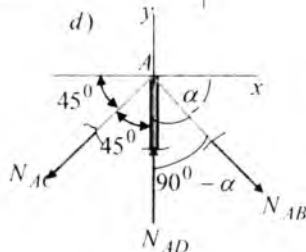
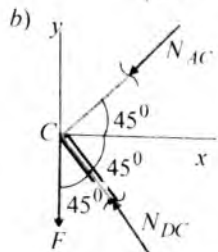
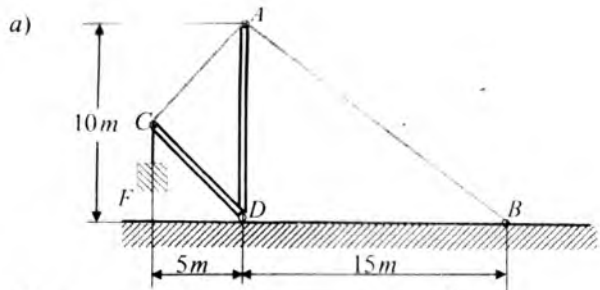
Uchinchi sterjenning ko'ndalang kesim yuzasi  $10 \text{ sm}^2$  bo'lgani uchun sortament jadvalidan kesimi 2,43 bo'lgan teng yonli to'rtta burchakni tanlaymiz  $32 \times 32 \times 4$ .

*2.4-masala.* 2.21, a-chizmada ko'tarish krani ko'rsatilgan. Uning tortqisi AB ko'ndalang kesimi  $500 \text{ mm}^2$  li po'lat simarqon hisoblanadi. Simarqon uchun ruxsat etilgan kuchlanish  $80 \text{ MPa}$  ga teng. Tortqining mustahkamlik shartiga ko'ra, kranning yuk ko'taruvchanligi (maksimal yuk  $F$  ning qiymati) nimaga teng?

*Yechish.* Tortqi zo'riqish kuchlarini aniqlash uchun kesish usulidan foydalanamiz. C nuqtadan o'tuvchi barcha kuchlarning vertikal va gorizontal o'qlardagi proyeksiyalarining yig'indisini nolga tenglaymiz:

$$\sum F_x = 0: \quad N_{AC} \cos 45^\circ - N_{DC} \cos 45^\circ = 0.$$

$$\sum F_y = 0: \quad (N_{AC} + N_{DC}) \cos 45^\circ - F = 0.$$



## 2.21-chizma. Yuk ko'tarish krani sxemasi

Bundan

$$N_{AC} = N_{DC}; \quad N_{AC} = N_{DC} = \frac{F}{2 \cos 45^\circ} = \frac{F}{\sqrt{2}}.$$

D nuqtadan o'tuvchi, barcha kuchlarning o'qlardagi proyeksiyalarining yig'indisini nolga tenglaymiz:

Bundan

$$N_{AB} = \frac{N_{AC} \cos 45^\circ}{\cos \alpha} = \frac{F \cos 45^\circ}{\sqrt{2} \cos \alpha} = \frac{F}{\sqrt{2}} \cdot \frac{1}{2} \cdot \frac{1}{\cos \alpha} = \frac{\sqrt{13} \cdot F}{6}.$$

Bunda  $\cos \alpha = 3/\sqrt{13}$ .

Tortqi ko'tara oladigan yukni mustahkamlik shartidan aniqlaymiz:

$$\frac{F \sqrt{13}/6}{A} \leq [\sigma]; \quad F = \frac{6A[\sigma]}{\sqrt{13}} = \frac{6 \cdot 500 \cdot 10^{-6} \cdot 80 \cdot 10^6}{\sqrt{2} \cos \alpha} = 66,7 \text{ kN}.$$

**2.5-masala.** Tortqilar 1 va 2 ning dumaloq ko'ndalang kesimi diametrini aniqlang (2.22-chizma). Qiya tortqi materiali uchun ruxsat etilgan kuchlanishni 100 MPa deb oling.

Berilgan:  $[\sigma] = 100 \text{ MPa}$ .

*Yechish.* Kesish usulidan foydalanib birinchi va ikkinchi sterjenlarda hosil bo'ladigan zo'riqish kuchlarini aniqlaymiz.

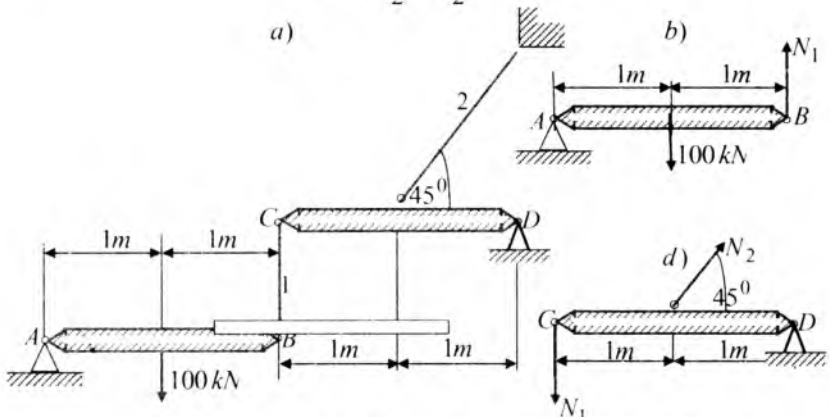
Pastki AB balka uchun statikaning muvozanat tenglamasini tuzamiz (2.22,b-chizma):

$$\Sigma mom_A = 0; \quad N_1 \cdot 200 - F \cdot 100 = 0.$$

Bundan birinchi sterjenda hosil bo'ladigan zo'riqish kuchini aniqlaymiz:

$$N_1 = \frac{F}{2} = \frac{10^2}{2} \cdot 5 \cdot 10^4 \text{ N.}$$

a)



**2.22-chizma. Ikkita absolyut qattiq gorizontal brusli konstruksiya**

Birinchi sterjenning ko'ndalang kesimini mustahkamlik shartidan aniqlaymiz:

$$A_1 = \frac{N_1}{[\sigma]} = \frac{5 \cdot 10^4}{1000} = 5 \text{ sm}^2.$$

Bundan birinchi sterjenning diametrini aniqlaymiz:

$$d_1 = \sqrt{\frac{4A_1}{\pi}} = \sqrt{\frac{4 \cdot 5}{3,14}} = 2,52 \text{ sm} = 25,2 \text{ mm.}$$

*Yuqorigi CD balka uchun statikaning muvozanat tenglamasini tuzamiz (2.22,d-chizma):*

$$\Sigma mom_D = 0; \quad N_1 \cdot 200 - N_2 \cdot 100 \cdot \sin 45^\circ = 0.$$

$$N_2 = \frac{2N_1}{\sin 45^\circ} = \frac{2(2 \cdot 5 \cdot 10^4)}{\sqrt{2}} = 14,1844 \cdot 10^4 N.$$

Ikkinci sterjenning ko'ndalang kesimini mustahkamlik shartidan aniqlaymiz:

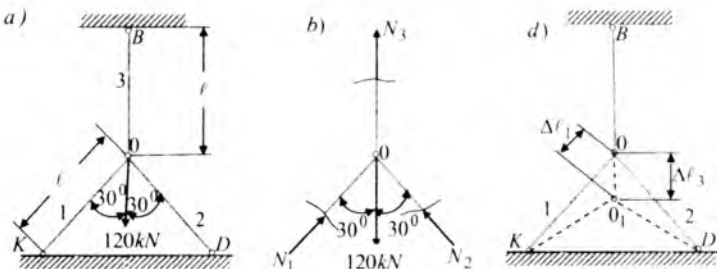
$$A_2 \geq \frac{N_2}{[\sigma]} = \frac{14,1844 \cdot 10^4}{10000} = 14,1844 \text{ sm}^2.$$

$$d_2 = \sqrt{\frac{4A_2}{\pi}} = \sqrt{\frac{4 \cdot 14,1844}{3,14}} = 4,25 \text{ sm} = 42,5 \text{ mm}.$$

**2.6-masala.** Bir nuqtada sharnirli biriktirilgan uchta sterjenning ko'ndalang kesimi bir xil (rasmga qarang).  $\sigma = 160 \text{ MPa}$  deb olib, ko'ndalang kesim yuzasini aniqlang (2.23-chizma).

*Yechish.* Masalaning shartida sterjen materiali berilmaganligi uchun elastiklik modulini bir xil deb olamiz.

Kesish usulidan foydalanimiz sterjenli fermadan 0 nuqta atrofida konstruksiya ajratib olamiz va unga ta'sir etuvchi kuchlarni qo'yamiz.



2.23-chizma. Ferma.

1. *Masalaning statik tomonini qaraymiz, ya'ni statikaning muvozanat tenglamalarini tuzamiz.*

2.

$$\sum z = 0; \quad -N_2 \sin 30^\circ + N_1 \sin 30^\circ = 0; \quad N_2 = N_1.$$

$$\sum y = 0; \quad N_2 \sin 30^\circ + N_1 \sin 30^\circ + N_3 - 120000 = 0.$$

Bir-biriga bog'liq bo'limgan tenglamadan faqat ikkita, chunki barcha kuchlar bir nuqtadan o'tadi va sistema tekislikda yotadi. Bu ikki tenglamada uchta noma'lum bo'lgani uchun ferma bir marta statik aniqmas.

2. *Masalaning geometrik tomonini qaraymiz.* Yuqoridagi aniqlangan statikaning muvozanat tenglamalarini birinchisidan ko'rinish turibdiki, yon tomonlardagi sterjenlarda hosil bo'ladi. Bu yon tomonlardagi sterjenlarning uzunligi va bikirliklari ham teng bo'lgani uchun absolyut bo'ylama qisqarishlari ham teng bo'ladi, ya'ni  $\Delta\ell_1 = \Delta\ell_2$ . Shuning uchun ham 0 nuqta 3 sterjen bo'ylab pastga qarab ko'chadi. Fermaning deformatsiya holati 2.23-chizmada uzlukli chiziqlar bilan ko'rsatilgan. Chizmadan ko'rinish turibdiki, 0 nuqtaning pastga tu shishi  $00_1$  uchinchi o'rtadagi sterjenning absolyut cho'zilishi  $\Delta\ell_3$ ga teng. Yon tomondagи sterjenlarning absolyut  $\Delta\ell_1$  qisqarishini aniqlash uchun  $K0$  dastlabki uzunlikdan  $K0_1$  qisqarishdan keyingi uzunlikni ayirish lozim. Buning uchun  $K$  nuqtani aylana markazi deb olib,  $0_1$  nuqtadan yoy o'tkazish kerak  $K0$  uzunlik bilan kesishguncha kesishish nuqtasini birorta  $C$  nuqta bilan belgilaymiz.  $00_1$  ko'chish juda kichik bo'lganligi uchun  $C0_1$  yoyni urinma bilan almashtirsa ham bo'ladi yoki 0 nuqtadan  $K0$  uzunlikka perpendikulyar tushirib  $C0_1 = \Delta\ell_1$  ekanligini ko'ramiz. 2.23-chizmadan ko'rinish turibdiki birinchи va uchinchi sterjenlar absolyut uzayishi va qisqarishi orasida quyidagi munosabat mavjud:

$$\Delta\ell_1 = \Delta\ell_3 \cos 30^\circ$$

3. *Masalaning fizik tomonini qaraymiz.* Guk qonunidan foydalaniib deformatsiyalarni kuchlar orqali ifodalaymiz:

$$\Delta\ell_1 = \frac{N_1\ell_1}{E_1 A_1}; \quad \Delta\ell_3 = \frac{N_3\ell_3}{E_3 A_3}.$$

Bu ifodani yuqoridagi tenglikka qo'yamiz, unda:

$$\frac{N_1\ell_1}{E_1 A_1} = \frac{N_3\ell_3}{E_3 A_3} \cos 30^\circ.$$

Bunda  $\ell_1 = \ell_2 = \ell_3 = \ell$ ;  $E_1 = E_2 = E_3 = E$  ekanligini e'tiborga ol-sak, unda quyidagini hosil qilamiz:

$$N_1 = N_3 \cos 30^\circ.$$

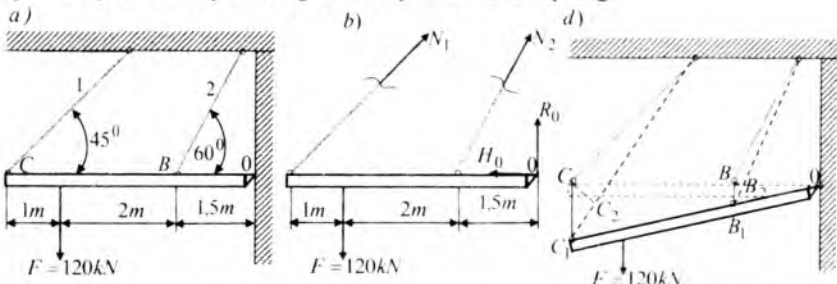
4. Sintez. Bo'ylama kuch  $N_1$  miqdorini muvozanat tenglamaga olib borib qo'yamiz, natijada quyidagini hosil qilantiz:

$$N_3 \cos 30^\circ + N_3 \cos 30^\circ + N_3 - 120000 = 0. \quad N_3 = \frac{120000}{1 + \frac{6}{4}} = \frac{120000}{2,5} = 48000 \text{ N.}$$

Ko'ndalang kesim yuzasini aniqlaymiz

$$A \geq \frac{N_3}{[\sigma]} = \frac{48000}{16000} = 3 \text{ sm}^2 = 3 \cdot 10^{-4} \text{ m}^2.$$

2.7-masala. Bikir balkani tortqilar 2.24-chizmada ko'rsatilgan-dek ushlab turadi. Birinchi tortqining ko'ndalang kesim yuzasi ikkin-chisinkidan ikki marta katta bo'lishi lozim. Tortqilarning materiali uchun ruxsat etilgan kuchlanish  $[\sigma] = 160 \text{ MPa}$  qabul qilingan. O'ng tiralgan uchida hosil bo'ladijan reaksiz kuchlarini aniqlash talab qilinmaydi. Tortqilarning kesim yuzasini aniqlang.



2.24-chizma. Ikkita tortqi bilan ushlab turilgan konstruksiya

Yechish. 1. Masalaning statik tomonini qaraymiz. Kesish usulidan foydalanamiz. Qoldirilgan qismiga ta'sir etayotgan barcha kuchlardan tayanch 0 nuqtaga nisbatan momentlarning algebraik yig'indisini nolga tenglaymiz:

$$4,5N_1 \sin 45^\circ + 1,5N_2 \sin 60^\circ - 3,5F = 0.$$

Demak, bu tenglamadan ko'rindaniki, masala bir marta statik aniqlmas.

2. Masalaning geometrik tomonini qaraymiz.

$$C_1C_2 = \Delta l_1; \quad B_1B_2 = \Delta l_2$$

Uchburchaklarning o'xshashligidan foydalanib, quyidagi nisbatni yozish mumkin:

$$\frac{CC_1}{4,5} = \frac{BB_1}{1,5}.$$

Bu nisbatdagi kesmalarini sterjenlar sistemasining deformatsiyalaridan hosil bo'lgan kesmalarini quyidagicha ifodalash mumkin:

$$\frac{C_1 C_2}{CC_1} = \sin 45^0; \quad \frac{B_1 B_2}{BB_1} = \sin 60^0; \quad CC_1 = \frac{\Delta \ell_1}{\sin 45^0}; \quad BB_1 = \frac{\Delta \ell_2}{\sin 60^0}.$$

*3. Masalaning fizik tomonini qaraymiz.* Guk qonunidan foydalab, deformatsiyalarini kuchlar orqali ifodalaymiz:

$$\Delta \ell_1 = \frac{N_1 \ell_1}{E_1 A_1}; \quad \Delta \ell_2 = \frac{N_2 \ell_2}{E_2 A_2}; \quad A_1 = 2F_2 = 2A; \quad \ell_2 = \frac{4}{\sin 60^0}; \quad \ell_1 = \frac{4}{\sin 45^0}$$

Hosil qilingan ifodalarni yuqoridagi nisbatga qo'yamiz:

$$\frac{N_1 \ell_1}{2E_1 A_1} = \frac{N_2 \ell_2}{E_2 A_2}; \quad \frac{N_1}{2 \sin 45^0} = \frac{N_2}{\sin 60^0}; \quad N_1 = \frac{2 \sin 45^0}{\sin 60^0} N_2,$$

*4. Sintez.* Hosil bo'lgan tenglamalarni birqalikda yechamiz:

$$4,5 \frac{2 \sin 45^0}{\sin 60^0} N_2 \sin 45^0 + 1,5 N_2 \sin 60^0 - 3,5F = 0.$$

Yoki

$$N_2 \left( 9 \frac{\sin^2 45^0}{\cos 60^0} + 1,5 \sin 60^0 \right) = 3,5F.$$

Bundan

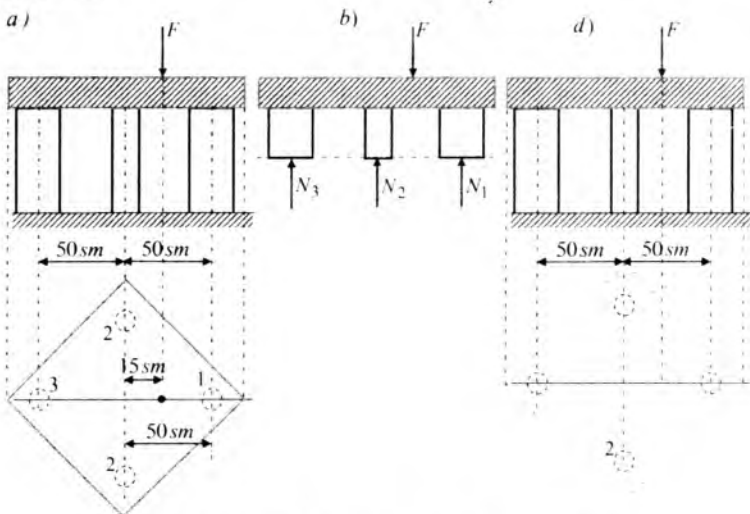
$$N_2 = \frac{3,5F}{\left( 9 \frac{1}{\sqrt{3}} + 1,5 \frac{\sqrt{3}}{2} \right)} = \frac{3,5F}{\left( \frac{36+9}{4\sqrt{3}} \right)} = \frac{3,5 \cdot 6,928}{45} = 0,5F.$$

Ko'ndalang kesim yuzalarini aniqlaymiz:

$$A_2 = \frac{0,5F}{[\sigma]} = \frac{0,5 \cdot 12000}{1600} = 3,75 \text{ sm}^2. \quad A_1 = 2A_2 = 7,5 \text{ sm}^2.$$

*2.8-masala.* Kvadrat plita bir xil ko'ndalang kesimli, bir xil uzunlikdagi va bir xil materialdan yasalgan hamda simmetrik joylashgan to'rtta ustunga tayanadi (2.25-chizm). Plitaning deformatsiyalarishini hisobga olmay, har bir ustundagi zo'riqishlar kattaligini aniqlang.

*Yechish.* Sirtqi kuch yuqoridagi absolyut qattiq plitaning diagonali ustiga ta'sir qilgani uchun  $N_4 = N_2$  bo'ladi. Kesish usulidan foydalanamiz.



2.25-chizm. To'rtta ustunga tayangan plita

1. *Masalaning statik tomonini qaraymiz.* Konstruksiyaga ta'sir etayotgan barcha kuchlarning vertikal o'qdagi proyeksiyalari algebraik yig'indisini nolga tenglaymiz:

$$N_1 + 2N_2 + N_3 - F = 0. \quad (1)$$

Barcha kuchlarning 2 doirachaning og'irlik markazidan o'tuvchi o'qiga nisbatan olingan momentlarning algebraik yig'indisini nolga tenglaymiz:

$$N_1 \cdot 50 - N_3 \cdot 50 - F \cdot 15 = 0. \quad (2)$$

2. *Masalaning geometrik tomonini qaraymiz.* Konstruksiyaning deformatsiyalanishidan foydalanib quyidagi proporsiyani tuzamiz:

$$\Delta\ell_2 = \frac{\Delta\ell_1 + \Delta\ell_3}{2}; \quad 2\Delta\ell_2 = \Delta\ell_1 + \Delta\ell_3.$$

3. *Masalaning fizik tomonini qaraymiz:* Guk qonunidan foydalanib deformatsiyalarni zo'riqish kuchlari orqali ifodalaymiz:

$$\Delta\ell_1 = \frac{N_1 \ell_1}{E_1 A_1}; \quad \Delta\ell_2 = \frac{N_2 \ell_2}{E_2 A_2}; \quad \Delta\ell_3 = \frac{N_3 \ell_3}{E_3 A_3}.$$

Bu ifodalarni yuqoridagi proporsiyaga qo'yamiz:

$$2 \frac{N_2 \ell_2}{E_2 A_2} = \frac{N_1 \ell_1}{E_1 A_1} + \frac{N_3 \ell_3}{E_3 A_3}, \quad 2N_2 = N_1 + N_3. \quad (3)$$

4. *Sintez.* Bu tenglama (3) bilan statikaning (1) va (2) muvozanat tenglamalarini birgalikda yechamiz.

$$2N_2 + 2N_3 = -F; \quad N_2 = -\frac{1}{4}F = -0,25F, \quad N_1 = -\frac{1}{2}F - N_3.$$

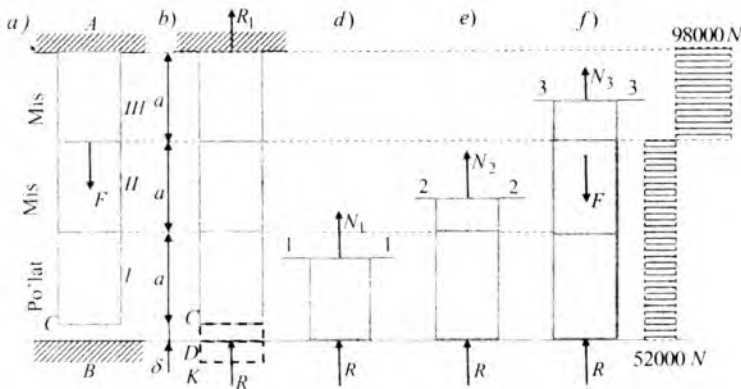
$$50 \cdot \frac{1}{2}F + 50N_3 + 50N_3 = 15F; \quad N_3 = -\frac{10}{100}F = -0,1F, \quad N_1 = \frac{1}{2}F - \frac{1}{10}F = -0,4F.$$

2.9-masala. 2.26-chizmada ko'rsatilgan sterjenlarning I, II, III oraliqlaridagi kesimlardagi kuchlanishlarni aniqlang.  $A$  va  $B$  tekisliklar mutlaqo qimirlamay turadi.  $a = 0,5 \text{ m}$ ;  $A = 100 \text{ sm}^2$ ;  $F = 1500 \text{ kN}$ ;  $\delta = 0,1 \text{ mm}$  deb oling. Yuk  $F$  qo'yunguga qadar  $\delta$  ko'rsatilgan o'lchamda turadi. Yuk qo'yilgandan keyin ular berkiladi.

*Yechish.* Yuqori uchi bilan mahkamlangan sterjen yuklanganga qadar uning pastki uchi bilan tayanch orasida kichik tirqish mavjud.

Bu tirqishning miqdori  $\delta = 0,01 \text{ sm}$  ga teng.

Sterjenga to'plangan kuch chizmada keltirilgandek qo'yilsa, sterjen pastki uchi va tayanch orasidagi tirqish yopilib reaksiya kuchi hosil bo'ladi.



2.26-chizma. Statik aniqmas sterjen

Chunki sterjenning sirtqi to'plangan kuchdan birinchi oraliqda hosil bo'lgan absolyut cho'zilishi  $\Delta \ell_m = \frac{Fa}{E_m A_m} = \frac{150000 \cdot 50}{1 \cdot 10^6 \cdot 100} = 0,075 \text{ sm}$  ga teng bo'lib, sterjen pastki uchi bilan tayanch orasidagi masofadan katta, ya'ni  $0,075 > 0,01 \text{ sm}$  bo'lganligi sababli masala statik aniqmasdir.

*Masalaning statik tomonini qaraymiz*, ya'ni statikaning muvozanat tenglamalarini tuzamiz. Kuchlar sistemasi tekislikda bitta to'g'ri chiziqda yotganligi uchun statikaning bitta tenglamasini tuzamiz:

$$R + R_1 - F = 0.$$

Bu tenglamada ikkita noma'lum bo'lganligi sababli masala bir marta statik aniqmas. Demak, bitta qo'shimcha tenglama tuzamiz.

Ko'chish tenglamasini tuzamiz:

$$\delta = \overline{CK} - \overline{DK}, \quad \overline{DK} = \frac{R \cdot a}{E_p A_p} + \frac{R \cdot 2a}{E_m A_m}; \quad \overline{CK} = \frac{F \cdot a}{E_m A_m};$$

$$\delta = \frac{F \cdot a}{E_m A_m} - \frac{R \cdot a}{E_p A_p} - \frac{R \cdot 2a}{E_m A_m}; \quad 0,01 = \frac{50F}{1 \cdot 10^7 \cdot 100} - \frac{50R}{2 \cdot 10^7 \cdot 100} - \frac{100R}{1 \cdot 10^7 \cdot 100};$$

$$0,01 = \frac{50F}{1 \cdot 10^7 \cdot 100} - \frac{50R}{2 \cdot 10^7 \cdot 100} - \frac{100R}{1 \cdot 10^7 \cdot 100}.$$

$$R = \frac{(-0,02 \cdot 10^7 + 150000)4}{2} = -520000 \frac{N}{sm^2}.$$

Sterjen oraliqlari kesimlarida hosil bo'ladigan bo'ylama zo'riqish kuchlarini aniqlashni pastki birinchi oraliqdan boshlaymiz, chunki tayanch reaksiya kuchi ma'lum:

Pastki oraliq  $0 \leq z_1 \leq a = 50 \text{ sm}$  chegarada o'zgaradi.

Kesish usulidan foydalanamiz. Olib qolningan pastki qism muvozanatini tekshirib ko'ramiz, ya'ni statikaning muvozanat tenglamasini tuzamiz:

$$N_1 + R = 0; \quad N_1 = -R = -52000 \frac{N}{sm^2}.$$

O'rta oraliq  $a \leq z_2 \leq 2a = 100 \text{ sm}$  chegarada o'zgaradi.

Kesish usulidan foydalanamiz. Olib qolingan pastki qism muvozanatini tekshirib ko'ramiz, ya'ni statikaning muvozanat tenglamasini tuzamiz:

$$N_2 + R = 0; \quad N_2 = -R = -52000 \frac{N}{sm^2}.$$

Yuqorigi oraliq  $2a \leq z_3 \leq 3a = 150\text{ sm}$  chegarada o'zgaradi.

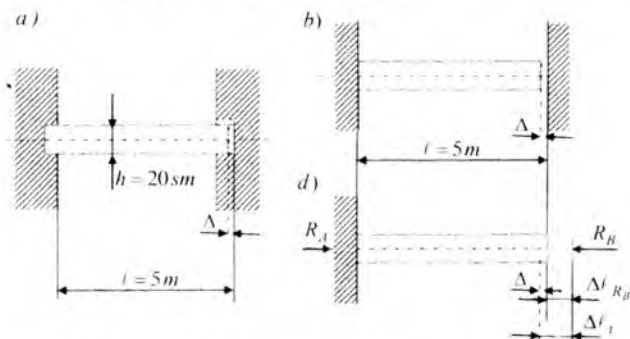
Kesish usulidan foydalanamiz. Olib qolingan pastki qism muvozanatini tekshirib ko'ramiz, ya'ni statikaning muvozanat tenglamasini tuzamiz:

$$N_3 + R - F = 0; \quad N_3 = -R + F = 98000 \frac{N}{sm^2}.$$

**2.10-masala.** Ishlab chiqarish tashkiloti sexi tomini g'ishtli devorga temir-beton plitaning bir tomonidan  $\Delta = 4\text{ mm}$  tirqish qo'yib  $t_0 = -10^0\text{ C}$  temperaturada yopilgan (2.27-chizma). Sexda temperatura  $t_0 = 90^0\text{ C}$  ko'tarilish mumkin. Yopma plitada temperatura o'zgarishidan kuchlanish hosil bo'ladimi?

Agar temperatura kuchlanish hosil bo'lsa, uning miqdori nimaga teng bo'ladi?

**Berilganlar:** temir-betonning chiziqli kengayish koeffitsiyenti  $\alpha = 12 \cdot 10^{-6}\text{ C}^{-1}$  elastiklik moduli  $E = 20\text{ GPa}$ .



**2.27-chizma.** Temperatura ta'siridagi tirqishli sterjen

**Yechish.** Temperaturaning o'zgarishini aniqlaymiz:

$$\Delta t = 90^0 - (-10^0) = 100^0\text{ C}.$$

Unda plitaning bo'ylama cho'zilish deformatsiyasi quyidagiga teng bo'ladi:

$$\Delta\ell_t = \alpha\Delta t\ell = 12 \cdot 10^{-6} \cdot 100 \cdot 5 = 6 \cdot 10^{-3} m = 6 mm.$$

Plita bilan devor orasidagi tirqish  $\Delta = 4 mm$ , plitaning bo'ylama cho'zilishdagi deformatsiyasi  $\Delta\ell = 6 mm$ , dan kichik bo'lganligi tufayli, uning erkin uzayishiga yo'l qo'ymaydi. Shuning uchun sistema statik noaniqdir, chunki tayanchlarda ikkita  $R_A$  va  $R_B$  noma'lum reaksiya kuchlari hosil bo'ladi. Masalaning statik tomonini qaraymiz, ya'ni statikaning bitta muvozanat tenglamasini tuzish mumkin:

$$\sum z = 0; R_A - R_B = 0; R_A = R_B. \quad (1)$$

Masalaning geometrik tomonini qaraymiz:

Plitaning o'ng tomonidagi reaksiya kuchi  $R_B$  ni tashlab yuboramiz. Unda plita o'ng tomonga erkin uzayishi  $\Delta\ell_t > \Delta$  mumkin, lekin haqiqatda esa tirqish uzunligiga uzayishi mumkin. 2.27,b-chizmadan quyidagi ifodani yozish qiyinchilik tug'dirmaydi:

$$\Delta\ell_t - \Delta\ell_{R_B} = \Delta. \quad (2)$$

Masalaning fizik tomonini qaraymiz:

$$\Delta\ell_t = \alpha\Delta t\ell; \Delta\ell_{R_B} = \frac{R_B\ell}{EA}.$$

Bu ifodalarni yuqoridagi (2) tenglamaga qo'yib quyidagini hosil qilamiz:

$$\alpha\Delta t\ell - \Delta = \frac{R_B\ell}{EA} = \frac{\sigma\ell}{E}.$$

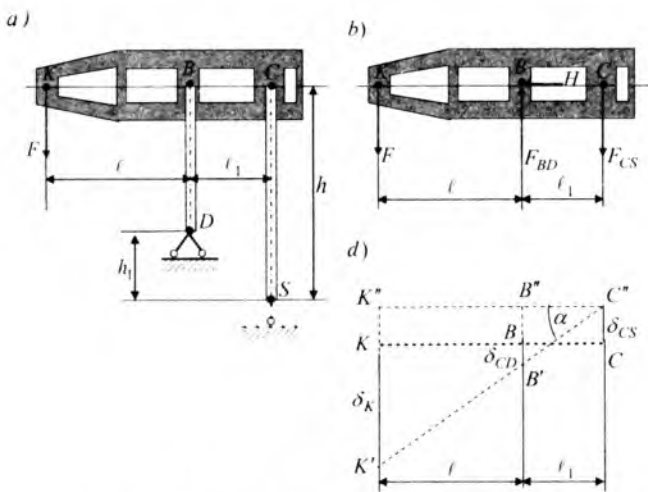
Ushbu tenglamadan plita ko'ndalang kesimida hosil bo'lgan kuchlanishi aniqlaymiz:

$$\sigma = \frac{(\alpha\Delta t\ell - \Delta)E}{\ell} = \frac{(12 \cdot 10^{-6} \cdot 100 \cdot 5 - 4 \cdot 10^{-3})20 \cdot 10^9}{5} = -8 \cdot 10^6 MPa.$$

Plitaning devorga ko'rsatadigan bosimini ham aniqlaymiz:

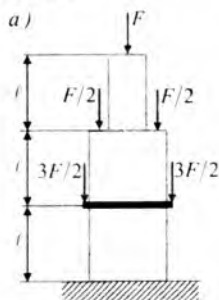
$$q = \sigma h = -8 \cdot 10^6 \cdot 1,2 = 1,6 MN/m.$$

**2.11-masala.** Sirtqi kuch  $F = const$  ta'sirida bo'lgan 2.28-chizmada keltirilgan konstruksiya ustunlarida hosil bo'lgan zo'riqish kuchlari va ustunlarning ko'chishlari  $\delta_{CS}$  va  $\delta_{BD}$  aniqlansin [28,74-bet].



2.28-chizma. Yuk ko'tarish kran modeli

2.12-masala. Sirtqi siquvchi kuchlar ta'siridagi 2.29-chizmada keltirilgan ustunning har bir oraliqlaridagi zo'riqish kuchlar, kuchlanishlari aniqlanib epyuralari qurilsin va mustahkamlik shartidan foydalanib, ko'ndalang kesim diametri aniqlansin [30, part I, p-18], [28,57-bet]. Berilganlar:  $F = 20\text{kN}$ , ustun materiali uchun ruxsat etilgan kuchlanish  $\sigma_{nx} = 147 \text{ MPa}$ .

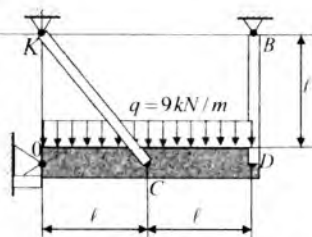


2.29-chizma. Ikki pog'onali sigilgan sterjen

2.13-masala. Sirtqi kuch ta'siridan 2.30-chizmada ko'rsatilgan konstruksiyaning  $N_{CK}$  va  $N_{DB}$  sterjenlaridagi kuchlanishlar va  $D$

nuqtaning ko'chishi aniqlansin [30, part I, p-80]. [28,79-bet]. Berilganlar: sterjenlarning ko'ndalang kesim yuzalari  $A_{CK} = 14 \text{ mm}^2$ ;  $A_{DB} = 28 \text{ mm}^2$ , elastiklik moduli alyumin uchun  $E = 68,9 \text{ GPa}$ .

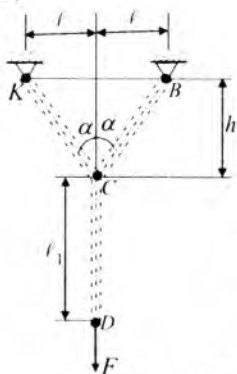
a)



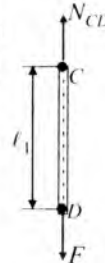
2.30-chizma. Ikki tortqi yordamida osilgan konstruksiya

2.14-masala. Sirtqi kuch  $F = \text{const}$  ta'sirida bo'lgan 2.31-chizmada keltirilgan sterjenlarda hosil bo'lgan zo'riqish kuchlari, kuchlanishlar va eng katta kuchlanish  $\sigma_{\max} = ?$  aniqlansin [28,75-bet]. Berilganlar: kuch  $F = 300 \text{ kN}$ , sterjenlar ko'ndalang kesim yuzalari  $A_{CK} = 1100 \text{ mm}^2$ ;  $A_{CB} = 1000 \text{ mm}^2$ ;  $A_{CD} = 900 \text{ mm}^2$ , uzunliklar  $\ell_1 = 200 \text{ sm}$ ;  $h = 150 \text{ sm}$ ;  $\ell = 100 \text{ sm}$ .

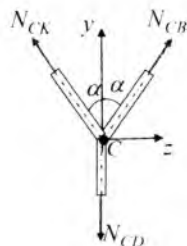
a)



b)



d)



2.31-chizma. Fermen

2.15-masala. Yuqori uchi bilan qistirib mahkamlangan erkin uchiga qo'yilgan to'plangan  $F = 300 \text{ kN}$  kuch va xususiy og'irligidan,

*materialining solishtirma og'irligi*  $\gamma = 7,8 \cdot 10^{-2} N/sm^3$ , ruxsat etilgan kuchlanishi  $[\sigma] = 16 kN$ , uzunligi  $\ell = 2,0 m$  bo'lgan sterjenning to'la uzayishi aniqlansin.

**2.16-masala.** Uzunliklari bir-biriga teng bo'lgan besh pog'onali po'lat sterjen yuqorigi uchi bilan shiftga mahkamlangan, erkin uchi  $F = 200 kN$  kuch bilan yuklangan. Uzunligi  $\ell = 150 m$ , ruxsat etilgan kuchlanish  $[\sigma] = 4000 N/sm^2$  teng bo'lganda sterjenning og'irligi aniqlansin.

**2.17-masala.** Qishda  $t = -30^\circ C$  temperaturada yotqizilgan po'lat relsda yoz oylarida temperatura  $t = 30^\circ C$  ga ko'tarilganda uning ko'ndalang kesimida hosil bo'lgan kuchlanish aniqlansin. Berilganlar rels materiali chiziqli kengayish koefitsiyenti  $\alpha = 125 \cdot 10^{-7} \frac{1}{grad}$ , elastiklik moduli  $E = 2 \cdot 10^5 MPa$ .

**2.18-masala.** Qish oylarida temperatura  $t = -30^\circ C$  bo'lganda har bir  $10 m$  dan keyin  $\Delta = 6 mm$  tirqish qo'yib yotqizilgan po'lat relsda yoz oylarida temperatura  $t = 30^\circ C$  ga ko'tarilganda, uning ko'ndalang kesimida hosil bo'lgan kuchlanish aniqlansin. Tirqish  $\Delta = 7,5 mm$  bo'lgan hol uchun ham kuchlanish miqdori aniqlansin. Berilganlar: rels materiali chiziqli kengayish koefitsiyenti  $\alpha = 125 \cdot 10^{-7} \frac{1}{grad}$  elastiklik moduli  $E = 2 \cdot 10^5 MPa$ .

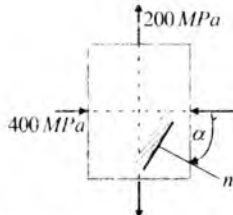
Javobi:  $\sigma = 30 MPa$ .

**2.19-masala.** Elementar parallelpipedga ikkita bosh kuchlanishlar qo'yilganligi ma'lum. Berilgan  $\alpha = 60^\circ$  burchak ostida o'tgan qiya yuzadagi normal va urinma kuchlanishlar aniqlansin (2.32-chizma).

*Yechish.* Jism nuqtasining kuchlanganlik holati mavzusida bosh kuchlanishlarni  $\sigma_1 > \sigma_2 > \sigma_3$  kabi qabul qilish ko'rsatib o'tilgan edi.

Bosh kuchlanishlar unda quyidagilarga teng bo'ladi:

$$\sigma_1 = 200 MPa; \sigma_2 = 0; \sigma_3 = -400 MPa.$$



2.32-chizma. Bosh yuzaga  $\alpha$  burchak ostida bo'lgan yuza

Bosh yuzalarga burchak ostida bo'lgan yuzadagi normal va urinma kuchlanishlarni quyidagi formuladan aniqlaymiz:

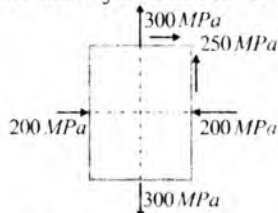
$$\begin{aligned}\sigma_\alpha &= \sigma_1 s \cos^2 \alpha + \sigma_2 s \sin^2 \alpha = .200 s \cos^2(-60^\circ) + (-400) \sin^2(-60^\circ) = \\ &= 200 \cdot \left(\frac{1}{2}\right)^2 - 400 \left(\frac{\sqrt{3}}{2}\right)^2 = 50 - 300 = -250 \text{ MPa}.\end{aligned}$$

$$\tau_\alpha = \frac{\sigma_1 - \sigma_2}{2} \sin 2\alpha = \frac{200 - (-400)}{2} \sin 2(-60^\circ) = 300 \cdot \left(-\frac{\sqrt{3}}{2}\right) = -260 \text{ MPa}.$$

2.20-masala. Hajmiy kuchlanganlik holatidagi jismdan ajratib olingan parallelepipedning tomonlariga ta'sir etayotgan kuchlanishlar ma'lum (2.34-chizma)

$$\sigma_x = -200 \text{ MPa}; \quad \sigma_y = 300 \text{ MPa}; \quad \tau_{xy} = -250 \text{ MPa}; \quad \tau_{yx} = 250 \text{ MPa}.$$

Bosh kuchlanishlar va bosh yuzalar holati aniqlansin.



2.33-chizma. Tekis kuchlanish holatidagi element

*Yechish.* Bosh yuzalarga ta'sir etayotgan bosh kuchlanishlarni quyidagi formuladan aniqlaymiz:

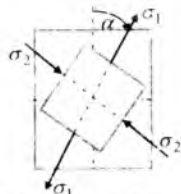
$$\begin{aligned}\sigma_{\max \min} &= \frac{\sigma_x + \sigma_y}{2} \pm \frac{1}{2} \sqrt{(\sigma_x + \sigma_y)^2 + 4\tau_{xy}^2} = \\ &= \frac{(-200) + 300}{2} \pm \frac{1}{2} \sqrt{(-200 + 300)^2 + 4(250)^2} = 50 \pm 345 \text{ MPa}.\end{aligned}$$

$$\sigma_{\max} = 404 \text{ MPa} = \sigma_1; \quad \sigma_2 = 0; \quad \sigma_{\min} = 295 \text{ MPa} = \sigma_3.$$

Bosh yuzalarning holatini aniqlaymiz:

$$\operatorname{tg} 2\alpha_0 = -\frac{2\tau_{xy}}{\sigma_x - \sigma_y} = -\frac{2(-250)}{(-200) - 300} = -1; \quad 2\alpha_0 = -45^\circ; \quad \alpha_0 = -22,5^\circ.$$

Ushbu natijadan ko'rindik, bosh yuza holatini aniqlovchi burchak manfiy bo'lganligi sababli, uni soat millari yo'nalishiga teskari yo'nalishda berilgan eng katta ( $\sigma_3$ ) kuchlanishdan boshlab o'lchab qo'yilishi lozim. Bosh kuchlanishlar ta'sir etayotgan bosh yuzalar 2.34-chizmada ko'rsatilgan. Chizmadan ko'rindik, eng katta bosh kuchlanishning ta'sir chizig'i I va III choraklardan o'tar ekan. Demak, parallelpiped tomonlariga ta'sir etayotgan urinma kuchlanishlar tomonlarini surib □ kvadratni romb □ shakliga o'tkazishga harakat qiladi.



2.34-chizma. Bosh kuchlanishlar ta'siridagi element

**2.21-masala.** Yuqori uchi bilan qistirib mahkamlangan erkin uchiga qo'yilgan  $F = 320 \text{ kN}$  to'plangan kuch ta'siridan cho'ziladi. Uning ko'ndalang kesimida urinma kuchlanish  $\tau_{\max} = 80 \text{ N/mm}^2$  dan ortib ketmasligi lozim. Sterjen diametri aniqlansin.

Javobi:  $d = 51 \text{ mm}$ .

**2.22-masala.** Ko'ndalang kesimi kvadrat bo'lgan ustun pastki uchi bilan qistirib mahkamlangan, erkin uchiga qo'yilgan siquvchi  $F = 320 \text{ kN}$  kuchdan, uning ko'ndalang kesimida normal  $\sigma = 100 \text{ N/mm}^2$  kuchlanish hosil bo'ladi. Qiya kesimlaridagi normal va urinma kuchlanishlarning nisbati  $\frac{\tau_\alpha}{\sigma_\alpha} = 0,4$  teng bo'lgan yuzaning

qiyalik burchagi  $\alpha$ , qiya kesimdagi normal  $\sigma_\alpha$ , urinma  $\tau_\alpha$  kuchlanishlar va kvadrat tomoni o'lchami  $a$  aniqlansin.

Javobi:  $\alpha = 21^\circ 51'$ ;  $\sigma_\alpha = 84,6 \text{ N/mm}^2$ ;  $\tau_\alpha = 34,5 \text{ N/mm}^2$ .

## Tayanch iboralar:

Markaziy cho'zilish yoki siqilish, yuk ko'tarish troslari, trubalari, teleminalarning xususiy og'irligi, ichki kuch omillari nolga teng, bo'ylama kuch, normal kuchlanishlarning teng ta'sir etuvchisi, kesish usuli, kesimdan tashqariga, kesimga qaratib, kuchni musbat, siquvchi kuch manfiy, o'qqa proyeksiyalarining algebrik yig'indisi, bo'ylama kuch epyuralarini qurish, sanoq chiziq, o'qiga perpendikulyar shtrix chiziqlar, normal kuchlanish, bo'ylama kuch bir qiymatiga kesim bo'yicha kuchlanishning cheksiz ko'p tarqalish qonuni, masala statik aniqlas, sterjenning yon sirtiga o'qiga parallel va perpendikulyar to'g'ri chiziqlar o'tkazib to'r, ichki bo'ylama elementlari ham bir xil uzunlikka uzayadi, Y.Bernulli, tekis kesim gipotezasi, cho'zuvchi kuch, uzunligi, ko'ndalang kesim o'lchamlari, absolyut bo'ylama cho'zilish, absolyut bo'ylama qisqarish, nisbiy bo'ylama deformatsiya, nisbiy bo'ylama deformatsiya birlik, cho'zuvchi kuch ma'lum bir chegaraga yetguncha, to'g'ri proporsional, teskari proporsional, matematik ifoda, Guk qonuni, elastiklik moduli, materialning cho'zilish (siqilish)ga qarshilik ko'rsata olish xususiyati, kesimning cho'zilish (siqilish)dagi bikirligi, fizik qonun, ko'ndalang deformatsiya, absolyut ko'ndalang deformatsiya, nisbiy ko'ndalang deformatsiya, nisbiy ko'ndalang deformatsiya tegishli bo'ylama deformatsiyaga to'g'ri proporsional va ishorasi bo'yicha teskari, ko'ndalang deformatsiya koeffitsiyenti, ko'ndalang deformatsiya koeffitsiyenti miqdori o'zgarish chegarasi.

Biror nuqtaning kuchlanganlik holati, konstruksiya elementi ixtiyoriy nuqtasi atrofida fikran birorta elementar parallelepiped, sterjenning oddiy cho'zilishi yoki siqilishi kuchlanganlik holati, tekis kuchlanish holati, hajmiy kuchlanish holati, plastinka, bosh yuzalar, bosh kuchlanishlar, markaziy cho'zilish, sterjenning og'ma (qiya) kesimlar tahlili, normal  $\sigma_{\alpha}$  va urinma  $\tau_{\alpha}$  kuchlanishlar, urinma kuchlanishning qiymati musbat, manfiy, xususiy hollar, mustahkamlikka va bikirlikka hisoblash, ruxsat etilgan kuchlanish, cho'zilgan va siqilgan sterjenlarning mustahkamlik sharti, uch turdag'i masala, sterjenni mustahkamlikka tekshirish, sterjen ko'ndalang kesim o'lchamlarini aniqlash, sterjen ko'tara oladigan eng katta yukni aniqlash,

mustahkamlikning ehtiyyot koeffitsiyenti, konstruksiya elementlari ning ko'chishi.

Xususiy og'irlilik, ko'ndalang kesim, o'zgarmas, uzun sterjen, erkin uch, ikki bo'lak, muvozanat, kuchlanish, maksimal, qiymat, sterjen materialining solishtirma og'irligi, normal kuchlanish, mustahkamlik sharti, eng xavfli kesim, xususiy og'irlikdan hosil bo'lgan kuchlanish, chegaraviy uzunlik, maksimal uzunlik, absolyut cho'zilish, deformatsiya, teng qarshilikli sterjenlar, berilgan ruxsat etilgan kuchlanish, ko'ndalang kesim yuzining o'zgarish qonuni, muvozanat tenglama, integral, o'zgarmas son, shart, logarifmning xossalari, potensirlash, ko'ndalang kesim, kontur, giperbola qonuni, teng qarshilikli sterjenlarni yasash ancha murakkab va qimmat, pog'onali sterjenlar, material ancha tejaladi, sodda, har bir pog'onanining oxiridagi xavfli kesimda kuchlanish ruxsat etilgan kuchlanishga teng bo'lish shart, ruxsat etilgan kuchlanishdan kichik, sterjen pog'onalarini.

Zo'riqish kuchlar, noma'lum reaksiya kuchlari, statik muvozanat tenglamalar sistemasi, statik aniqmas sistema, statik aniqmas masala, statik, geometrik va fizik tomonlari, sintez, absolyut bikir, shipga po'lat sterjenlar, proyeksiyalar yig'indisi, momentlar yig'indisi nolga teng, deformatsiya tenglamasi, haroratining o'zgarishi, sterjen temperatura ta'sirida cho'ziladi, materialning chiziqli kengayish koeffitsiyenti, reaksiya kuchi, kuchlanish.

### Test savollari:

Bu 30 ta test savollar 2.1-2.4 paragraflar bo'yicha tuzilgan:

#### 1. Sterjen – bu:

- cho'zilish yoki siqilishga qarshilik ko'rsatuvchi ingichka brusdir;
- cho'zilish yoki egilishga qarshilik ko'rsatuvchi ingichka brusdir;
- cho'zilish yoki buralishga qarshilik ko'rsatuvchi ingichka brusdir;
- cho'zilish yoki ko'chishga qarshilik ko'rsatuvchi ingichka brusdir.

## **2. Sterjen ko'ndalang kesimidagi bo'ylama kuch – bu:**

- sterjenning ko'ndalang kesimida hosil bo'Igan normal kuchlanishlarning teng ta'sir etuvchisidir;
- sterjenning ko'ndalang kesimida hosil bo'Igan normal kuchlanishlarning ko'paytmasidir;
- sterjenning ko'ndalang kesimida hosil bo'Igan normal kuchlanishlarning proporsionalidir;
- sterjenning ko'ndalang kesimida hosil bo'Igan normal kuchlanishlarning bo'linmasidir.

## **3. Sterjen ko'ndalang kesimidagi bo'ylama kuch qanday aniqlanadi?**

- kesish usuli orqali;
- boshlang'ich parametr usuli orqali;
- dinamik usul orqali;
- kinematik usul orqali.

## **4. Sterjen ko'ndalang kesimidagi bo'ylama kuch isheralari qanday qabul qilingan edi?**

- cho'zuvchi kuch musbat, siquvchi kuch manfiy;
- cho'zuvchi kuch manfiy, siquvchi kuch musbat;
- cho'zuvchi kuch manfiy, siquvchi kuch manfiy;
- cho'zuvchi kuch va siquvchi kuch ishoralari ixtiyoriy.

## **5. Bo'ylama kuch epyurasi – bu:**

- sterjen ko'ndalang kesimida o'qi bo'ylab hosil bo'Igan bo'ylama kuchning o'zgarish qonunini ko'rsatuvchi grafikdir;
- sterjenning ko'ndalang kesimida hosil bo'Igan normal kuchlanishlarning ko'paytmasi proporsionalligidir;
- sterjen ko'ndalang kesimida o'qi bo'ylab hosil bo'Igan bo'ylama kuchning o'zgarmas chizig'ini ko'rsatuvchi grafikdir;
- sterjen ko'ndalang kesimida o'qi bo'ylab hosil bo'Igan ko'ndalang kuchning bo'linish qonunini ko'rsatuvchi grafikdir.

## **6. Y.Bernulli gipotezasi qaysi javobda to‘g‘ri keltirilgan?**

- sterjenning deformatsiyagacha tekis va sterjen o‘qiga perpendikulyar bo‘lgan kesimlari deformatsiyasidan keyin ham tekis va sterjen o‘qiga perpendikulyarligicha qoladi;
- sterjenning deformatsiyagacha tekis va sterjen o‘qiga parallel bo‘lgan kesimlar bir-biriga bosim ko‘rsatmaydi;
- deformatsiyagacha tekis va sterjen o‘qiga parallel bo‘lgan kesimlari deformatsiyasidan keyin ham tekis va sterjen o‘qiga parallel bo‘lib qoladi;
- sterjen deformatsiyalanganda tekis kesimi yuzalari deformatsiyadan keyin egilib o‘z joyidan qo‘zg‘aladi.

## **7. Absolyut bo‘ylama cho‘zilish deformatsiyasi – bu:**

- sterjen o‘qi bo‘ylab yo‘nalgan cho‘zuvchi kuchlar ta’siri natijasida o‘z uzunligining ortishidir;
- sterjenlarning shaklini o‘zgartirishidir;
- sterjenlarning bikirligining juda ham ortib ketishidir;
- tashqi kuchlar ta’sirida sterjen hajmining o‘zgarishidir.

## **8. Guk qonuni qanday ta‘riflanadi?**

- elastiklik chegarasida cho‘zilgan sterjenlarda normal kuchlanish nisbiy bo‘ylama deformatsiyaga to‘g‘ri proporsionaldir;
- elastiklik chegarasida ko‘chishlar deformatsiyasining natijasida bo‘lganligi uchun o‘lchamliarga to‘g‘ri proporsionaldir;
- elastiklik chegarasida cho‘zilgan sterjenlarda elastiklik modulining ortishi doimo kuchga to‘g‘ri proporsionaldir;
- elastiklik chegarasida cho‘zilgan sterjenlarda normal kuchlanish nisbiy bo‘ylama deformatsiyaga teskari proporsionaldir;

## **9. Guk qonuning matematik ifodasi qaysi javobda to‘g‘ri keltirilgan?**

$$\Delta l = \frac{Nf}{EA}, \quad \Delta l = \frac{NE}{fA}, \quad \Delta l = \frac{\sigma E}{fA}, \quad \Delta l = \frac{\sigma E}{\varepsilon A}.$$

**10. Absolyut bo'ylama deformatsiya sterjenga ta'sir etayotgan kuch, uzunligi va bikirligi bilan qanday bog'langan?**

- kuchga, uzunligiga to'g'ri proporsional va bikirligiga teskari proporsional;
- kuchga, uzunligiga teskari proporsional va bikirligiga to'g'ri proporsional;
- kuchga, uzunligiga va bikirligiga teskari proporsional;
- kuchga, uzunligiga va bikirligiga to'g'ri proporsional.

**11. Guk qonuning ikkinchi ko'rinishi matematik ifodasi qaysi javobda to'g'ri keltirilgan?**

$$\sigma = E\varepsilon; \quad E = \sigma\varepsilon; \quad \sigma = F/A; \quad \sigma = F\Delta\ell.$$

**12. Yuqori uchi bilan qistirib mahkamlangan, uzunligi  $\ell$ , ko'ndalang kesim yuzasi  $A$  bo'lgan sterjen pastki erkin uchidagi  $F$  kuchdan hosil bo'lgan absolyut bo'ylama deformatsiya qaysi javobda to'g'ri keltirilgan?**

$$\Delta\ell = \frac{F\ell}{EA}; \quad \Delta\ell = \frac{N\ell}{2EA}; \quad \Delta\ell = \frac{FE}{\ell\varepsilon}; \quad \Delta\ell = \frac{\sigma E}{\varepsilon F}.$$

**13. Uzunligi  $\ell$ , ko'ndalang kesim yuzasi  $A$  bo'lgan yuqorigi uchi bilan qistirib mahkamlangan sterjenning  $\ell/2$  kesimidagi  $F$  kuchidan hosil bo'lgan absolyut bo'ylama deformatsiya qaysi javobda to'g'ri keltirilgan?**

$$\Delta\ell = \frac{F\ell}{2EA}; \quad \Delta\ell = \frac{F\ell}{EA}; \quad \Delta\ell = \frac{FE}{\ell\varepsilon}; \quad \Delta\ell = \frac{\sigma E}{\varepsilon F}.$$

**14. Uzunligi  $\ell$ , ko'ndalang kesim yuzasi  $2A$  bo'lgan yuqorigi uchi bilan qistirib mahkamlangan sterjenning  $\ell/2$  kesimidagi  $F$  kuchidan hosil bo'lgan absolyut bo'ylama deformatsiya qaysi javobda to'g'ri keltirilgan?**

$$\Delta\ell = \frac{F\ell}{4EA}; \quad \Delta\ell = \frac{N\ell}{2EA}; \quad \Delta\ell = \frac{FE}{\ell A}; \quad \Delta\ell = \frac{\sigma E}{\varepsilon A}.$$

**15. Yuqorigi uchi qistirib mahkamlangan uzunligi  $\ell$ , ko'ndalang kesim yuzasi  $A/2$  bo'lgan sterjen pastki erkin uchidagi  $F$**

**kuchidan hosil bo'lgan absolyut bo'ylama deformatsiya qaysi jabolda to'g'ri keltirilgan?**

$$\Delta l = \frac{2F\ell}{EA}; \quad \Delta l = \frac{N\ell}{2EA}; \quad \Delta l = \frac{Fl}{4EA}; \quad \Delta l = \frac{FE}{\ell A}.$$

**16. Yuqorigi uchi qistirib mahkamlangan, uzunligi  $\ell$ , ko'ndalang kesim yuzasi  $A$  bo'lgan sterjenning erkin uchidagi  $F$  kuchidan hosil bo'lgan bo'ylama deformatsiya sterjen uzunligi va kesim yuzasi 2 marta ortirilsa, absolyut bo'ylama deformatsiya qanday o'zgaradi?**

- o'zgarmaydi;
- ikki marta ortadi;
- o'zgaradi;
- ikki marta kamayadi.

**17. Elastiklik moduli materialning qanday xususiyatini bildiradi?**

- elastiklik moduli materialning elastiklik xususiyatini;
- elastiklik moduli materialning mexanik xususiyatini;
- elastiklik moduli materialning fizik xususiyatini;
- elastiklik moduli materialning geometrik xususiyatini.

**18. Nisbiy ko'ndalang deformatsiya – bu:**

- absolyut ko'ndalang deformatsiya  $\Delta b$  ning shu kesimning deformatsiyagacha bo'lgan o'lchami  $b$  ga nisbatidir;
- sterjenni cho'zuvchi  $\Delta F$  kuchga va  $\Delta h$  balandligiga teskari proporsional bo'lgan deformatsiyadir;
- jismarning tashqi kuch  $\Delta F$  ta'siridan ko'ndalang kesim shakli va o'lchamining o'zgarishidir;
- sterjenlar cho'zilganda faqat nisbiy  $\Delta e$  bo'ylama deformatsiya hosil bo'ladi.

**19. Cho'zilgan yoki siqilgan sterjen kesimi bikirligi nima?**

- sterjenlarning ko'ndalang kesimi yuzasi yuzi bilan elastiklik modulining ko'paytmasi  $EA$  bikirlik deyiladi;
- sterjenlar ko'ndalang yuzasi bilan unda hosil bo'lgan normal kuchlanish ko'paytmasi  $\sigma A$  bikirlik deyiladi;

- sterjenlar bo‘ylama nisbiy deformatsiyasining kuchlanishga  $\varepsilon A$  ko‘paytmasiga bikirlik deyiladi;
- sterjenlarning ko‘ndalang kesimida hosil bo‘lgan zo‘riqish kuchi kesim yuzasiga nisbatan bikirlik deyiladi.

## **20. Puasson koeffitsiyenti – bu:**

- nisbiy ko‘ndalang deformatsiyaning, nisbiy bo‘ylama deformatsiyaga bo‘lgan nisbatning absolyut miqdoridir;
- nisbiy ko‘ndalang deformatsiyaning elastiklik moduliga bo‘lgan nisbatning absolyut qiymatidir;
- nisbiy ko‘ndalang deformatsiyaning, nisbiy bo‘ylama deformatsiya ko‘paytmasining absolyut qiymatidir;
- nisbiy ko‘ndalang deformatsiyaning, nisbiy ko‘ndalang deformatsiyaga bo‘lgan nisbatining absolyut qiymatidir.

## **21. Sterjenning bikirlik koeffitsiyenti matematik ifodasi qaysi javobda to‘g‘ri keltirilgan?**

$$c = \frac{EA}{\ell}; \quad \beta = \frac{\ell}{EA}; \quad \beta = \frac{c}{EA}; \quad c = \frac{\beta}{EA}.$$

## **22. Sterjenning bikirlik koeffitsiyenti – bu:**

- sterjenni 1sm yoki 1mm cho‘zuvchi kuchdir;
- sterjenni 1kg yoki 10 N cho‘zuvchi kuchdir;
- sterjenni 1m yoki 1dm cho‘zuvchi kuchdir;
- sterjenni 10 sm yoki 100 mm cho‘zuvchi kuchdir.

## **23. Sterjenning moyillik koeffitsiyenti qaysi javobda to‘g‘ri keltirilgan?**

- moyillik koeffitsiyenti sterjenning 10 N kuch ta’siridan  $10^{-2}$  m ga uzayishi yoki qisqarish miqdoridir;
- moyillik koeffitsiyenti sterjenning  $10 \text{ N/m}^2$  kuch ta’siridan  $10^{-1}$  m ga uzayishi yoki qisqarish miqdoridir;
- moyillik koeffitsiyenti sterjenning  $10 \text{ N/m}^3$  kuch ta’siridan 10 m ga uzayishi yoki qisqarish miqdoridir;
- moyillik koeffitsiyenti sterjenning 10 ot kuch ta’siridan 1m ga uzayishi yoki qisqarish miqdoridir.

#### **24. Sterjenning moyillik koeffitsiyenti – bu:**

- sterjenning bikirlik koeffitsiyentining teskari qiymatidir;
- sterjenning bikirlik koeffitsiyenti absolyut qiymatidir;
- sterjenning bikirlik koeffitsiyentining musbat qiymatidir;
- sterjenning bikirlik koeffitsiyentining mansiy qiymatidir.

#### **25. Sterjenning moyillik koeffitsiyenti matematik ifodasi qaysi javobda to‘g‘ri keltirilgan?**

$$\beta = \frac{\ell}{EA}; \quad c = \frac{EA}{\ell}; \quad \beta = \frac{c}{EA}; \quad c = \frac{\beta}{EA}.$$

#### **26. Y.Bernulli gipotezasiga asosan kuchlanish sterjen ko‘ndalang kesim yuzasida qanday taqsimlanadi?**

- tekis taqsimlanadi;
- ixtiyoriy taqsimlanadi;
- notejis taqsimlanadi;
- qiyshiq taqsimlanadi.

#### **27. Cho‘zilishdagi to‘g‘ri o‘qli sterjen sirtiga chizilgan to‘r qanday o‘zgaradi?**

- sterjen o‘qiga parallel to‘g‘ri chiziqlar parallelligicha qolib uzayadi, perpendikulyar chiziqlar perpendikulyarligicha qolib qisqaradi;
- sterjen o‘qiga parallel to‘g‘ri chiziqlar perpendikulyarligicha qolib uzayadi, perpendikulyar chiziqlar parallelligicha qolib qisqaradi;
- sterjen o‘qiga parallel to‘g‘ri chiziqlar parallelligicha qolib qisqaradi, perpendikulyar chiziqlar perpendikulyarligicha qolib uzyadi;
- sterjen o‘qiga parallel to‘g‘ri chiziqlar parallelligicha qolib uzayadi, perpendikulyar chiziqlar paralelligicha qolib uzyadi.

#### **28. Cho‘zilishdagi to‘g‘ri o‘qli sterjenning kuch qo‘yilgan kesimda ichki kuchlar qanday taqsimlanadi?**

- tekis taqsimlanmaydi;
- tekis taqsimlanadi;
- ixtiyoriy taqsimlanadi;
- hech qanday qonun asosida taqsimlanmaydi.

**29. Yuqori uchi qistirib mahkamlangan uzunligi  $\ell$ , kesim yuzasi  $A$  bo‘lgan pastki erkin uchidagi  $F$  kuchdan hosil bo‘lgan absolyut deformatsiya, kesim yuzasi  $A/2$  teng bo‘lsa, qanday o‘zgaradi?**

- ikki marta ortadi;
- ikki marta kamayadi;
- ikki yarim marta kamayadi;
- ikki yarim marta ortadi.

**30. Yuqori uchi qistirib mahkamlangan uzunligi  $\ell$ , kesim yuzasi  $A$  bo‘lgan pastki erkin uchidagi  $F$  kuchdan hosil bo‘lgan absolyut deformatsiya, uzunligi  $\ell/2$  teng bo‘lsa, qanday o‘zgaradi?**

- ikki marta kamayadi;
- ikki marta ortadi;
- ikki yarim marta kamayadi;
- ikki yarim marta ortadi.

**Bu 30 ta test savollar 2.5-2.7 paragraflar bo‘yicha tuzilgan:**

**1. Murakkab kuchlanish holati necha turga bo‘linadi?**

- uch;
- to‘rt;
- ikki;
- guruhlarga bo‘linadi.

**2. Murakkab kuchlanish holatining qanday turlari mavjud?**

- chiziqli, tekis hamda hajmiy kuchlanganlik;
- cho‘zilish (siqilish), buralish hamda egilish;
- elastik, plastik hamda oquvchanlik;
- cho‘zilish (siqilish), siljish, buralish hamda egilish.

**3. Nuqtaning kuchlanganlik holati – bu...**

- biror nuqtaning kuchlanganlik holati deb, shu nuqtadan o‘tuvchi barcha yuzalarda hosil bo‘ladigan kuchlanishlar to‘plamidir;

- biror nuqtaning kuchlanganlik holati deb, shu nuqtadan o't-maydigan barcha yuzalarda hosil bo'ladigan kuchlanishlar to'plamidir;
- biror nuqtaning kuchlanganlik holati deb, shu nuqtadan o'tuvchi barcha yuzalarda hosil bo'ladigan ko'chishlar to'plamidir;
- biror nuqtaning ko'chishlar holati deb, shu nuqtadan o'tuvchi barcha yuzalarda hosil bo'ladigan ko'chishlar to'plamidir.

#### **4. Chiziqli kuchlanganlik holatida qiya kesimda normal kuchlanish ifodasi qaysi javobda to'g'ri keltirilgan?**

$$\sigma_\alpha = \sigma \cos^2 \alpha; \quad \tau_\alpha = \frac{\sigma}{2} \sin 2\alpha; \quad \sigma_\alpha = \tau \cos^2 \alpha; \quad \tau_\alpha = \tau \sin^2 \alpha.$$

#### **5. Chiziqli kuchlanganlik holatida qiya kesimda urinma kuchlanish ifodasi qaysi javobda to'g'ri keltirilgan?**

$$\tau_\alpha = \frac{\sigma}{2} \sin 2\alpha; \quad \sigma_\alpha = \frac{\sigma}{2} \cos 2\alpha; \quad \sigma_\alpha = \tau \cos 2\alpha; \quad \tau_\alpha = \frac{\tau}{2} \sin 2\alpha.$$

#### **6. Chiziqli kuchlanganlik holatida qiya kesimda normal kuchlanishlar qaysi tekisliklarda maksimal qiymatiga erishadi?**

- sterjen o'qiga nisbatan 45 gradus ostida o'tgan yuzada  $\sigma_{\max} = \sigma$ ;
- sterjen o'qiga 90 gradus bo'lган yuzada  $\sigma_{\max} = \sigma$ ;
- sterjen o'qiga 180 gradus bo'lган yuzada  $\sigma_{\max} = \sigma$ ;
- sterjen o'qiga 60 gradus bo'lган yuzada  $\sigma_{\max} = 2\sigma$ .

#### **7. Urinma kuchlanishlar juftlik qonuni qanday ta'riflanadi?**

- jismning istalgan ikkita o'zaro perpendikulyar bo'lган yuzachalarida urinma kuchlanishlar miqdor jihatidan o'zaro teng va qarama-qarshi yo'naladi;
  - jismning istalgan ikkita o'zaro parallel yuzachalarida urinma kuchlanishlar miqdor jihatidan o'zaro teng emas va qarama-qarshi yo'naladi;
  - urinma kuchlanish nisbiy siljish deformatsiyasiga to'g'ri proporsional bog'lanishda bo'ladi;

– urinma kuchlanishlar to'sinlarning ko'ndalang kesimida ikkinchi tartibli egri chiziqli qonun asosida o'zgaradi.

### **8. Bosh yuzacha deb qanday yuzachaga aytildi?**

– jism nuqtasining ekstremal normal kuchlanishlari ta'sir etadigan yuzachalarda urinma kuchlanishlar nolga teng bo'lgan yuzachalar bosh yuzachalar deb aytildi;

– nuqtasining ekstremal normal kuchlanishlari ta'sir etadigan yuzachalarda urinma kuchlanishlar ekstremal bo'lgan yuzachalar bosh yuzachalar deb aytildi;

– nuqtasining ekstremal normal kuchlanishlari ta'sir etadigan yuzachalarda urinma kuchlanishlar eng katta qiymatiga teng bo'lgan yuzalarga bosh yuzachalar deb aytildi;

– jism nuqtasining ekstremal kuchlanishlari ta'siridan yuzachalarda urinma kuchlanishlar eng kichik qiymatiga teng bo'lgan yuzalarga bosh yuzachalar deyiladi.

### **9. Bosh kuchlanishlar deb qanday kuchlanishlarga aytildi?**

– bosh yuzachalarga ta'sir etuvchi normal kuchlanishlarga;

– tekis yuzachaga ta'sir etuvchi urinma kuchlanishlarga;

– qiya yuzachalarga ta'sir etuvchi normal va urinma kuchlanishlarga;

– urinma kuchlanish maksimal qiymatiga erishgandagi kuchlanishlarga.

### **10. Urinma kuchlanishlarning juftlik qonuni ifodasi qaysi javobda to'g'ri ko'rsatilgan?**

$$\tau_{zy} = \tau_{yz}; \quad \sigma_{zy} = \sigma_{yz}; \quad E_{zy} = E_{yz}; \quad \beta_{zy} = \beta_{yz}.$$

### **11. Chiziqli kuchlanganlik holatida $\alpha = 45^0$ burchak ostidagi qiya kesimda normal va urinma kuchlanishlar nimaga teng bo'ldi?**

$$\sigma_{45^0} = \frac{1}{2}\sigma, \quad \tau_{\max} = \frac{1}{2}\sigma; \quad \sigma_{45^0} = \frac{1}{2}\tau, \quad \tau_{45^0} = \frac{1}{2}\tau;$$

$$\sigma_{45^0} = \frac{1}{2}\sigma, \quad \tau_{45^0} = \frac{1}{2}\tau; \quad \sigma_{45^0} = \frac{i}{2}\sigma, \quad \tau_{\min} = \frac{1}{2}\tau.$$

## **12. Kuchlanish holatidagi elementga ta'sir qiluvchi $\sigma_{\max}$ bosh kuchlanish qanday yo'nalgan bo'ladi?**

- hamma vaqt  $\tau_{xy}, \tau_{yz}$  urinma kuchlanishlarning strelkalari uchrashadigan o'qlarining ikki choragi orqali o'tadi;
- hamma vaqt  $\tau_{xy}, \tau_{yz}$  urinma kuchlanishlarning strelkalari uchrashmaydigan o'qlarining ikki choragi orqali o'tadi;
- hamma vaqt  $\tau_{xy}, \tau_{yz}$  urinma kuchlanishlarning strelkalari parallel bo'lgan o'qlarining ikki choragi orqali o'tadi;
- hamma vaqt  $\tau_{xy}, \tau_{yz}$  urinma kuchlanishlarning strelkalari uchrashadigan o'qlarining bir choragi orqali o'tmaydi.

## **13. Cho'zilish va siqilishda sterjen uchun qanday shart bajarilganda mustahkam bo'ladi?**

- sterjenning eng xavfli ko'ndalang kesimida hosil bo'lgan maksimal normal kuchlanish sterjen materiali uchun berilgan ruxsat etilgan normal kuchlanishdan ortib ketmaslik sharti;
- eng xavfli ko'nda!ang kesimda zo'riqish kuchlarining miqdori manfiy yoki musbat bo'lish sharti;
- sterjenning eng xavfli ko'ndalang kesimida hosil bo'lgan maksimal normal ko'chish sterjen materiali uchun berilgan ruxsat etilgan normal ko'chishdan ortib ketmaslik sharti;
- ko'ndalang kesim yuzasi normal kuchlanish juda ham katta bo'lishi sharti.

## **14. Mustahkamlik shartidan foydalanib qanday masalalarni hal qiliш mumkin?**

- qurilma ko'tara oladigan yukni aniqlash, ko'ndalang kesim yuzasini aniqlash, mustahkamlikka tekshirish;
- ruxsat etilgan kuchlanishni aniqlash, nisbiy qoldiq cho'zilishni aniqlash, ko'ndalang kesim yuzasini aniqlash;
- nisbiy ko'ndalang qisqarishni, nisbiy qoldiq cho'zilishni aniqlash, elastiklik modulini aniqlash;
- statik tomonini, fizik tomonini aniqlash, geometrik tomonini aniqlash.

## **15. Cho'zilish va siqilishda ruxsat etilgan kuchlanish qanday qabul qilinadi?**

– ruxsat etilgan kuchlanish materialni sinashda aniqlangan xavfli chegaradagi kuchlanishdan bir necha marta kichik qilib olinadi  $[\sigma] = \sigma_{ch}/n$ ;

– ruxsat etilgan kuchlanish materialni sinashda aniqlangan ustuvorlik chegarasidan kichik qilib olinadi  $[\sigma] = \sigma_u/n$ ;

– ruxsat etilgan kuchlanish materialni sinashda aniqlangan elastiklik chegarasidan kichik qilib olinadi  $[\sigma] = \sigma_{el}/n$ ;

– ruxsat etilgan kuchlanish materialni sinashda aniqlangan proporsionallik chegarasidan kichik qilib olinadi  $[\sigma] = \sigma_{pr}/n$ .

## 16. Cho'zilgan yoki siqilgan sterjen mustahkamlik sharti qaysi javobda to'g'ri ifodalangan?

$$\sigma_{\max} = \frac{N_{\max}}{A} \leq [\sigma]; \quad \sigma_{\min} = \frac{N_{\min}}{A} \leq [\sigma];$$

$$\sigma_{\max} = \frac{N_{\max}}{A} \geq [\sigma]; \quad \sigma_{\min} = \frac{N_{\min}}{A} \geq [\sigma].$$

## 17. Sterjenni mustahkamlikka tekshirish qaysi formula orqali amalga oshiriladi?

$$\sigma_{\max} \leq [\sigma]; \quad \sigma_{\max} \geq [\sigma]; \quad \sigma_{\min} \leq [\sigma]; \quad \sigma_{\min} \geq [\sigma].$$

## 18. Cho'zilgan yoki siqilgan sterjen ko'ndalang kesim o'l-chamlari qaysi formuladan aniqlanadi?

$$A \geq \frac{N_{\max}}{[\sigma]}; \quad A \leq \frac{N_{\max}}{[\sigma]}; \quad A \geq \frac{N_{\min}}{[\sigma]}; \quad A \leq \frac{N_{\min}}{[\sigma]}.$$

## 19. Cho'zilgan yoki siqilgan sterjen ko'tara oladigan kuch qaysi formuladan aniqlanadi?

$$N_{\max} \leq [\sigma]A; \quad N_{\max} \geq [\sigma]A; \quad N_{\min} \leq [\sigma]A; \quad N_{\min} \geq [\sigma]A.$$

## 20. Po'latdan yasalgan $[\sigma] = 16 \cdot 10^7 H/sm^2$ kalta ustunga $F = 160 \cdot 10^4 H$ yuk ta'sir etsa, kvadrat shaklidagi kesim tomonlari necha sm ga teng?

$$a = 10^{-1} sm; \quad a = 10^{-2} sm^2; \quad a = 10^{-4} sm^2; \quad a = 10^{-2} sm.$$

**21. Po'latdan yasalgan**  $[\sigma] = 16 \cdot 10^7 N/sm^2$  **kalta ustun ko'n-dalang kesim yuzasi**  $A = 50 sm^2$  **bo'lsa, u ko'tara oladigan yuk qanchaga teng bo'ladi?**

$$F = 80 \cdot 10^8 N; \quad F = 90 \cdot 10^9 N; \quad F = 70 \cdot 10^7 N; \quad F = 100 \cdot 10^9 N.$$

**22. Ko'ndalang kesim yuzasi**  $A = 32 sm^2$  **bo'lgan, F = 330 \cdot 10^5 N** **yuk bilan siqilgan yog'ochdan yasalgan**  $[\sigma] = 10 \cdot 10^5 N/sm^2$  **kalta ustun mustahkamligi ta'minlanganmi yoki yo'qmi?**

- ta'minlangan;
- ta'minlanmagan;
- yarim ta'minlangan;
- noma'lum.

**23. Cho'zilgan va siqilgan sterjen uchun qaysi bir javobda mustahkamligi ta'minlanganligi va material ko'p sarflanganligini ko'rsatadi?**

- maksimal normal va ruxsat etilgan kuchlanish orasidagi farq 5% dan kichik bo'lganda;
- maksimal normal va ruxsat etilgan kuchlanish orasidagi farq 5% dan katta bo'lganda;
- maksimal normal va ruxsat etilgan kuchlanish orasidagi farq +5% dan kichik bo'lganda;
- maksimal normal va ruxsat etilgan kuchlanish orasidagi farq +10% dan katta bo'lganda.

**24. Cho'zilgan va siqilgan sterjen uchun qaysi javobda mustahkamlik ta'minlanganligi ko'rsatilgan?**

- maksimal normal va ruxsat etilgan kuchlanish orasidagi farq  $\pm 5\%$  bo'lganda;
- maksimal normal va ruxsat etilgan kuchlanish orasidagi farq +5% dan katta bo'lganda;
- maksimal normal va ruxsat etilgan kuchlanish orasidagi farq 5% dan katta bo'lganda;
- maksimal normal va ruxsat etilgan kuchlanish orasidagi farq 5% dan katta bo'lganda;

– maksimal normal va ruxsat etilgan kuchlanish orasidagi farq +0% bo‘lganda.

### **25. Siqilishda ruxsat etilgan kuchlanish mo‘rt materiallar uchun qanday qabul qilinadi?**

– ruxsat etilgan kuchlanish materialni sinashda aniqlangan mustahkamlik chegaradagi kuchlanishdan bir necha marta kichik qilib olinadi  $[\sigma] = \sigma_{m.ch.} / n_m$ ;

– ruxsat etilgan kuchlanish materialni sinashda aniqlangan ustuvorlik chegarasidan kichik qilib olinadi  $[\sigma] = \sigma_{u.ch.} / n_u$ ;

– ruxsat etilgan kuchlanish materialni sinashda aniqlangan elastiklik chegarasidan kichik qilib olinadi  $[\sigma] = \sigma_{el.ch.} / n_{el}$ ;

– ruxsat etilgan kuchlanish materialni sinashda aniqlangan proporsionallik chegarasidan kichik qilib olinadi  $[\sigma] = \sigma_{pr.ch.} / n_{pr}$ .

### **26. Cho‘zilish va siqilishda ruxsat etilgan kuchlanish plastik materiallar uchun qanday qabul qilinadi?**

– ruxsat etilgan kuchlanish materialni sinashda aniqlangan oquvchanlik chegaradagi kuchlanishdan bir necha marta kichik qilib olinadi  $[\sigma] = \sigma_{oq.ch.} / n_{oq}$ ;

– ruxsat etilgan kuchlanish materialni sinashda aniqlangan ustuvorlik chegarasidan kichik qilib olinadi  $[\sigma] = \sigma_{u.ch.} / n_u$ ;

– ruxsat etilgan kuchlanish materialni sinashda aniqlangan elastiklik chegarasidan kichik qilib olinadi  $[\sigma] = \sigma_{el.ch.} / n_{el}$ ;

– ruxsat etilgan kuchlanish materialni sinashda aniqlangan proporsionallik chegarasidan kichik qilib olinadi  $[\sigma] = \sigma_{pr.ch.} / n_{pr}$ .

### **27. Ko‘ndalang kesim yuzasi diametri 20 sm bo‘lgan yog‘och ustunning siqilishida ko‘tara oladigan yuk, siqilishdagi kuchlanish $\sigma = 400 N/sm^2$ ortib ketmaganda qaysi javobda to‘g‘ri?**

$$N_{\max} = 125,6 kN; \quad N_{\max} = 103,6 kN;$$

$$N_{\max} = 421,6 kN; \quad N_{\max} = 215,6 kN;$$

**28. Po'latdan yasalgan**  $[\sigma] = 16 \cdot 10^7 N/sm^2$  kalta ustunga  $F = 502,4 \cdot 10^7 N$  yuk ta'sir etganda, doiraviy ko'ndalang kesimi diametri necha sm ga teng?

$$d \approx 2,5sm; \quad d \approx 3sm; \quad a \approx 2sm; \quad a \approx 4sm.$$

**29. Materiali uchun berilgan ruxsat etilgan kuchlanish**  $[\sigma] = 12 \cdot 10^7 N/sm^2$  kalta ustun ko'ndalang kesim yuzasi  $A = 40sm^2$  be'lsa, u ko'tara oladigan yuk qanchaga teng bo'ladi?

$$F = 4,8 \cdot 10^9 N; \quad F = 48 \cdot 10^7 N;$$

$$F = 3 \cdot 10^7 N; \quad F = 300 \cdot 10^6 N.$$

**30. Sterjenning ko'ndalang kesimi deganda nimani tushunasiz?**

- sterjen o'qiga perpendikuiyar bo'lgan kesim;
- sterjen o'qiga parallel bo'lgan kesim;
- sterjen o'qiga birorta burchak ostida bo'lgan kesim;
- sterjen o'qiga ixtiyoriy bo'lgan kesim.

**Bu 30 ta test savollar 2.8-2.10 paragraflar bo'yicha tuzilgan:**

**1. Nima sababdan konstruksiya elementlarining xususiy og'irligini hisobga olish zarur?**

– ko'pgina konstruksiya elementlari ancha vazmin va uzun bo'lganligi sababli;

– ko'pgina konstruksiya elementlari ancha yengil bo'lganligi sababli;

– ko'pgina konstruksiya elementlari ancha uzun bo'lganligi sababli;

– ko'pgina konstruksiya elementlari ancha qisqa bo'lganligi sababli.

**2. Jismarning xususiy og'irligi nimaga teng?**

– solishtirma og'irligi bilan hajmi ko'paytmasiga;

– solishtirma og'irligi bilan balandligi ko'paytmasiga;

– solishtirma og'irligi bilan yuzasi ko'paytmasiga;

– solishtirma og'irligi bilan uzunligi ko'paytmasiga.

### **3. Sterjen faqat xususiy og'irligi hisobga olinganda kuchlanish miqdori kesim yuzasiga bog'liqmi yoki yo'q?**

- bog'liq emas;
- bog'liq;
- to'plangan kuchni hisobga olsa bog'liq;
- yoyilgan yuk hisobga olinganda bog'liq.

### **4. Sterjen xususiy og'irligi hisobga olganda kuchlanish qaysi formuladan aniqlanishini ko'rsating.**

$$\sigma = \frac{F + \gamma \cdot A \cdot z}{A}; \quad \sigma = \frac{A - \gamma \cdot F \cdot z}{F};$$

$$\sigma = \frac{F}{A} - \frac{\gamma \cdot A \cdot z}{A}; \quad \sigma = \sigma_0 \cos x \tau = \frac{1}{2} \omega_0 \sin 2x$$

### **5. O'zgarmas kesimli sterjenning faqat xususiy og'irligi hisobga olganda kuchlanish miqdori nimaga teng?**

- sterjen xususiy og'irligining uzunligiga ko'paytmasiga;
- sterjen xususiy og'irligining uzunligiga nisbatiga;
- sterjen xususiy og'irligining balandligiga ko'paytmasiga;
- sterjen xususiy og'irligining hajmiga ko'paytmasiga.

### **6. Chegaraviy uzunlik – bu:**

- ko'ndalang kesimi o'zgarmas bo'lган uzun sterjenning xususiy og'irligidan uzilish vaqtiga to'g'ri keladigan uzunlikdir;
- ko'ndalang kesimi o'zgarmas bo'lган qisqa sterjenning sirtqi kuchdan uzilish vaqtiga to'g'ri keladigan uzunlikdir;
- sterjenning ham to'g'ri chiziqli ham egri chiziqli muvozanat holati ustuvor bo'lган vaqtga to'g'ri kelgan uzunlikdir;
- ko'ndalang kesimi o'zgarmas bo'lган uzun sterjen og'irligi va sirtqi kuchdan uzilishga to'g'ri kelgan uzunlikdir.

### **7. To'plangan kuch va xususiy og'irlilikni hisobga olganda absolyut bo'ylama to'la cho'zilish qaysi formuladan aniqlanadi?**

$$\Delta l = \frac{(N + \gamma A l / 2) l}{E A}; \quad \Delta l = \frac{N}{(\sigma) - \gamma} l;$$

$$\Delta I = N_o \gamma Z / [\sigma],$$

$$\Delta I = N_o \cdot \gamma \varepsilon \cdot [\sigma]$$

## 8. Xususiy og'irlilikni hisobga olganda absolyut bo'ylama cho'zilish qaysi formuladan aniqlanadi?

$$\Delta I = \frac{\gamma A I}{2EA};$$

$$\Delta I = \frac{N I}{EA};$$

$$\Delta I = \frac{F I}{EA};$$

$$\Delta I = \frac{M I}{EA}.$$

## 9. Sterjen xususiy og'irligini hisobga olganda mustahkamlik sharti quyidagilardan qaysi birida to'g'ri keltirilgan?

$$\sigma = \frac{F + \gamma A \varepsilon}{A} \leq [\sigma];$$

$$\sigma = \frac{A - \gamma F \varepsilon}{F} \leq [\sigma];$$

$$\sigma = \frac{F}{A} - \frac{\gamma A \varepsilon}{A} \leq [\sigma];$$

$$\sigma = \sigma_0 \cos x \tau = \frac{1}{2} \omega_0 \sin 2x \leq [\sigma]$$

## 10. Xususiy og'irligini hisobga olganda kuchlanish sterjen uzunligi bo'yicha qanday qonun asosida o'zgarishi mumkin?

- uzunligi bo'ylab og'ma to'g'ri chiziq qonuni asosida;
- uzunligi bo'ylab giperbola qonuni asosida;
- uzunligi bo'ylab parabola qonuni asosida;
- uzunligi bo'ylab egri chiziqli qonuni asosida.

## 11. Sterjen xususiy og'irligi hisobga olganda eng xavfli kesim yuzi qaysi formuladan aniqlanishini ko'rsating.

$$A = \frac{N}{[\sigma] - \gamma \cdot \ell};$$

$$A = \frac{N + \gamma A I}{[\sigma]},$$

$$F = \frac{A - \gamma \cdot F \cdot \varepsilon}{\sigma},$$

$$A = N_o \gamma Z / [\sigma].$$

## 12. Sterjenning xususiy og'irligidan hosil be'lgan absolyut bo'ylama cho'zilish sterjen og'irligiga teng, uning erkin uchiga qo'yilgan to'plangan kuchdan hosil bo'ladigan absolyut bo'ylama cho'zilishdan qancha kam yoki ortiq bo'ldi?

- ikki marta kam bo'lar ekan;
- ikki marta ortiq bo'lar ekan;
- uch marta kam bo'lar ekan;
- to'rt marta kam bo'lar ekan.

### **13. Teng qarshilikli sterjen – bu:**

- barcha ko'ndalang kesimlarda hosil bo'lgan normal kuchlanishlar sterjen materiali uchun ruxsat etilgan normal kuchlanishga teng bo'lgan sterjendir;
- sterjen ko'ndalang kesimlarda hosil bo'lgan normal kuchlanishlar nolga teng bo'lgan sterjendir;
- sterjen ko'ndalang kesimlarda o'zgarmas bo'lgan po'lat sterjendir;
- qiya kesimidagi kuchlanishlar ruxsat etilgan kuchlanishdan katta bo'lgan sterjendir.

### **14. Teng qarshilikli sterjenlarga material qanday sarflanadi?**

- material kam sarflanadi;
- material ko'p sarflanadi;
- material teng sarflanadi;
- material ortiqcha sarflanadi.

### **15. Teng qarshilikli sterjen uzunligi bo'ylab kuchlanish qanday o'zgaradi?**

- uzunligiga parallel bo'lgan to'g'ri chiziq qonun asosida;
- uzunligi bo'ylab giperbola qonuni asosida;
- uzunligi bo'ylab parabola qonuni asosida;
- uzunligi bo'ylab egri chiziqli qonuni asosida.

### **16. Teng qarshilikli sterjen ko'ndalang kesimi yuzasi qaysi formuladan aniqlanadi?**

$$A_x = A_0 e^{\gamma \cdot z / [\sigma]},$$

$$A_x = dA_x \frac{\gamma}{[\sigma]} dz;$$

$$A_x = \frac{A_0}{[\sigma]},$$

$$A_0 = \frac{1}{[\sigma]} A_x e^{\gamma},$$

### **17. O'zgarmas kesim yuzali sterjen yoki pog'onali sterjenlarning qay biriga sarflangan material tejamlari bo'ladi?**

- o'zgarmas kesim yuzali sterjenlarga qaraganda pog'onali sterjenlarda material ancha tejaladi;
- o'zgarmas kesim yuzali sterjenlarga qaraganda pog'onali sterjenlarda material ancha tejamsiz;

- o'zgarmas kesim yuzali sterjenlarga qaraganda pog'onali sterjenlarda material ancha tejamlı yoki tejamsiz;
- o'zgarmas kesim yuzali sterjenlarga qaraganda pog'onali sterjenlarda material sarfi farq qilmaydi.

#### **18. Pog'onali sterjenlarni tayyorlash teng qarshilikli sterjenlarni tayyorlashga qaraganda?**

- ancha sodda;
- ancha murakkab;
- bir xil;
- ancha farq qiladi.

#### **19. Pog'onali sterjenlarni shunday loyihalash lozimki...**

- har bir pog'onaning oxiridagi xavfli kesimda kuchlanish ruxsat etilgan kuchlanishga teng bo'lishi shart;
- har bir pog'onaning oxiridagi xavfli kesimda kuchlanish ruxsat etilgan kuchlanishdan katta bo'lishi shart;
- har bir pog'onaning oxiridagi xavfli kesimda kuchlanish ruxsat etilgan kuchlanishga teng bo'lishi shart emas;
- har bir pog'onaning oxiridagi xavfli kesimda kuchlanish ruxsat etilgan kuchlanishga juda ham kichik bo'lishi shart.

#### **20. Cho'zilgan va siqilgan sterjen uchun qaysi javobda mustahkamligi ta'minlanganligi va material ko'p sarflanganligini ko'rsatadi?**

- maksimal normal va ruxsat etilgan kuchlanish orasidagi farq 5% dan kichik bo'lganda;
- maksimal normal va ruxsat etilgan kuchlanish orasidagi farq 5% dan katta bo'lganda;
- maksimal normal va ruxsat etilgan kuchlanish orasidagi farq +5% dan kichik bo'lganda;
- maksimal normal va ruxsat etilgan kuchlanish orasidagi farq +5% dan katta bo'lganda.

#### **21. Cho'zilgan va siqilgan sterjen uchun qaysi javobda mustahkamlik ta'minlanganligi ko'rsatilgan?**

- maksimal normal va ruxsat etilgan kuchlanish orasidagi farq  $\pm 5\%$  bo'lganda;

- maksimal normal va ruxsat etilgan kuchlanish orasidagi farq  $+5\%$  dan katta bo‘lganda;
- maksimal normal va ruxsat etilgan kuchlanish orasidagi farq  $5\%$  dan katta bo‘lganda;
- maksimal normal va ruxsat etilgan kuchlanish orasidagi farq  $+10\%$  bo‘lganda.

**22. Uzunliklari va kesim yuzalari**  $\ell_1 = \ell_2 = \ell$ ,  $A_1 = A$ ,  $A_2 = 0,5A$  bo‘lgan ikki pog‘onali ustunning birinchi pastki pog‘onasi yuqori kesimiga siquvchi kuch  $F$  qo‘yilgan bo‘lsa, yuqorigi ikkinchi pog‘onaning absolyut bo‘ylama ko‘chish deformatsiyasi nimaga teng bo‘ladi?

$$\Delta\ell_2 = \Delta\ell_1 = \frac{F\ell}{EA}; \quad \Delta\ell_2 = \Delta\ell_1 = \frac{F\ell}{0,5EA},$$

$$\Delta\ell_2 = 0; \quad \Delta\ell_2 = \frac{F\ell}{2EA}.$$

**23. Uzunliklari va kesim yuzalari**  $\ell_1 = \ell_2 = \ell$ ,  $A_1 = A$ ,  $A_2 = 0,5A$  bo‘lgan ikki pog‘onali ustunning birinchi pastki pog‘onasi yuqori kesimiga cho‘zuvchi kuch  $F$  qo‘yilgan bo‘lsa, yuqorigi ikkinchi pog‘onaning absolyut bo‘ylama ko‘chish deformatsiyasi nimaga teng bo‘ladi?

$$\Delta\ell_2 = \Delta\ell_1 = \frac{F\ell}{EA}; \quad \Delta\ell_2 = \Delta\ell_1 = \frac{F\ell}{0,5EA},$$

$$\Delta\ell_2 = 0; \quad \Delta\ell_2 = \frac{F\ell}{2EA}.$$

**24. Jismning solishtirma eg‘irligi qanday birlikda o‘lchanadi?**

$N/m^3$ ; $kN/m^3$ ;	$N/m^2$ ; $kN/m^2$ ;
$N/m^1$ ; $kN/m^1$ ;	$N/m^{-3}$ ; $kN/m^{-3}$ .

**25. Teng qarshilikli ustunlarning ko‘ndalang kesimi qanday qonun asosida o‘zgaradi?**

- giperbola qonuni;
- parabola qonuni;
- to‘g‘ri chiziqli qonun;
- ikkinchi tartibli egri chiziqli qonun.

**26. Teng qarshilikli ustunlarni yasashda nima uchun qiyinchilik mavjud?**

- ko'ndalang kesimi giperbola qonuni asosida o'zgargani uchun;
- ko'ndalang kesimi parabola qonuni asosida o'zgargani uchun;
- ko'ndalang kesimi siniq chiziqli qonuni asosida o'zgargani uchun;
- ko'ndalang kesimi to'g'ri chiziqli qonuni asosida o'zgargani uchun.

**27. Yuqorigi uchi mahkamlangan sterjenning ikkinchi pog'onasining pastki uchiga ta'sir qilayotgan kuch quyidagilar ning qaysi biriga teng?**

$$N_1 = [\sigma] A_1;$$

$$N_1 = \sigma A_2$$

$$N_1 = \sigma A_1$$

$$N_1 = [\sigma] A_3$$

**28. Pog'onali sterjenning birinchi pog'onasini ko'ndalang kesim yuzasi qaysi formuladan aniqlanadi?**

$$A_1 = \frac{F}{[\sigma] - \gamma \cdot \ell_1};$$

$$A_2 = \frac{N_1}{[\sigma] - \gamma \cdot \ell_2};$$

$$A_1 = \frac{F}{[\sigma] - \gamma \cdot \ell};$$

$$A_1 = \frac{N_1}{[\sigma] - \gamma \cdot \ell_1}.$$

**29. Pog'onali sterjenning ikkinchi pog'onasini ko'ndalang kesim yuzasi qaysi formuladan aniqlanadi?**

$$A_2 = \frac{N_1}{[\sigma] - \gamma \cdot \ell_2};$$

$$A_1 = \frac{F}{[\sigma] - \gamma \cdot \ell_1};$$

$$A_1 = \frac{F}{[\sigma] - \gamma \ell};$$

$$A_1 = \frac{N_1}{[\sigma] - \gamma \cdot \ell_1}.$$

**30. Quyidagi formulalarning qaysi biridan faqat xususiy og'irlilikni e'tiborga olganda absolyut cho'zilish deformatsiyasi aniqlanadi?**

$$\Delta \ell = \frac{\gamma A \ell \ell}{2EA};$$

$$\Delta \ell = \frac{\gamma A \ell^2}{EA};$$

$$\Delta \ell = \frac{F \ell}{EF} + \frac{\gamma A \ell \ell}{2EA};$$

$$\Delta \ell = \frac{F \ell}{2EF} + \frac{\gamma A \ell^2}{EA}$$

**Bu 30 ta test savollar 2.11-2.13 paragraflar bo'yicha tuzilgan:**

**1. Statik aniqmas masala bu...**

- sterjenlarda hosil bo'lgan noma'lum zo'riqish kuchiari yoki reaksiya kuchlari soni statika muvozanat tenglamalari sonidan ortiq bo'lgan masaladir;
- sterjenlarda hosil bo'lgan noma'lum zo'riqish kuchlari yoki reaksiya kuchlari soni statika muvozanat tenglamalari soniga teng bo'lgan masaladir;
- qaralayotgan masala faqat statika muvozanat tenglamalari yordamisiz yechish mumkin bo'lgan masaladir;
- qaralayotgan masala faqat statika muvozanat tenglamalari yordamida yechish mumkin bo'lgan masaladir.

**2. Statik aniqmas masalalarda noma'lumlar soni statik tenglamalar sonidan bitta ko'p bo'lsa, masala necha marta statik noaniq bo'ladi?**

- 1;                  - 2;                  - 3;                  - 4.

**3. Statik aniqmas masalalarda statik tenglamalar sonidan noma'lum zo'riqish kuchlari soni uchta ko'p bo'lsa, masala necha marta statik noaniq bo'ladi?**

- 3;                  - 4;                  - 1;                  - 2.

**4. Statik aniqmas masalalarda noma'lumlar soni  $n+1$  ta statik tenglamalar soni  $n$  ta bo'lsa, masala necha marta statik noaniq bo'ladi?**

- 1;                   $n+1$ ;                   $n$ ;                   $n-1$ .

**5. Statik aniqmas masalalarda qo'shimcha tenglamalar soni qanday shartdan foydalaniib tuziladi?**

- sistema deformatsiyasi shartidan;
- sistema kuchlanishi shartidan;
- sistema bog'lanish shartidan;
- sistema tayanch shartidan.

## **6. Statik aniqmas masalalar qanday tartibda yechiladi?**

- statik muvozanat tenglamalar tuziladi, noma'lumlar soni aniqlanadi, qo'shimcha tenglama tuziladi;
- deformatsiyalarni solishtirish, kuch usul, energetik usul yordamida qo'shimcha tenglama tuziladi;
- kuch usul, mexanik usul, energetik usul yordamida qo'shimcha tenglama tuziladi;
- mexanik xossalari, fizik xossalari, geometrik xossalari yordamida sintez qilinadi.

## **7. Masalada ortiqcha noma'lumlar soni uchta bo'lsa, masala necha marta statik noaniq bo'ladi?**

- uch marta;    – ikki marta;    – to'rt marta;    – besh marta.

## **8. Statik aniqmas masalalarni yechishda asosiy sistema – bu:**

- statik aniqmas sistemadan ortiqcha bog'lanishlarni tashlab yuborib olingan statik aniq sistemadir;
- statik aniqmas sistemadagi tayanchlarning birontasini reaksiya kuchi bilan almashtirib olingan statik aniqmas sistemadir;
- statik aniqmas sistemadagi tayanchlarning barcha reaksiya kuchi bilan almashtirib olingan statik aniq sistemadir;
- statik aniq sistemadan ortiqcha noma'lumlarni tashlab yuborib olingan statik aniq sistemadir.

## **9. Statik aniqmas masalalarni yechishda ekvivalent sistema – bu:**

- statik aniqmas sistemadagi tayanchlarning birontasini noma'lum reaksiya kuchi bilan almashtirib olingan statik aniq sistemadir;
- statik aniqmas sistemadan ortiqcha bog'lanishlarni tashlab yuborib olingan statik aniqmas sistemadir;
- statik aniqmas sistemadan ortiqcha noma'lumlarni tashlab yuborib olingan statik aniqmas sistemadir;
- statik aniq sistemadagi tayanchlarning barcha reaksiya kuchi bilan almashtirib olingan statik aniq sistemadir.

**10. Statik aniqmas masalalarini yechishda asosiy sistemani ekvivalent sistemadan hosil qilish mumkinmi?**

- mumkin;
- mumkin emas;
- ba'zan mumkin;
- ko'pincha mumkin emas.

**11. Statik aniqmas sterjenlar sistemasini masalasini yechish qanday reja asosida olib boriladi?**

– noma'lum zo'riqishlar yo'nalishlari ko'rsatiladi, kerakli muvozanat tenglamalar tuziladi, qo'shimcha tenglama tuziladi, qo'shimcha tenglamadagi deformatsiyalar zo'riqish kuchlari bilan almashdirilib va tenglamalar birgalikda yechiladi;

– noma'lum zo'riqishlar yo'nalishlari ko'rsatilmaydi, kerakli muvozanat tenglamalar tuziladi, qo'shimcha tenglama tuziladi, qo'shimcha tenglamadagi kuchlanishlar zo'riqish kuchlari bilan almashdirilib va tenglamalar yechiladi;

– noma'lum zo'riqishlar yo'nalishlari ko'rsatiladi, kerakli muvozanat tenglamalar tuzilishi shart emas, qo'shimcha tenglama tuziladi, qo'shimcha tenglamadagi deformatsiyalar zo'riqish kuchlari bilan almashtirilib va tenglamalar birgalikda yechiladi;

– ma'lum zo'riqishlar yo'nalishlari ko'rsatiladi, kerakli muvozanat va qo'shimcha tenglama tuzilmaydi, qo'shimcha tenglamadagi deformatsiyalar zo'riqish kuchlari bilan almashtirilib va tenglamalar birgalikda yechiladi.

**12. Cho'zilish va siqilishdagagi statik noaniq sterjenning reaksiya kuchiari qanday yo'nalgan bo'ladi?**

- sterjen o'qiga parallel ravishda yo'naladi;
- sterjen o'qiga perpendikulyar ravishda yo'naladi;
- sterjen o'qiga noma'lum burchak ostida yo'naladi;
- sterjen o'qiga ixtiyoriy ravishda yo'naladi.

**13. Cho'zilish va siqilishdagi statik noaniq sterjenning reaksiya kuchlarining biri manfiy ishorada chiqsa, u nimani bildiradi?**

- manfiy ishorali reaksiya kuchining teskari tomonga yo'naliшини;
- manfiy ishorali reaksiya kuchining to'g'ri yo'nalganligini;
- manfiy ishorali reaksiya kuchining musbat ishorali reaksiya kuchi tomonga yo'nalganligini;
- manfiy ishorali reaksiya kuchining noo'rin tomonga yo'nalgaligini.

**14. Statik noaniq masalalarda qo'shimcha tenglama qanday maqsadda tuziladi?**

- noma'lum zo'riqish kuchlarini aniqlash maqsadida;
- ekvivalent sistemani aniqlash maqsadida;
- asosiy sistemani aniqlash maqsadida;
- boshlang'ich parametrlarni aniqlash maqsadida.

**15. Sterjenning cho'zilishi va siqilishidagi statik aniqmas masalalarda noaniqlik darajasi nimani bildiradi?**

- tuzilishi lozim bo'lgan qo'shimcha tenglamalar sonini;
- tuzilishi noma'lum bo'lgan qo'shimcha tenglamalar sonini;
- tuzilishi lozim bo'lgan muvozanat tenglamalar sonini;
- tuzilishi lozim bo'lgan differensial tenglamalar sonini.

**16. Cho'zilish va siqilishdagi statik aniqmas masaladagi sterjenning uzunligi o'rtasiga qo'yilgan  $F$  kuchidan hosil bo'lган reaksiya kuchlari nimaga teng?**

$$F/2; \quad -F/2; \quad F/2; \quad F; \quad -F/2; \quad F; \quad -F.$$

**17. Cho'zilish va siqilishdagi statik aniqmas masaladagi sterjenlar sistemasining noaniqlik darajasi nimani bildiradi?**

- tuzilishi lozim bo'lgan qo'shimcha tenglamalar sonini;
- tuzilishi noma'lum bo'lgan qo'shimcha tenglamalar sonini;
- tuzilishi lozim bo'lgan muvozanat tenglamalar sonini;
- tuzilishi lozim bo'lgan differensial tenglamalar sonini.

## **18. Asosiy sistema tanlash yo‘li bilan statik aniqmas masalalarni yechish qanday reja asosida olib boriladi?**

– noma’lum zo‘riqishlar yo‘nalishlari ko‘rsatiladi, kerakli muvozanat tenglamalar tuziladi, asosiy sistema tanlanib ortiqcha noma’lumlar ta’sir ettililib ekvivalent sistema hosil qilinadi, ortiqcha noma’lum qo‘yilgan nuqtasining ko‘chishi topilib nolga tenglashtiriladi, deformatsiyalar zo‘riqish kuchlari bilan almashtirilib va ular birgalikda yechiladi;

– noma’lum zo‘riqishlar yo‘nalishlari ko‘rsatilmaydi, kerakli muvozanat tenglamalar tuziladi, ekvivalent sistema hosil qilinadi, ortiqcha noma’lum qo‘yilgan nuqtasining ko‘chishi noldan farqli bo‘lgan songa tenglashtiriladi, qo‘srimcha tenglamadagi kuchlanishlar zo‘riqish kuchlari bilan almashtirilib yechiladi;

– noma’lum zo‘riqishlar yo‘nalishlari ko‘rsatiladi, kerakli muvozanat tenglamalar tuzilishi shart emas, ekvivalent sistema hosil qilinadi, ortiqcha noma’lum qo‘yilgan nuqtasining ko‘chishi noldan farqli bo‘laganigi sababli, qo‘srimcha tenglamadagi deformatsiyalar zo‘riqish kuchlari bilan almashtirilib va ular birgalikda yechiladi;

– ma’lum zo‘riqishlar yo‘nalishlari ko‘rsatiladi, kerakli muvozanat va qo‘srimcha tenglama tuzilmaydi, qo‘srimcha tenglamadagi deformatsiyalar zo‘riqish kuchlari bilan almashtirilib va ular birgalikda yechiladi.

## **19. Konstruksiya elementlari o‘lchamlarini noaniq tayyorlanganligi sababli montaj qilinganda montaj kuchlanishlar hosil bo‘ladimi?**

- hosil bo‘ladi;
- hosil bo‘lmaydi;
- agar tashqi kuchlar ta’sir etsa, hosil bo‘ladi;
- agar konstruksiya suv ostida ishlasa, hosil bo‘ladi.

## **20. O‘lchami noaniq tayyorlangan konstruksiya elementlari montaj qilinganda, unga tashqi kuch ta’sir etmasa, montaj kuchlanishlar hosil bo‘ladimi?**

- hosil bo‘ladi;
- hosil bo‘lmaydi;

- agar konstruksiya o'chami aniq tayyorlangan bo'lsa, hosil bo'lmaydi;
- agar konstruksiya bitta o'chami noaniq boshqalari aniq tayyorlangan bo'lsa, hosil bo'ladi.

## **21. Statik aniqmas sterjenlarda zo'riqish kuchi kuchlari uning materialiga bog'liqmi?**

- bog'liq;
- bog'liq emas;
- temperaturasi  $40^{\circ}$  oshganda bog'liq;
- massasi katta bo'lganda bog'liq.

## **22. Ikki uchi bilan qistirib mahkamlangan sterjen temperaturasi $\Delta t$ o'zgarganda sterjen ko'ndalang va bo'ylama o'chamlari o'zgaradimi?**

- ko'ndalang kesim o'chamlari o'zgaradi, bo'ylama o'chami o'zgarmaydi;
- ko'ndalang kesim o'chamlari o'zgarmaydi, bo'ylama o'chami o'zgarmaydi;
- ko'ndalang kesim o'chamlari o'zgarmaydi, bo'ylama o'chami o'zgaradi;
- ko'ndalang kesim o'chamlari o'zgaradi, bo'ylama o'chami o'zgaradi.

## **23. Bir uchi bilan qistirib mahkamlangan sterjen temperaturasi $\Delta t$ o'zgarganda absolyut cho'zilishi ifodasi qaysi javobda to'g'ri?**

$$\Delta \ell_T = \alpha \cdot i \cdot \Delta t; \quad \Delta \ell_T = \alpha \cdot l \cdot \Delta A; \quad \Delta \ell_T = \alpha \cdot l \cdot \Delta F; \quad \Delta \ell_T = \alpha \cdot A \cdot \Delta t.$$

## **24. $\Delta \ell_T = \alpha \cdot l \cdot \Delta t$ ifodadagi hadlarning qaysi biri materialning chiziqli kengayish koeffitsiyentini bildiradi?**

$$\alpha = 125 \cdot 10^{-7}; \quad \Delta \ell_T = 125 \cdot 10^7; \quad \Delta t = 125 \cdot 10^{\pm 7}; \quad l = 125 \cdot 10^{17}.$$

## **25. Faqat bir uchi bilan qistirib mahkamlangan sterjen temperaturasi $\Delta t$ o'zgarganda qanday zo'riqish kuchi hosil bo'ladi?**

- hosil bo'lmaydi;
- hosil bo'ladi;
- faqat bo'ylama kuch hosil bo'ladi;
- ixtiyoriy kuch hosil bo'ladi.

**26. Ikki uchi bilan qistirib mahkamlangan sterjen temperaturasi  $\Delta t$  o'zgarganda zo'riqish kuchi hosil bo'ladi mi?**

- hosil bo'ladi;
- hosil bo'lmaydi;
- faqat bo'ylama kuch hosil bo'ladi;
- ixtiyoriy kuch hosil bo'ladi.

**27. Ikki uchi bilan qistirib mahkamlangan sterjen temperaturasi  $\Delta t$  o'zgarganda absolyut bo'ylama deformatsiyasi nimaga teng bo'ladi?**

- nolga;
- birga;
- cheksizga;
- hisoblab aniqlanadi.

**28. Bir uchi bilan mahkamlangan sterjen temperaturasi  $\Delta t$  o'zgarganda ko'ndalang va bo'ylama o'lchamlari o'zgaradimi?**

- o'zgaradi;
- o'zgarmaydi;
- faqat plastik deformatsiya hosil bo'ladi;
- faqat oquvchanlik deformatsiya hosil bo'ladi.

**29. Ikki uchi qistirib mahkamlangan sterjen temperaturasi  $\Delta t$  o'zgarganda hosil bo'lgan reaksiya kuchi qaysi javobda to'g'ri keltirilgan?**

$$Z = EA\alpha\Delta t; \quad Z = AF\alpha\Delta t; \quad Z = EA\alpha\Delta\ell; \quad Z = AF\alpha\Delta t.$$

**30. Ikki uchi qistirib mahkamlangan sterjen temperaturasi  $\Delta t$  o'zgarganda kuchlanish qaysi formuladan aniqlanadi?**

$$\sigma_t = \frac{Z}{A} = E\alpha\Delta t; \quad \sigma_t = \frac{Z}{A} = E\alpha\Delta\ell; \quad \sigma_t = \frac{Z}{A} = F\alpha\Delta t; \quad \sigma_t = \frac{Z}{A} = E\alpha\Delta F.$$

## **KONSTRUKSION MATERIALLARNING MEXANIK TAVSIFLARI**

### **3.1-§. Materiallarni cho'zilishga sinash. Cho'zilish diagrammasi**

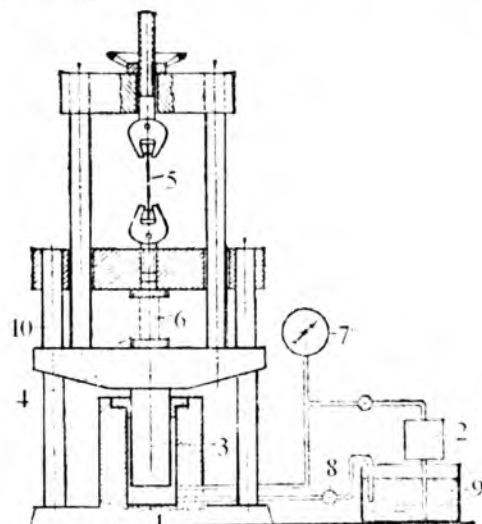
Inshootlar, mashinalar va mexanizm elementlarini loyihalashda va mustahkamlikka, bikirlikka hamda ustuvorlikka hisoblash ishlari da materialning mexanik tavsiflarini bilish lozim bo'ladi. Materiallarning mexanik tavsiflarini standart namunalarni sinash yo'li bilan aniqlanadi. Laboratoriya sharoitida namunaning mexanik tavsiflarini aniqlash maqsadida har bir material uchun davlat standartida shakli va o'lcamlari orasida munosabatlar belgilanib qo'yilgan. Namuna materialiga qarab cho'zilishga, siqilishga, siljishga, buralishga va qattiqlikka sinab ko'rildi. Mexanik sinovlarning barcha turlari, shuningdek bunda qo'llaniladigan mashinalar va asboblari, materiallar qarshiligi fani bo'yicha mayjud bo'lgan o'quv qo'llanmalarda bat afsil tavsifi keltirilgan [12; 10-b].

Cho'zilish va siqilishga sinov tajribasini o'tkazish uchun juda ko'p mashinalar mayjudki, ular namunaga ta'sir qiluvchi kuchni yuqori aniqlikda o'lcay oladi. Deformatsiya esa mashinadagi maxsus qurilma yoki o'lcagich asboblari bilan aniqlanadi.

Yangi turdag'i sinov mashinalarida ta'sir qiluvchi kuch bir necha grammidan bir necha ming tonnagacha olib borilishi mumkin. Bunday mashinalarda cho'zilish va siqilishga ayrim kichik namunalar emas, balki haqiqiy o'lcamdag'i inshoot elementlarini sinash mumkin. Kundalik amaliyotda quvvati kamroq bo'lgan mashinalarda o'lcamlari kichik namunalar sinov asosida sinalib ko'rildi. Cho'zilishga sinash uchun quvvati 500 kN gacha bo'lgan mexanik yoki gidravlik ta'sir qiluvchi mashinalar tatbiq etiladi. Tola va ipni sinash mashinalarida cho'zuvchi kuch grammalarda o'chanadi. Siqilish bilan bog'liq bo'lgan sinovlar quvvati 300 kN dan 5000 kN gacha bo'lgan gidravlik presslarda bajariladi.

Sinov mashinalari namunaga qo'yiladigan yuk qiymatini ko'rsatuvchi qurilma bilan jihozlangan. Namunaning cho'zilishi maxsus o'lchov asboblari yordamida aniqlanadi. Namunaning yuk ta'sirida cho'zilishini tasvirlovchi grafiklarni avtomatik chizib beradigan qurilma bilan jihozlangan.

3.1-chizmada materiallarni cho'zilish va siqilishga sinash uchun mo'ljallangan gidravlik sinov mashina sxemasi ko'rsatilgan: nasos 2 yordamida bosim ostida moy silindr 1 ning bo'shlig'iga uza tiladi, natijada plunjер 3 ko'tariladi [V.I.Feodosev]. Cho'zilishga sinaladigan namuna 5 ni ushlab turadigan moslama o'rnatilgan rama 4 plunjerni ustiga joylashtirilgan.



3.1-chizma. Gidravlik sinov mashina sxemasi

Siqilishga sinalgan namuna 6 ramani pastki qismiga o'rnatiladi. Rama 10 qo'zg'almas. Kuch monometr 7 bilan o'lchanadi. Sinov to'xtatilgandan so'ng rama 4 ning og'irligi ta'sirida moyni ventil 8 orqali siqib chiqariladi va vanna 9 ga qaytib o'tadi.

Materialni cho'zilishga statik sinash muhim ahamiyatga ega, chunki bunda materiallarning xossalari va tavsiflarini to'liq bilib

olish mumkin. Namunalarni sinash GOST 1497-84 ga muvofiq o't-kaziladi.

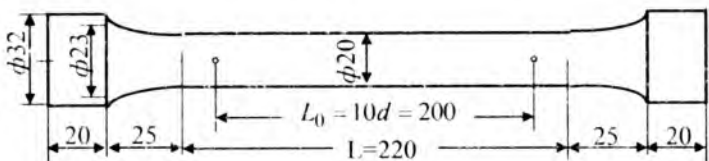
Plastik materiallarni cho'zilishga sinash uchun ulardan silindrik va tekis shakldagi maxsus namunalar tayyorlanadi (3.2-chizma, a, b).

Barcha o'lchamlar namunaning o'rta qismidan olinadi, ya'ni silindrik namuna uchun 200 mm qo'yilgan oraliqdan olinadi, chunki namunaning bu qismidagina kuchlanish ko'ndalang kesimlar bo'yicha tekis taqsimplanadi.

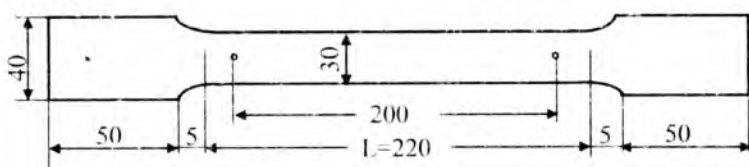
Agar namunaning ko'ndalang kesim yuzasi bir xil bo'lib, shakli qanday bo'lishidan qat'i nazar vaqtli qarshilik ham bir xil bo'lib, mustahkamligi ko'ndalang kesim yuzasiga proporsionaldir.

Odatda, o'rta qismining uzunligi va diametri orasidagi munosabatlarga qarab silindrik namunalar uzun ( $L_0 = 10d$ ) yoki qisqa ( $L_0 = 5d$ ) qilib yasaladi.

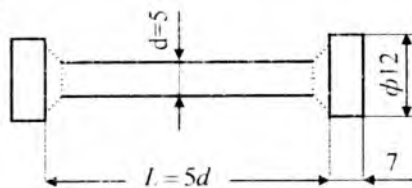
a)



b)



d)



3.2-chizma. Silindrik va tekis shakldagi maxsus namunalar

Tekis namunalarning uzunligini tanlash uchun avval shu namunaning ko'ndalang kesim yuzasiga teng yuzali doiraviy namunaning diametrini aniqlash zarur:

$$d = \sqrt{4A_0 / \pi} \approx 1,13\sqrt{A_0}. \quad (\text{a})$$

Keyin esa quyidagi munosabatlardan foydalanib, tekis namunalarning uzuniigini ham aniqlash mumkin:

a) uzun tekis namunalar uchun

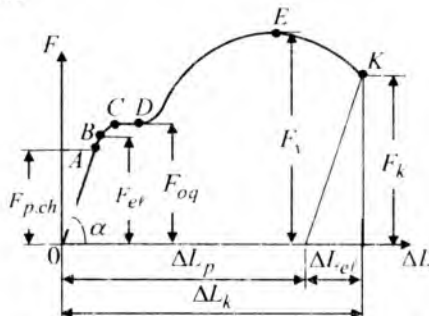
$$L_0 = 10d \approx 11,3\sqrt{A_0};$$

b) qisqa tekis namunalar uchun

$$L_0 = 5d \approx 5,65\sqrt{A_0}.$$

Sinov mashinasining pastki va yuqori qisqichlariga namuna mahkam o'rnatilib, keyin cho'ziladi.

3.3-chizmada kam uglerodli po'lat 3 navli materialdan tayyorlangan namunani, sinov mashinada cho'zilishga sinash jarayonida grafik quruvchi maxsus qurilmasi yordamida chizilgan grafik,  $F - \Delta L$  koordinatada keltirilgan. Cho'zuvchi kuch  $F$  bilan namunaning cho'zilishi  $\Delta L$  orasidagi bu grafikka *cho'zilish diagrammasi* deb ataladi [1.X 7-8 b.]. Cho'zilish diagrammaning  $F - \Delta L$  koordinatadagi ko'rinishi nafaqat materialning xossalariiga bog'liq bo'lib qolmasdan, balki sinalayotgan namunaning o'lchamlariga ham bog'liq bo'ladi. Namuna faqat mexanik tavsiflarini ifodalovchi diagrammani hosil qilish uchun dastlabki diagrammani  $\sigma - \varepsilon$  koordinatada qurish lozim.



3.3-chizma. Kam uglerodli po'lat namunaning cho'zilishi diagrammasi

Materialning xossalari o'rganish uchun normal  $\sigma$  kuchlanish va nisbiy  $\varepsilon$  deformatsiya orasidagi bog'lanishni ifodalovchi cho'zilish diagrammasidan foydalanish maqsadga muvoqiqdir (3.4-chizma). Namunani cho'zishda hosil bo'lgan normal  $\sigma$  kuchlanish,  $F$  yukni namunaning dastlabki  $A_0$  yuzasiga nisbati

$$\boxed{\sigma = \frac{F}{A_0}} \quad (3.1)$$

nisbiy  $\varepsilon$  deformatsiya,  $\Delta L$  absolyut cho'zilishni namunaning dastlibki  $L_0$  uzunligiga nisbati

$$\boxed{\varepsilon = \frac{\Delta L}{L_0}} \quad (3.2)$$

kabi aniqlab, dastlabki diagrammani  $\sigma - \varepsilon$  koordinatada quriladi.

Cho'zilish diagrammani shartli ravishda beshta sohaga bo'lish mumkin.

### *1. Proporsionallik 0A soha.*

Yuklanishning bosh qismi, cho'zilish diagrammasining birorta  $A$  nuqtagacha og'ma chiziqni ifodalab, u yuk bilan deformatsiya orasida to'g'ri proporsional bog'lanishni, ya'ni Guk qonuni to'g'riliqini tasvirlaydi.

Diagrammaning 0A qismi *elastiklik soha* deyiladi, bunda diagrammaning to'g'ri proporsional bog'lanish buzilmagan sohada kuchni  $F_{p.ch}$  bilan belgilanadi va *proporsionallik chegarasi*  $\sigma_{p.ch}$  ni aniqlashda foydalaniladi.

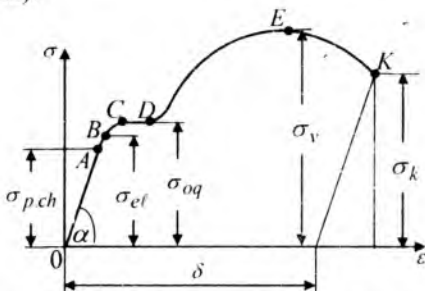
*Proporsionallik chegarasi deb, shunday eng katta kuchlanishga aytildiki, ungacha material Guk qonuniga to'la bo'ysunadi.* U quyidagi formuladan aniqlanadi:

$$\boxed{\sigma_{p.ch} = \frac{F_{p.ch}}{A_0}} \quad (3.3)$$

Po'lat 3 uchun proporsionallik chegarasi  $\sigma_{p.ch} = 195 \div 200 \text{ MPa}$ .

Proporsionallik 0A sohada absolyut cho'zilish juda ham kichik miqdor bo'lganligi uchun 0A to'g'ri chiziq koordinatalar sistemasida vertikal o'qdan juda ham kam og'adi, lekin cho'zilish diagramma

yaxshi ko'rinishi uchun masshtabga rioya qilininasdan chizib ko'rsatilgan (3.4-chizma).



3.4-chizma. Po'lat 3 materialining shartli cho'zilish diagrammasi

## 2. Elastik AB sohasi.

Cho'zilish diagrammaning proporsionallik chegarasidan ortgandan keyin, yukka nisbatan deformatsiya tezroq o'sadi va natijada to'g'ri chiziq egri chiziqlqa o'tadi. Yuklanish jarayonida  $A$  nuqtadan boshlab unga juda ham yaqin bo'lган  $B$  nuqttagacha diagramma egrilanadi. Shu sababli bu  $AB$  sohada kuchlanish deformatsiyaga proporsional bo'lmaydi. Bu sohada kuchni  $F_{el}$  bilan belgilanadi va *elastiklik chegarasini aniqlashda foydalaniлади*.

Diagrammadagi egri chiziqli sohasida yotuvchi  $B$  nuqtaning holati elastiklik chegarasi  $\sigma_{el}$  ga mos keladi (3.4-chizma).

*Elastiklik chegarasi deb, namuna yukszlantirilganda qoldiq deformatsiya hosil qilmasdan uning materiali bardosh bera oladigan eng katta kuchlanishga aytiladi.* U quyidagi formuladan aniqlanadi:

$$\sigma_{el} = \frac{F_{el}}{A_0} \quad (3.4)$$

Ko'pgina materiallar uchun proporsionallik chegarasi  $\sigma_{p, ch}$  bilan elastiklik chegarasi  $\sigma_{el}$  miqdori bir-biridan juda ham kam farq qiladi. Shuning uchun amalda ularni bir-biriga mos keladi deb qaraladi.

Po'lat 3 materiali uchun elastiklik chegarasi  $\sigma_{el} = 205 \div 210 \text{ MPa}$ .

Agar kuchlanishlarning qiymati  $\sigma_{el}$  dan oshib ketmasa, u holda namunada faqat elastik deformatsiya sodir bo'ladi; aksincha, oshib

ketsa, namunada ham elastik, ham qoldiq (plastik) deformatsiyalar paydo bo'ldi. Ya'ni *B* nuqtadan vertikal chiziq o'tkazilsa, bu vertikal chiziqdan chap tomonda diagramma elastik deformatsiya sohasi, o'ng tomonida elastik-plastik deformatsiyalar sohasi yotadi.

### 3. Oquvchanlik CD sohasi.

Yuklanish davom ettirilsa, diagrammaning egri chiziqli sohasi deyarli to'g'ri chiziqli *CD* sohaga o'tadi, bunda yuk ortmasa ham deformatsiya ortadi, xuddi material oqadi. Bu sohada kuchni  $F_{oq}$  bilan belgilanadi va *umumiy oquvchanlik chegarasini* aniqlashda foydalaniлади.

Bu holatga to'g'ri kelgan kuchlanish *umumiy oquvchanlik chegarasi* deb ataladi. U quyidagi formuladan aniqlanadi:

$$\sigma_{oq} = \frac{F_{oq}}{A_0}. \quad (3.5)$$

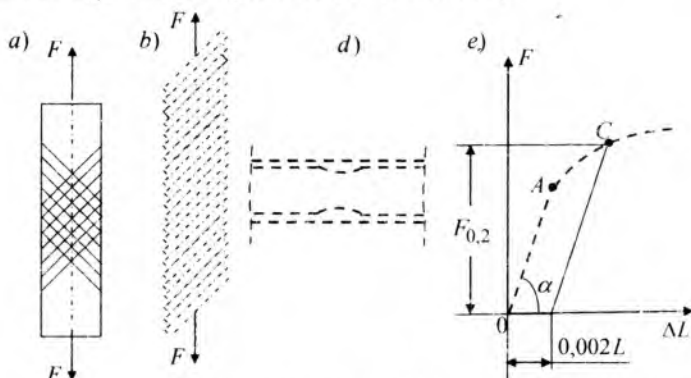
Po'lat 3 materiali uchun oquvchanlik chegarasi  $\sigma_{oq} = 220 \div 250 \text{ MPa}$ .

Diagrammaning gorizontal *CD* qismi *oquvchanlik maydonchasi* deb ataladi (3.4-chizma). Bu sohada plastik deformatsiya juda ham ortib ketadi va natijada namunaning temperaturasi ko'tarilib, elektr o'tkazuvchanlik va magnitlanish xususiyatlari o'zgaradi.

Ferrit kristallari orasida siljishlar sodir bo'lishi tufayli kam uglerodli po'latlardagina oquvchanlik hodisasi ro'y beradi. Oquvchanlik chegarasida mo'rt sementitli to'r parchalana boshlaydi, u qabul qiladigan kuchlar ferrit kristallariga beriladi. Natijada ferrit kristallari deformatsiyalanadi va oquvchanlik maydonchasida namunaning yaltiroq sirti xiralashib, uning o'qi bilan  $45^\circ$  burchak tashkil etuvchi darz chiziqlari hosii bo'ladi. Bu chiziqlarni bir-biriga bog'liq bo'i-magan holda eng avval *Lyuders* va keyinchalik *Chernov* kabi metallurglar topganligi uchun, ular *Lyuders-Chernov chiziqlari* deb ataladi (3.5,a-chizma). Qiya tekisliklarda siljish natijasida namunada qoldiq deformatsiya hosil bo'ladi. Qoldiq deformatsiyani hosil bo'lish mexanizmi soddallashtirib 3.5,b-chizmada keltirilgan.

Shuni aytish kerakki, ba'zi maxsus po'latlar, mis va bronza kabi materiallarning cho'zilish diagrammasida oqish chegarasi aniq ko'rinxmaydi. Shu bois, bunday materiallar uchun qoldiq deformatsiyasi namuna dastlabki uzunligining 0,2 foizga teng bo'lgandagi

kuchlanish shartli oquvchanlik chegarasi deb qabul qilinadi va bu kuchlanishni  $\sigma_{0,2}$  bilan belgilanadi (3.5,e-chizma).



3.5-chizma. Deformatsiyaning hosil bo'lish mexanizmi

Shartli oquvchanlik chegarasi quyidagi formuladan aniqlanadi:

$$\sigma_{0,2} = \frac{F_{0,2}}{A_0}. \quad (3.6)$$

#### 4. Mustahkamlanish DE sohasi.

Cho'zilish diagrammasi umumiy oquvchanlik chegarasidan yana egri chiziq bo'ylab yuqoriga ko'tariladi. Bunda namuna ortuvchi kuchni ko'tarish qobiliyatiga ega bo'ladi va diagrammaning yuqoriga ko'tarilgan  $K$  nuqtasiga to'g'ri keluvchi maksimal kuch  $F_{\max}$  bilan belgilanadi va undan vaqtinchcha qarshilikni aniqlashda foydalaniladi.

Maksimal kuch  $F_{\max}$  ga to'g'ri keluvchi kuchlanish vaqtinchcha qarshilik  $\sigma_v$  yoki mustahkamlik chegarasi  $\sigma_m$  deb ataladi. U quyidagi formuladan aniqlanadi:

$$\sigma_v = \frac{F_{\max}}{A_0}. \quad (3.7)$$

Po'lat 3 materiali uchun vaqtinchcha qarshilik  $\sigma_v = 370 \div 470 \text{ MPa}$ .

Diagrammadagi DE soha mustahkamlanish sohasi deb ataladi (3.4-chizma). Bu sohada namunaning butun uzunligi bo'yicha uzayish tekis ro'y beradi, dastlabki silindrik ko'rinishi saqlanib qoladi, lekin ko'ndalang kesim yuzasi juda ham kichik va tekis o'zgaradi.

### *5. Mahalliy oquvchanlik EK sohasi.*

Kuch maksimal va unga yaqin bo'lgan qiymatga erishganda (diagrammaning  $E$  nuqtasi) namunaning eng zaif joyida kuchlanishlar to'planadi (kuchlanishlar kontsentratsiyasi). Buning natijasida namunaning zaif joyida namunaning ko'ndalang kesimi lokal (muayyan bir joyida) ingichkalashib bo'yin hosil bo'ladi (3.5,b-chizma). Bunda bo'ylama deformatsiya namuna uzunligiga qaraganda ko'proq uning uzilgandan keyingi uzunligiga bog'liq bo'ladi. Namuna bo'yin o'ttasidagi kesimining ingichkalanishi tezlashadi, lekin bu kesimda kuchning kamayishiga qaramasdan kuchlanish doimo o'sib boradi. Namunaning bo'ynidan boshqa sohalarida kuchlanish kamaydi, shuning uchun bu sohalarda cho'zilish hosil bo'lmaydi. Kuch  $K$  nuqtaga mos keluvchi kuch *yemiruvchi kuch* deb ataladi va uni  $F_k$  bilan belgilaymiz. Uzilish vaqtidagi kuchlanish uzilishdagi haqiqiy qarshilik (haqiqiy mustahkamlik chegarasi) quyidagi formuladan aniqlanadi:

$$S_k = \frac{F_k}{A_k} \quad (3.8)$$

Bunda  $A_k$  namunaning uzilgan kesimining yuzasi.

Po'lat 3 namunaning uzilish vaqtidagi haqiqiy qarshilik  $S_k = 900 \pm 1000 MPa$ .

Demak, bundan ko'rindiki, haqiqiy qarshilik vaqtincha qarshilikka qaraganda ikki marta ko'p ekan.

Diagrammaning *EK sohasi mahalliy oquvchanlik soha* deb ataladi (3.4-chizma).

Shuni aytib o'tish lozimki, ba'zan vaqtincha qarshilik mustahkamlik chegarasi deb ham ataladi. Agar namunaning yemirilishi bo'yin hosil qilmasdan sodir bo'lgan taqdirdagina mustahkamlik chegarasi deb nomlanishi mumkin. Bu mo'rt materiallarda bo'lishi mumkin, masalan, cho'yan. Unda eng katta kuchlanish amalda uzilish vaqtidagi qarshilikka mos keladi va mustahkamlik chegarasi deyarli yemirilishdagi haqiqiy kuchlanishga teng bo'ladi. Plastik materiallarda, masalan, po'lat 3 da yukning eng katta qiymati namunaning yemirilish vaqtidagi miqdoriga mos kelmaydi va mustahkamlik xarakteristikasi sifatida vaqtincha qarshilik qabul qilinadi.

Yuqorida keltirilgan  $\sigma_{p.ch}$ ,  $\sigma_{el}$ ,  $\sigma_{oq}$ ,  $\sigma_v$ ,  $S_k$  xarakteristikalar materialning mustahkamlik tavsiflaridir.

Shuni aytib o'tish lozimki, materialning to'rtta tavsiflari: proporsionallik, elastiklik, oquvchanlik va mustahkamlik chegaralari materialning birdan-bir, turli ruxsat etilgan deformatsiyalarda plastik deformatsiyaga qarshilik ko'rsatish xossasini xarakterlaydi.

$$\begin{array}{ll} \sigma_{p.ch} & \varepsilon \approx 0,005\% \\ \sigma_{oq} & \varepsilon \approx 0,200\% \\ & \varepsilon \approx 10,0\% \end{array} \quad \begin{array}{ll} \sigma_{el} & \varepsilon \approx 0,01\% \\ & \sigma_v \end{array}$$

Faqat bitta xarakteristika – uzilishga  $S_k$  qarshiligi materialning yemirilishga qarshiligini xarakterlaydi.

### *Materiallarning plastiklik tavsiflari.*

Namunaning uzilishidan keyingi *nisbiy qoldiq cho'zilishini*  $\delta(\%)$  bilan belgilaymiz. Nisbiy qoldiq cho'zilish deb namunaning uzilgandan keyingi hisobiy uzunligi orttirmasining sinashdan oldingi uzunligiga nisbatiga aytildi va quyidagi ifodadan aniqlanadi:

$$\delta = \frac{L_1 - L_0}{L_0} \cdot 100\%. \quad (3.9)$$

Bu plastiklik xarakteristika bo'yicha materiallar plastik va mo'rt materialarga bo'linadi.

Shartli ravishda plastik materiallar uchun  $\delta > 5\%$  mo'rt materiallar uchun  $\delta < 5\%$  shartli ravishda qabul qilish mumkin.

Namunaning uzilishidan keyingi kesimining *nisbiy qoldiq ingichkalanishini*  $\psi(\%)$  bilan belgilaymiz. Nisbiy qoldiq ingichkalanish deb namunaning uzilgandan keyingi ingichkalashgan yuzasi kamayishining sinashdan oldingi ko'ndalang kesim yuziga nisbatiga aytildi va quyidagi ifodadan aniqlanadi:

$$\psi = \frac{A_0 - A_k}{A_0} \cdot 100\%. \quad (3.10)$$

Po'lat 3 materiali uchun plastiklik tavsiflari,  $\psi = 60 \div 70\%$ .

### *Yuksizlantirish va yaná yuklash jarayoni*

Cho'zilish diagrammasining elastiklik chegarasidan keyin namunani birorta  $M$  nuqtada yuksizlantsak, dastlabki elastik soha-

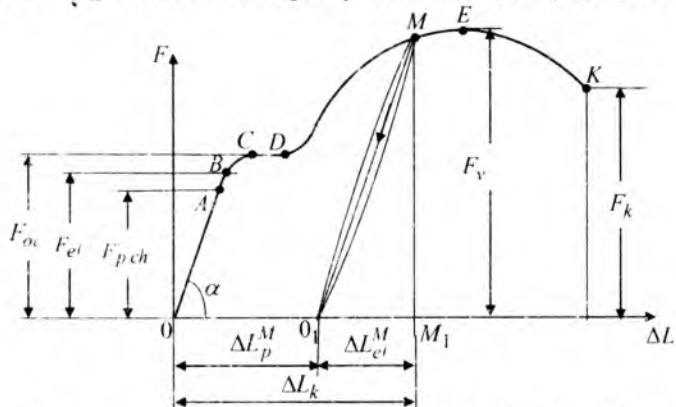
sidagi  $0A$  to‘g‘ri chiziqqa deyarli parallel ravishda  $M_0$ , ro‘y beradi (3.6-chizma). Unda namuna  $M$  nuqtagacha yuklaganda hosil bo‘lgan  $to‘la$  cho‘zilish  $0M_1 = \Delta L_k$  to‘liq yo‘qolib ketmasdan qoldiq cho‘zilish  $00_1 = \Delta L_p^M$  qoladi, elastik cho‘zilish  $0_1M_1 = \Delta L_{el}^M$  to‘liq yo‘qoladi.

Demak, elastiklik chegarasidan keyin deformatsiya ikki qism-dan iborat, yani elastik va plastik deformatsiyalardan bo'lar ekan:

$$\Delta L = \Delta L_{ef} + \Delta L_{p:} \quad (3.11)$$

Namunani qayta yuklaganimizda cho'zilish diagrammasida bu jarayon  $0, M$  chiziq bo'yicha ro'y berib oldingi yuksizlanish chizig'i bilan *gisterezis sirtmog*'ini hosil qiladi. Gisterezis sirtmoq yuzi namunani qayta yuklashda plastik deformatsiyaga sarflangan (temperatura ortishiga) ishga teng. Gisterezis sirtmoq yuzasi diagramma yuzasiga nisbatan juda kichik. Chunki yuklanish va yuksizlanishda sirtqi chiziqlari deyarli ustma-ust tushadi. Cho'zilish diagrammasining  $M$  nuqtasidan keyin xuddi oraliq yuksizlantirish bo'limganidek davom etadi. Qayta yuklash jarayonida namunaning oquvchanlik chegarasi hosil bo'limganligini, proporsionallik, elastiklik chegaralarining ortganligini kuzatish mumkin. Bu yaxshi, lekin materialning plastiklik xususiyati yomonlashib, ya'ni uzilishdan keyingi deformatsiyasi kamayadi. Bunda materialning mustahkamligi ortib mo'rt bo'lib qoladi.

Elastik-plastik deformatsiya natijasida materialning elastiklik tavsiflarining ortish hodisasiga – *puxtalanish (naklyop)* deb ataladi.



3.6-chizma. Kam uglerodli po'latning cho'zilishi diagrammasi

Naklyop hodisasi faqat cho'zilishda emas, balki boshqa tur deformatsiyalarda ham sodir bo'lishi mumkin. Metallarga sovuqlayin ishlov berishda naklyop hodisasi rivojlanadi. Masalan, bolt yoki parchin mixlar uchun po'lat listlarda o'yib ishlangan teshiklar ochish, ularni parmalab ochishga nisbatan arzon bo'ladi. Bunda teshiklarning girdlarida naklyop hodisasi sodir bo'ladi va mo'rtlashib darz ketishi mumkin. Naklyopni yo'qotish uchun darziar oxirida kichik teshiklar teshib naklyoplangan material olib tashlanadi. Naklyopni yumshatish yo'li bilan ham yo'qotish mumkin.

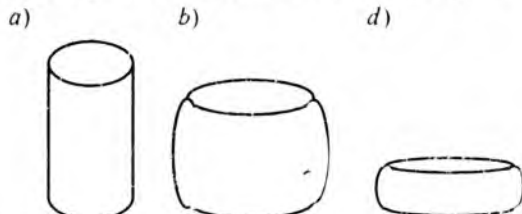
Texnikada naklyop hodisasidan foydalaniladi. Masalan, prujinalar, ko'tarish mashinalari zanjirlar va yuk argonlari oldindan cho'zilib, ularning elastiklik tavsiflarini oshirishda foydalaniladi.

### 3.2. Materiallarni siqilishga sinash

Materiallarni cho'zilishga sinash-materialni sinashning asosiy ko'rinishlaridan biridir. Shuning uchun ham barcha adabiyotlarda (spravochniklarda) cho'zilishga sinash natijalari materialning mexanik xarakteristikasi sifatida keltiriladi.

Barcha boshqa ko'rinishdagi sinovlar texnologik bo'lib, ishlab chiqarish zaruriyati tug'ilganda o'tkaziladi. Lekin ularni o'rganish turli kuchlanganlik-deformatsiya holatida materialning xossalariini tadqiq qilish imkonini beradi.

Metallarni siqilishga sinashda balandligining diametriga bo'lgan nisbati  $1,5 \div 3$  oraliq'ida bo'lgan silindrik namunalar qo'llaniladi. Agar silindrik namuna balandligi diametridan yetarlicha katta bo'lsa, bunday namunalar bo'ylama egilib ustuvorligini yo'qotishi ham mumkin. Mo'rt materiallar tomonlari 5 sm yog'och, 7 sm sement va 20–30 sm beton bo'lgan kub namunalar qabul qilingan.



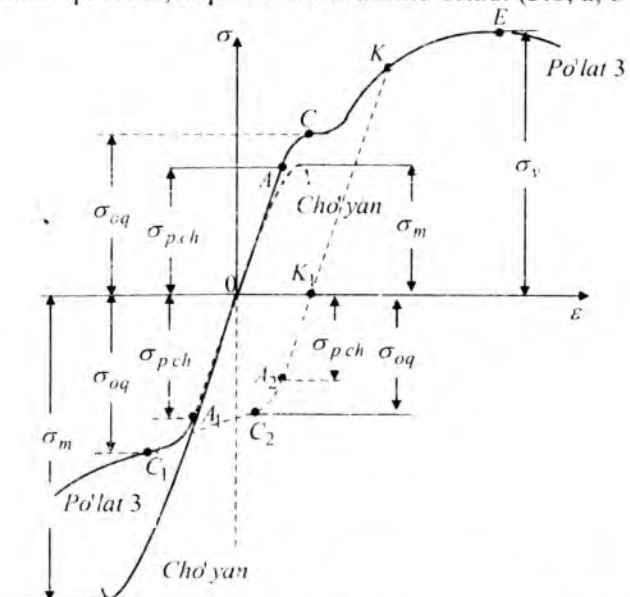
3.7-chizma. Po'lat namunaning siqilish jarayoni

Po'lat va cho'yan namunalarining siqilish diagrammalarini tahlili qilamiz. Ularni taqqoslash qulay bo'lishi uchun universal sinash mashinanining grafik chizish qurilmasi chizib bergen cho'zilish diagrammalarini bitta koordinata sistemasining birinchi va siqilish diagrammalarini uchinchi choragida tasvirlaymiz (3.8-chizma).

Yumshoq po'latdan va yuqori plastiklikka ega bo'lgan materiallardan yasalgan namunalar siqilganda ular yemirilmaydi. Cho'zilish va siqilishda diagramma to'g'ri chiziqli sohalarining og'ish burchaklari bir xil, demak, elastiklik modullari ham bir xil bo'ladi.

Plastik materiallar siqilganda proporsionallik chegarasi, elastilik chegarasi va oquvchanlik chegaralari miqdori taxminan cho'zilishdagi kabi bo'ladi.

Diagrammada oquvchanlik chegarasi cho'zilishdagi kabi aniq bo'lib ko'rinnmaydi. Plastik materiallar siqilganda yemiruvchi kuchga to'g'ri keluvchi kuchlanishni aniqlab bo'lmaydi, chunki namuna yemirilmaydi, faqt pachoqlanib diskka aylanadi va plastik deformatsiyani hosil qiluvchi, siquvchi kuch doimo ortadi (3.8, a, b-chizma).



3.8-chizma. Po'lat va cho'yan namunaning cho'zilish va siqilish diagrammalarini

Namunaning plastik deformatsiyalanishi natijasida hajmi o'zgarmaydi, siqilish natijasida balandligining qisqarishi bilan ko'ndalang kesim yuzasi ortadi. Plastik materiallar siqilganda cho'zilishdagi kabi plastiklik tavsiflarini olib bo'lmaydi. Agar namunani plastiklik sohasidagi birorta  $K$  nuqtasida yuksizlantirsak, diagramma  $KK_1$  chiziq bo'yicha yuksizlanishda namuna materiali naklyopga uchraydi (3.8-chizma). Namunani siqqanda diagramma  $K_1A_2C_2$  uzlukli chiziq bo'yicha davom etadi va namunani dastlabki siqishda hosil bo'lgan  $O_1C_1$  chiziqqa taxminan parallel bo'lib, undan yuqoriroqda joylashadi. Demak, po'lat namunani cho'zilishda proporsionallik va oquvchanlik chegaralarini, siqilishdagi proporsionallik va oquvchanlik chegaralariga deyarli teng bo'lishini aytib o'tgan edik. Namunani cho'zib naklyop hosil qilingandan keyin, namuna siqilganda proporsionallik va oquvchanlik chegaralarining kamayishi 3.8-chizmada uzlukli chiziq bilan ko'rsatilgan. Bu hodisani Baushinger effekti deb ataladi.

*Cho'yanning siqilishi.* Siqilishda ko'pgina mo'rt materiallar (g'isht, beton, sement)ning yemirilishi cho'yanning yemirilishi kabi be'lib, ularning siqilish diagrammasi ham o'xshash bo'ladi. Cho'yanning siqilish diagrammasi ko'rinishidan uning cho'zilish diagrammasiga o'xshash bo'lib, har ikkala diagramma koordinata boshidan egrilanib boradi.

Siquvchi yuk orta borib eng katta kuch miqdoriga yaqinlashganda siqilish diagrammasi yanada yassilanadi, unda namuna sekinasta bochka shakliga o'ta boshlaydi. Siquvchi yuk ortib eng katta kuch miqdoriga etganda namunaning sirtida taxminan 45 burchak ostida darz ketadi. Cho'yan namunaning yemirilishi boshlanadi.

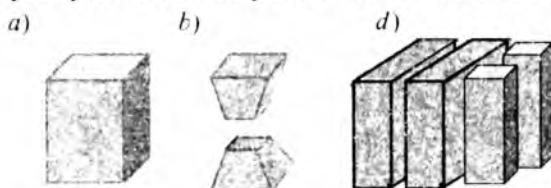
Bu vaqtida kuch keskin kamayadi va diagramma uziladi. Namunaning yemiriliishida uning yon qismlari ajralib ketadi va ikkita konus shaklini oladi (3.9-chizma).



3.9-chizma. Cho'yan namunaning siqilish jarayoni

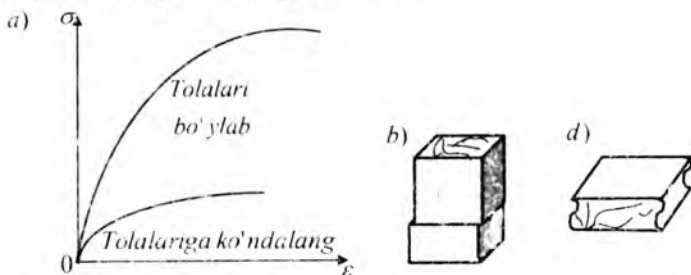
Kulrang cho'yanning siqilishda mustahkamlik chegarasi  $\sigma_m = 550 \div 1500 MPa$ , che'zilishda esa  $\sigma_m = 120 \div 380 MPa$  ga teng. Demak, bundan ko'rinaradiki, siqilishda mustahkamlik chegarasi cho'zilishdagiga nisbatan 4–5 marta katta bo'lar ekan.

Beton yoki sementdan yasalgan kubiklar bosib pachaqlansa, ikkita kesik piramida ko'rinishini oladi, namunaning yemirilishdan oldingi va keyingi ko'rinishlari 3.10-chizmada ko'rsatilgan. Agar siqilgan beton kubik tomonlari bilan mashina tekisligi orasiga parasin surkab ishqalanish yo'qotilsa, kubik ta'sir etuvchi kuchlarga parallel tekisliklar bo'ylab yemirilishini tajribalar ko'rsatadi (3.10-chizma).



3.10-chizma. Beton namunaning siqilish jarayoni

*Yog'och.* Yog'och anizotrop material bo'lib, siquvchi kuchga qarshilik ko'rsatishi qobiliyati tolalarining yo'naliishiga bog'liqidir. Sinash mashinasi yog'och namuna tolalari bo'ylab (yuqoridagi egri chiziq) va unga ko'ndalang kuch bilan siqilgan (pastdagi egri chiziq)da siqilish diagrammalari 3.11-chizmada chizib ko'rsatilgan. Bu diagrammalardan ko'rinaradiki, yog'och namuna tolalari bo'yicha siqilganda mustahkamlik chegarasi, tolalariga perpendikulyar kuch bilan siqilgandagi mustahkamlik chegarasidan taxminan 8–10 marta katta bo'lar ekan. Yog'ochni tolalariga perpendikulyar kuch bilan siqilganda yemirilmaydi, faqat presslanadi.



3.11-chizma. Yog'och namunaning siqilish diagrammalari

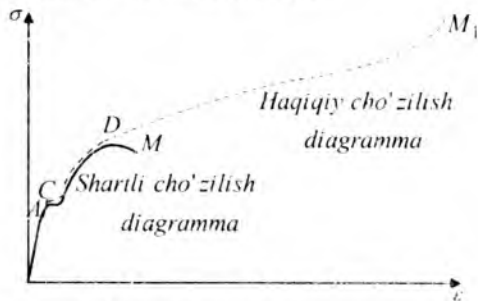
## Haqiqiy cho'zilish diagrammasi

Namunada bo'yin hosil bo'lguncha deformatsiya uzunligi bo'yicha bir xil bo'ladi. Uzuvchi universal mashinaning grafik chizuvchi qurilmasi yordamida olingan barcha diagrammalar shartli diagrammalar. Jumladan, 3.12-chizmada keltirilgan materialning cho'zilish diagrammasini qurishda shartli normal kuchlanishlar, cho'zuvchi kuchni namunanining va shartli nisbiy deformatsiyalar, shartli absolyut cho'zilishni tegishlicha namunanining dastlabki yuziga va hisobiy uzunligiga bo'lib (3.1) (3.10) olingan natijalarni koordinata o'qilariga qo'yib qurilgan edi.

Namuna cho'zilganda haqiqatan ham uning ko'ndalang kesim yuzi uzunligi bo'ylab o'zgaradi. Bu o'zgarish, ayniqsa, bo'yin hosil bo'lgan joyda jadallahadi. Haqiqiy kuchlanish – cho'zuvchi kuchning o'zgaruvchi ko'ndalang kesimning haqiqiy yuzaga nisbatiga teng bo'lib, u quyidagi formuladan aniqlanadi:

$$\sigma_h = \frac{F}{A_h} \quad (3.12)$$

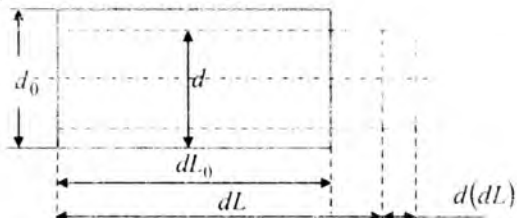
Namunaning bo'yin hosil qilib deformatsiyalanish jarayonida haqiqiy kuchlanish qiymati, uning uzunligi bo'ylab turli kattalikda bo'lishi (3.12) formuladan ko'rinishib turibdi.



3.12-chizma. Po'lat 3 materialining shartli cho'zilish diagrammasi

Bo'yin hosil qilib deformatsiyalanish jarayoni boshlangandan keyin, namunaning nisbiy deformatsiyasi, bo'yin atrofida to'planadi va uning hisobiy uzunligi bo'yicha tekis taqsimlanmaydi.

Deformatsiyagacha uzunligi  $dL_0$  bo'lgan namunaning birorta elementini qaraymiz (3.13-chizma).



3.13-chizma. Cho'zilishda haqiqiy deformatsiya hisobi

Namunaning ixtiyoriy yuklanish vaqtida uning uzunligi  $dL$  ga teng bo'ladi. Yukka kichik orttirma berilsa, element uzunligi  $d(dL)$  ga ortadi. Unda nisbiy deformatsiyaning orttirmasi quyidagiga teng bo'ladi:

$$d\varepsilon_h = \frac{d(dL)}{dL}, \quad (3.13)$$

Yuklanish davomida haqiqiy to'la deformatsiya quyidagi formuladan aniqlanadi:

$$\varepsilon_h = \int_{dL_0}^{dL} \frac{d(dL)}{dL} = \ln \frac{dL}{dL_0}. \quad (3.14)$$

Bu deformatsiya adabiyotlarda *logarifmik deformatsiya* deb ataladi.

Uzunlik orttirmasi nisbati noma'lum, shuning uchun uni ma'lum miqdor bilan ifodalash lozim

Plastik deformatsiyalanishi davom etishida jism hajmi o'zgarmaydi, namuna siqilganda balandligining kamayishi bilan ko'ndalang kesim yuzasi ortadi. Hajmning elastik o'zgarishini e'tiborga olmaymiz. Shuning uchun ham deformatsiyalanish jarayonida hajmini doimiy deb qaraymiz va u quyidagicha ifodalanadi:

$$dV = A_0 \cdot dL_0 = A \cdot dL, \quad (3.15)$$

bundan

$$\frac{dL}{dL_0} = \frac{A_0}{A} \quad (3.16)$$

Bu ifodani logarifmik deformatsiya formulasiga qo'yib quyidagini hosil qilamiz:

$$\varepsilon_h = \ln\left(\frac{dL}{dL_0}\right) = \ln\left(\frac{A_0}{A}\right). \quad (3.17)$$

Uzilish vaqtidagi haqiqiy deformatsiyani topish uchun uzilishdagi kesim yuzasini bilish lozim yoki ma'lumotnomadan olingan axborotlardan foydalanishda uzilish vaqtiga to'g'ri keluvchi nisbiy qoldiq ingichkalanishni olish mumkin:

$$\psi = \frac{A_0 - A}{A_0} = 1 - \frac{A}{A_0}; \quad \frac{A_0}{A} = \frac{1}{1 - \psi}. \quad (3.18)$$

Unda to'la deformatsiya quyidagi formula bilan ifodalanadi:

$$\varepsilon_h = \ln\left(\frac{dL}{dL_0}\right) = \ln\left(\frac{A_0}{A}\right) = \ln\left(\frac{1}{1 - \psi}\right). \quad (3.19)$$

Plastik po'lat uchun  $\psi = 0,6 \div 0,7$  va  $\varepsilon \approx 1$ , ya'ni bo'yinda deformatsiya 100% erishadi.

Haqiqiy kuchlanish bilan haqiqiy deformatsiyani bir-biri bilan bog'laymiz:

$$\sigma_h = \frac{F}{A} = \frac{F}{A} \frac{A_0}{A_0} = \sigma \frac{A_0}{A} = \sigma \cdot e^{\varepsilon_h}. \quad (3.20)$$

Bo'yin hosil bo'lguncha – deformatsiya namunaning butun uzunligi bo'yicha tekis ro'y beradi, unda namuna hajmining o'zgarmaslik shartidan:

$$\boxed{A_0 \cdot L_0 = A \cdot L; \quad \frac{A_0}{A} = \frac{L}{L_0} = \frac{L_0 + \Delta L}{L_0} = 1 + \varepsilon.}$$

Bundan

$$\boxed{\varepsilon_h = \ln\left(\frac{A_0}{A}\right) = \ln(1 + \varepsilon) \approx \varepsilon.}$$

Unda

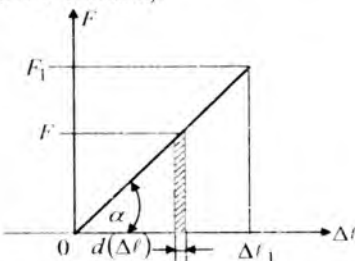
$$\boxed{\sigma_h = \sigma e^{\ln(1 + \varepsilon_h)} = \sigma(1 + \varepsilon_h).} \quad (3.21)$$

Shartli va haqiqiy cho'zilish diagrammalari 3.12-chizmada keltirilgan.

Haqiqiy kuchlanish diagramma shartli kuchlanish diagrammaga qaraganda 5–7 marta uzun va 2–3 marta baland bo'ladi.

### 3.3-§. Cho'zilish va siqilishda potensial energiya

O'qi bo'yicha erkin uchiga to'plangan sirtqi  $F$  kuch qo'yilgan o'zgarmas kesimli sterjenni qarab chiqamiz. Kuch  $F$  ning miqdori asta-sekin noldan biror qiymat  $F_1$  gacha orttirib borilganda, bu kuchning sterjen kesimi ko'chishidan hosil bo'lgan ishini aniqlaymiz. Buning uchun sterjenning elastiklik chegarasida cho'zilish diagrammasini ko'rib chiqamiz (3.14-chizma).



3.14-chizma. Cho'zilish diagrammasi

Elastik sohada  $F_1$  kuchning absolyut bo'ylama deformatsiyaga to'g'ri proporsionalligini e'tiborga olib,  $F_1$  ni quyidagicha ifodalash mumkin:

$$F_1 = k\Delta\ell_1. \quad (3.22)$$

Bu yerda  $k$  sterjen o'lchamlariga va material xususiyatlariga bog'liq bo'lgan koefitsiyent.

Kuchning bajargan elementar ishi 3.14-chizmada shtrixlangan yuzaning yuziga teng yoki kuch o'rtacha qiymatini bo'ylama deformatsiya ortirmasi ko'paytmasiga teng, ya'ni

$$dA = F_1 d(\Delta\ell) \quad (3.23)$$

Sterjenni  $\Delta\ell_1$  uzunlikka cho'zish uchun sarf bo'ladigan to'la ish quyidagiga teng bo'ladi, (1) ifodani e'tiborga olsak:

$$A = \int_0^{\Delta\ell_1} F_1 d(\Delta\ell) = k \int_0^{\Delta\ell_1} F_1 \Delta\ell d(\Delta\ell) = k \frac{\Delta\ell_1^2}{2}. \quad (3.24)$$

1. Ifodani e'tiborga olib ish formulasini quyidagicha ifodalash mumkin:

$$A = \frac{1}{2} F_1 \Delta\ell_1 \quad (3.25)$$

3.14-chizmada ko'rinib turibdiki, hosil qilingan (3.25) ifoda 3.14-chizmada keltirilgan  $F - \Delta l$  chiziqli diagrammaning yuziga teng ekanligi.

Keltirib chiqarilgan formula, deformatsiyalanish diagrammasi chiziqli bo'lган oralig'ida  $F$  va  $\Delta l$  larning ixtiyoriy qiymatlarida to'g'ri bo'ladi.

Unda ish formulasini umumiy holda quyidagicha yozish mumkin:

$$A = \frac{1}{2} F \Delta l \quad (3.26)$$

Sterjenga qo'yilgan kuch bajargan ishining bir qismi deformatsiyaning potensial energiya sifatida to'planadi, qolgan qismi esa sterjen zarrachalariga tezlik berib kinetik energiyaga aylanadi.

Statik kuch ta'sirida zarrachalarning ko'chish tezligi juda ham kichik kinetik energiyani e'tiborga olmaslik ham mumkin bo'ladi. Bundan tashqari materialning elastiklik chegarasida ishni aniqlashda, issiqlik ajralib chiqishida va ichki kuchlarning ishqalanishlarni yengishga sarflangan energiyani e'tiborga olmasa ham bo'ladi.

Unda potensial energiyani bajargan ishiga teng deb qabul qilish mumkin:

$$A = U = \frac{1}{2} F \Delta l \quad (3.27)$$

Hosil bo'lган ko'chishi elastik bo'lsa, sterjen kuchdan ozod qilingandan keyin, u o'zining o'lchamlari va avvalgi shakliga to'liq qaytadi. Bunda uning ko'chish uchun sarf bo'lган ish esa mexanik energiya sifatida sterjenni avvalgi holatiga qaytarish uchun sarf bo'ladi. Bu jarayonning deformatsiyalanuvchi elastik jism elektr manbai bo'lган akkumulyatorga aylanadi. Potensial energiyaning bu xususiyatidan keng foydalaniлади. Masa!an, kamon o'qlari va soatlarning dam solish prujinalarida va boshqalarda

Bu (3.27) formuladagi absolyut bo'ylama deformatsiyani Guk qonuni bo'yicha ifodalab va tashqi kuch  $F$  o'mniga ichki  $N$  kuchni qo'yib, uni quyidagi ko'rinishga keltirish mumkin:

$$U = \frac{N^2 l}{2EA} \quad (3.28)$$

Bu ifoda doimo musbat miqdor bo'lar ekan, chunki potensial energiya ichki kuchning kvadratiga to'g'ri proporsionaldir.

Cho'zilish va siqilishda sterjenning uzunligi bo'yicha bikirligi va bo'ylama kuch o'zgaruvchi bo'lgan holat uchun yuqorida hosil qilingan formulani umumlashtirish mumkin, ya'ni

$$U = \frac{1}{2} \int_0^L \frac{N_z^2 dz}{2E A_z} \quad (3.29)$$

Ko'pincha masalalarni yechishda potensial energiyaning brus boshlang'ich hajmiga nisbati bo'lgan *solishtirma potensial energiya* bilan ishlash maqsadga muvofiq bo'ladi.

$$u = \frac{U}{V} = \frac{\frac{1}{2} F \Delta \ell}{A_0 \ell_0} = \frac{1}{2} \sigma \epsilon \quad (3.30)$$

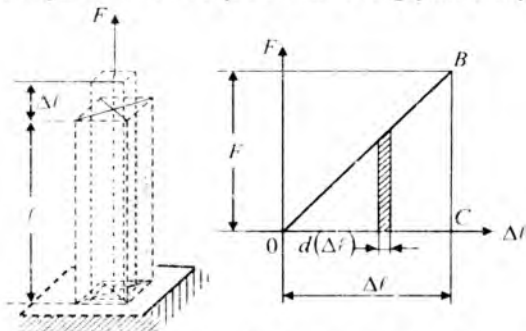
R.Guk qonuniga asosan  $\epsilon = \sigma/E$ , bo'lganligi sababli solishtirma potensial energiyani quyidagi ko'rinishga keltirish mumkin:

$$u = \frac{\sigma^2}{2E} \quad (3.31)$$

Solishtirma potensial energiyaning o'Ichov biriligi  $\frac{MN \cdot m}{m^3}$ .

### Masalalar

*3.1-masala.* Uzunligi  $\ell = 120\text{ sm}$ , ko'ndalang kesim yuzasi  $A = 2500\text{ mm}^2$  bo'lgan po'lat sterjen pastki uchi bilan mahkamlangan yuqorigi erkin uchiga qo'yilgan  $F = 50\text{ kN}$  kuchning bajargan ishi va elastik deformatsiya solishtirma potensial energiyasi aniqlansin.



3.15-chizma. Erkin uchiga ta'sir etuvchi kuchdan cho'zilgan brus

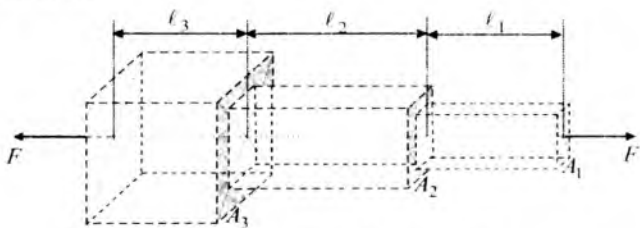
*Yechish.* Cho'zuvchi statik  $F = 50 \text{ kN}$  kuchning bajargan ishi deformatsiyaning potensial energiyasiga teng bo'lishi ma'lum (3.28) formuladan:

$$A = U = \frac{N^2 \ell}{2EA} = \frac{(50 \cdot 10^3)^2 \cdot 1,2 \cdot 10^4}{2 \cdot 2 \cdot 10^5 \cdot 2500} = 3 \cdot 10^3 \text{ N} \cdot \text{mm} = 3 \hat{\text{c}}j.$$

Solishtirma potensial energiyani (3.30) formuladan aniqlaymiz:

$$u = \frac{U}{V} = \frac{U}{A \cdot \ell} = \frac{3}{25 \cdot 10^{-4} \cdot 1,2} = 1 \cdot 10^3 \hat{\text{c}}j / \text{m}^3.$$

**3.2-masala.** Uzunliklari  $\ell_1 = 0,3 \text{ m}$ ;  $\ell_2 = 0,4 \text{ m}$ ;  $\ell_3 = 0,3 \text{ m}$ , ko'n-dalang kesim yuzalari  $A_1 = 81 \text{ mm}^2$ ;  $A_3 = 320 \text{ mm}^2$ ;  $A_2 = 690 \text{ mm}^2$  ga teng, materiali po'lat 3 bo'lgan pog'onali sterjenni  $F$  kuch ta'sirida cho'zilganda hosil bo'lgan potensial energiya aniqlansin (3.17-chizma). Po'lat 3 materialining mexanik tavsiflari  $[\sigma] = 160 \text{ N/mm}^2$ ;  $E = 2 \cdot 10^5 \text{ N/mm}^2$ .



3.17-chizma. Pog'onali prizmatik sterjen

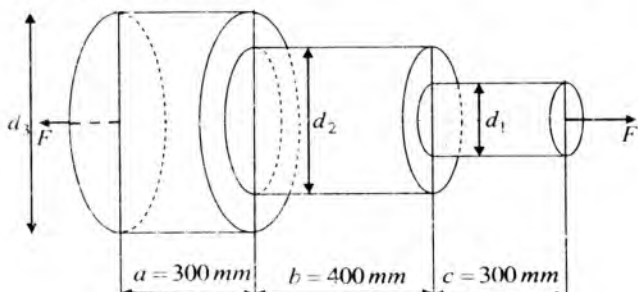
*Yechish.* Sterjenning materiali va o'lchamlari ma'lum bo'lganligi sababli ko'tarishi mumkin bo'lgan yukni, uning mustahkamlik shartidan foydalanib aniqlaymiz:

$$F = [\sigma] \cdot A_{\min} = 160 \cdot 80 = 12,80 \text{ kN}$$

Pog'onali po'lat sterjenning kuchidan cho'zilishda hosil bo'lgan potensial energiyani quyidagi formuladan aniqlaymiz:

$$\begin{aligned} U &= \frac{F^2 \ell_1}{2EA_1} + \frac{F^2 \ell_2}{2EA_2} + \frac{F^2 \ell_3}{2EA_3} = \frac{(12,80 \cdot 10^3)^2 \cdot 300}{2 \cdot 2 \cdot 10^5 \cdot 81} + \frac{(12,80 \cdot 10^3)^2 \cdot 400}{2 \cdot 2 \cdot 10^5 \cdot 320} + \\ &+ \frac{(12,80 \cdot 10^3)^2 \cdot 300}{2 \cdot 2 \cdot 10^5 \cdot 690} = (12,80)^2 \left( \frac{1000}{108} + \frac{100}{32} + \frac{100}{92} \right) = \\ &= 163,84(9,25926 + 3,125 + 1,08696) = 2207 \text{ N} \cdot \text{mm} = 2,207 \hat{\text{c}}j. \end{aligned}$$

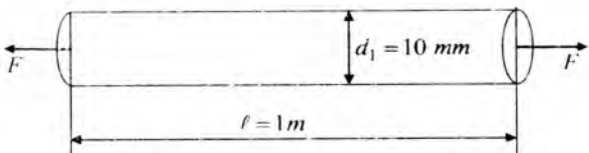
**3.3-masala.** Materiali po'lat 3 bo'lgan 3.18-chizmada keltirilgan pog'onali sterjenni  $F$  kuch cho'zilganda hosil bo'lgan potensial energiya aniqlansin. Po'lat 3 materialining mexanik tavsiflari  $[\sigma] = 160 \text{ N/mm}^2$ ;  $E = 2 \cdot 10^5 \text{ N/mm}^2$ .



3.18-chizma. Pog'onali silindrik sterjen.

Javobi: 2,177  $\text{J}$ .

**6.4-masala** Materiali po'lat 3 bo'lgan 3.19-chizmada keltirilgan sterjenni  $F$  kuch cho'zilganda hosil bo'lgan potensial energiya aniqlansin. Po'lat 3 materialining mexanik tavsiflari  $[\sigma] = 160 \text{ N/mm}^2$ ,  $E = 2 \cdot 10^5 \text{ N/mm}^2$



3.19-chizma. Silindrik sterjen

### Tayanch iboralar:

Sinash tajribasini o'tkazish, namuna, maxsus qurilma, quvvati, mexanik yoki gidravlik, gidravlik presslar, richagli mashina, mayatnik statina, rezervuar, silindr, porshen, gidravlik sinov mashinasi, namuna, asosiy mexanik xossalari elastiklik, mustahkamlik, plastiklik, energetik, absolyut deformatsiya, avtomatik yozuv, cho'zilish yoki si-qilish diagrammalari, silindrik va tekis shakldagi maxsus, namunalar uzun yoki qisqa, pastki va yuqori qisqichlar, kam uglerodli St 3. proporsionallik chegarasi, elastiklik chegarasi, oquvchanlik chegarasi,

oquvchanlik maydonchasi, Lyuders-Chernov chiziqlari, mustahkamlik chegarasi, "bo'yin", "mahalliy" oquvchanlik, nisbiy qoldiq uzayish, nisbiy qoldiq ingichkalanishi, Mo'rt materiallarni siqilishga sinash.

### Test savollari:

#### 1. Materialarning to'rtta xossalarni ko'rsating.

- mekanik, fizik, ximik, texnologik;
- cho'zilish, egilish, siljish, buralish;
- hajmning o'zgarishi, yemirilish, zanglash, o'z og'irligini yo'qotish;
- biologik, bioximik, fizik, yemirilish va ishqalanish.

#### 2. Materialarning elastiklik tavsiflari qaysi javobda to'g'ri ko'rsatilgan?

- elastiklik moduli va ko'ndalang deformatsiya koeffitsiyenti;
- elastiklik va oquvchanlik chegarasi;
- proporsionallik va mustahkamlik chegarasi;
- normal va urinma kuchlar.

#### 3. Materialarning plastiklik tavsiflari qaysi javobda to'g'ri ko'rsatilgan?

- to'la qoldiq nisbiy cho'zilish  $\delta$ , ko'ndalang kesimning nisbiy qisqarishi  $\psi$ ;
- to'la qoldiq nisbiy deformatsiya  $\delta$ , mustahkamlik chegarasi  $\sigma_m$ ;
- proporsionallik chegarasi  $\sigma_{pc}$  ko'ndalang kesimning nisbiy qisqarishi  $\psi$ ;
- elastiklik chegarasi  $\sigma_{el}$  siquvchanlik chegarasi  $\sigma_{eq}$ .

#### 4. Materialarning mustahkamlik tavsiflari qaysi javobda to'g'ri ko'rsatilgan?

- proporsionallik, elastiklik, oquvchanlik va mustahkamlik chegaralari;
- proporsionallik, og'ma, cho'zuvchi va mustahkamlik chegaralari;
- plastiklik, elastiklik, oquvchanlik va mustahkamlik chegaralari;
- proporsionallik, elastiklik, plastik va mustahkamlik chegaralari.

## **5. Materiallarning proporsionallik chegarasi deb qanday kuchlanishga aytildi?**

- Guk qonuni ishlaydigan eng katta kuchlanish;
- yuksizlantirilganda qoldiq deformatsiya qoldirmaydigan eng katta kuchlanishga;
- yuk ortmagan holda deformatsiya orta boradigan kuchlanishga;
- eng katta yukning namunaning dastlabki kesim yuzasiga nisbatiga.

## **6. Materiallarning elastiklik chegarasi deb qanday kuchlanishga aytildi?**

- yuksizlantirilganda qoldiq deformatsiya qoldirmaydigan eng katta kuchlanishga;
- Guk qonuni ishlaydigan eng katta kuchlanish;
- yuk ortmagan holda deformatsiya orta boradigan kuchlanishga;
- eng katta yukning namunaning dastlabki kesim yuzasiga nisbatiga.

## **7. Materiallarning oquvchanlik chegarasi – bu:**

- yuk ortmagan hoida deformatsiya orta boradigan kuchlanishdir;
- Guk qonuni ishlaydigan eng katta kuchlanishdir;
- yuksizlantirilganda qoldiq deformatsiya qoldirmaydigan eng katta kuchlanishdir;
- eng katta yukning namunaning dastlabki kesim yuzasiga nisbatidir.

## **8. Materiallarning mustahkamligi deb qanday kuchlanishga aytildi?**

- eng katta yukning namunaning dastlabki kesim yuzasiga nisbatiga;
- Guk qonuni ishlaydigan eng katta kuchlanish;
- yuksizlantirilganda qoldiq deformatsiya qoldirmaydigan eng katta kuchlanishga;
- yuk ortmagan holda deformatsiya orta boradigan kuchlanishga.

**9. Mustahkamlik chegarasiga yetguncha namunaning bo'y-lama va ko'ndalang deformatsiyalari uning hisobiy uzunligi bo'yicha qanday taqsimlanadi?**

- tekis;
- ixtiyoriy;
- parabola qonuni asosida;
- giperbola qonuni asosida.

**10. Namunada bo'yin qaysi chegaradan boshlab hosil bo'ladi?**

- mustahkamlik;
- proporsionallik;
- oquvchanlik;
- elastiklik.

**11. Namunani oquvchanlik chegarasidan keyin yuksizlantirilib, yana yuklansa, materialning xossasi...**

- mo'rt bo'ladi;
- plastik bo'ladi;
- elastik bo'ladi;
- o'zgarmaydi.

**12. Namunani oquvchanlik chegarasidan keyin yuksizlantirilib, yana yuklansa, materialning xossalari o'zgaradimi?**

- proporsionallik chegaralari ortadi va oquvchanlik chegarasi bo'lmaydi;
- proporsionallik va oquvchanlik chegaralari kamayadi;
- proporsionallik va oquvchanlik chegaralari normallashadi;
- proporsionallik va oquvchanlik chegaralari bo'lmaydi.

**13. Mo'rt materialdan yasalgan namuna cho'zilishga sinalganda qanday chegaralar hosil bo'lmaydi?**

- oquvchanlik;
- elastiklik;
- mustahkamlik;
- proporsionallik.

**14. Yoghoch namuna tolalari bo'yicha siqilganda mustahkamlik chegarasi, tolalariga perpendikulyar kuch bilan siqilgandagi mustahkamlik chegarasidan necha marta katta bo'ladi?**

- 8–10; – 3–5; – 15–20; – 5–15.

**15. Namunalar cho'zilishga sinalganda qanday qarshilik ko'rsatadi?**

- plastik materiallar yaxshi, mo'rt materiallar yomon qarshilik ko'rsatadi;
- har ikkalasi bir xil qarshilik ko'rsatadi;
- plastik materiallar yomon, mo'rt materiallar yaxshi qarshilik ko'rsatadi;
- plastik va mo'rt materiallar yomon qarshilik ko'rsatadi.

**16. Lyuders-Chernov chiziqlari qaysi chegarada paydo bo'la boshlaydi?**

- oquvchanlik;
- mustahkamlik;
- proporsionallik;
- elastik.

**17. Namuna cho'zilganda oquvchanlik chegarasidan keyin deformatsiya orta borishi bilan yuk yana ortishida nima ro'y beradi?**

- mustahkamlanish;
- yumshash;
- kamayish;
- to'g'ri chiziq bo'yicha o'sish.

**18. Mustahkamlik chegarasidan oshgandan keyin nima sabbdan diagramma ordinatalari ham, yuk ham kamayib boradi?**

- namuna bo'yin ko'ndalang kesim yuzasining kamayishi hisobiga;
- namuna bo'yin ko'ndalang kesim yuzasining ortishi hisobiga;
- namuna bo'yin ko'ndalang kesim yuzasining ko'payishi hisobiga;

– namuna bo'yin ko'ndalang kesim yuzasining o'zgarishi hisobiga.

**19. Nima sababdan cho'zilgan namunalar  $45^0$  burchak ostida uziladi?**

– sterjen o'qiga  $45^0$  dagi yuzalarda urinma kuchlanish eng katta bo'lishi hisobiga;

– sterjen o'qiga  $90^0$  dagi yuzalarda urinma kuchlanish eng kichik bo'lishi hisobiga;

– sterjen o'qiga  $45^0$  dagi yuzalarda urinma kuchlanish o'rtacha bo'lishi hisobiga;

– sterjen o'qiga  $30^0$  dagi yuzalarda urinma kuchlanish eng katta bo'lishi hisobiga.

**20. Plastik materialdan yasalgan silindrik namuna siqilganda materialning mustahkamlik chegarasi qanday o'zgaradi?**

– o'zgarmaydi;

– ortadi;

– kamayadi;

– o'zgaradi.

**21. Po'latdan yasalgan silindrik namuna siqilganda materialning mustahkamlik chegarasini aniqlash mumkinmi?**

– aniqlab bo'lmaydi;

– aniqlab bo'ladi;

– cho'zilishda aniqlab bo'ladi;

– u ma'lum bo'lgani uchun aniqlash shart emas.

**22. Kulrang cho'yandan yasalgan namunaning cho'zilish-dagi mustahkamlik chegarasi siqilishdagi mustahkamlik chegarasiga nisbatan qanday bo'ladi?**

– siqilishdagi mustahkamlik chegarasi, cho'zilishdagi mustahkamlik chegarasiga nisbatan katta;

– siqilishdagi mustahkamlik chegarasi, cho'zilishdagi mustahkamlik chegarasiga nisbatan kichik;

– siqilishdagi mustahkamlik chegarasi, cho'zilishdagi mustahkamlik chegarasiga teng.

**23. Kulrang cho'yandan yasalgan namunaning cho'zilishdagi mustahkamlik chegarasi bilan siqilishdagi mustahkamlik chegarasi orasida qanday farq bor?**

- siqilishdagi mustahkamlik chegarasi, cho'zilishdagi mustahkamlik chegarasidan 4-5 marta katta;
- siqilishdagi mustahkamlik chegarasi, cho'zilishdagi mustahkamlik chegarasidan 4-5 marta kichik;
- siqilishdagi mustahkamlik chegarasi, cho'zilishdagi mustahkamlik chegaralari teng;
- siqilishdagi mustahkamlik chegarasi, cho'zilishdagi mustahkamlik chegaralar orasida farq o'rtacha.

**24. Namunani cho'zib elastiklik chegarasida yuksizlan-tirilsa, yuksizlanish qanday ro'y beradi?**

- Guk qonuni ishlaydigan OA to'g'ri chizig'i bo'ylab;
- Guk qonuni ishlaydigan OA to'g'ri chizig'iga parallel bo'lib;
- Guk qonuni ishlaymaydigan to'g'ri chizig'i bo'ylab;
- Guk qonuni ishlaymaydigan vertikal to'g'ri chizig'i bo'ylab

**25. Namunani cho'zib eouvchanlik chegarasida yuksizlan-tirilsa, yuksizlanish qanday ro'y beradi?**

- Guk qonuni ishlaydigan OA to'g'ri chizig'iga parallel bo'lgan to'g'ri chiziq bo'ylab;
- Guk qonuni ishlaymaydigan to'g'ri chizig'i bo'ylab;
- Guk qonuni ishlaydigan OA to'g'ri chizig'i bo'ylab;
- Guk qonuni ishlaymaydigan vertikal to'g'ri chizig'i bo'ylab.

**26. Namunaning cho'zilish diagrammasining qaysi nuqtasidan keyin Guk qonuniga bo'ysinmaydi?**

- proporsionallik nuqtasi A dan keyin;
- elastiklik nuqtasi B dan keyin;
- eouvchanlik nuqtasi S dan keyin;
- mustahkamlik nuqtasi M dan keyin.

**27. Cho'zilishga va siqilishga sinovchi mashinaning asbobi diagrammani qaysi koordinatada chizib beradi?**

$P$  va  $\Delta t$ ;

$\sigma$  va  $\varepsilon$ ;

$E$  va  $\mu$ ;

$\tau$  va  $\gamma$

## **28. Po'lat namunaning plastiklik xossalarini belgilaydigan tavsiflari quyidagilardan qaysi biri?**

- namuna uzilgandan so'ng, unda hesil bo'lgan nisbiy qoldiq uzayish, namunaning uzilgandan so'ng, unda hosil bo'lgan ko'ndalang kesimining nisbiy qoldiq torayishi;
- namuna uzilgandan so'ng, unda hosil bo'lgan nisbiy qoldiq kamayish, namunaning uzilgandan so'ng, unda hosil bo'lgan ko'ndalang kesimining nisbiy qoldiq kengayishi;
- namuna uzilgandan so'ng, unda hosil bo'lgan nisbiy qoldiq ortishi, namunaning uzilgandan so'ng, unda hosil bo'lgan ko'ndalang kesimining nisbiy qoldiq ortishi;
- namuna uzilgandan so'ng, unda hosil bo'lgan nisbiy qoldiq uzayish, namunaning uzilgandan so'ng, unda hosil bo'lgan ko'ndalang kesimining nisbiy qoldiq uzayishi.

## **29. Cho'zilishga sinalayotgan namunalar qanday shakllarda tayyorlanadi?**

- silindrik va yassi shaklda;
- prizma va yarim doira shaklida;
- piramida va konus shaklida;
- ixtiyoriy shaklda.

## **30. Materiallarni siqilishga sinashning o'ziga xos qanday xususiyatlari bor?**

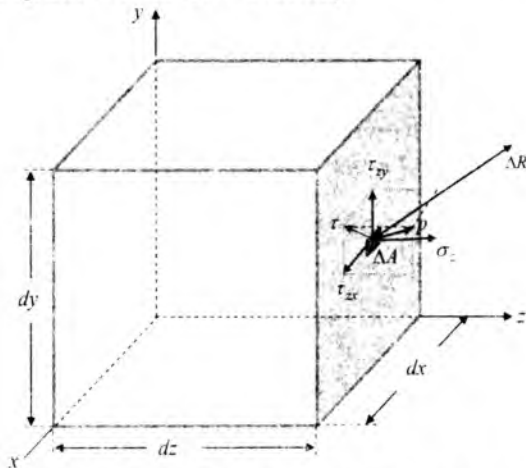
- namunalar silindr yoki kub shaklida yasaladi; ularning balandliklari  $h \leq 3d$  dan ortib ketmasligi lozim;
- namunalar silindr yoki kub shaklida yasaladi; ularning balandliklari  $3h \leq 5d$  bo'lishi lozim;
- namunalar silindr yoki kub shaklida yasaladi; ularning balandliklari  $h \geq 3d$  dan ortib ketmasligi lozim;
- namunalar silindr yoki kub shaklida yasaladi; ularning balandliklari ko'p ortib ketmasligi lozim.

## MURAKKAB KUCHLANISH HOLATI

## 4.1-§. Kuchlanishlarni belgilash va ularning ishoralari

Elastik jismda unga ta'sir etayotgan tashqi kuchlarga qarshilik ko'rsatuvchi ichki zo'riqishlar hosil bo'ladi va u tashqi kuchlar ta'sirida deformatsiyalanadi.

Ichki zo'riqish kuchlari intensivligining yuza birligidagi miqdoriga kuchlanish deb ataladi. Tashqi kuch ta'sirida bo'lgan jismning biror  $M(x, y, z)$  nuqtasining kuchlanganlik holatini tekshirish uchun, shu nuqta atrofida tomonlari  $dx, dy, dz$  bo'lgan juda kichik elementar parallelepipedni ajratib olamiz (4.1-chizma).



4.1-chizma. Tashqi kuch ta'sirida bo'lgan jismdan ajratib olin-gan kichik elementar parallelepiped

Qaralayotgan parallelepipedning biror tomonidan ajratib olin-gan  $\Delta A$  elementar yuzaga ta'sir qilayotgan ichki kuchni  $\Delta R$  bilan belgilasak, unda to'la kuchlanish quyidagi formuladan topiladi:

$$p = \lim_{\Delta A \rightarrow 0} \frac{\Delta R}{\Delta A} \quad (4.1)$$

Ushbu to'la kuchlanishni qaraloyotgan kesimga σ normal va τ urinma bo'lган kuchlanishlarga, o'z navbatida esa, urinma kuchlanishni ham o'qlar bo'yicha  $\tau_{xz}$ ,  $\tau_{yz}$  tashkil etuvchilarga ajratish mumkin.

Xuddi shuningdek, parallelepipedning boshqa tomonlaridagi to'la kuchlanishlarni ham normal  $\sigma_x$ ,  $\sigma_y$ ,  $\sigma_z$  va urinma  $\tau_{xy}$ ,  $\tau_{yz}$ ,  $\tau_{zx}$ ,  $\tau_{yx}$ ,  $\tau_{zy}$ ,  $\tau_{xz}$  kuchlanishlarga ajratish mumkin. Urinma kuchlanishlar ikki indeks bilan belgilanadi, masalan,  $\tau_{zx}$  urinma kuchlanishning birinchi indeksi kuchlanish qaysi yuzada yotishini, ikkinchi indeksi esa kuchlanish qaysi o'qqa parallel yo'nalganligini ko'rsatadi.

Normal kuchlanish musbat deb hisoblanadi, agar u cho'zuvchi bo'lsa.

Agar yuza tashqi normali, koordinata o'qining musbat yo'nalihi bo'yicha yo'nalgan bo'lsa, musbat urinma kuchlanishlar qolgan ikki koordinata o'qlarining musbat yo'nalihi bo'yicha yo'naladi.

Agar yuza tashqi normali koordinata o'qining manfiy yo'nalihi bo'yicha yo'nalgan bo'lsa, musbat urinma kuchlanishlar ikki koordinata o'qlarining manfiy yo'nalihi bo'yicha yo'naladi.

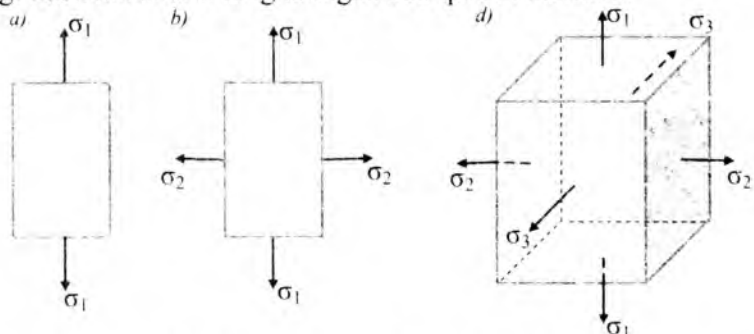
#### 4.2-§. Jism nuqtasi kuchlanganlik holati

Konstruksiya elementlarining mustahkamligini ta'minlashda faqat ko'ndalang kesim yuzalaridagi kuchlanishlarni o'rganish yetarli emas, balki konstruksiya elementlarini birorta nuqtasidan o'tuvchi turli tekisliklardagi eng katta kuchlanishlarni va ular hosil bo'lgan yuzalar holatini bilish maqsadga muvofiq bo'ladi. Bu masalani hal qilish uchun konstruksiya elementlarining biror nuqtasidan o'tuvchi qiya yuzaning qiyalik burchagi miqdorining o'zgarishi bilan kuchlanish miqdorining o'zgarish qonunini tadqiq qilamiz.

*Biror nuqtaning kuchlanganlik holati*, deb shu nuqtadan o'tuvchi barcha yuzalarda hosil bo'ladi kuchlanishlar to'plamiga aytiladi.

Tashqi kuchlar ta'sirida bo'lgan konstruksiya elementi ixtiyoriy nuqtasi atrofida fikran birorta elementar parallelepiped ajratib olamiz (4.2-chizma). Ajratib olingan elementar parallelepiped juda ham kichik bo'lganligi sababli barcha nuqtalarida hosil bo'lgan kuchla-

nishlar qaralayotgan "M" nuqtadagi kuchlanishlarga teng deb hisoblasak bo'ladi. Demak, parallelepiped tomonlari va ixtiyoriy kesimi-dagi kuchlanishlarni teng taralgan deb qarash mumkin.



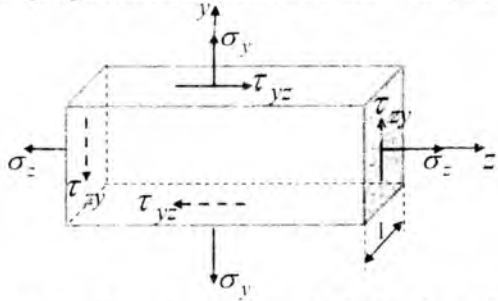
#### 4.2-chizma. Kuchlanganlik holati turlari

4.2,a-chizmadagi kuchlanganlik holati konstruksiya elementlarining chiziqli cho'zilish (siqilish) holatini tasvirlab, u sterjenlarning oddiy cho'zilishi yoki siqilishiga mos keladi. 4.2,b-chizmadagi kuchlanganlik holati konstruksiya elementlarining tekis kuchlanish  $\sigma_1 > \sigma_2$  holatini tasvirlaydi.

4.2,d-chizmadagi kuchlanganlik holati konstruksiya elementlarining hajmiy kuchlanish  $\sigma_1 > \sigma_2 > \sigma_3$  holatini tasvirlaydi.

Tekis kuchlanganlik holati amaliyotda juda ham ko'p uchraydi, bunga misol qilib plastinkalarini keltirish mumkin.

Tekis kuchlanganlik hoiatidagi konstruksiya elementidan birorta elementar parallelepiped ajratib olamiz va umumiyl holda uning tashqi tomoniga ta'sir qilayotgan kuchlanishlarni ko'rsatamiz (4.3-chizma).



#### 4.3-chizma. Tekis kuchlanganlik holatidagi element

Cho'zuvchi normal kuchlanishni musbat, siquvchi kuchlanishni manfiy ishorali deb qabul qilamiz. Agar qaralayotgan yuzachaning tashqi normali va shu yuzachadagi urinma kuchlanish yo'nalishi o'zlariga mos keluvchi koordinata o'qlari ye'nalishi bilan ustma-ust tushsa, urinma kuchlanishlar ishorasini musbat deb qabul qilamiz.

#### **4.3-§. Markaziy cho'zilish yoki siqilishda sterjen o'qiga qiya kesimlaridagi kuchlanishlar va uning tahlili**

Tashqi kuchlar ta'sirida cho'zilgan yoki siqilgan sterjenlarning kuchlanganlik holati to'g'risida to'liq tasavvurga ega bo'lish uchun uning faqat ko'ndalang kesimidagi kuchlanishlarni emas, baiki sterjenning turli qiya (og'ma) kesimlarida hosil bo'ladigan kuchlanishlarni ham tahlil qilish zarur bo'ladi.

Kesish usulidan foydalanib markaziy cho'zilgan (siqilgan) muvozanat holatdagi stejen ko'ndalang kesimidan o'tuvchi birorta  $s$  tekisligi bilan  $\alpha$  tashkil qilib o'tuvchi  $s_\alpha$  qiya tekislik bilan kesib ikki (o'ng I va chap II) qismlarga bo'lamiz (4.4,a-chizma). Sterjenning  $s$  ko'ndalang tekislikda yotuvchi  $ABCD$  kesim yuzasini  $A$ ,  $s_\alpha$  qiya tekislikda o'zgaruvchi qiya  $KBCE$  kesim yuzasini  $A_\alpha$  bilan belgilaymiz. Chap (II) qismini olib qolamiz (4.4,b-chizma). Olib qolning o'ng (II) qism muvozanatini yo'qotadi, qaralayotgan qism muvozanatini tiklash uchun uning ko'ndalang kesimiga tashlab yuborilgan qismning ta'sirini qo'yish lozim. Ma'lumki, fazoda tekislik holatini uning tashqi normali belgilaydi. Qaralayotgan qiya  $KBCE$  kesimning tashqi "On" normali sterjen o'qi bilan  $\alpha$  burchak tashkil qiladi. Agar  $\alpha$  burchak sterjen o'qiga nisbatan soat millari yurishiga teskari yo'nalgan bo'lsa, bunday yo'nalish musbat deb qabul qilinadi. Unda qiya kesim yuzasini ko'ndalang kesim yuzasi orqali quyidagicha ifodalash mumkin:

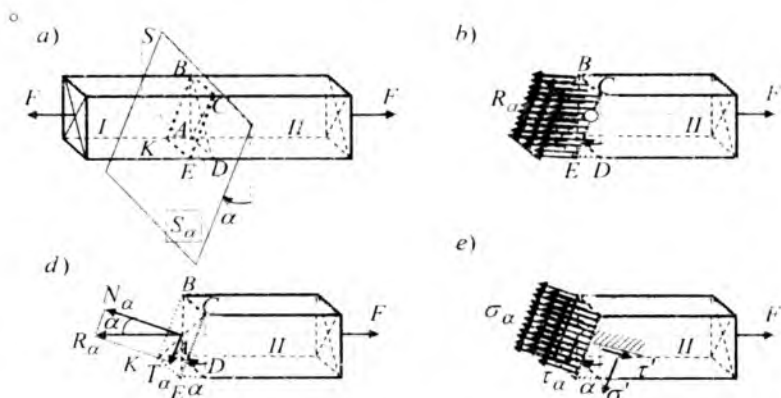
$$A_\alpha = \frac{A}{\cos \alpha}. \quad (4.2)$$

Sterjenning tashlab yuborilgan o'ng I qismining qoldirilgan chap II qismi qiya kesimdagagi ta'sirini, ya'ni ichki kuchlarning teng ta'sir etuvchisi  $R_\alpha = F$  bilan belgilaymiz (4.4,d-chizma), qoldirilgan

qism muvozanatda bo'lishi uchun bu kuch F kuchga parallel yo'nalgan bo'lishi kerak [27, 27 pj].

Bu kuchni qiya kesimga normal va urinma bo'lgan ikkita tashkil etuvchilarga ajratish mumkin (4.4,d-chizma):

$$\left. \begin{array}{l} N_{\alpha} = F \cos \alpha; \\ T_{\alpha} = F \sin \alpha. \end{array} \right\} \quad (4.3)$$



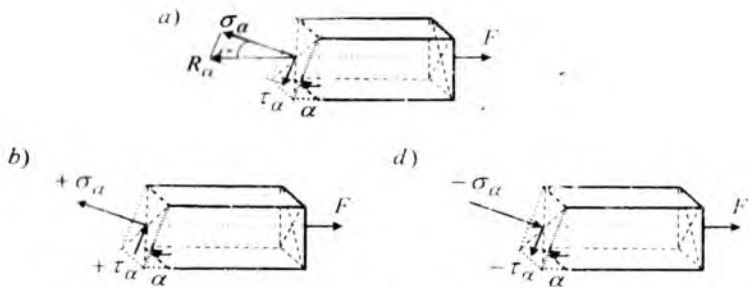
4.4-chizma. Tashqi kuchlar ta'siridagi sterjen

Tekis kesim cheklanishiga asosan qiya kesimda normal va urinma kuchlanishlar ham tekis taqsimlangan deb qarash mumkin (4.4,e-chizma). Unda qiya kesimda normal va urinma kuchlanishlar ni quyidagicha ifodalash mumkin (4.4,d-chizma) [27, 28-bet]:

$$\boxed{\sigma_{\alpha} = \frac{N_{\alpha}}{A_{\alpha}} = \frac{F \cos \alpha}{A / \cos \alpha} = \sigma \cos^2 \alpha = \frac{\sigma}{2} (1 + \cos 2\alpha).} \quad (4.4)$$

$$\boxed{\tau_{\alpha} = \frac{T_{\alpha}}{A_{\alpha}} = \frac{F \sin \alpha}{A / \cos \alpha} = \sigma \sin \alpha \cos \alpha = \frac{\sigma}{2} \sin 2\alpha.} \quad (4.5)$$

Bunda  $\sigma = \frac{F}{A}$  ko'ndalang kesimning normal kuchlanishi.



#### 4.5-chizma. Sterjenning qiya yuzalardagi kuchlanishlar

Agar tashqi normalni urinma kuchlanish yo'nalishiga tomon qaratish uchun uni soat strelkasi yurishiga qarab burishga to'g'ri kelsa, urinma kuchlanishning qiymati musbat, aks holda esa manfiy deb hisoblanadi (4.5,b,d-chizma).

Qaralayotgan yuzaga  $\alpha_1 = 90^\circ + \alpha$  perpendikulyar bo'lgan yuzada urinma kuchni  $\tau'_\alpha$  va normal kuchishni  $\sigma'_\alpha$  bilan belgilasak, ular (4.4) va (4.5) formulalar asosida quyidagiga teng bo'ladi:

$$\boxed{\sigma'_\alpha = \sigma \cos^2(90^\circ + \alpha) = \sigma \sin^2 \alpha.} \quad (4.6)$$

$$\boxed{\tau'_\alpha = \frac{1}{2} \sigma \sin 2(90^\circ + \alpha) = -\frac{1}{2} \sigma \sin 2\alpha.} \quad (4.7)$$

### Xulosa

1.  $\alpha = 0^\circ$  bo'lsa,  $\cos \alpha = 1$  bo'lib, ko'ndalang kesimda normal kuchlanish eng katta qiymatga erishadi  $\sigma_\alpha = \sigma_{\max} = \sigma$ ;

2.  $\alpha = \pm 45^\circ$  bo'lsa,  $\sin 2\alpha = \pm 1$  bo'lib, qiya kesimda urinma kuchlanish eng katta qiymatga erishadi  $\tau_\alpha = \tau_{45^\circ} = \tau_{\max} = \frac{1}{2} \sigma$ ;

3.  $\alpha = 90^\circ$  bo'lsa, bo'ylama kesimda urinma va normal kuchlanishlar  $\tau_\alpha = \tau_{90^\circ} = 0$ ,  $\sigma_\alpha = \sigma_{90^\circ} = 0$  nolga teng bo'ladi;

4. (4.4) va (4.6) formulalardan ko'rindiki, o'zaro perpendikulyar yuzalarda normal kuchlanish turli qiymatlarga ega bo'lib, ularning yig'indisi o'zgarmas miqdor:

$$\boxed{\sigma_\alpha + \sigma'_\alpha = \sigma \cos^2 \alpha + \sigma \sin^2 \alpha = \sigma = \text{const}} \quad (4.8)$$

5. (4.5) va (4.7) formulalardan ko‘rinadiki, o‘zaro perpendikulyar yuzalarda urinma kuchlanish qiymatlar teng bo‘lib, ular qarama-qarshi yo‘nalgan:

$$\tau_{\alpha} = -\tau'_{\alpha}. \quad (4.9)$$

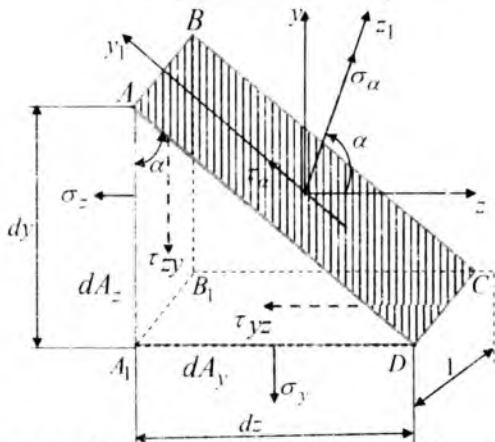
Bu formula urinma kuchlanishlarning juftlik qonuni deb ataladi.

#### 4.4-§. Tekis kuchlanish holatida qiya kesim yuzachalaridagi kuchlanishlar

Tekis kuchlanish holatida bo‘lgan 4.3-chizmada keltirilgan elementar parallelepiped qiya yuzasidagi kuchlanishlarni aniqlash maqsadida, undan  $ABCDA_1B_1$  uchburchak prizmani kesib ajratib olamiz. Uchburchakli prizmaning vertikal  $ABA_1B_1$  tekislik bilan  $\alpha$  burchak hosil qilib o‘tgan birorta  $ABCD$  qiya yuzadagi kuchlanishlarni aniqlaymiz (4.6-chizma).

Ushbu 4.6-chizmada ko‘rsatilgan  $ABCDA_1B_1$  uchburchak prizmaning qiya  $ABCD$  yuzasini  $dA$ ,  $ABA_1B_1$  yuzasini  $dA_z$  va  $A_1B_1CD$  yuzasini  $dA_y$  bilan belgilasak, ular orasidagi quyidagi bog‘lanishni aniqlash qiyinchilik tug‘dirmaydi:

$$\left. \begin{array}{l} dA_z = 1 \cdot dy = dA \cos \alpha, \\ dA_y = 1 \cdot dz = dA \sin \alpha. \end{array} \right\} \quad (4.10)$$



4.6-chizma. Elementar uchburchak prizma

Prizmaga ta'sir qilayotgan barcha kuchlarni avval  $z_1$ , keyin  $y_1$  o'qiga proyeksiyalab quyidagilarni hosil qilamiz:

$$\left. \begin{aligned} \sigma_\alpha dA - \sigma_z dA_z \cos \alpha - \sigma_y dA_y \sin \alpha - \tau_{zy} dA_z \sin \alpha - \tau_{yz} dA_y \cos \alpha &= 0, \\ \tau_\alpha dA + \sigma_z dA_z \sin \alpha - \sigma_y dA_y \cos \alpha - \tau_{zy} dA_z \cos \alpha + \tau_{yz} dA_y \sin \alpha &= 0. \end{aligned} \right\} \quad (4.11)$$

Ushbu ifodani, (4.10) tenglikni, urinma kuchlanishlar juftlik qonunini va trigonometriyadan ma'lum bo'lgan  $2\sin \alpha \cdot \cos \alpha = \sin 2\alpha$ ,  $\cos^2 \alpha - \sin^2 \alpha = \cos 2\alpha$  tengliklarni e'tiborga olib, soddalashtirishlardan keyin quyidagicha ifodalash mumkin:

$$\boxed{\sigma_\alpha = \sigma_z \cos^2 \alpha + \sigma_y \sin^2 \alpha + \tau_{zy} \sin 2\alpha.} \quad (4.12)$$

$$\boxed{\tau_\alpha = -\frac{\sigma_z - \sigma_y}{2} \sin 2\alpha + \tau_{zy} \cos 2\alpha.} \quad (4.13)$$

Qiya kesimdag'i normal kuchlanish (4.12) ifodasini,  $\cos^2 \alpha = 0,5(1 + \cos 2\alpha)$ ;  $\sin^2 \alpha = 0,5(1 - \cos 2\alpha)$  tengliklarni e'tiborga olib boshqa ko'rinishda ham ifodalash mumkin:

$$\boxed{\sigma_\alpha = \frac{\sigma_z + \sigma_y}{2} + \frac{\sigma_z - \sigma_y}{2} \cos 2\alpha + \tau_{zy} \sin 2\alpha.} \quad (4.14)$$

Yuqoridagi 4.6-chizmadan ko'rindik,  $\sigma_{z_1} = \sigma_\alpha$  bo'lgani uchun uni (4.14) formuladan aniqlanadi,  $\alpha + 90^\circ$  yuzadagi  $\sigma_{y_1}$  kuchlanishni (4.14) formuladagi  $\alpha$  burchakni  $\alpha + 90^\circ$  burchakka almashtirib topish mumkin:

$$\boxed{\sigma_{y_1} = \sigma_{\alpha+90^\circ} = \frac{\sigma_z + \sigma_y}{2} - \frac{\sigma_z - \sigma_y}{2} \cos 2\alpha - \tau_{zy} \sin 2\alpha.} \quad (4.15)$$

Ushbu (4.15) va (4.14) ifodalar hadlab qo'shilsa, quyidagi tenglik hosil bo'ladi:

$$\boxed{\sigma_\alpha + \sigma_{\alpha+90^\circ} = \sigma_z + \sigma_y = \text{const.}} \quad (4.16)$$

Yuqoridagi 4.2 paragrafdagi (4.9) urinma kuchlanishlar juftlik qonuni tekis kuchlanganlik holati uchun quyidagicha ifoda'anadi:

$$\boxed{\tau_{zy} = -\tau_{yz}.} \quad (4.16)$$

## Xulosa

- O'zaro perpendikulyar bo'lgan tekisliklardagi normal kuchlanishlarning yig'indisi  $\alpha$  burchakka bog'liq emas.
- O'zaro perpendikulyar bo'lgan tekisliklardagi normal kuchlanishlar koordinata o'qlari yo'naliishiga nisbatan invariantdir.

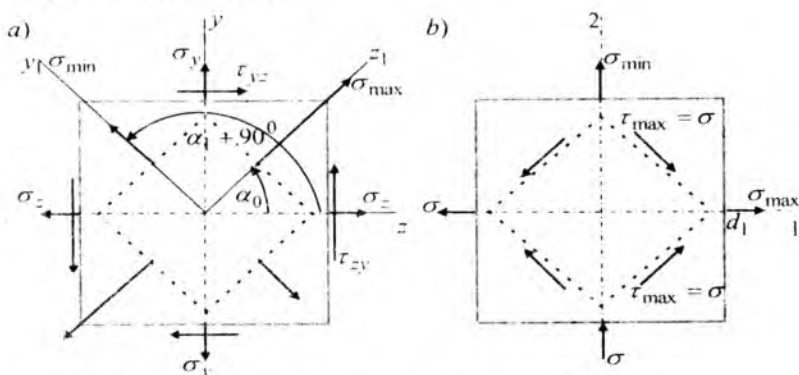
### 4.5-§. Bosh kuchlanishlar va bosh yuzalar

Yuqoridagi 4.4-paragrafdagi formulalardan ko'rindiki, agar  $\alpha$  burchakni o'zgartirib, koordinata  $z_1, y_1$  o'qlarini va to'g'ri to'rtburchakli elementni fikran aylantirsak,  $\alpha$  burchakning biror qiymatida mazkur nuqtada  $\sigma_\alpha$  kuchlanish eng katta qiyamatga erishadi. (4.16) tenglik asosida aytish mumkinki, perpendikulyar yuzachada kuchlanish minimal qiymatga teng bo'ladi (4.7-chizma). Bu yuzacha holatini va kuchlanish ekstremal qiymatlarini aniqlash uchun kuchlanishdan olingan birinchi hosilani nolga tenglaymiz:

$$\frac{d\sigma_\alpha}{d\alpha} = 2 \left( -\frac{\sigma_z - \sigma_y}{2} \sin 2\alpha + \tau_{33} \cos 2\alpha \right) = 2\tau_{\alpha_0} = 0.$$

(4.17)

Ushbu (4.17) tenglamaning o'ng qismidagi qavs ichidagi ifoda, urinma kuchlanishni ifodalashi (4.13) formuladan ko'rindib turibdi. Demak, izlanayotgan yuzacha normalining og'ish burchagini  $\alpha_0$  bilan belgilasak,  $\operatorname{tg} \alpha_0 = 0$  bo'ladi.



4.7-chizma. Tekis kuchlanganlik holatidagi element

Normal kuchlanishdan olingen birinchi hosilani (4.17) nolga tengligidan, bosh yuzalar normalining ikkilangan og'ish burchagi tangensini topamiz:

$$\boxed{\operatorname{tg} 2\alpha_0 = \frac{2\tau_{zy}}{\sigma_z - \sigma_y}} \quad (4.18)$$

Bosh kuchlanishlar qiyamatlarini aniqlash uchun (4.14) formulaga  $\alpha = \alpha_0$  qiymat bilan almashtirib,  $\cos \alpha_0$  ni qavsdan tash-qariga chiqarilsa va trigonometriyadan ma'lum bo'lgan quyidagi ifodadan

$$\cos 2\alpha_0 = \pm \frac{1}{\sqrt{1 + \operatorname{tg}^2 2\alpha_0}} = \pm \frac{(\sigma_z - \sigma_y)}{\sqrt{(\sigma_z - \sigma_y)^2 + 4\tau_{zy}^2}} \quad (4.19)$$

va (4.18) ifodani e'tiborga olib, ba'zi matematik amallarni bajarib quyidagini hosil qilamiz:

$$\boxed{\sigma_{1,2} = \sigma_{\max, \min} = \frac{\sigma_z + \sigma_y}{2} \pm \frac{1}{2} \sqrt{(\sigma_z - \sigma_y)^2 + 4\tau_{zy}^2}} \quad (4.20)$$

Maksimal  $\sigma_{\max}$  normal kuchlanishning yo'naliishi har doim  $\tau_{yz}$  va  $\tau_{zy}$  urinma kuchlanishlar strelkalarining yo'nalishilarini kesishadigan koordinata o'qlarining ikkita choragi orqali o'tadi.

### Xulosa

1. Normal kuchlanishlar ekstremal qiyatlarga erishgan va urinma kuchlanishlari nolga teng bo'lgan yuzalarga *bosh yuzalar* deb ataladi.
2. Bosh yuzalarga ta'sir etuvchi kuchlanishlarga *bosh kuchlanishlar* deb ataladi.
3. 4.18 formuladan bosh kuchlanishlar ta'sir etuvchi ikkita o'zaro perpendikulyar bo'lgan  $\alpha_0$  va  $\alpha_0 + 90^\circ$  og'ish burchaklari aniqlanadi.
4. Yuqoridagi 4.7,b-chizmadan ko'rindiki, eng katta normal  $\sigma_{\max}$  kuchlanishning yo'naliishi har doimi  $\tau_{zy}$  va  $\tau_{yz}$  urinma kuchlanishlarning strelkalarini uchrashadigan koordinata o'qlarining ikkita choragi orqali o'tadi.

#### 4.6-§. Ekstremal urinma kuchlanishlar

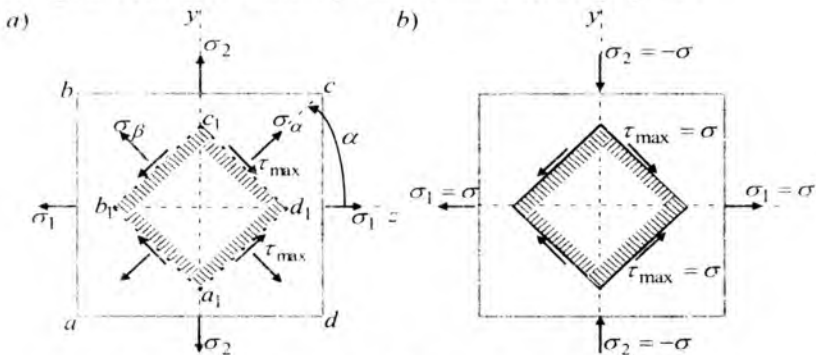
Tekis kuchlanganlik holatidagi element biror nuqtasining ayni bir tekis kuchlanish holati turlicha berilgan yuzacha va kuchlanishlar bilan belgilanishi mumkin. Kuchlanganlik holati nazariyasi asosan ikkita masala bilan chegaralanadi.

*Birinchi to'g'ri masala.* Nuqtaning bosh yuzalari hoiati va unga tegishli bosh kuchlanishlar ma'lum, bosh kuchlanishiga  $\alpha$  burchak ostidagi qiyalikda o'tgan yuzadagi normal va urinma kuchlanishlarni aniqlash talab qilinadi. Masalan, tomonlariga bosh normal kuchlanishlar ta'sir etuvchi element  $abcd$  4.8,a-chizmada keltirilgan,  $a_1b_1c_1d_1$  element tomonlaridagi kuchlanishlarni aniqlash lozim.

*Ikkinci teskari masala.* Birorta nuqtada o'zaro perpendikulyar bo'lgan yuzalarga ta'sir etayotgan, shu nuqtadan o'tuvchi normal va urinma kuchlanishlar ma'lum, bosh kuchlanishlar va uning yo'naliishini aniqlash talab qilinadi.

Biror nuqtadagi ayni bir tekis kuchlanish holati turlicha berilgan yuzacha va kuchlanishlar bilan berilishi mumkin. 4.8,a-chizmada keltirilgan,  $a_1b_1c_1d_1$  element tomonlaridagi kuchlanishlar berilgan,  $abcd$  element holatinini, ya'ni  $\alpha$  burchakni va bosh kuchlanishlarni aniqlash talab qilinadi.

To'g'ri masalani qarab chiqamiz. Normal kuchlanishlarning ekstremal qiymatlarini  $\sigma_{\max} = \sigma_1$  va  $\sigma_{\min} = \sigma_2$  bilan belgilaymiz. Qiyalik burchagi  $\alpha$  bosh kuchlanish  $\sigma_1$  dan boshlab o'chab qo'yiladi.



4.8-chizma. Ekstremal urinma kuchlanishlarni aniqlash uchun element

Agar  $\sigma_z = \sigma_1$ ,  $\sigma_y = \sigma_2$ ,  $\tau_{zy} = 0$  teng deb olib,  $\sigma_\alpha$ ,  $\tau_\alpha$  kuchlanishlarni (4.13) va (4.14) formulalardan aniqlanadi, unda bu formulalarni quyidagicha ifodalab olamiz:

$$\sigma_\alpha = \frac{\sigma_1 + \sigma_2}{2} + \frac{\sigma_1 - \sigma_2}{2} \cos 2\alpha. \quad (4.21)$$

$$\tau_\alpha = -\frac{\sigma_1 - \sigma_2}{2} \sin 2\alpha. \quad (4.22)$$

Ushbu formuladan ko'rinaradiki, agar  $\alpha = -45^\circ$  bo'lsa, unda  $[\sin 2 \cdot (-45^\circ)] = -1$  bo'lib urinma kuchlanish ekstremal qiymatlariga erishadi:

$$\tau_{\max} = \frac{\sigma_1 - \sigma_2}{2}. \quad (4.23)$$

Demak, nuqtadagi urinma kuchlanishlari bosh kuchlanishlar ayirmasining yarmiga teng va ular bosh yuzachalar bilan  $\alpha = 45^\circ$  burchak ostida o'tuvchi yuzalarda hosil bo'lar ekan.

Ikkinchi teskari masala bo'yicha kuchlanishlarning  $\sigma_z$ ,  $\sigma_y$ ,  $\tau_{zy}$  ma'lum bo'lgan qiymatlarida ekstremal urinma kuchlanishlarni quyidagicha ifodalash lozim:

$$\tau_{\max} = \frac{1}{2} \sqrt{(\sigma_z - \sigma_y)^2 + 4\tau_{zy}^2}. \quad (4.24)$$

### Xulosa

1. Umumiyl holda urinma kuchlanish maksimum  $\tau_{\max}$  ga erishgan yuzachalarda normal kuchlanishlar nolga teng emas.

2. Agar  $\alpha = \pm 45^\circ$  bo'lgan yuzalarda normal kuchlanishlar (4.20) formulalarga asosan quyidagiga teng bo'ladi:

$$\sigma_{\pm 45^\circ} = \frac{\sigma_1 + \sigma_2}{2} = \frac{\sigma_z + \sigma_y}{2}. \quad (4.25)$$

3. Agar tekis kuchlanganlik holatidagi elementning tomonlariga  $\sigma_1 = -\sigma_2 = \sigma$ . ikkita bosh kuchlanishlar ta'sir etsa, urinma kuchlanishlarning ekstremal qiymati bosh kuchlanishlarga teng bo'ladi (4.8,b-chizma):

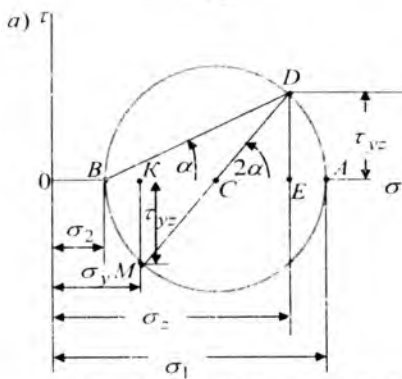
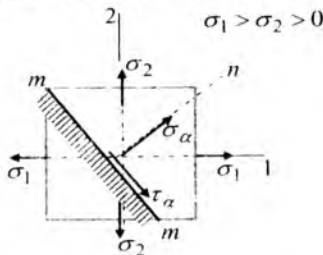
$$\tau_{\max} = \sigma. \quad (4.26)$$

4. Urinma kuchlanishlar ekstremal qiymatga erishgan yuzachalarda normal kuchlanishlar nolga teng bo'ladi (4.8,b-chizma). Bunday kuchlanganlik holatiga sof siljish deb ataladi.

#### 4.7-§. Mor doirasi

Tekis kuchlanganlik holatidagi parallelepipedning qiya kesimlaridagi hosil bo'ladigan normal va urinma kuchlanishlarni analitik usulda aniqlash masalasini 4.5-paragrafda qarab chiqdik. Nemis olimi Otto Mor tomonidan bosh normal kuchlanishlar  $\sigma_1, \sigma_2$  bilan qiya kesimlaridagi  $\sigma_z, \sigma_y, \tau_{yz}$  va  $\tau_{zy}$  kuchlanishlarni grafik bog'lanish orqali ifodalash mumkinligi ko'rsatib berilgan.

Tomonlari 1,2 o'qlar bo'yicha yo'nalgan cho'zuvchi  $\sigma_1, \sigma_2$  kuchlanishlar ta'sirida bo'lgan birorta to'g'riburchakli plastinkaning kuchlanganlik holatini qarab chiqamiz, chizmaga aniqlik kiritish maqsadida bunda  $\sigma_1 > \sigma_2 > 0$  qabul qilamiz (4.9-chizma).



4.9-chizma. To'g'riburchakli  
4.10-chizma. Mor doirasi.

## *Plastinkaning kuchlanganlik holati*

Tekis kuchlanganlik holatini ikki xil holatda qarash mumkin:  
*Birinchi to'g'ri hol.*

Tekis kuchlanganlik holatidagi plastinkaning qiya kesimlari-dagi  $\sigma_x$ ,  $\sigma_y$ ,  $\tau_{xy}$  va  $\tau_{zy}$  kuchlanishlarni bosh normal kuchlanishlar orqali grafik ko'rinishida aniqlash. Normali gorizontal + o'qi bilan  $\alpha$  burchak tashkil etuvchi qiya  $m-m$  kesimdagagi kuchlanishlar (4.12-4.13) formulalarni quyidagi ko'rinishga keltirish mumkin:

$$\sigma_z = \sigma_1 \cos^2 \alpha + \sigma_2 \sin^2 \alpha = \frac{\sigma_1 + \sigma_2}{2} + \frac{\sigma_1 - \sigma_2}{2} \cos 2\alpha. \quad (4.27)$$

$$\tau_{zy} = -\frac{\sigma_1 - \sigma_2}{2} \sin 2\alpha. \quad (4.28)$$

Mor doirasini chizish uchun koordinatalar sistemasi abssissa o'qini  $\sigma$ , ordinata o'qini  $\tau$  bilan belgilab olamiz (4.10-chizma). Koordinata sistemasi abssissa o'qiga mashtabda  $0A = \sigma_1$  va  $0B = \sigma_2$  kesmalarini o'lchab qo'yamiz.

Chizmadan ko'rindaniki,  $0C$  kesma  $0.4$  va  $0B$  kesmalarning o'rta arifmetigiga teng bo'ladi, ya'ni

$$0C = \frac{0.4 + 0B}{2} = \frac{\sigma_1 + \sigma_2}{2}.$$

Diametri  $AB$  kesmaga teng va markazi  $C$  nuqtada bo'lgan doirani chizamiz. Bu doira Mor doirasi deb ataladi.

Gorizontal  $CA$  kesmadan soat millari yo'nalishiga teskari  $2\alpha$  burchak ostida  $CD$  diametrni o'tkazamiz. Doiraning radiusi  $R = CD = \frac{\sigma_1 - \sigma_2}{2}$  ga ekanligi 4.10-chizmadan ko'rini turibdi. To'g'ri burchakli  $\Delta CED$  uchburchakdan  $CE$  va  $DE$  kesmalarni aniqlaymiz:

$$CE = CD \cos 2\alpha = \frac{\sigma_1 - \sigma_2}{2} \cos 2\alpha. \quad (4.29)$$

$$0E = 0C + CE = \frac{\sigma_1 + \sigma_2}{2} + \frac{\sigma_1 - \sigma_2}{2} \cos 2\alpha = \sigma_z. \quad (4.30)$$

Ushbu to'g'riburchakli uchburchakdan  $DE = CD \sin 2\alpha$ , yoki

$$DE = \frac{\sigma_1 - \sigma_2}{2} \sin 2\alpha = \tau_{zy}. \quad (4.31)$$

Ushbu ifodaning o'ng tomoni  $\pm$  o'qi bo'yicha yo'nalgan normal  $\sigma_z$  kuchlanishga teng ekanligi (4.27) formuladan ko'rindi.

Ushbu ifodaning o'ng tomoni  $\pm$  o'qi bo'yicha yo'nalgan  $\sigma_z$  kuchlanishga teng ekanligi (4.27) formuladan ko'rindi. Demak, Mor doirada yotuvchi D nuqtaning koordinatalari qaralayotgan qiya kesimdag'i  $\sigma_z$  normal va  $\tau_{yz}$  urinma kuchlanishlarni chizma masshabida aniqlaydi.

Qaralayotgan qiya kesimga perpendikulyar kesimdag'i kuchlanishlarni aniqlash uchun CA kesmidan soat millari yo'nalishiga teskari  $2\alpha + 180^\circ$  burchakni o'lchab qo'yamiz. Unda M nuqtaning koordinatalari izlanayotgan kuchlanishlar  $OK = \sigma_y$  va  $KM = \tau_{zy}$  ga teng bo'ladi.

*Ikkinci teskari hol.*

Yuqorida tekis kuchlanganlik holatidagi plastinkaga ta'sir etayotgan bosh normal kuchlanishlar  $\sigma_1, \sigma_2$  va  $\alpha$  ning qiya kesimlaridagi  $\sigma_z, \sigma_y$  va  $\tau_{zy}$  kuchlanishlarni grafik ko'rinishida aniqlash masalasini ko'rib chiqdik. Ammo bu masalaga teskari masalani ham yechish mumkin.

Qiya kesimda berilgan  $\sigma_z, \sigma_y$  va  $\tau_{zy}$  kuchlanishlar asosida Mor doirasini quramiz va bosh normal kuchlanishlar  $\sigma_1, \sigma_2$  va bosh yuzalar holatini aniqlaymiz.

Bosh kuchlanishlar formulalarini keltirib chiqarish uchun Mor doirasidan foydalanamiz (4.10-chizma). Ya'ni:

$$\sigma_1 = OA = OC + CA; \quad OC = \frac{\sigma_z + \sigma_y}{2}; \quad CA = CD = \sqrt{(CE)^2 + (DE)^2};$$

$$CE = \frac{\sigma_z - \sigma_y}{2}; \quad DE = \tau_{zy}.$$

Ushbu ifodalardan foydalanib, eng katta bosh kuchlanish formulasini quyidagicha yozish mumkin:

$$\sigma_1 = \frac{\sigma_z + \sigma_y}{2} + \sqrt{\left(\frac{\sigma_z - \sigma_y}{2}\right)^2 + (\tau_{zy})^2}. \quad (4.32)$$

Xuddi shuningdek eng kichik bosh kuchlanish formulasini quyidagicha yozish mumkin:

$$\sigma_2 = \frac{\sigma_z + \sigma_y}{2} - \sqrt{\left(\frac{\sigma_z - \sigma_y}{2}\right)^2 + (\tau_{xy})^2}, \quad (4.33)$$

Eng katta urinma kuchlanish  $\sin 2\alpha = 1$ , ya'ni  $\alpha = 45^\circ$  bo'lgan kesimda hosil bo'ladi va (4.28) formulaga asosan quyidagi formuladan aniqlanadi:

$$\boxed{\tau_{\max} = \sqrt{\left(\frac{\sigma_z - \sigma_y}{2}\right)^2 + (\tau_{xy})^2}} \quad (4.34)$$

Bosh kuchlanish  $\sigma_1$  bilan ma'lum bo'lgan  $\sigma_z$  kuchlanishlar orasidagi burchak Mor doirasidan aniqlanadi:

$$\operatorname{tg} \alpha = \frac{DE}{BE}.$$

Shuni e'tiborga olish lozimki,  $\sigma_2$  kuchlanish qiyalik burchagi  $\sigma_1$  kuchlanishga nisbatan soat millariga teskari yo'nali sh bo'yicha qo'yiladi. Shuning uchun ham  $\sigma_1$  kuchlanishning  $\sigma_z$  kuchlanishga nisbatan teskari yo'nali shda qo'yiladi (4.10-chizma). Unda

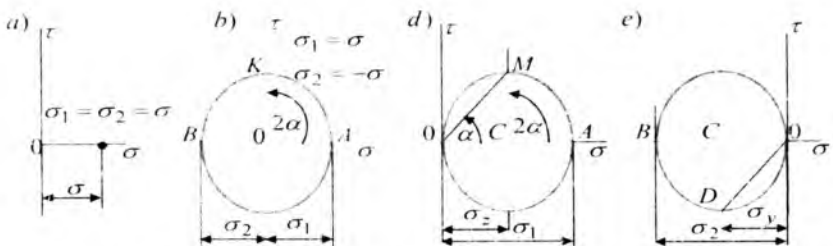
$$\operatorname{tg} \alpha = -\frac{DE}{BE} = -\frac{\tau_{xy}}{\sigma_z - \sigma_2}; \text{ yoki } \operatorname{tg} \alpha = -\frac{DE}{BE} = -\frac{\tau_{xy}}{\sigma_z - \sigma_1}. \quad (4.35)$$

### Xulosa

1. Agar  $\sigma_1 = \sigma_2 = \sigma$  bo'lsa, Mor deirasi nuqtaga aylanadi (4.11,a-chizma), uning barcha radiuslari nolga teng bo'ladi. Shu sababli urinma kuchlanishlar hosil bo'lmaydi, normal kuchlanishlar bir-biriga teng bo'ladi va  $\sigma$  ga teng bo'ladi.

2. Agar  $\sigma_1 = -\sigma_2 = \sigma$  bo'lsa,  $OA$  va  $OB$  kesmalar koordinata boshining turli tomonlariga abssissa o'qi bo'yicha masshtabda o'lchab qo'yiladi (4.11,b-chizma). Gorizontal 1 o'qqa nisbatan  $\alpha = 45^\circ$  ( $2\alpha = 90^\circ$ ) joylashgan kuchlanish nuqtaning koordinatasi bilan aniqlanadi:

$$\boxed{\sigma_z = 0; \quad \tau_{xy} = \sigma.} \quad (4.36)$$



4.11-chizma. Turli kuchlanganlik holatlari uchun Mor doirasi

3. Oddiy cho'zilish holatida  $\sigma_1 = \sigma > 0$ ;  $\sigma_2 = 0$  bo'ladi. Bunda  $OB$  kesma nolga teng bo'ladi va Mor doirasi ordinata o'qiga 0 nuqtada urinma bo'lib o'tadi (4.11,d-chizma). Unda eng katta urinma kuchlanish  $M$  nuqtasi ordinatasi bilan aniqlanadi:

$$\boxed{\tau_{\max} = \frac{\sigma}{2}} \quad (4.37)$$

Shu yuzadagi normal kuchlanish  $M$  nuqtasi abssissasi bilan aniqlanadi:

$$\boxed{\sigma_z = \frac{\sigma}{2}} \quad (4.38)$$

Bunday kuchlanishlar ostidagi yuzalar ikkilangan qiyalik burchak  $\angle ACM = 90^\circ$  bo'ladi va qiyalik burchaginining o'zi  $AOM = \frac{1}{2} \angle ACM = 90^\circ$  ga teng.

4. Oddiy siqilish holatida  $\sigma_1 = 0$ ;  $\sigma = \sigma_2 < 0$  bo'ladi. Bunda  $OA$  kesma nolga teng bo'ladi va Mor doirasi ordinata o'qiga 0 nuqtada urinma bo'lib o'tadi (4.11,e-chizma). Unda eng katta urinma kuchlanish  $D$  nuqtasi ordinatasi bilan aniqlanadi:

$$\boxed{\tau_{\max} = -\frac{\sigma}{2}} \quad (4.39)$$

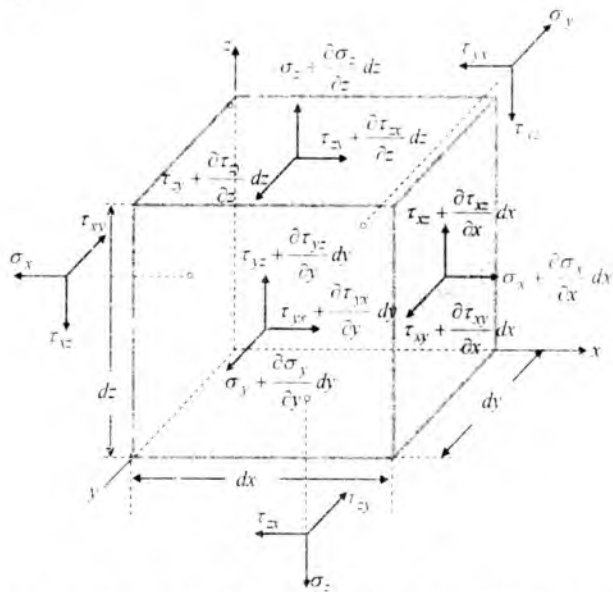
Shu yuzadagi normal kuchlanish  $D$  nuqtasi abssissasi bilan aniqlanadi:

$$\boxed{\sigma_y = -\frac{\sigma}{2}} \quad (4.40)$$

#### 4.8-§. Hajmiy kuchlanish holati

Hajmiy kuchlanganlik holatida konstruksiya elementlaridan ajratib olingan element tomonlariga  $\sigma_1 > \sigma_2 > \sigma_3$  kuchlanishlari ta'sir etadi. Bosh yuzalar deb urinma kuchlanishlari nolga teng bo'lgan yuzalarga aytiladi. Bosh kuchlanishlari deb bosh yuzalarga ta'sir etayotgan kuchlanishlarga aytiladi.

Umuman jismning ixtiyoriy nuqtasidan uchta o'zaro perpendicular tif tekislik o'tkazish mumkin. Jismning ixtiyoriy biror nuqtasidagi kuchlanish holati, shu nuqtadan o'tuvchi o'zaro perpendicular bo'lgan uchta tekislikda berilgan to'qqizta kuchlanish  $\sigma_x, \sigma_y, \sigma_z, \tau_{xy}, \tau_{yz}, \tau_{zx}, \tau_{yx}, \tau_{zy}, \tau_{xz}$  komponentlari orqali ifodalanad: (4.12-chizma).



4.12-chizma. Tomonlari koordinatalar tekisliklariga parallel bo'lgan element

Bu kuchlanish komponentlaridan kuchlanish tenzori deb ataluvchi quyidagi matritsan tuzish mumkin.

$$T_{\sigma} = \begin{vmatrix} \sigma_x, & \tau_{xy}, & \tau_{xz} \\ \tau_{yx}, & \sigma_y, & \tau_{yz} \\ \tau_{zx}, & \tau_{zy}, & \sigma_z \end{vmatrix}. \quad (4.41)$$

Kuchlanishlar tenzorini shar tenzor va deviatoriga ajratish mumkin.

$$T_{\sigma} = T_{\sigma}^w + D_{\sigma}, \quad (4.42)$$

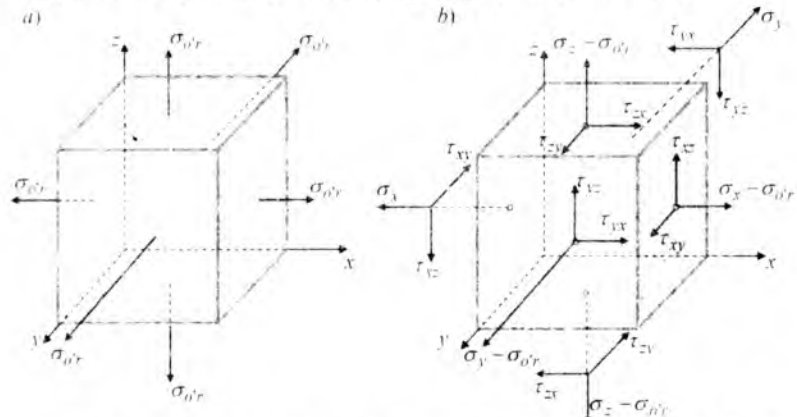
yoki

$$T_{\sigma} = \begin{vmatrix} \sigma_x, & \tau_{xy}, & \tau_{xz} \\ \tau_{yx}, & \sigma_y, & \tau_{yz} \\ \tau_{zx}, & \tau_{zy}, & \sigma_z \end{vmatrix} = \begin{vmatrix} \sigma_{o'r}, 0, & 0 \\ 0, & \sigma_{o'r}, 0 \\ 0, & 0, & \sigma_{o'r} \end{vmatrix} + \begin{vmatrix} \sigma_x - \sigma_{o'r}, & \tau_{xy}, & \tau_{xz} \\ \tau_{yx}, & \sigma_y - \sigma_{o'r}, & \tau_{yz} \\ \tau_{zx}, & \tau_{zy}, & \sigma_z - \sigma_{o'r} \end{vmatrix}. \quad (4.43)$$

bunda

$$\sigma_{o'r} = \frac{\sigma_x + \sigma_y + \sigma_z}{3} \quad (4.44)$$

Kuchlanishlarning shar tenzori ta'siri natijasida jismning hajmi o'zgaradi (4.13,a-chizma). Kuchlanish deviator tenzori ta'siri natijasida esa jismning shakli o'zgaradi (4.13,b-chizma).



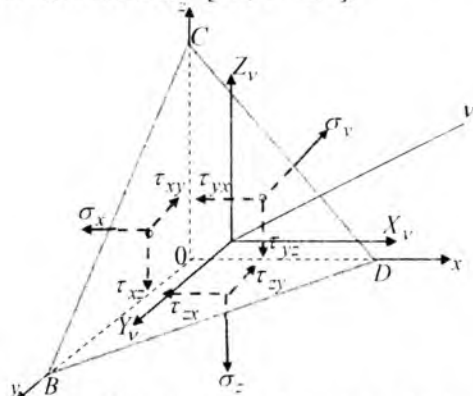
4.13-chizma. Shar va deviator tenzor kuchlanganlik holatlari

Murakkab kuchlanish holatidagi ushbu parallelepipeddan  $BCD$  qiya tekislik bo'yicha qirqib birorta  $0BCD$  tetraedr ajratib olamiz

(4.14-chizma). Qiya yuzani  $\Delta ABC = dA$  koordinata tekisliklaridagi yuzalarni  $\Delta BOC = dA_x$ ,  $\Delta C0D = dA_y$ ,  $\Delta DOB = dA_z$  lar bilan belgilaymiz. Qaralayotgan tetraedr koordinata tekisliklariда kuchlanishlarning oltita tashkil etuvchilari  $\sigma_x, \sigma_y, \sigma_z, \tau_{xy}, \tau_{yz}, \tau_{zx}, \tau_{yx}, \tau_{zy}, \tau_{xz}$  hamda normali  $v$  bo'lgan qiya  $\Delta BCD = dA$  yuzadagi to'la kuchlanishning uchta  $X_v, Y_v, Z_v$  tashkil etuvchilari ta'sirda kuchlanganlik holatida bo'ladi. Ushbu  $BCD$  tetraedrga ta'sir etayotgan barcha kuchlarni  $x, y, z$  koordinata o'qlariga proyeksiyalari yig'indilarini nolga tenglab ba'zi bir matematik amallarni bajarib quyidagini hosil qilamiz:

$$\boxed{\begin{aligned} X_v &= \sigma_x l + \tau_{xy} m + \tau_{xz} n; \\ Y_v &= \tau_{yx} l + \sigma_y m + \tau_{yz} n; \\ Z_v &= \tau_{zx} l + \tau_{zy} m + \sigma_z n. \end{aligned}} \quad (4.45)$$

Bunda  $l = \cos(x, v)$ ,  $m = \cos(y, v)$ ,  $n = \cos(z, v)$  qiya yuza normali  $v$  ning yo'naltiruvchi kosinuslaridir [28, 17-bet].



4.14-chizma. Parallelepipedning qiya kesim yuzasi

Qiya yuzalardagi kuchlanishlar quyidagi formulalar yordamida aniqlanadi:

Qiya yuzadagi  $X_v, Y_v, Z_v$  tashkil etuvchi kuchlanishlarning teng ta'sir etuvchisi to'la kuchlanish deb ataladi va tashkil etuvchi kuchlanishlarning geometrik yig'indisi ko'rinishida aniqlanadi:

$$P_v = \sqrt{X_v^2 + Y_v^2 + Z_v^2} \quad (4.46)$$

Normal kuchlanish koordinata o'qlariga parallel bo'lgan tashkil etuvchi kuchlanishlarining yuza normaliga olingan proyeksiyalari yig'indisiga teng:

$$\sigma_v = X_v l + Y_v m + Z_v n. \quad (4.47)$$

Unda bu yuzadagi urinma kuchlanish to'la va normal kuchlanishlar ayirmasi kabi aniqlanadi:

$$\tau_v = \sqrt{P_v^2 - \sigma_v^2} \quad (4.48)$$

O'zaro perpendikulyar bo'lgan uecta bosh yuzaga nisbatan bir xil burchak hosil qilib o'tgan yuza  $l = m = n = \frac{1}{\sqrt{3}}$  oktaedrik yuza deb ataladi. Bu yuzadagi kuchlanishlar quyidagi formulalar yordamida aniqlanadi:

To'la kuchlanish

$$P_v^2 = \frac{1}{3} (\sigma_1^2 + \sigma_2^2 + \sigma_3^2). \quad (4.49)$$

Oktaedrik normal kuchlanish

$$\sigma_{okt} = \frac{1}{3} (\sigma_1 + \sigma_2 + \sigma_3) \quad (4.50)$$

Oktaedrik urinma kuchlanish

$$\tau_{okt} = \frac{1}{3} \sqrt{(\sigma_1 - \sigma_2)^2 + (\sigma_2 - \sigma_3)^2 + (\sigma_3 - \sigma_1)^2}. \quad (4.51)$$

Oktaedrik yuzalardagi urinma kuchlanish bosh urinma kuchlanishlar orqali quyidagicha yoziladi:

$$\tau_{okt} = \frac{2}{3} \sqrt{\tau_{12}^2 + \tau_{23}^2 + \tau_{31}^2}. \quad (4.52)$$

Bu yerda

$$\tau_{12} = \frac{\sigma_1 - \sigma_2}{2}; \tau_{23} = \frac{\sigma_2 - \sigma_3}{2}; \tau_{31} = \frac{\sigma_3 - \sigma_1}{2}. \quad (4.53)$$

Jismning berilgan nuqtasidagi maksimal va minimal urinma kuchlanishlar quyidagi formulalardan aniqlanadi:

$$\tau_{\max} = \frac{\sigma_1 - \sigma_3}{2}, \quad \tau_{\min} = -\frac{\sigma_1 - \sigma_2}{2}. \quad (4.54)$$

Agar qaralayotgan qiya yuza bilan bosh yuzalar bir-biri bilan ustma-ust tushsa, bu yuzada urinma kuchlanish nolga teng bo'ladi.

Bosh yuzaga ta'sir etuvchi bosh kuchlanishni  $\sigma$  bilan belgilab (4.43) dan quyidagini hosil qilamiz:

$$X_v = \sigma \cdot l; \quad Y_v = \sigma \cdot m; \quad Z_v = \sigma \cdot n.$$

Ushbu ifodani (4.45) ifoda bilan taqqaşlab quyidagini hosil qilamiz:

$$\begin{aligned} \sigma \cdot l &= \sigma_x l + \tau_{xy} m + \tau_{xz} n; \\ \sigma \cdot m &= \tau_{yx} l + \sigma_y m + \tau_{yz} n; \\ \sigma \cdot n &= \tau_{zx} l + \tau_{zy} m + \sigma_z n. \end{aligned} \quad (4.55)$$

Bundan tashqari, analitik geometriyadan ma'lumki, yo'naltiruvchi kosinuslar orasida quyidagi bog'lanish mavjud:

$$l^2 + m^2 + n^2 = 1 \quad (4.56)$$

Ushbu (4.55) (4.56) tenglamalarda to'rtta noma'lumlar bo'lib: bosh kuchlanish va uning uchta yo'naltiruvchi kosinuslaridir.

Yuqoridagi (4.55) tenglamani quyidagi ko'rinishga keltiramiz:

$$\begin{aligned} (\sigma_x - \sigma)l + \tau_{xy} m + \tau_{xz} n &= 0 \\ \tau_{yx} l + (\sigma_y - \sigma)m + \tau_{yz} n &= 0 \\ \tau_{zx} l + \tau_{zy} m + (\sigma_z - \sigma)n &= 0. \end{aligned} \quad (4.57)$$

Ushbu bir jinsli tenglamalar sistemasi yechimi  $l = m = n = 0$ , bo'lishi mumkin emas, chunki bu (4.56) shartga ziddir. Hech bo'lmaganda yo'naltiruvchi kosinuslarining birortasi noldan farqli bo'lganda, bu sistemaning boshqa yechimilar mavjud bo'lishi uchun sistemaning determinanti nolga teng bo'lishi lozim, ya'ni

$$\begin{vmatrix} \sigma_x - \sigma & \tau_{xy} & \tau_{xz} \\ \tau_{yx} & \sigma_y - \sigma & \tau_{yz} \\ \tau_{zx} & \tau_{zy} & \sigma_z - \sigma \end{vmatrix} = 0.$$

Determinantini ochib chiqamiz:

$$\begin{aligned} (\sigma_x - \sigma)(\sigma_y - \sigma)(\sigma_z - \sigma) + \tau_{yx}\tau_{zy}\tau_{xz} + \tau_{zx}\tau_{xy}\tau_{yz} - \\ - (\sigma_y - \sigma)\tau_{zx}^2 - (\sigma_x - \sigma)\tau_{yz}^2 - (\sigma_z - \sigma)\tau_{xy}^2 = 0. \end{aligned}$$

Bu ifodadagi qavslarni ochib chiqib, bosh kuchlanish  $\sigma$  darajasi bo'yicha gruppashidan keyin quyidagi kub tenglama hosil bo'ladi:

$$\sigma^3 - J_{1\sigma}\sigma^2 + J_{2\sigma}\sigma - J_{3\sigma} = 0 \quad (4.58)$$

Bu yerda

$$\begin{aligned} J_{1\sigma} &= \sigma_x + \sigma_y + \sigma_z; \\ J_{2\sigma} &= \sigma_x \sigma_y + \sigma_y \sigma_z + \sigma_z \sigma_x - \tau_{xy}^2 - \tau_{yz}^2 - \tau_{zx}^2; \\ J_{3\sigma} &= \sigma_x \sigma_y \sigma_z + 2\tau_{xy}\tau_{yz}\tau_{zx} - \sigma_x \tau_{yz}^2 - \sigma_y \tau_{zx}^2 - \sigma_z \tau_{xy}^2. \end{aligned} \quad (4.59)$$

Bu ifodalarga kuchlanish tenzorining birinchi, ikkinchi va uchinchi invariantlari deyiladi. Ularni bosh kuchlanishlar orqali quyidagicha ifodalash mumkin:

$$\begin{aligned} J_{1\sigma} &= \sigma_1 + \sigma_2 + \sigma_3; \\ J_{2\sigma} &= \sigma_1 \sigma_2 + \sigma_2 \sigma_3 + \sigma_3 \sigma_1; \\ J_{3\sigma} &= \sigma_1 \cdot \sigma_2 \cdot \sigma_3. \end{aligned} \quad (4.60)$$

Xuddi shuningdek, kuchlanishlarning shar tenzori va deviatotining invariantlarini ham quyidagicha yozish mumkin:

$$\begin{aligned} J_{1D\sigma} &= 0; \\ J_{2D\sigma} &= \frac{1}{6} \left[ (\sigma_x - \sigma_y)^2 + (\sigma_y - \sigma_z)^2 + (\sigma_z - \sigma_x)^2 + 6(\tau_{xy}^2 + \tau_{yz}^2 + \tau_{zx}^2) \right]; \\ J_{3D\sigma} &= \begin{vmatrix} \sigma_x - \sigma_{o'r} & \tau_{xy} & \tau_{xz} \\ \tau_{yy} & \sigma_y - \sigma_{o'r} & \tau_{yz} \\ \tau_{zx} & \tau_{zy} & \sigma_z - \sigma_{o'r} \end{vmatrix}. \end{aligned} \quad (4.61)$$

Bosh kuchlanish  $\sigma$  ga nisbatan uchinch darajali, ya'ni kub (4.58) tenglamani yechish natijasida uchta  $\sigma_1, \sigma_2, \sigma_3$  ildizlar aniqlanadi.

Kub (4.58) tenglamani yechishning ikki usulini ko'rib chiqamiz.

1. *Tenglamaning (4.58) chap tomonini ko'p hadga ajratish usuli.* Agar (4.58) tenglamaning chap tomonini quyidagicha ko'paytuvchilarga ajratish mumkin bo'ssa:

$$(\sigma_y - \sigma_1)(\sigma_y - \sigma_2)(\sigma_y - \sigma_3) = 0 \quad (4.62)$$

Unda bu tenglamaning ildizlari juda oson topiladi, ya'ni:

$$\sigma_{v1} = \sigma_1; \quad \sigma_{v2} = \sigma_2; \quad \sigma_{v3} = \sigma_3. \quad (4.63)$$

2. *Kub (4.58) tenglamani trigonometrik usulda yechish.*

(4.58) tenglamaga  $\sigma = Y + J_{1\sigma}/3$  almashtirish kiritib, uni quyidagicha yozish mumkin.

$$Y^3 + PY + q = 0 \quad (4.64)$$

Bu yerda

$$P = J_{2\sigma} - \frac{J_{1\sigma}^2}{3}; \quad q = -\frac{2}{27} J_{1\sigma}^3 + \frac{1}{3} J_{1\sigma} J_{2\sigma} - J_{3\sigma}. \quad (4.65)$$

Agar diskriminant manfiy, ya'ni  $\Delta = P^3 + q^2 < 0$  bo'lsa, (4.60) kub tenglamaning uchala haqiqiy ildizi ham mavjuddir. Ular quyidagi formulalardan aniqlanadi:

$$\begin{aligned} Y_1 &= -2r \cos \frac{\varphi}{3}; \\ Y_2 &= 2r \cos \left( 60^\circ - \frac{\varphi}{3} \right); \\ Y_3 &= 2r \cos \left( 60^\circ + \frac{\varphi}{3} \right). \end{aligned} \quad (4.66)$$

Bunda

$$\cos \varphi = \frac{q}{2r^3}; \quad r = \pm 0,5774 \sqrt[3]{|P|}. \quad (4.67)$$

$\tau$  urinma kuchlanishning ishorasi  $q$  ning ishorasi bilan bir xil olinadi.

Kub (4.64) tenglama yechimlarining to'g'riliqi quyidagi formula yordamida tekshiriladi.

$$Y_1 + Y_2 + Y_3 = 0. \quad (4.68)$$

Bosh kuchlanishlar

$$\sigma' = Y_1 + \frac{J_{1\sigma}}{3}; \quad \sigma'' = Y_2 + \frac{J_{1\sigma}}{3}; \quad \sigma''' = Y_3 + \frac{J_{1\sigma}}{3} \quad (4.69)$$

formuladan topiladi.

Aniqlangan kuchlanishlarni tegishlicha bosh kuchlanishlar  $\sigma_1 > \sigma_2 > \sigma_3$  bilan belgilaymiz.

Kub (4.58) tenglama ildizlarining, ya'ni bosh kuchlanishlarning to'g'riliqi quyidagi tenglamalar yordamida tekshiriladi.

$$\begin{aligned}\sigma_x + \sigma_y + \sigma_z &= \sigma_1 + \sigma_2 + \sigma_3, \\ \sigma_x \sigma_y + \sigma_y \sigma_z + \sigma_z \sigma_x - \tau_{xy}^2 - \tau_{yz}^2 - \tau_{zx}^2 &= \sigma_1 \sigma_2 + \sigma_2 \sigma_3 + \sigma_3 \sigma_1; \\ \sigma_x \sigma_y \sigma_z + 2\tau_{xy} \tau_{yz} \tau_{zx} - \sigma_x \tau_{yz}^2 - \sigma_y \tau_{zx}^2 - \sigma_z \tau_{xy}^2 &= \sigma_1 \sigma_2 \sigma_3.\end{aligned}\quad (4.70)$$

Yo'naltiruvchi kosinuslar qiyamatlarining to'g'riligi, bosh kuchlanishlar vektorlarining ortogonalligidan foydalanib tekshiriladi, ya'ni:

$$\begin{aligned}l_1 l_2 + m_1 m_2 + n_1 n_2 &= 0; \\ l_2 l_3 + m_2 m_3 + n_2 n_3 &= 0; \\ l_3 l_1 + m_3 m_1 + n_3 n_1 &= 0.\end{aligned}\quad (4.71)$$

Agar bosh tekisliklardan biri ma'lum bo'lsa, bosh kuchlanishlarni topish uchun quyidagi formuladan foydalaniлади:

$$\sigma_{1,2} = \frac{\sigma_x + \sigma_y}{2} \pm \frac{1}{2} \sqrt{(\sigma_x - \sigma_y)^2 + 4\tau_{xy}^2}; \quad \sigma_3 = \sigma_z. \quad (4.72)$$

Bosh o'qlarning holati

$$\operatorname{tg} 2\alpha_0 = \frac{2\tau_{xy}}{\sigma_x - \sigma_y} \quad (4.73)$$

formuladan aniqlanadi. Bu formuladan  $\alpha_1 = \alpha_0$  va  $\alpha_2 = \alpha_0 + 90^\circ$  ikkita burchak topiladi, ya'ni birinchi va ikkinchi bosh o'qlarning holati aniqlanadi.

#### **4.9-§. Umumlashgan Guk qonuni. Deformatsiya komponentlarining kuchlanish komponentlari orqali ifodasi**

Kuchlanishlar nazariyasi bilan deformatsiya nazariyasini birgalikda qarash uchun kuchlanish komponentlari bilan deformatsiya komponentlari orasidagi bog'lanishlarni bilish lozim. Bu bog'lanishlar R.Guk qonuni bilan ifodalanganadi.

Umumlashgan Guk qonuni fizik qonun bo'lib, elastik izotrop jism kuchlanish komponentlari bilan deformatsiya komponentlari orasidagi chiziqli bog'lanishni ifodalaydi. Qurilma materiallari uchun R.Guk qonuni kuchlanish ma'lum chegaradan oshmasa, qo'llash mu'mkin. Bu chegaraga proporsionallik chegarasi deb ataladi.

Klassik elastiklik nazariyasi asosan R.Guk qonuniga tayanadi va jism materiali bir jinsli, ya'ni izotrop deb qaraladi, lekin ko'pgina hollar turli yo'naliishlar bo'yicha turli xil xususiyatlarga ega bo'ladi. Bunday jismlarga anizotrop jismlar deb ataladi.

Umumiy holda anizotrop jismlar uchun deformatsiya komponentlari bilan kuchlanish komponentlari orasidagi bog'lanishlar quyidagicha ifodalanadi:

$$\left. \begin{aligned} \varepsilon_x &= a_{11}\sigma_x + a_{12}\sigma_y + a_{13}\sigma_z + a_{14}\tau_{xy} + a_{15}\tau_{yz} + a_{16}\tau_{zx}; \\ \varepsilon_y &= a_{21}\sigma_x + a_{22}\sigma_y + a_{23}\sigma_z + a_{24}\tau_{xy} + a_{25}\tau_{yz} + a_{26}\tau_{zx}; \\ \varepsilon_z &= a_{31}\sigma_x + a_{32}\sigma_y + a_{33}\sigma_z + a_{34}\tau_{xy} + a_{35}\tau_{yz} + a_{36}\tau_{zx}; \\ \gamma_{xy} &= a_{41}\sigma_x + a_{42}\sigma_y + a_{43}\sigma_z + a_{44}\tau_{xy} + a_{45}\tau_{yz} + a_{46}\tau_{zx}; \\ \gamma_{yz} &= a_{51}\sigma_x + a_{52}\sigma_y + a_{53}\sigma_z + a_{54}\tau_{xy} + a_{55}\tau_{yz} + a_{56}\tau_{zx}; \\ \gamma_{zx} &= a_{61}\sigma_x + a_{62}\sigma_y + a_{63}\sigma_z + a_{64}\tau_{xy} + a_{65}\tau_{yz} + a_{66}\tau_{zx}. \end{aligned} \right\} \quad (4.74)$$

Bu formulada  $a_{nm}$  jismning elastiklik xususiyatini xarakterlovchi koeffitsiyentlardir.

Kuchlanish o'zgarmas bo'lgan birdan-bir qiymatida ham, bu koeffitsiyentlarning qiymati qancha katta bo'lsa, deformatsiya komponentlari ham shuncha katta bo'ladi.

Umumiy holda anizotrop materiallar uchun R.Guk qonuni matritsa ko'rinishida quyidagicha ifodalanadi:

$$\left[ \begin{array}{c|cccccc|c} \varepsilon_x & a_{11} & a_{12} & a_{13} & a_{14} & a_{15} & a_{16} & \sigma_x \\ \varepsilon_y & a_{21} & a_{22} & a_{23} & a_{24} & a_{25} & a_{26} & \sigma_y \\ \varepsilon_z & a_{31} & a_{32} & a_{33} & a_{34} & a_{35} & a_{36} & \sigma_z \\ \hline \gamma_{yz} & a_{41} & a_{42} & a_{43} & a_{44} & a_{45} & a_{46} & \tau_{yz} \\ \gamma_{zx} & a_{51} & a_{52} & a_{53} & a_{54} & a_{55} & a_{56} & \tau_{zx} \\ \gamma_{xy} & a_{61} & a_{62} & a_{63} & a_{64} & a_{65} & a_{66} & \tau_{xy} \end{array} \right]. \quad (4.75)$$

Bu matritsa simmetrik bo'lgani uchun  $a_{mn} = a_{nm}$  jismning elastiklik xususiyatini xarakterlovchi 36 ta koeffitsiyentlarining 21 tasi noma'lum bo'lib qoladi.

Agar jismning elastik xususiyatlari o'zaro perpendikulyar bo'lган uchta tekisliklar bo'yicha simmetrik bo'lsa, bunday jismga ortotrop jismlar deyiladi. Ortotrop jismlar uchun umumlashgan Guk qonunidagi 21 ta koeffitsiyentlardan to'qqiztasi qoladi. Ortotrop

jismlarda chiziqli nisbiy bo'ylama  $\varepsilon_x, \varepsilon_y, \varepsilon_z$  deformatsiyalar faqat normal  $\sigma_x, \sigma_y, \sigma_z$  kuchlanishlarga bog'liq bo'lib, urinma  $\tau_{xy}, \tau_{yz}, \tau_{zx}$  kuchlanishlarga bog'liq bo'lmaydi. Unda nisbiy burchak deformatsiyalar  $\gamma_{xy}, \gamma_{yz}, \gamma_{zx}$  faqat urinma  $\tau_{xy}, \tau_{yz}, \tau_{zx}$  kuchlanishlarga bog'liq bo'ladi.

Ortotrop jismlar uchun umumlashgan Guk qonuni bir-biriga bog'liq bo'limgan ikki guruhga ajraladi:

$$\left. \begin{aligned} \varepsilon_x &= a_{11}\sigma_x + a_{12}\sigma_y + a_{13}\sigma_z; \\ \varepsilon_y &= a_{21}\sigma_x + a_{22}\sigma_y + a_{23}\sigma_z; \\ \varepsilon_z &= a_{31}\sigma_x + a_{32}\sigma_y + a_{33}\sigma_z. \end{aligned} \right\} \quad (4.76)$$

$$\left. \begin{aligned} \gamma_{xy} &= a_{44}\tau_{xy}; \\ \gamma_{yz} &= a_{55}\tau_{yz}; \\ \gamma_{zx} &= a_{66}\tau_{zx}. \end{aligned} \right\} \quad (4.77)$$

Ortotrop jismlar uchun umumlashgan Guk qonuni matritsa ko'rinishida quyidagicha ifodalanadi:

$$\left. \begin{aligned} \varepsilon_x &= \begin{vmatrix} a_{11} & a_{12} & a_{13} \\ a_{21} & a_{22} & a_{23} \\ a_{31} & a_{32} & a_{33} \end{vmatrix} \cdot \begin{vmatrix} \sigma_x \\ \sigma_y \\ \sigma_z \end{vmatrix}; \\ \varepsilon_y &= \begin{vmatrix} a_{44} & 0 & 0 \\ 0 & a_{55} & 0 \\ 0 & 0 & a_{66} \end{vmatrix} \cdot \begin{vmatrix} \tau_{yz} \\ \tau_{zx} \\ \tau_{xy} \end{vmatrix}. \end{aligned} \right\} \quad (4.78)$$

$$\left. \begin{aligned} \varepsilon_z &= \begin{vmatrix} a_{11} & a_{12} & a_{13} \\ a_{21} & a_{22} & a_{23} \\ a_{31} & a_{32} & a_{33} \end{vmatrix} \cdot \begin{vmatrix} \sigma_x \\ \sigma_y \\ \sigma_z \end{vmatrix}; \\ \gamma_{yz} &= \begin{vmatrix} a_{44} & 0 & 0 \\ 0 & a_{55} & 0 \\ 0 & 0 & a_{66} \end{vmatrix} \cdot \begin{vmatrix} \tau_{yz} \\ \tau_{zx} \\ \tau_{xy} \end{vmatrix}. \end{aligned} \right\} \quad (4.79)$$

Ortotrop jismlar uchun umumlashgan Guk qonunidagi elastiklik koeffitsiyentlari quyidagilarga teng bo'ladi:

$$\left. \begin{aligned} a_{11} &= 1/E_1; & a_{12} &= 1/E_2; & a_{13} &= 1/E_3; \\ a_{12} = a_{21} &= -\mu_{21}/E_2 = -\mu_{12}/E_1; \\ a_{13} = a_{31} &= -\mu_{31}/E_3 = -\mu_{13}/E_1; \\ a_{23} = a_{32} &= -\mu_{32}/E_3 = -\mu_{23}/E_2; \\ a_{44} &= 1/G_{23}; & a_{55} &= 1/G_{13}; & a_{66} &= 1/G_{12}. \end{aligned} \right\} \quad (4.80)$$

Bunda  $E_1, E_2, E_3$  elastiklik modullar mos ravishda  $x, y, z$  koordinata o'qlari bo'yicha;  $\mu_{12}, \mu_{21}, \mu_{13}, \mu_{31}, \mu_{23}, \mu_{32}$  Puasson koefitsiyentlari. Masalan,  $\mu_{12}$  koeffitsiyenti normal  $\sigma_x$  kuchlanishdan  $y$

o'qi bo'yicha hosil bo'lgan nisbiy ko'ndalang deformatsiya miqdorini,  $\mu_{21}$  normal  $\sigma_y$  kuchlanishdan  $x$  o'qi bo'yicha hosil bo'lgan nisbiy ko'ndalang deformatsiya miqdorini xarakterlaydi. Matritsa koeffitsiyentlari simmetrik bo'lgani uchun Puassson koeffitsiyentlari bilan elastiklik modullari orasida quyidagi bog'lanish mavjud:

$$\mu_{ij} E_j = \mu_{ji} E_i. \quad (4.81)$$

Bu koeffitsiyentlar e'tiborga olinsa, ortotrop jismlar uchun umumlashgan Guk qonuni quyidagicha ifodalanadi:

$$\left. \begin{aligned} \varepsilon_x &= \frac{1}{E_1} \sigma_x - \mu_{21} \frac{1}{E_2} \sigma_y - \mu_{31} \frac{1}{E_3} \sigma_z; \\ \varepsilon_y &= -\mu_{12} \frac{1}{E_1} \sigma_x + \frac{1}{E_2} \sigma_y - \mu_{32} \frac{1}{E_3} \sigma_z; \\ \varepsilon_z &= -\mu_{13} \frac{1}{E_1} \sigma_x - \mu_{23} \frac{1}{E_2} \sigma_y + \frac{1}{E_3} \sigma_z; \\ \gamma_{yz} &= \frac{\tau_{yz}}{G_{23}}; \quad \gamma_{zx} = \frac{\tau_{zx}}{G_{31}}; \quad \gamma_{xy} = \frac{\tau_{xy}}{G_{12}}. \end{aligned} \right\} \quad (4.82)$$

Agar jism materiali izotrop bo'lsa, bu koeffitsiyentlar soni uchta bo'lishi ma'lum. Ular orasida quyidagicha bog'lanish mavjud:

$$G = \frac{E}{2(1+\mu)} \quad (4.83)$$

Izotrop jismlar uchun umumlashgan Guk qonuni quyidagicha ifodalanadi:

$$\left. \begin{aligned} \varepsilon_x &= \frac{1}{E} \sigma_x - \mu \frac{1}{E} \sigma_y - \mu \frac{1}{E} \sigma_z; \\ \varepsilon_y &= -\mu \frac{1}{E} \sigma_x + \frac{1}{E} \sigma_y - \mu \frac{1}{E} \sigma_z; \\ \varepsilon_z &= -\mu \frac{1}{E} \sigma_x - \mu \frac{1}{E} \sigma_y + \frac{1}{E} \sigma_z; \\ \gamma_{yz} &= \frac{\tau_{yz}}{G}; \quad \gamma_{zx} = \frac{\tau_{zx}}{G}; \quad \gamma_{xy} = \frac{\tau_{xy}}{G}. \end{aligned} \right\} \quad (4.84)$$

### Hajmiy deformatsiya

Elastik jismdan o'lchamlari  $dx, dy, dz$  bo'lgan elementar parallelepiped ajratib olamiz (4.12-chizma). Bu element tashqi kuchlar

ta'sirida deformatsiyalanganda o'lchamlari o'zgarib  $dx + \Delta dx$ ,  $dy + \Delta dy$ ,  $dz + \Delta dz$  ga teng bo'ladi. Qaralayotgan elementning deformatsiyagacha hajmi  $V_0 = dx dy dz$  bo'lib, deformatsiyadan keyingi hajmi  $V_1 = (dx + \Delta dx)(dy + \Delta dy)(dz + \Delta dz)$ ga teng bo'ladi.

Elementar jismning nisbiy hajmi deformatsiyasi quyidagi formuladan aniqlanadi:

$$\theta = \frac{V_1 - V_0}{V_0} = \frac{(dx + \Delta dx)(dy + \Delta dy)(dz + \Delta dz) - dx dy dz}{dx dy dz} = \varepsilon_x + \varepsilon_y + \varepsilon_z.$$

Ushbu formuladan jism elastik deformatsiyalanganda ham elastik-plastik deformatsiyalanganda ham foydalanish mumkin.

**Jismning nisbiy hajmi deformatsiyasini kuchlanishlar orqali ifodalash uchun izotrop jismlar uchun umumlashgan Guk qonunidan foydalanib almashtirishlardan keyin quyidagi ko'rinishga keltirish mumkin:**

$$\theta = \frac{1 - 2\mu}{E} = \sigma_x + \sigma_y + \sigma_z. \quad (4.85)$$

#### 4.10-§. Mustahkamlik nazariyalari

##### 1. Mustahkamlik nazariyalari asosiy qoidalar

Amaliyotda inshoot va mashina elementlarini mustahkamlikka hisoblashda, albatta, ularning murakkab kuchlanish holatida ishlashini e'tiborga olish lozim.

Konstruksiya elementining ixtiyoriy nuqtasining kuchlanganlik holatini chiziqli kuchlanishda bitta, tekis kuchlanishda ikkita, hajmi kuchlanishda esa uchta bosh kuchlanish bilan aniqlanishini 4.1-pagrifda ko'rib chiqdik.

Konstruksiyaning tekshirilayotgan nuqtasida materialning *che-garaviy kuchlanish holati yoki xayfli holat* deb, bosh kuchlanishlarning proporsional va bir vaqtida ortib borishida, ularning qiymati ma'lum miqdorga yetgan holatiga aytildi.

Plastik materiallarda *xavfli holat uchun shunday holat qabul qilinadiki, bunda sezilarli qoldiq (plastik) deformatsiyalar jadallahsha boshlaydi.*

Mo'rt materiallar uchun *chejaraviy holat material yemirila boshlangan kuchlanish holati* hisoblanadi.

Konstruksiya elementlарining kuchlanganlik holati qanchalik xavfli ekanligiga baho berishda tajriba yo'li bilan chegaraviy kuchlanish holatida paydo bo'ladigan bosh kuchlanishlar qiymatini aniqlash muhim ahamiyatga egadir.

Bir o'qli cho'zilish (siqilish)da konstruksiya nuqtasining chegaraviy kuchlanganlik holatini baholash masalasini hal qilish oson ko'chadi, ya'ni bosh kuchlanishlarning birdan-bir chegaraviy qiymatini tajriba yo'li bilan aniqlash mumkin. U plastik material uchun oquvchanlik chegarasiga, mo'rt materiallar uchun mustahkamlik chegarasiga teng deb qaraladi.

Oddiy chiziqli kuchlanish holatida o'tkazilgan ko'p sonli tajriba natijalari turli materiallar uchun chegaraviy kuchlanishlar haqida kerakli darajada aniqlik bilan hukm yuritishga imkon beradi.

Murakkab, ya'ni tekis va hajimi kuchlanish holatida ikkita yoki barcha uchta bosh kuchlanishlar nolga teng bo'lmasganda yuqoridagidek hukm yuritib bo'lmaydi. Bunda bosh kuchlanishlar sonning nisbati hamda ishoralari cheklanmagan darajada xilma-xil bo'lishi mumkin. Shu sababli chegaraviy kuchlanishlarni aniqlash uchun o'tkaziladigan tajribalarni cheksiz ko'p sonli o'tkazish lozim bo'ladi, bunday tajribalarni o'tkazish juda murakkab bo'lib, amalda bajarib bo'lmaydi.

Murakkab kuchlanish holatini tajriba yo'li bilan tekshirish uchun mo'ljallangan hozirgi mavjud texnika vositalari bosh kuchlanishlarning ba'zi xususiy nisbatlari uchungina tajriba o'tkazish imkonini beradi.

Bu tahlillar natijalari, cho'zilish va siqilishda o'tkazilgan tajribalariga asoslanib, konstruksiya elementi materialining biror nuqtasing istalgan kuchlanganlik holatining xavflilik darajasini baholash

imkonini beradigan hisoblash usutini yaratish zarurligini taqozo qiladi.

Bu muhim masala *cheagaraviy kuchlanish holati nazariyalari* yoki mustahkamlik nazariyalari deb ataladi.

Bu nazariyalarning barchasi quyidagi shartga asoslangan: ikkita *kuchlanish holatiga tegishli bosh kuchlanishlar proporsional ravishda bir xil miqdorga oshirilganda ikkalasi bir vaqida cheagaraviy holatga o'tsa, bunday kuchlanish holatlari teng kuchlanishli va teng xavfli hisoblanadi*.

Bunda ikkala kuchlanish holati uchun mustahkamlikning ehtiyyot koefitsiyenti bir xil bo'ladi.

Berilgan murakkab holatiga teng mustahkamlikka ega bo'lgan oddiy cho'zilishdagi kuchlanish ekvivalent  $\sigma_{ekv}$  (hisobiy  $\sigma_{his}$ ) deb ataladi.

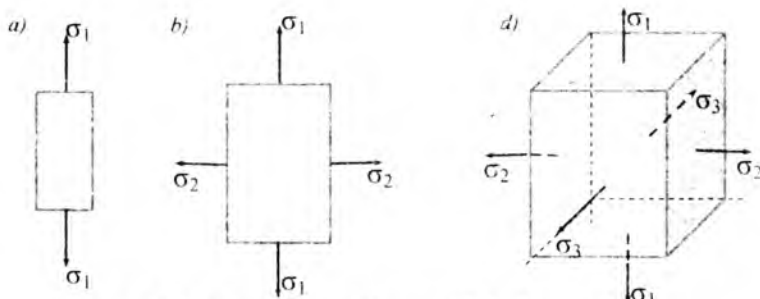
Agar kuchlanishning hisobiy qiymati ma'lum bo'lsa, yuqorida qayd qilingan chegaralarga nisbatan ehtiyyotlik koefitsiyenti tegishlicha plastik va mo'rt materiallar uchun quyidagiga teng bo'ladi:

$$n_{oq} = \frac{\sigma_{oq}}{\sigma}, \quad n_m = \frac{\sigma_m}{\sigma}. \quad (4.86)$$

Teng xavfli kuchlanish holatlaridan biri sifatida tajriba yo'li bilan yaxshi o'rganilgan chiziqli cho'zilish (4.15,*a*-chizma) boshqasi sifatida xavfli holati aniqlanishi kerak bo'lган kuchlanish holati olinadi.

4.15,*d*-chizma kuchlanganlik holati konstruksiya elementlarining hajmiy kuchlanish  $\sigma_1 > \sigma_2 > \sigma_3$  holatini tasvirlaydi.

Qabul qilingan shartdan soydalanish uchun ikkita teng xavfli holatlarning bosh kuchlanishlarini ma'lum qoidaga binoan bir-biri bilan bog'lash zarur. Bu esa ikkala o'rganilayotgan hol uchun materialning yemirilish yoki chegaraviy kuchlanish holatiga o'tish sababi aniq bo'lsa, mumkin bo'ladi.



4.15-chizma. Kuchlangantik holati turlari

Lekin material yemirilishining haqiqiy sababini aniqlash juda qiyin va u oxirigacha hal qilinmagan masala hisoblanadi.

Bu hol yagona umumiyl mustahkamlıq nazariyasını yaratish imkonini bermaydi, natijadə har biri o'zining chegaraviy kuchlanish holatining paydo bo'lish sababi haqidagi gipotezaga ega bo'lgan ko'p nazariyalar yuzaga keladi. Bunday gipotezaga asosan zarur hisoblash shartlari va o'rganilayotgan kuchlanish holatining (tekis va hajimi) bosh kuchlanishlarni chiziqli kuchlanishlardagi bosh kuchlanishlar bilan bog'lovchi formulalar tuziladi.

## 2. Mustahkamlıq gipotezalari to'g'risida umumiyl tushuncha

*Birinchi mustahkamlıq nazariyasi murakkab kuchlanish holatidagi jismning chegaraviy holati, unda hosil bo'ladigan eng katta normal kuchlanish, shu jism materialidan yasalgan oddiy namunani cho'zish (siqish)dagi chegaraviy holatiga tegishli bo'lgan normal kuchlanishga yetganda boshlanadi degan gipotezaga asoslanadi.*

Bu nazariya G.Galiley nomi bilan bog'liq bo'lib, *eng katta normal kuchlanish nazariyasi* deb ataladi.

Eng katta normal kuchlanishni ekvivalent kuchlanishga teng deb, chegaraviy holatning boshlanish sharti matematik ifodasi quyidagi ko'rinishda yoziladi:

$$\sigma_{ekv,I} = \sigma_1 \leq \sigma_0^{ch}; \quad \sigma_{ekv,I} = \sigma_1 \leq \sigma_0^{sq} \quad (4.87)$$

Bu yerda,  $\sigma_1$  – tekshiralayotgan kuchlanish holati uchun bosh kuchlanishlardan eng kattasi;

$\sigma_0^{ch}, \sigma_0^{sq}$  – tegishlicha chiziqli cho'zilish, siqilish uchun tajriba-dan olingan chegaraviy kuchlanish.

Eng katta normal kuchlanish nazariya bo'yicha mustahkamlik sharti quyidagicha ifodalanadi:

$$\sigma_{ekv,I} - \sigma_1 \leq \gamma_{t,sh} R_{ch}; \quad \sigma_{ekv,I} = \sigma_1 \leq \gamma_{t,sh} R_{sq} \quad (4.88)$$

Bu yerda,  $\gamma_{t,sh}$  – ish sharoiti koeffitsiyenti  $\gamma_{t,sh} = 0,74 \div 1,0$ ;

$R_{ch}, R_{sq}$  – oddiy cho'zilish va siqilishdagi hisobiy qarshilik (2.4-jadval).

Bu nazariyaning asosiy kamchiliqi shundan iboratki, unda ikki-ta bosh kuchlanishlar  $\sigma_1, \sigma_2$  va plastik deformatsiya hosil bo'lishi hisobga olinmaydi. Bu kuchlanishlar material mustahkamligiga katta ta'sir ko'rsatadi. Masalan, barcha tomonlari bo'yicha tekis (gidrostatik) siqilgan sement kub mustahkamlik chegarasidan bir necha marta katta bo'lgan kuchlanishga yemirilmasdan qarshilik ko'rsata oladi. Bunday sharoitda boshqa materiallar ham o'zini shunday tutadi.

Eng katta normal kuchlanish nazariyasi eksperement natijalarda o'z tasdig'ini topmadi. Bu nazariya mo'rt materiallarni cho'zishga sinashda qoniqarli natija beradi. Mo'rt materialni cho'zganda sezilarli plastik deformatsiya hosil bo'lmasdan yemiriladi.

Eng katta normal kuchlanish nazariyadan hozirgi davrda foydalanimaydi, u faqat tarixiy ahamiyatga ega.

**Ikkinci mustahkamlikning nazariyasi** murakkab kuchlanish holatidagi jismning chegaraviy holati unda hosil bo'ladigan eng katta chiziqli deformatsiya, shu jism materialidan yasalgan oddiy namunani cho'zish (siqish)dag'i chegaraviy holatiga tegishli bo'lgan chiziqli deformatsiyaga yetganda boshlanadi degan gipotezaga asoslanadi.

Bu nazariya *eng katta cho'zilish nazariyasi* degan nom oldi.

Bosh deformatsiyalar  $\varepsilon_1 > \varepsilon_2 > \varepsilon_3$  bo'lganida hajmiy kuchlanish holati uchun qabul qilingan gipotezaga javob beruvchi umumiy shart quyidagicha yoziladi:

$$\varepsilon_{ekv,II} = \varepsilon_1 \leq \varepsilon_0^{ch}; \quad \varepsilon_{ekv,II} = \varepsilon_1 \leq \varepsilon_0^{sq} \quad (4.89)$$

Bu yerda,  $\varepsilon_1$  – tekshirilayotgan kuchlanish holatidagi eng katta cho'zilish yoki siqilish deformatsiya;  $\varepsilon_0^{ch}, \varepsilon_0^{sq}$  – tegishlicha bir o'qii cho'zilishga sinash tajribasidan olingan nişbiy cho'zilish va siqilishning chegaraviy qiymatlari.

Chegaraviy ( $\sigma = \sigma_0^{ch}$  yoki  $\sigma = \sigma_0^{sq}$ ) holatning boshlanishiga gacha R.Guk qonuni to'g'ri bajarilsin deb faraz qilamiz, unda oddiy cho'zilish va siqilishda chegaraviy deformatsiya miqdorlarini  $\varepsilon_0^{ch} = \sigma_0^{ch}/E$  va  $\varepsilon_0^{sq} = \sigma_0^{sq}/E$  formulalardan aniqlanadi. Bu miqdorlarni bosh  $\varepsilon_1$  va  $|\varepsilon_3|$  bosh deformatsiyalar deb qabul qilib, hajmiy kuchlanganlik holatidagi Guk qonuni asosida (4.89) shartni yoyilgan holda quyidagicha ifodalash mumkin:

$$\sigma_{ekv,II} = \sigma_1 - \mu(\sigma_2 + \sigma_3) \leq \gamma_{i,sh} R_{ch}; \quad \sigma_{ekh,II} = \sigma_3 - \mu(\sigma_1 + \sigma_2) \leq \gamma_{i,sh} R_{sq}. \quad (4.90)$$

Tekis kuchlanish holati uchun bosh kuchlanishlar ifodasidan foydalanib, quyidagi shartni yozish mumkin:

$$\sigma_{ekv,II} = \frac{1-2\mu}{2} (\sigma_x + \sigma_y) + \frac{1+\mu}{2} \sqrt{(\sigma_x + \sigma_y)^2 + 4\tau_{xy}^2} \leq \gamma_{i,sh} R. \quad (4.91)$$

(4.90) va (4.91) shartlardan  $\sigma_{ekv,II}$  qiymati musbat bo'lгандагина foydalanish mumkinligiga e'tibor berish lozim.

Ikkinci nazariyaning birinchisidan afzalligi shundaki, unda barcha bosh kuchlanishlar ta'siri hisobga olinadi.

Mo'rt materiallar (beten, tosh)ning bosim beriladigan torets-lariga yog' yoki parafin surtib, oddiy siqilishda yemirilishini bu nazariya yordamida tushuntirish mumkin. Bunda materialda siquvchi kuchlarga parallel darzlar paydo bo'ladi va u yemiriladi. Bu namuna o'qiga perpendikulyar yo'nalishda materialning kengayishiga imkon beruvchi chiziqli deformatsiyalarning o'sishi bilan tushuntiriladi.

Birinchi nazariya kabi ikkinchisi ham tajriba natijalari bilan yetarli darajada tasdiqlanmaydi, mo'rt materiallar uchun ko'proq qo'l keladi.

**Uchinchi mustahkamlikning nazariyasi** murakkab kuchlanish holatidagi jismning chegaraviy holati, unda hosil bo'ladi eng katta urinma kuchlanish, shu jism materialidan yasalgan oddiy namunani cho'zish (siqish)dagi chegaraviy holatiga tegishli bo'lган

*urinma kuchlanishga yetganda boshlanadi* degan gipotezaga asoslanadi.

Bu nazariya eng katta *urinma kuchlanish nazariyasi* deb ataladi.

Plastik deformatsiyalar jarayonida siljish va unga mos keluvchi urinma kuchlanishlar ham paydo bo'lishi tajriba asosida tasdiqlangan, shuning uchun qabul qilingan gipotezani sezilarli plastik deformatsiyalar bilan bog'lash mumkin.

Ushbu nazariya asosida chegaraviy holat boshlanishning umumiyligi sharti quyidagi ko'rinishga ega:

$$\tau_{\max} \leq \tau_0. \quad (4.92)$$

Bu yerda,  $\tau_{\max}$  – tekshirilayotgan kuchlanish holati uchun eng katta urinma kuchlanishning hisobiy qiymati;

$\tau_0$  – oddiy cho'zilishga o'tkaziladigan tajribadan aniqlanadigan urinma kuchlanishning chegaraviy qiymati.

Bu formula Treska-Sen-Venan plastiklik kriteriyasi deb ataladi va plastiklik nazariyasida qo'llaniladi.

Hajmiy kuchlanish holatida bosh kuchlanishlar orasida  $\sigma_1 > \sigma_2 > \sigma_3$ , bo'lganda eng katta urinma kuchlanish maksimal va minimal bosh kuchlanishlar farqining yarmi quyidagicha topiladi:

$$\tau_{\max} = \frac{\sigma_1 - \sigma_3}{2}. \quad (4.93)$$

Oddiy cho'zilishda yoki siqilishda  $\tau_0$  kuchlanish quyidagi tenglikdan topiladi:

$$\tau_0 = \frac{\sigma_0}{2}. \quad (4.94)$$

Unda chegaraviy holat boshlanish (4.92) shartni quyidagicha yozish mumkin:

$$\sigma_1 - \sigma_3 \leq \sigma_0 \quad (4.95)$$

Eng katta urinma kuchlanish nazariya bo'yicha mustahkamlilik sharti quyidagicha ifodalanadi:

$$\sigma_{ekv, III} = \sigma_1 - \sigma_3 \leq \gamma_{i, sh} R \quad (4.96)$$

Tekis kuchlanish holati uchun (4.96) formula bosh kuchlanishlar qiymati qo'yilgach, quyidagi ko'rinishni oladi:

$$\sigma_{ekv, III} = \sqrt{(\sigma_z - \sigma_y)^2 + 4\tau_{xy}^2} \leq \gamma_{i, sh} R. \quad (4.97)$$

Amalda ko'pincha  $\sigma_y = 0$ ,  $\sigma_z = \sigma$ ,  $\tau_{zy} = \tau$  hol uchraydi. Bunda  $\sigma_z = \sigma$ ,  $\tau_{zy} = \tau$  larni (4.97) qo'yib, quyidagini olamiz:

$$\sigma_{ekv,III} = \sqrt{\sigma^2 + 4\tau^2} \leq \gamma_{t,sh} R. \quad (4.98)$$

Ushbu nazariyaning kamchiligi shundaki, hajmiy kuchlanish holatida  $\sigma_2$  bosh kuchlanishning ta'siri hisobga olinmaydi.

Eng katta urinma kuchlanish nazariysi cho'zilishga ham, siqilishga ham bir xil qarshilik ko'rsatadigan ikki oqli  $\sigma_1 \geq \sigma_2 > 0$ ;  $\sigma_3 = 0$ ; va  $\sigma_1 > 0$ ;  $\sigma_2 = 0$ ;  $\sigma_3 < 0$  kuchlanganlik holatidagi plastik materiallar bilan o'tkazilgan tajriba natijalariga mos keladi.

Xususiy holda bu nazariya urinma kuchlanish nolga teng bo'lган hajmiy kuchlanganlik  $\sigma_1 = \sigma_2 = \sigma_3$  holatida tasdiqlangan.

### 3. Mustahkamlilikning energetik nazariyasi

Energetik nazariya murakkab kuchlanish holatidagi jismning chegaraviy holati, unda shakl o'zgarishidan hosil bo'ladigan solishtirma potensial energiyasi, shu jism materialidan yasalgan oddiy namunani cho'zish (siqish)dagi chegaraviy holatiga tegishli bo'lган shakl o'zgarishida solishtirma potensial energiyasiga yetganda bosilanadi degan gipotezaga asoslanadi.

Energetik nazariya bo'yicha chegaraviy holati matematik ifodasi quyidagicha ifodalanadi:

$$U^{sh} \leq U_0^{sh} \quad (4.99)$$

Bu yerda,  $U^{sh}$  – shakl o'zgarishidagi soishtirma potensial energiya;

$U_0^{sh}$  – ushbu energiyaning oddiy cho'zilish yoki siqilishga o'tkazilgan tajriba natijasida olingan chegaraviy qiymati.

Hajmiy kuchlanish holati uchun potensial energiya quyidagi formuladan topiladi:

$$U = \frac{1}{2E} [\sigma_1^2 + \sigma_2^2 + \sigma_3^2 - 2\mu(\sigma_1\sigma_2 + \sigma_1\sigma_3 + \sigma_2\sigma_3)] \quad (4.100)$$

Hajmiy kuchlanishning umumiyligi holi uchun deformatsiyani ikkiga bo'lamiz:

- 1) hajm o'zgarishi bilan bog'liq bo'lган deformatsiya;
- 2) shakl o'zgarishiga mos keluvchi deformatsiya.

Unda potensial energiyani quyidagi formula bilan ifodalash mumkin:

$$U = U_v + U_{sh}. \quad (4.101)$$

Buning uchun berilgan kuchlanish holatini (4.16,a-chizma) kuchlanishlar bilan aniqlanadigan ikkita kuchlanish holati (4.16,b-chizma) yig'indisi ko'rinishida tasavvur etamiz.

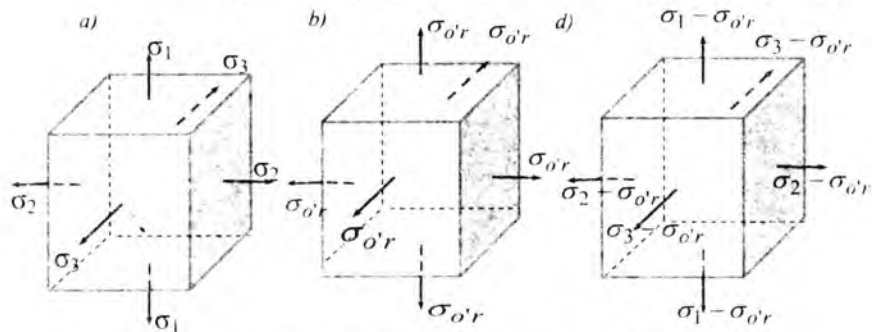
Deylik, ulardan biri gidrostatik cho'zilish (siqilish)ga mos keladi, bunda kubning barcha tomonlariga bir xil o'rtacha kuchlanish ta'sir etadi:

$$\sigma_{o'r} = \frac{\sigma_1 + \sigma_2 + \sigma_3}{3}. \quad (4.102)$$

Bunda kubning barcha qirralari bir xil qiymatga o'zgarganligidan kub shakli o'zgarmaydi, balki uning hajmigina o'zgaradi.

Ikkinci kuchlanish holatining kuchlanishlarini  $\sigma_1^{'}, \sigma_2^{'}, \sigma_3^{''}$  lar orqali belgilaymiz. Ular quyidagi tengliklardan topiladi:

$$\sigma_1^{'} = \sigma_1 - \sigma_{o'r}; \quad \sigma_2^{'} = \sigma_2 - \sigma_{o'r}; \quad \sigma_3^{''} = \sigma_3 - \sigma_{o'r}. \quad (4.103)$$



4.16-chizma. Shar va devaztor kuchlanganlik holatlari

$\sigma_1^{'}, \sigma_2^{'}, \sigma_3^{''}$  kuchlanishlarda hajmnинг o'zgarishi nolga tengligini isbotlash qiyin emas.

O'rtacha kuchlanish (4.102)ni hisobga olgan holda (4.103) tenglikdan bu kuchlanishlarning qiymatlarini hajmiy (4.85) deformasiya formulasiga qo'yib quyidagini hosil qilamiz:

$$\theta = \frac{1-2\mu}{E} \left( \sigma_1^{'} + \sigma_2^{'} + \sigma_3^{''} \right) = \frac{1-2\mu}{E} \left( \sigma_1 + \sigma_2 + \sigma_3 - 3 \frac{\sigma_1 + \sigma_2 + \sigma_3}{3} \right) = 0. \quad (4.104)$$

Shuning uchun  $\sigma_1, \sigma_2, \sigma_3$  kuchlanishlardan jismning saqat shakli o'zgaradi.

Hajm o'zgarishida  $U_v$  solishtirma potensial energiyani aniqlash uchun (4.100) formulaga  $\sigma_1, \sigma_2, \sigma_3$  kuchlanishlar o'tmiga  $\sigma_{ov}$  ni qo'yamiz. Unda:

$$U_v = \frac{1+2\mu}{2E} \cdot 3\sigma_{ov}^2 \quad (4.105)$$

hosil bo'ladi. (4.105) ifoda  $\sigma_{ov}$  o'tmiga (4.101) tenglikdan uning qiymatini qo'yib quyidagi formulani hosil qilamiz:

$$U_v = \frac{1+2\mu}{6E} (\sigma_1 + \sigma_2 + \sigma_3)^2. \quad (4.106)$$

(4.100) va (4.106) formulalardan  $U$  va  $U_v$  larning qiymatlarini (4.101)ga qo'yib, ba'zi o'zgartirishlardan so'ng quyidagini topamiz:

$$U_{sh} = \frac{1+\mu}{3E} [\sigma_1^2 + \sigma_2^2 + \sigma_3^2 - (\sigma_1\sigma_2 + \sigma_1\sigma_3 + \sigma_2\sigma_3)] \quad (4.107)$$

Ushbu formulani osongina quyidagi ko'rinishga keltiramiz:

$$U_{sh} = \frac{1+\mu}{6E} [(\sigma_1 - \sigma_2)^2 + (\sigma_1 - \sigma_3)^2 + (\sigma_2 - \sigma_3)^2] \quad (4.108)$$

Oddiy cho'zilish holi uchun  $\sigma_2 = \sigma_3 = 0$  bo'lganda (4.105) formulaga binoan quyidagiga ega bo'lamiz:

$$U_{sh} = \frac{1+\mu}{6E} \cdot 2\sigma_1^2. \quad (4.109)$$

(4.108) va (4.109) formulalarni hisobga olganda (4.102) shart quyidagicha yoziladi:

$$\frac{1}{\sqrt{2}} [(\sigma_1 - \sigma_2)^2 + (\sigma_1 - \sigma_3)^2 + (\sigma_2 - \sigma_3)^2] \leq \sigma_0. \quad (4.110)$$

Bu yerda:  $\sigma_0$  – oddiy cho'zilishda tajribadan topilgan chegaraviy kuchlanish.

Bu formula Guber-Mizes plastiklik kriteriyasi deb ataladi va plastiklik nazariyasida qo'llaniladi.

Energetik nazariya bo'yicha mustahkamlik sharti quyidagicha ifodalanadi:

$$\sigma_{ekv,IT} = \frac{1}{\sqrt{2}} \sqrt{[(\sigma_1 - \sigma_2)^2 + (\sigma_1 - \sigma_3)^2 + (\sigma_2 - \sigma_3)^2]} \leq \gamma_{sh} R. \quad (4.111)$$

Bu nazariya mustahkamlikka uchta bosh kuchlanishlarning ta'sirini e'tiborga oladi va cho'zilish bilan siqilishga bir xil qarshilik ko'rsatuvchi plastik materiallar uchun tajribada juda yaxshi tasdiqlangan. Uchinchi mustahkamlik nazariyasi kabi bu nazariya urinma kuchianish nolga teng bo'lgan hajmiy kuchlanganlik  $\sigma_1 = \sigma_2 = \sigma_3$  holatida tasdiqlangan.

Tekis kuchlanish holatida (4.103) formulasidagi bosh kuchlanishlarni  $\sigma_x, \sigma_y$  va  $\tau_{xy}$  lar orqali ifodalab quyidagini olamiz:

$$\sigma_{his} = \sqrt{\left(\frac{\sigma_z - \sigma_y}{2}\right)^2 + 3\left(\frac{\sigma_z - \sigma_y}{2}\right)^2 + 3\tau_{zy}^2} \leq \gamma_{t,sh} R. \quad (4.112)$$

$\sigma_z = 0$  bo'lgan xususiy hol uchun  $\sigma_z = \sigma$  va  $\tau_{zy} = \tau$  bo'lsa, to'rtinchchi mustahkamlik nazariyasi quyidagicha ifodalanadi.

$$\sigma_{ekv.H} = \sqrt{\sigma^2 + 3\tau^2} \leq \gamma_{t,sh} R. \quad (4.113)$$

Uchinchi nazariya kabi energetik nazariya ham plastik materiallar bilan o'tkazilgan tajribalarda yaxshi isbotlanadi va amalda keng qo'llaniladi. Yuqorida qayd qilingan nazariyalar materialda plastik deformatsiyalar paydo bo'lish shartini belgilovchi kriteriyalarni belgilab beradi. Shuning uchun bu nazariyalarga asoslangan (4.92) va (4.99) tengsizliklar ba'zan *plastiklik shartlari* deb ataladi.

Sof siljishda oquvchanlik chegarasini nazariy jihatdan aniqlash uchun energetik nazariyasini qo'llaymiz. Bunda  $\sigma = 0$ ,  $\tau = \tau_{eq}$  bo'lib, oquvchanlik sharti quyidagi formula bilan ifodalanadi:

$$\sigma_{his} = \sqrt{0 + 3\tau_{eq}^2} = \sigma_{eq}. \quad (4.114)$$

Bundan

$$\tau_{eq} = \frac{\sigma_{eq}}{\sqrt{3}} = 0.58\sigma_{eq}. \quad (4.115)$$

Xuddi shunga o'xhash uchinchi nazariyadan  $\tau_{eq} = 0.5\sigma_{eq}$  ni hosil qilish mumkin.

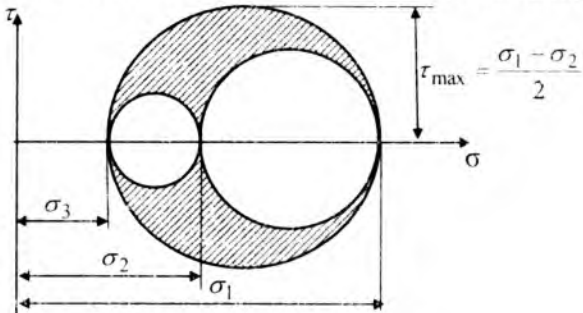
Sof siljishni o'rghanishda ko'p materiallar uchun tajriba yo'li bilan  $\tau_{eq}$  va  $\sigma_{eq}$  lar uchun o'rnatiladigan bog'lanish nisbat orqali ifodalanishi qayd qilingan edi. Bu (4.115) nisbatga mos keladi.

Shunday qilib, sof siljish holati uchun energetik nazariya uchinchi nazariyaga nisbatan tajriba natijalariga mos tushadi.

#### 4. Morning mustahkamlik nazariyası

Yuqorida ko'rib o'tilgan barcha nazariyalarda chegaraviy kuchlanish holati paydo bo'lishining sababini belgilovchi gipoteza sifatida bitta faktor qiymati, masalan, cho'zilish, energiya olingan.

Bayon etilgan nazariyalardan farqli ravishda Mor nazariyasida ayrim gipotezalar emas, balki tajriba natijalari asosida materialning mustahkamlik xossalari kuchlanish holati turiga bog'liqligi kelтирib chiqariladi. Bunday bog'lanishni olish va isbotlash uchun Mor taklif qilgan kuchlanish doiralaridan foydalaniлади. Ma'lumki, hajmiy kuchlanish holati uchun uchta doira quriladi (4.17-chizma).



4.17-chizma. Mor doiralari

Lekin bu yerda o'tkazilgan tajribalar asosida  $\sigma_2$  kuchlanish ta'siri hisobga olinmaydi va materialning mustahkamlik xossalari faqat  $\sigma_1$  va  $\sigma_3$  kuchlanishlarga qagina bog'liq deb qaraladi. Shuning uchun uchta doiralaridan faqat bittasi, u ham bo'lsa, eng kattasi o'rniladi. Bu doirani Mor *bosh doira* deb atagan.

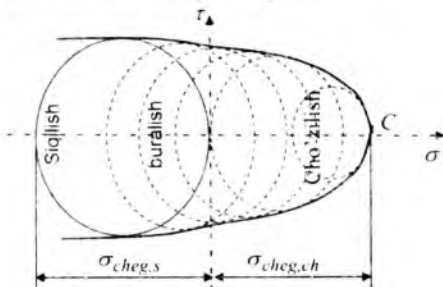
$\sigma_1$  va  $\sigma_3$  kuchlanishlar materialning chegaraviy kuchlanish holatini bildirganida unga mos keluvchi bosh doira ham chegaraviy doira deb ataladi.

Misol tariqasida 4.18-chizmada cho'zilish, siqilish va buralishga sinalgan material uchun uchta chegaraviy doira tasvirlangan. Bunda  $\sigma_{chege}$  bilan belgilangan siqilishdagi chegaraviy kuchlanish

cho'zilishdagi chegaraviy kuchlanish  $\sigma_{cheg, ch}$ dan katta, ya'ni  $\sigma_{cheg, s} > \sigma_{cheg, ch}$ .

Agar bu doiralar uchun chegaraviy o'rovchi chiziq deb ataladigan chiziq o'tkazsak, u umumiyl holda egri chiziqdandan iborat bo'ladi va  $\sigma$  o'qini biror  $C$  nuqtaga kesib o'tadi.

Bu nuqta  $C$  nuqtaning absissasi bilan aniqlanadigan chegaraviy kuchlanishni har tomonlama cho'zilishiga mos keladi (4.18-chizmaga qarang). Bu holda Mor doirasi nuqtaga aylanadi, chunki  $\sigma_1, \sigma_2, \sigma_3$  kuchlanishlar bir-biriga tengdir.



4.18-chizma. Bosh kuchlanishlari turlicha bo'lgan chegaraviy doiralarini o'rabi turuvchi egri chiziq

Shunday qilib, bir necha chegaraviy doiralar va ularni o'rovchi egri chiziq mavjud bo'lsa, bosh doirasi o'rovchi egri chiziqqa urinib turadigan kuchlanish holati ham chegaraviy bo'ladi.

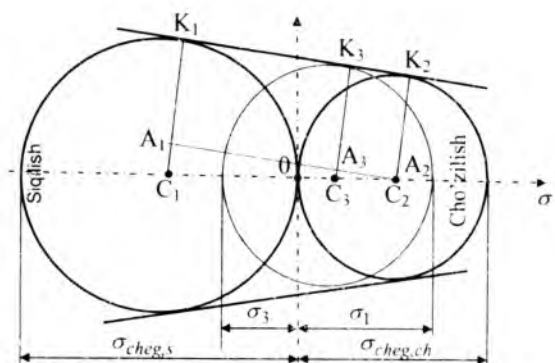
4.18-chizmada bosh kuchlanishlarni turlicha bo'lgan chegaraviy doiralar to'plami punktir bilan tasvirlangan. Rasmdan ko'rinish turibdiki, o'rovchi egri chiziq kuchlanish holati ko'rinishiga qarab, bu kuchlanishlar orasidagi bog'lanishni aniqlaydi.

Turli kuchlanish holatlari turlicha bo'lgan chegaraviy doiralarini haqiqiy egri chiziqni olish mumkin emas, chunki buning uchun mazkur kuchlanish holatlari tajriba yo'li bilan tekshirish lozim bo'ladi. Shuning uchun amalda o'rovchi egri chiziqni cho'zilish va siqilishga o'tkazilgan tajriba natijalari asosida qurilgan ikkita bosh aylanaga urinib o'tuvchi to'g'ri chiziq bilan almashtiriladi (5-chizma). Bu to'g'ri chiziqlar mustahkamlik holatining chegaralari hisoblanadi. Shu bilan birga ular bosh doirasi bu to'g'ri chiziqlarga

urinadigan har qanday kuchlanish holatining  $\sigma_1$  va  $\sigma_3$  kuchlanishlari orasidagi chiziqli bog'lanishni belgilaydi:

$$\sigma_1 = a + b\sigma_3 \quad (4.116)$$

Ushbu (4.116) ifoda  $\Delta A_3C_3C_2$  va  $\Delta A_1C_1C_2$  uchburchaklar o'xshashligidan kelib chiquvchi oddiy geometrik nisbatlar asosida keltirib chiqariladi (4.19-chizma).



4.19-chizma. Bosh kuchlanishlari turlicha bo'lgan chegaraviy doiralarga urinib o'tuvchi to'g'ri chiziq

Bu uchburchaklar asosida quyidagi nisbatni yozish mumkin:

$$\frac{A_3C_3}{C_2C_3} = \frac{A_1C_1}{C_1C_2} \quad (4.117)$$

Bu yerda

$$\left. \begin{aligned} A_3C_3 &= K_3C_3 - K_2C_2 = \frac{\sigma_1 + |\sigma_3|}{2} - \frac{\sigma_{cheg,ch}}{2}; \\ C_2C_3 &= 0C_2 - 0C_3 = \frac{\sigma_{cheg,ch}}{2} - \frac{\sigma_1 - |\sigma_3|}{2}; \\ A_1C_1 &= K_1C_1 - K_2C_2 = \frac{|\sigma_{cheg,s}|}{2} - \frac{\sigma_{cheg,ch}}{2}; \\ C_1C_2 &= 0C_1 - 0C_2 = \frac{|\sigma_{cheg,s}|}{2} + \frac{\sigma_{cheg,ch}}{2}. \end{aligned} \right\} \quad (4.118)$$

(4.118) dagi qiymatlarni (4.116) ifodaga qo'yib, uncha murakkab bo'lмаган о'зgartirishlardan so'ng (4.115) ifodani olish

mumkin. So'nggi ifoda cho'zilish va siqilish holatlari uchun bir xil kuchga ega bo'lganligidan, istalgan  $\sigma_1$  va  $\sigma_3$  lar uchun yuqorida qayd qilingan o'zgartirishlarsiz  $a$  va  $b$  koeffitsiyentlarni aniqlash mumkin.

Cho'zilishda  $\sigma_3 = 0$ ,  $\sigma_1 = \sigma_{\text{cheg},\text{ch}}$  bo'lgani uchun, bu qiyatlarni (4.115) ifodaga qo'yib,  $a = \sigma_{\text{cheg},\text{ch}}$  ekanligini topamiz.

Siqilishda  $\sigma_1 = 0$ ,  $\sigma_3 = -\sigma_{\text{cheg},s}$  bo'lgani uchun  $\sigma_{\text{cheg},\text{ch}} - b\sigma_{\text{cheg},s} = 0$  tenglik hosil bo'ladi, bu tenglikdan koefitsiyentni  $b = -\frac{\sigma_{\text{cheg},\text{ch}}}{\sigma_{\text{cheg},s}}$  tengligi aniqlandi.

Aniqlangan bu koefitsiyentni (4.113) ifodaga qo'yib quyidagi tenglikni hosil qilamiz:

$$\sigma_1 - \frac{\sigma_{\text{cheg},\text{ch}}}{\sigma_{\text{cheg},s}} \sigma_3 = \sigma_{\text{cheg},\text{ch}}. \quad (4.119)$$

Mor mustahkamlik nazariyasi bo'yicha mustahkamlik sharti quyidagicha yoziadi:

$$\sigma_{ekv,M} = \sigma_1 - K\sigma_3 \leq \gamma_s R. \quad (4.120)$$

Bu yerda  $R$  – cho'zilishdagi hisobiy qarshilik;

$K = \frac{\sigma_{\text{cheg},\text{ch}}}{\sigma_{\text{cheg},s}}$  materialning cho'zilish va siqilishga qarshiligi turlicha ekanligini hisobga oluvchi koefitsiyent.

### Xulosa

- Agar tekis kuchlanganlik holatida  $K = 0$  ga teng bo'lsa, (4.120) formula birinchi nazariyaga to'g'ri keladigan natijani beradi;
- Agar  $K = \mu$  ga teng bo'lsa, ikkinchi nazariyaga to'g'ri keladigan natijani beradi;
- Agar  $K = 1$  ga teng bo'lsa, uchinchi nazariyaga to'g'ri keladigan natijani beradi va bosh doiralarga urinmalar o'qiga parallel o'tadi.

## Masalalar

**4.1-masala.** Elastik jismning biror nuqtasida quyidagi kuchlanish komponentlari beriigan:

$$\sigma_x = 50 \text{ MPa}; \sigma_y = 0; \sigma_z = -30 \text{ MPa}; \tau_{xy} = 50 \text{ MPa}; \tau_{yz} = -70 \text{ MPa}; \tau_{zx} = 8 \text{ MPa}.$$

Qiya yuza normali holatini aniqlovchi yo'naltiruvchi kosinuslari  $t = m = \frac{1}{2}$ ;  $n = \frac{1}{\sqrt{2}}$  bo'lgan yuzada to'la, normal va urinma kuchlar aniqlansin?

*Yechish.* Qiya yuzadagi to'la kuchlanishning tashkil etuvchilarini o'zaro perpendikulyar tekisliklardagi kuchlanishlar orqali (4.45) formuladan aniqlanadi:

$$X_v = 50 \cdot \frac{1}{2} + 50 \cdot \frac{1}{2} + 80 \cdot \frac{1}{\sqrt{2}} = 50 + \frac{80}{\sqrt{2}};$$

$$Y_v = 50 \cdot \frac{1}{2} + 0 \cdot \frac{1}{2} - 70 \cdot \frac{1}{\sqrt{2}} = 25 - \frac{70}{\sqrt{2}};$$

$$Z_v = 80 \cdot \frac{1}{2} - 70 \cdot \frac{1}{2} - 30 \cdot \frac{1}{\sqrt{2}} = 5 - \frac{30}{\sqrt{2}}.$$

To'la kuchlanishni (4.46) formuladan topamiz:

$$P_v = \sqrt{\left(50 + \frac{80}{\sqrt{2}}\right)^2 + \left(25 - \frac{70}{\sqrt{2}}\right)^2 + \left(5 - \frac{30}{\sqrt{2}}\right)^2} = 111 \text{ MPa}.$$

Normal kuchlanishni (4.47) formuladan aniqlaymiz:

$$\sigma_v = \left(50 + \frac{80}{\sqrt{2}}\right) \frac{1}{2} + \left(25 - \frac{70}{\sqrt{2}}\right) \frac{1}{2} + \left(5 - \frac{30}{\sqrt{2}}\right) \frac{1}{2} = 54 \text{ MPa}.$$

Urinma kuchlanishni (4.46) formuladan topamiz:

$$\tau_v = \sqrt{(111)^2 - (54)^2} = 97 \text{ MPa}.$$

**4.2-masala.** Jismning biror-bir nuqtasida quyidagi kuchlanish komponentlari ma'lum bo'lsa:

$$\sigma_x = 180 \text{ MPa}; \quad \sigma_y = 180 \text{ MPa}; \quad \sigma_z = -60 \text{ MPa};$$

$$\tau_{xy} = -60 \text{ MPa}; \quad \tau_{yz} = 120 \text{ MPa}; \quad \tau_{zx} = -60 \text{ MPa}.$$

Bosh kuchlanish qiymati va ularning yo'nalishlari aniqlansin.

*Yechish.*

1. Kuchlanish tensori  $J_{1\sigma}$ ;  $J_{2\sigma}$ ;  $J_{3\sigma}$  invariantlarini (4.59) formuladan aniqlaymiz:

$$J_{1\sigma} = \sigma_x + \sigma_y + \sigma_z = 180 + 180 - 60 = 300 \text{ MPa};$$

$$J_{2\sigma} = \sigma_x \sigma_y + \sigma_y \sigma_z + \sigma_z \sigma_x - \tau_{xy}^2 - \tau_{yz}^2 - \tau_{zx}^2 = \\ = 32400 - 10800 - 10800 - 3600 - 14400 - 3600 = -10800 \text{ (MPa)}^2;$$

$$J_{3\sigma} = \sigma_x \sigma_y \sigma_z + 2\tau_{xy}\tau_{yz}\tau_{zx} - \sigma_x \tau_{yz}^2 - \sigma_y \tau_{zx}^2 - \sigma_z \tau_{xy}^2 = \\ = -1944000 + 864000 - 2592000 - 648000 + 216000 = -4104000 \text{ (MPa)}^3.$$

2. Kub (4.64) tenglamaning koefitsiyentlarini (4.65) formuladan topamiz:

$$P = J_{2\sigma} - \frac{J_{1\sigma}^2}{3} = -10800 - \frac{(300)^2}{3} = -40800 \text{ (MPa)}^2;$$

$$q = -\frac{2}{27} J_{1\sigma}^3 + \frac{1}{3} J_{1\sigma} \cdot J_{2\sigma} - J_{3\sigma} = -\frac{2}{27} (300)^3 + \frac{1}{3} 300(-10800) - \\ - (-410400) = 1024000 \text{ (MPa)}^3;$$

$$\Delta = P^3 + q^2 = (-40800)^3 + (1024000)^2 = -66868736 \cdot 10^6 < 0.$$

bo'lgani uchun (4.64) kuch tenglamaning uchaia ildizi ham mavjud.

3. Kub (4.64) tenglamaning ildizlarini aniqlaymiz.

$$r = \pm 0,5774 \sqrt{|-40800|} = \pm 0,5774 \cdot 201,99009.$$

$$\cos \varphi = \frac{q}{2r^3} = \frac{1024000}{3172850} = 0,322738; \quad \varphi = 71^0 12'; \quad \frac{\varphi}{3} = 23^0 44';$$

$$\cos \frac{\varphi}{3} = \cos 23^0 44' = 0,9155;$$

$$\cos \left( 60^0 - \frac{\varphi}{3} \right) = \cos 36^0 16' = 0,8062; \quad \cos \left( 60^0 + \frac{\varphi}{3} \right) = \cos 83^0 44' = 0,1083.$$

ekanligini e'tiborga olib, (4.66) formuladan

$$Y_1 = -2r \cos 23^0 44' = -213,54782; \quad Y_2 = 2r \cos 36^0 16' = 188,05271;$$

$$Y_3 = 2r \cos 83^0 44' = 25,49541.$$

Kub tenglama yechimlarining to'g'riligini (4.70) formula yordamida tekshirib ko'ramiz.

$$-213,54782 + 188,05271 + 25,49541 = 0; \quad -213,54782 + 213,54782 = 0.$$

Bosh kuchlanishlarni (4.69) formuladan topamiz.

$$\sigma^I + Y_1 + \frac{J_{1\sigma}}{3} = -213,54782 + 100 = -113,54782$$

$$\sigma^{II} + Y_2 + \frac{J_{1\sigma}}{3} = 188,05271 + 100 = 288,05271$$

$$\sigma^{III} + Y_3 + \frac{J_{1\sigma}}{3} = 25,49511 + 100 = 125,49511$$

Bu kuchlanishlarni  $\sigma_1 > \sigma_2 > \sigma_3$  bilan belgilash asosida quyidagicha yozish mumkin:

$$\sigma_1 = 288,05272 \text{ MPa}; \sigma_2 = 125,49511 \text{ MPa}, \quad \sigma_3 = -113,54782 \text{ MPa}$$

Kub (4.64) tenglama ildizlarining to'g'riligini (4.68) formula yordamida tekshiramiz:

$$A. \quad 300 = 288,05272 + 125,49514 - 113,54782; \quad 300 = 300.$$

$$B. \quad -10800 = 288,05272 \cdot (125,4954) + 125,49511 \cdot (-113,54782) + \\ + (-113,54782) \cdot (288,05272); \quad -10800 = -10809,39.$$

$$\text{xatosi } \frac{10800 - 10809,39}{10800} \cdot 100\% = 0,087\%.$$

$$V. \quad -4104000 = 288,05272(-113,54782) + 125,49514(-4104000) = -4104664$$

$$\text{xatosi } \frac{4104000 - 4104664}{4104000} \cdot 100\% = 0,018\%.$$

4. Bosh tekisliklarning yo'naltiruvchi kosinuslarini topamiz.

Buning uchun (4.61) tenglamaning ikkitasiga navbat bilan  $\sigma_1, \sigma_2, \sigma_3$  kuchlanishlarning qiymatini qo'yamiz va uchinchi tenglama sifatida (4.62)ni ishlamatamiz.

$$(180 - 288,05272)l_1 + (-60)m_1 + (-60)n_1 = 0;$$

$$(-60)l_1 + (180 - 288,05272)m_1 + 120n_1 = 0; \quad l_1^2 + m_1^2 + n_1^2 = 1.$$

Bu tenglamalar sistemasining yechimlari:

$$l_1 = 0,59611, \quad m_1 = -0,72171, \quad n_1 = -0,35181.$$

Yo'naltiruvchi kosinuslar  $l_2, m_2, n_2$  topamiz.

$$(180 - 125,49511)l_2 + (-60)m_2 + (-60)n_2 = 0;$$

$$(-60)l_2 + (180 - 125,49511)m_2 + 120n_2 = 0;$$

$$l_2^2 + m_2^2 + n_2^2 = 1.$$

Bu tenglamalar sistemasining yechimlari:

$$l_2 = 0,79415, \quad m_2 = 0,59426, \quad n_2 = 0,12715.$$

Tekshirish:

$$l_1 l_2 + m_1 m_2 + n_1 n_2 = 0; \quad 0,47341 - 0,42888 - 0,04473 = 0; \quad 0,00022 \approx 0.$$

Xuddi shuningdek qolgan yo'naltiruvchi kosinuslar ham topiladi.

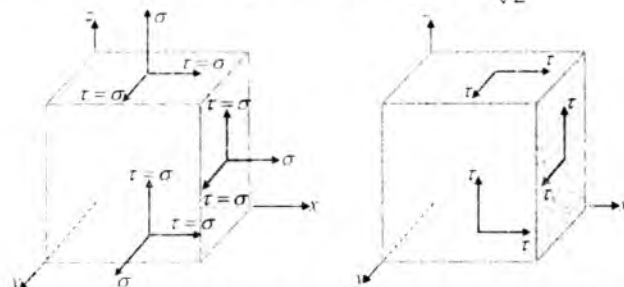
**4.3-masala.** 4.20-chizmada ko'rsatilgan parallelepipedning tomonlaridagi kuchlanish komponentlari bir-biriga teng, ya'ni  $\sigma_x = \sigma_y = \sigma_z; \tau_{xy} = \tau_{yz} = \tau_{zx} = \sigma$  bo'lsa, bosh kuchlanishlar aniqlansin.

Javobi:  $\sigma_1 = 3\sigma; \sigma_2 = \sigma_3 = 0$ .

Ko'rsatma. Kuchlanish tenzorining invariantlari  $J_1, J_2, J_3$  topilib (4.64) kub tenglamaga qo'yilsin va u tenglama yechilsin.

**4.4-masala.** 4.21-chizmada ko'rsatilgan kuchlanish holati uchun bosh kuchlanishlar aniqlansin?

Javobi:  $\sigma_1 = 2\tau; \sigma_2 = \sigma_3 = -\tau; I_1 = m_1 = n_1 = \frac{1}{\sqrt{2}}$ .



4.20-chizma. Hajmiy kuchlanish holatidagi parallelepiped.

4.21-chizma. Tekis kuchlanish holatidagi parallelepiped.

**4.5-masala.** Jismning ma'lum bir nuqtasida quyidagi kuchlanishlar sistemasi berilgan:

$$\sigma_x = 50 \text{ MPa}; \quad \sigma_y = 0; \quad \sigma_z = 110 \text{ MPa},$$

$$\tau_{xy} = 30 \text{ MPa}; \quad \tau_{yz} = -30 \text{ MPa}; \quad \tau_{zx} = -80 \text{ MPa}.$$

Koordinata o'qlariga nisbatan yo'naltiruvchi kosinuslari bir-biriga teng bo'lgan qiya yuzadagi to'la, normal va urinma kuchlanishlar topilsin.

Javobi: Qaratayotgan yuza kuchlanishlardan holi.

**4.6-masala.** Jismning ma'lum bir nuqtasida quyidagi kuchlanishlar sistemasi berilgan:

$$\sigma_x = \sigma_y = 50 \text{ MPa}; \quad \sigma_z = -100 \text{ MPa}; \quad \tau_{xy} = \tau_{yz} = \tau_{zx} = 0.$$

Shu nuqtadan o'tuvchi oktaedrik yuzalardagi to'la, normal va urinma kuchlanishlar topilsin.

Javobi:

$$\sigma_1 = \sigma_2 = 50 \text{ MPa}; \quad \sigma_3 = -100 \text{ MPa}; \quad \sigma_{okt} = 0; \quad \tau_{okt} = 50\sqrt{2} \text{ MPa}.$$

**4.7-Masala.** Agar  $\sigma_y = 100\sqrt{3}$  deb qabul qilinsa, 4-masalaning javobi qanday o'zgaradi?

$$\text{Javobi: } P_v = 100 \text{ MPa}; \quad \sigma_v = 100/\sqrt{3} \text{ MPa}; \quad \tau_v = \sigma_v \cdot \sqrt{2}.$$

**4.8-masala.** Jismning biror-bir nuqtasida kuchlanish tenzori ma'lum bo'lsa:

$$T_\sigma = \begin{vmatrix} 10 & 0 & 15 \\ 0 & 20 & -15 \\ 15 & -15 & 0 \end{vmatrix}$$

Uni kuchlanishlarning shar tenzori hamda deviatoriga ajratilsin va kuchlanish deviatori ikkinchi invarianti hisoblansin.

$$\text{Javobi: } J_{2D\sigma} = -55 \text{ MPa}.$$

**4.9-masala.** Jismning ma'lum bir nuqtasida kuchlanish tenzori birinchi invarianti  $J_{1\sigma} = 30 \text{ MPa}$  va kuchlanish deviatori berilgan:

$$D_\sigma = \begin{pmatrix} 0 & 0 & -15 \\ 0 & 10 & 15 \\ -15 & 15 & -10 \end{pmatrix}$$

Shu nuqtadagi bosh kuchlanishlarni topish uchun asosiy tenglama tuzilsin.

**4.10-masala.** Jismning biror-bir nuqtasida quyidagi kuchlanishlar komponentlari ma'lum bo'lsa:

$$\sigma_x = 20 \text{ MPa}; \quad \sigma_y = 15 \text{ MPa}; \quad \sigma_z = 60 \text{ MPa};$$

$$\tau_{xy} = 10 \text{ MPa}; \quad \tau_{yz} = 20 \text{ MPa}; \quad \tau_{zx} = -10 \text{ MPa}.$$

Bosh kuchlanishlar  $\sigma_1, \sigma_2, \sigma_3$  qiymati aniqlansin.

$$\text{Javobi: } \sigma_1 = 68,86 \text{ MPa}; \quad \sigma_2 = 26,14 \text{ MPa}; \quad \sigma_3 = 0.$$

**4.11-masala.** Jismning biror-bir nuqtasida quyidagi kuchlanishlar komponentlari ma'lum bo'lsa:

$$\sigma_x = 6 \text{ MPa}; \quad \sigma_y = 9 \text{ MPa}; \quad \sigma_z = 0;$$

$$\tau_{xy} = -2 \text{ MPa}; \quad \tau_{yz} = \tau_{zx} = 0.$$

Bosh kuchlanishlar  $\sigma_1, \sigma_2, \sigma_3$  qiymati va ularning yo'nalishlari, ya'ni yo'naltiruvchi kosinuslari aniqlansin. Bosh urinma kuchlanishlar qiymati aniqlansin.

Javobi:

$$\sigma_1 = 10 \text{ MPa}; \sigma_2 = 5 \text{ MPa}; \sigma_3 = 0;$$

$$l_1 = 0,447; m_1 = 0,894; n_1 = 0;$$

$$l_2 = 0,894; m_2 = 0,447; n_2 = 0;$$

$$l_3 = 0; m_3 = 0; n_3 = 1;$$

$$\tau_{\max} = 5 \text{ MPa}; \tau_{\min} = \tau_{12} = \tau_{23} = 2,5 \text{ MPa}.$$

**4.12-masala.** Oktaedrik urinma kuchlanishlarning kvadrati, kuchlanishlar deviatorining ikkinchi invariantini ( $-2/3$ ) songa ko'paytmasiga teng ekanligi ko'rsatilsin.

$$\tau_{okt}^2 = -\frac{2}{3} J_{2D\sigma}.$$

**4.13-masala.** Oktaedrik urinma kuchlanishning kvadrati, kuchlanish tensorining birinchi va ikkinchi invariantlari orqali quyidagicha yozilishi ko'rsatilsin.

$$\tau_{okt}^2 = \frac{2}{9} [J_{1\sigma}^2 - 3J_{2\sigma}].$$

**4.14-masala.** Bosh o'qlarda yozilgan (ya'ni  $S_1 = \sigma_1 - \sigma_{o'r}, \dots$ ), kuchlanishlar deviatorining komponentlarini, kuchlanish intensivligi orqali quyidagicha yozish mumkinligi isbotlansin.

$$S_1 = \frac{2}{3} \sigma_i \cos\left(\omega_\sigma - \frac{\pi}{3}\right); \quad S_2 = \frac{2}{3} \sigma_i \cos\left(\omega_\sigma + \frac{\pi}{3}\right);$$

$$S_3 = -\frac{2}{3} \sigma_i \cos \omega_\sigma;$$

$$\cos 3\omega_\sigma = \frac{27}{2} \frac{J_{3D\sigma}}{\sigma_i^3}; \quad \text{yoki} \quad \sqrt{3} \operatorname{tg} \omega_\sigma = -\frac{S_1 - S_2}{S_3}.$$

**4.15-masala.** Umumlashgan Guk qonuni va nisbiy hajmiy deformatsiyadan foydalanib, hajmiy Guk qonuni  $\sigma_{o'r} = K\theta$  ekanligini toping.

**4.16-masala.** Izotrop jism uchun umumlashgan Guk qonunidan foydalanib hajmiy o'zgarish qonunini va po'lat namunanining oddiy

chozilishdagi hajmi risbiy deformatsiyasini aniqlang. Namuna uchun  $[\sigma] = 160 \text{ MPa}$ ;  $E = 2 \cdot 10^5 \text{ MPa}$ ;  $\mu = 0,25$ .

Javobi:  $\theta = 4 \cdot 10^{-4}$ .

**4.17-masala.** Tekis kuchlanganlik holati uchun umumlashgan Guk qonuning teskari ifodasi aniqlansin.

**4.18-masala.** Hajmiy kuchlanganlik holatidagi element uchun  $\sigma_1 = 100 \text{ N/sm}^2$ ;  $\sigma_2 = 120 \text{ N/sm}^2$ ;  $\sigma_3 = 300 \text{ N/sm}^2$ ;

$$E = 1 \cdot 10^7 \text{ N/sm}^2; \mu = 0,32.$$

Bosh deformatsiyalar aniqlansin.

**4.19-masala.** Alyuminiydan yasalgan elementar kubik absolyut qattiq ikkita qo'zg'almas devor orasiga joylashtirilib, ustki va ostki tomonlari yuzasi bo'yicha tekis taralган  $q = 8 \cdot 10^7 \text{ N/m}^2$  kuch ta'sir etadi. Berilganlar  $E = 0,7 \cdot 10^{11} \text{ N/m}^2$ ;  $\mu = 0,32$ .

Bosh kuchlanishlar va deformatsiyalar aniqlansin.

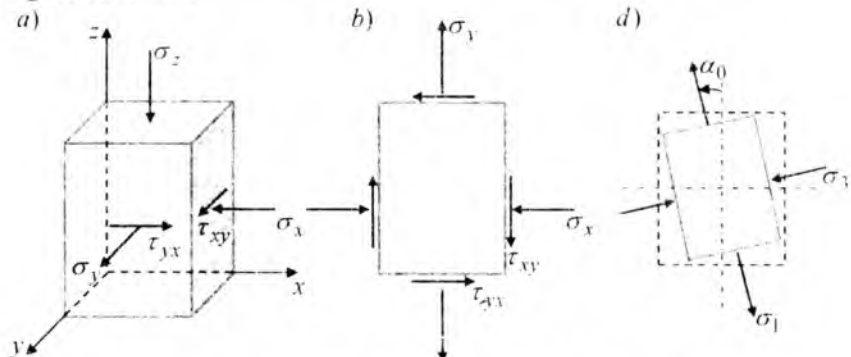
$$\sigma_1 = -24 \cdot 10^6 \text{ N/m}^2; \sigma_2 = 0; \sigma_3 = -8 \cdot 10^{11} \text{ N/m}^2.$$

Javobi:  $\varepsilon_1 = 0$ ;  $\varepsilon_2 = 4,4 \cdot 10^{-5} \text{ N/sm}^2$ ;  $\varepsilon_3 = -118,3 \cdot 10^{-5}$ .

**4.20-masala.** Kulrang SCH25 cho'yandan yasalgan konstruksiyaning xavfli kesimidan ajratib olingan elementning tomonlariga kuchlanishlar

$$\sigma_x = -30 \text{ MPa}; \sigma_y = 50 \text{ MPa}; \sigma_z = -70 \text{ MPa}; \tau_{xy} = 20 \text{ MPa};$$

$\tau_{xz} = -20 \text{ MPa}$  ta'sir etadi (4.22-chizma). Elementning mustahkamligi tekshirilsin.



4.22-chizma. Konstruksiya elementining kuchlanganlik hotati

*Yechish.* Masalaning shartidan ko'rinadiki, normali  $\varepsilon$  o'qiga parallel bo'lgan yuzada urunma kuchlanish bo'limganligi sababli bu yuza bosh yuza bo'ladi (4.22,a-chizma). Koordinata tekisligidagi  $x_0z$  ikkita yuzaning kuchlanganlik holatini o'rganib chiqamiz (4.22,b-chizma).

Bu yuzalardagi bosh kuchlanishlarni aniqlaymiz:

$$\sigma_{\max} = \frac{\sigma_x + \sigma_y}{2} \pm \sqrt{\left(\frac{\sigma_x - \sigma_y}{2}\right)^2 + \tau_{xy}^2} = \frac{-30 + 50}{2} \pm \sqrt{\left(\frac{-30 - 50}{2}\right)^2 + 20^2}$$

Bundan

$$\sigma_{\max} = 10 + 44,7 = 54,7 \text{ MPa}; \sigma_{\min} = 10 - 44,7 = -34,7 \text{ MPa}$$

Demak, bosh kuchlanishlar quyidagiga teng bo'ladi:

$$\sigma_1 = 54,7 \text{ MPa}; \sigma_2 = -34,7 \text{ MPa}; \sigma_3 = -70 \text{ MPa}.$$

Aniqlangan natijalarning to'g'rilingini normal kuchlanishlar yig'indilarining tenglik shartidan foydalanib tekshirib ko'ramiz:

$$\sigma_x + \sigma_y + \sigma_z = \sigma_1 + \sigma_2 + \sigma_3 = \text{const};$$

$$-30 + 50 - 70 = 54,7 - 34,7 - 70; -50 = -50; 0 = 0.$$

Bosh yuzalar holatini aniqlaymiz:

$$\operatorname{tg} 2\alpha_0 = -\frac{2\tau_{xy}}{\sigma_x - \sigma_y} = -\frac{2 \cdot 20}{-30 - 50} = 0,5; 2\alpha_0 = 26,6^0; \alpha_0 = 13,3^0.$$

Aniqlangan burchak musbat bo'lganligi uchun soat millari yo'naliishiga teskari tomonga qaralayotgan  $x_0z$  tekislikda berilgan katta normal kuchlanish yo'naliishidan o'lchab qo'yiladi, ya'ni  $\sigma_y$  yo'naliishidan (4.22,d-chizma) mustahkamlikka tekshirish.

Mo'rt materiallar uchun ehtiyyotlik koeffitsiyentini  $n_b = 2,5 \div 5$  orasida ekanligi tavsiya etilgan. Cho'yan uchun ehtiyyotlik koeffitsiyentini  $n_b = 3$  teng deb tanlab olamiz. Cho'yan cho'zilishga va sifilishga turliha qarshilik ko'rsatganligi uchun ruxsat etilgan kuchlanishlari quyidagiga teng:

$$[\sigma_{ch}] = \frac{\sigma_{V, ch}}{n_v} = \frac{250}{3} = 83 \text{ MPa}; [\sigma_{sq}] = \frac{\sigma_{V, sq}}{n_v} = \frac{980}{3} = 327 \text{ MPa}.$$

Birinchi mustahkamlik nazarasiaga asosan:

$$\sigma_{ckv, I} = \sigma_1 = 54,7 \text{ MPa} < 83 \text{ MPa};$$

$$\sigma_{ckv, I} = \sigma_3 = -70 \text{ MPa} < 327 \text{ MPa}.$$

Demak, mustahkamlik ta'minlangan.

Ikkinci mustahkamlik nazariyasiga asosan:

$$\sigma_{ekv,II} = \sigma_1 - \mu(\sigma_2 + \sigma_3) = 54,7 - 0,25 \cdot (-34,7 - 70) = 80,9 \text{ MPa} < 83 \text{ MPa}$$

$$\sigma_{ekv,II} = \sigma_3 - \mu(\sigma_1 + \sigma_2) = -70 - 0,25 \cdot (54,7 - 34,7) = -75 \text{ MPa} < 327 \text{ MPa}$$

Demak, mustahkamlik ta'minlangan.

Uchinchi mustahkamlik nazariyasiga asosan:

$$\sigma_{ekv,III} = \sigma_1 - \sigma_3 = 54,7 - (-70) = 124,7 \text{ MPa} < 83 \text{ MPa}$$

Demak, mustahkamlik ta'minlanmagan.

To'rtinchi mustahkamlik nazariyasiga asosan:

$$\begin{aligned}\sigma_{ekv,IV} &= \sqrt{\frac{1}{2}[(\sigma_1 - \sigma_2)^2 + (\sigma_2 - \sigma_3)^2 + (\sigma_3 - \sigma_1)^2]} = \\ &= \sqrt{\frac{1}{2}[(54,7 + 34,7)^2 + (-34,7 + 70)^2 + (-70 - 54,7)^2]} = 11 \text{ MPa} > 83 \text{ MPa}.\end{aligned}$$

O'Mor mustahkamlik nazariyasiga asosan:

$$\sigma_{ekv,V} = \sigma_1 - \frac{\sigma_{v, ch}}{\sigma_{v, sq}} \sigma_3 = 54,7 - \frac{250}{980} (-70) = 72,6 \text{ MPa} < 83 \text{ MPa}.$$

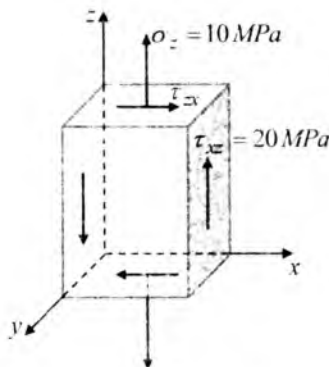
Demak, mustahkamlik ta'minlanmagan.

## Xulosa

1. Mo'rt materialdan yasalgan elementni mustahkamlik nazariyalari turli variantlari bilan hisoblab tekshirish bajarildi.

2. To'rtinchi va uchinchi mustahkamlik nazariyalari natijalaridan ko'rindik, bu mustahkamlik nazariyalari bajarilmadi, chunki bu nazariyalarni odatda plastik materiallarni tekshirishda qo'l laniladi.

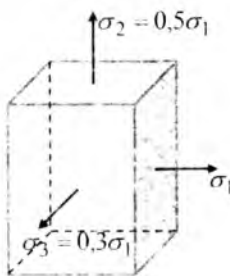
*4.21-masala.* Cho'yan konstruksiyadan ajratib olingan elementning mustahkamligi birinchi va Mor nazariyalari bilan tekshirilsin, xavfli nuqtasi kuchlanganlik holati 4.23-chizmada ko'rsatilgan. Ruxsat etilgan kuchlanish  $[\sigma_{ch}] = 35 \text{ MPa}$  ga, materialning cho'zilish va siqilishga qarshiligi turlicha ekanligini hisobga oluvchi koefitsiyenti  $K = 0,29$  ga teng.



4.23-chizma. Tekis kuchlanganlik holatidagi element

4.22-masala. Energetik va klassik mustahkamlik nazariyalari, shuningdek Mor nazariyasidan foydalanib, 4.24-chizmada ko'rsatilgan parallelepiped kuchlanganlik holati uchun  $\sigma_1$  kuchlanishning ruxsat etilgan qiymatini aniqlang.

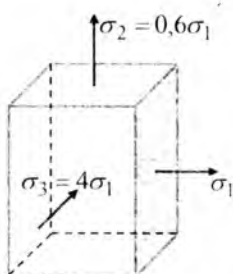
Berilganlar: ruxsat etilgan kuchlanish cho'zilishda  $[\sigma_{ch}] = 6000 \text{ N/sm}^2$ , siqilishda  $[\sigma_{sq}] = 18000 \text{ N/sm}^2$ ,  $\mu = 0,25$  Puasson koeffitsiyenti.



4.24-chizma. Hajmiy kuchlanish holatidagi parallelepiped.

4.23-masala. Birinchi va ikkinchi mustahkamlik nazariyalari hamda Mor mustahkamlik nazariyasidan foydalanib, 4.25-chizmada ko'rsatilgan parallelepiped kuchlanganlik holati uchun  $\sigma_1$  kuchlanishning ruxsat etilgan qiymatini aniqlang.

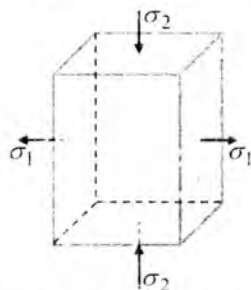
Berilganlar: ruxsat etilgan kuchlanish cho'zilishda  $[\sigma_{ch}] = 6000 \text{ N/sm}^2$ , siqilishda  $[\sigma_{sq}] = 18000 \text{ N/sm}^2$ ,  $\mu = 0,25$ . Puasson koefitsiyenti.



4.25-chizma. Parallelepipedga turli ishorali kuchlanishlar ta'siri

Javobi:  $\sigma_1 = 2570 \div 4500 \text{ N/sm}^2$ .

4.24-masala. Tashqi kuch ta'sirida kuchlanganlik holatida bo'lgan po'lat konstruksiyadan ajratib olingan elementar parallelepiped (4.26-chizma) tomoniga qo'yilgan kuchlanish  $\sigma_1 = 16000 \text{ N/sm}^2$  bilan cho'zilsa, material oquvchanlik chegarasi hosil bo'lishi uchun siquvchi  $\sigma_2$  kuchlanishning qiymatida qanchaga teng bo'lishi aniqlansin. Oquvchanlik chegarasi  $\sigma_{eq} = 22000 \text{ N/sm}^2$ .



4.26-chizma. Tekis kuchlanganlik holatidagi parallelepiped.

Javobi:  $\sigma_2 = -9000 \text{ N/sm}^2$ .

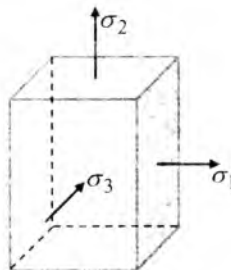
*4.25-masala.* Elementar parallelepiped tomonlariga kuchlanish  $\sigma_1 = 12000 \text{ N/sm}^2$  va  $\sigma_2 = -9000 \text{ N/sm}^2$  ta'sir etadi (4.26-chizma). Bu kuchlanishlар materialning oquvchanlik chegarasiga yetish uchun ularni ko'paytirish lozim bo'lgan koeffitsiyentni aniqlang. Oquvchanlik chegarasi  $\sigma_{eq} = 25000 \text{ N/sm}^2$ .

Javobi:  $n_{eq} = 1,47$ ;  $n_{eq} = 1,66$ .

*4.26-masala.* 4.26-chizmada ko'rsatilgan elementga bosh kuchlanish  $\sigma_1 = 50 \text{ Mn/m}^2$  va  $\sigma_2 = -100 \text{ Mn/m}^2$  ta'sir etganda, uning materiali mustahkamlikka uchinchi va energetik mustahkamlik nazariyalari bo'yicha tekshirilsin. Materialning cho'zilish va siqilishdagi ruxsat etilgan kuchlanishi  $[\sigma] = 160 \text{ Mn/m}^2$ .

Javobi: Mustahkamlik nazariyalarini qanoatlantiradi.

*4.27-masala.* 4.27-chizmada keltirilgan cho'yan elementning mustahkamlik uchun ehtiyoitlik koeffitsiyentini aniqlansin, agar chegaraviy (xavfli) nuqtada bosh kuchlanishlar  $\sigma_1 = 32 \text{ Mn/m}^2$ ;  $\sigma_2 = 0$ ;  $\sigma_3 = -56 \text{ Mn/m}^2$  ga teng bo'lsa. Cho'yan materiali mustahkamlik chegarasi  $\sigma_{m, ch} = 150 \text{ Mn/m}^2$  cho'zilishda,  $\sigma_{m, sq} = 580 \text{ Mn/m}^2$  siqilishda va materialning cho'zilish va siqilishga qarshiligi turlicha ekanligini hisobga oluvchi koeffitsiyenti  $K = \frac{\sigma_{m, ch}}{\sigma_{m, sq}} = \frac{150}{580} = 0,26$  ga teng.



*4.27-chizma.* Hajmiy kuchlanganlik holatidagi cho'yan element.

## Tayanch iboralari:

Bosh kuchlanishlar, ekstremal urinma kuchlanishlar, oktaedrik kuchlanishlar, kuchlanishiarni belgilash, ishoralari, tashqi kuchlar, deformatsiya, ichki zo'riqishlar, nuqta kuchlanganlik holati, parallelepiped, elementar yuza, to'la kuchlanish, normai va urinma kuchlanishlar, tashkil etuvchilar, ikki indeksli belgilash, musbat, mansiy, koordinata o'qlari, kuchlanganlik holati, o'zaro perpendikulyar, to'qqizta kuchlanish komponentlari, matritsa, kuchlanishlar tenzori, shar tenzor va deviator, jismning hajmi, jismning shakli o'zgaradi, og'ma yuza normali, yo'naltiruvchi kosinuslar, oktaedrik yuza, kuchlanish intensivligi, oktaedrik urinma kuchlanish, maksimal va minimal urinma kuchlanishlar, kubik tenglama, haqiqiy yechimlari, kuchlanish tensorining birinchi, ikkinchi va uchinchi invariantlari, kuchlanishlarning shar tenzori va deviatori invariantlari, tenglamani yechishning ikki usuli, tenglamaning o'ng tomonini ko'p hadga ajratish usuli, trigonometrik usul, diskriminant mansiy, kubik tenglamaning uchala haqiqiy ildizi, yo'naltiruvchi kosinuslar, bosh kuchlanishlar vektorlarining ortogonalligi, urinma kuchlanishlarning justlik qonuni.

Kuchlanishlar nazariyasi, deformatsiya nazariyasi, kuchlanish komponentlari, deformatsiya komponentlari, bog'lanish, R.Guk qonuni, fizik qonun, qurilma materiallari, chiziqli bog'lanish, proporsionallik chegarasi, klassik elastik nazariyada jism materiali bir jinsli, yo'nalishlar, xususiyatlar, anizotrop jismlar, jismning elastiliklik xususiyati, koeffitsiyentlar, matritsa, simmetrik matritsa, o'zaro perpendikulyar, uchta tekisliklar, ortotrop jismlar, yigirma bitta, to'qqizta, nisbiy bo'ylama deformatsiyalar, urinma kuchlanishlar, nisbiy burchak deformatsiyalar, ikki guruhga ajraladi, elastiklik modullar, koordinata o'qlari, Puasson koeffitsiyentlari, normal kuchlanish, nisbiy ko'ndalang deformatsiya, jism materiali izotrop, koeffitsiyentlar soni uchta, Guk qonuning teskari ifodasi, deformatsiyalanuvchi qattiq jismlar, hajmiy kengayish moduli, Lyame koeffitsiyentlari, bosh kuchlanishlar va bosh deformatsiyalar.

### **Test savollar:**

Bu 30 ta test savollar 4.1–4.7-paragraflar bo'yicha tuzilgan:

#### **1. Murakkab kuchlanish holati necha turga bo'linadi?**

- uch;      to'rt;      ikki;      oltita.

#### **2. Murakkab kuchlanish holatining qanday turlari mavjud?**

- chiziqli, tekis hamda hajmiy kuchlanganlik;
- cho'zilish (sivilish), buralish hamda egilish;
- elastik, plastik hamda oquvchanlik;
- cho'zilish (sivilish), siljish, buralish hamda egilish.

#### **3. Jism nuqtasining kuchlanganlik holati – bu:**

- mazkur nuqtadan o'tuvchi barcha yuzalarda hosil bo'ladigan kuchlanishlar to'plamidir;
  - mazkur nuqtadan o'tmaydigan barcha yuzalarda hosil bo'ladigan kuchlanishlar to'plamidir;
  - mazkur nuqtadan o'tuvchi barcha yuzalarda hosil bo'ladigan ko'chishlar to'plamidir;
  - mazkur nuqtadan o'tuvchi barcha yuzalarda hosil bo'ladigan ko'chishlar to'plamidir.

#### **4. Chiziqli kuchlanganlik holatida qiya kesimda normal kuchlanish ifodasi qaysi javobda to'g'ri keltirilgan?**

$$\sigma_{\alpha} = \sigma \cos^2 \alpha; \quad \tau_{\alpha} = \frac{\sigma}{2} \sin 2\alpha; \quad \sigma_{\alpha} = \tau \cos^2 \alpha; \quad \tau_{\alpha} = \tau \sin^2 \alpha.$$

#### **5. Chiziqli kuchlanganlik holatida qiya kesimda urinma kuchlanish ifodasi qaysi javobda to'g'ri keltirilgan?**

$$\tau_{\alpha} = \frac{\sigma}{2} \sin 2\alpha; \quad \sigma_{\alpha} = \frac{\sigma}{2} \cos 2\alpha; \quad \sigma_{\alpha} = \tau \cos 2\alpha; \quad \tau_{\alpha} = \frac{\tau}{2} \sin 2\alpha.$$

#### **6. Chiziqli kuchianganlik holatida qiya kesimda normal kuchlanishlar qaysi tekisliklarda maksimal qiymatiga erishadi?**

- sterjen o'qiga nisbatan 45 gradus ostida o'tgan yuzada  $\sigma_{\max} = \sigma$ ;

- sterjen o'qiga 90 gradus bo'lgan yuzada  $\sigma_{\max} = \sigma$ ;
- sterjen o'qiga 180 gradus bo'lgan yuzada  $\sigma_{\max} = \sigma$ ;
- sterjen o'qiga 60 gradus bo'lgan yuzada  $\sigma_{\max} = 2\sigma$ .

## **7. Urinma kuchlanishlar juftlik qonuni qanday ta'riflanadi?**

- jismning istalgan ikkita o'zaro perpendikulyar bo'lgan yuzachalarida urinma kuchlanishlar miqdor jihatidan o'zaro teng va qarama-qarshi yo'naladi;
  - jismning istalgan ikkita o'zaro parallel yuzachalarida urinma kuchlanishlar miqdor jihatidan o'zaro teng emas va qarama-qarshi yo'naladi;
  - urinma kuchlanish nisbiy siljish deformatsiyasiga to'g'ri proporsional bog'lanishda bo'ladi;
  - urinma kuchlanishlar to'sinlarning ko'ndalang kesimida ikkinchi tartibli egri chiziqli qonun asosida o'zgaradi.

## **8. Bosh yuzacha – bu:**

- jism nuqtasining ekstremal normal kuchlanishlari ta'sir etadigan yuzachalarda urinma kuchlanishlar nolga teng bo'lgan yuzachadir;
- nuqtasining ekstremal normal kuchlanishlari ta'sir etadigan yuzachalarda urinma kuchlanishlar ekstremal bo'lgan yuzachadir;
- nuqtasining ekstremal normal kuchlanishlari ta'sir etadigan yuzachalarda urinma kuchlanishlar eng katta qiymatiga teng bo'lgan yuzachadir;
- jism nuqtasining ekstremal kuchlanishlari ta'siridan yuzachalarda urinma kuchlanishlar eng kichik qiymatiga teng bo'lgan yuzachadir.

## **9. Bosh kuchlanishlar – bu:**

- bosh yuzachalarga ta'sir etuvchi normal kuchlanishlardir;
- tekis yuzachaga ta'sir etuvchi urinma kuchlanishlardir;
- qiya yuzachalarga ta'sir etuvchi normal va urinma kuchlanishlardir;
- urinma kuchlanish maksimal qiymatiga erishgandagi kuchlanishlardir.

## **10. Urinma kuchlanishlarning juftlik qonuni ifodasi qaysi javobda to‘g‘ri ko‘rsatilgan?**

$$\tau_{zy} = \tau_{yz}; \quad \sigma_{zy} = \sigma_{yz}; \quad E_{zy} = E_{yz}; \quad \beta_{zy} = \beta_{yz}.$$

## **11. Chiziqli kuchlangantlik holatida $\alpha = 45^0$ burchak ostidagi qiya kesimda normal va urinma kuchlanishlar nimaga teng bo‘ladi?**

$$\sigma_{45^0} = \frac{1}{2} \sigma, \quad \tau_{\max} = \frac{1}{2} \sigma; \quad \sigma_{45^0} = \frac{1}{2} \tau, \quad \tau_{45^0} = \frac{1}{2} \tau;$$

$$\sigma_{45^0} = \frac{1}{2} \sigma, \quad \tau_{45^0} = \frac{1}{2} \tau; \quad \sigma_{45^0} = \frac{1}{2} \sigma, \quad \tau_{\min} = \frac{1}{2} \tau.$$

## **12. Kuchlanish holatidagi elementga ta’sir qiluvchi $\sigma_{\max}$ bosh kuchlanish qanday yo‘nalgan bo‘ladi?**

- hamma vaqt  $\tau_{zy}, \tau_{yz}$  urinma kuchlanishlarning strelkalari uchrashadigan o‘qlarining ikki choragi orqali o‘tadi;
- hamma vaqt  $\tau_{zy}, \tau_{yz}$  urinma kuchlanishlarning strelkalari uchrashmaydigan o‘qlarining ikki choragi orqali o‘tadi;
- hamma vaqt  $\tau_{zy}, \tau_{yz}$  urinma kuchlanishlarning strelkalari paralel bo‘lgan o‘qlarining ikki choragi orqali o‘tadi;
- hamma vaqt  $\tau_{zy}, \tau_{yz}$  urinma kuchlanishlarning strelkalari uchrashadigan o‘qlarining bir choragi orqali o‘tmaydi.

## **13. Cho‘zilish va siqilishda sterjen uchun qanday shart bajarilganda mustahkam bo‘ladi?**

- sterjenning eng xavfli ko‘ndalang kesimida hosil bo‘lgan maksimal normal kuchlanish sterjen materiali uchun berilgan ruxsat etilgan normal kuchlanishdan ortib ketmaslik sharti bajarilganda;
- eng xavfli ko‘ndalang kesimida zo‘riqish kuchlarining miqdori manfiy yoki musbat bo‘lishi sharti bajarilganda;
- sterjenning eng xavfli ko‘ndalang kesimida hosil bo‘lgan maksimal normal ko‘chish sterjen materiali uchun berilgan ruxsat etilgan normal ko‘chishdan ortib ketmaslik sharti bajarilganda;
- ko‘ndalang kesim yuzasi normal kuchlanish juda ham katta bo‘lishi sharti bajarilganda.

#### **14. Mustahkamlik shartidan foydalanim qanday masalalar ni hal qilish mumkin?**

- qurilma ko'tara oladigan yukni aniqlash, ko'ndalang kesim yuzasini aniqlash, mustahkamlikni tekshirish;
- ruxsat etilgan kuchlanishni aniqlash, nisbiy qoldiq cho'zilishni aniqlash, ko'ndalang kesim yuzasini aniqlash;
- nisbiy ko'ndalang qisqarishni, nisbiy qoldiq cho'zilishni aniqlash, elastiklik modulini aniqlash;
- statik, fizik tomonini aniqlash, geometrik tomonini aniqlash.

#### **15. Cho'zilish va siqilishda ruxsat etilgan kuchlanish qanday qabul qilinadi?**

- ruxsat etilgan kuchlanish materialni sinashda aniqlangan xavfli chegaradagi kuchlanishdan bir necha marta kichik qilib olinadi  $[\sigma] = \sigma_{ch}/n$ ;
- ruxsat etilgan kuchlanish materialni sinashda aniqlangan ustuvorlik chegarasidan kichik qilib olinadi  $[\sigma] = \sigma_u/n$ ;
- ruxsat etilgan kuchlanish materialni sinashda aniqlangan elastiklik chegarasidan kichik qilib olinadi  $[\sigma] = \sigma_{el}/n$ ;
- ruxsat etilgan kuchlanish materialni sinashda aniqlangan proporsionallik chegarasidan kichik qilib olinadi  $[\sigma] = \sigma_{pr}/n$ .

#### **16. Cho'zilgan yoki siqilgan sterjen mustahkamlik sharti qaysi javobda to'g'ri ifodalangan?**

$$\sigma_{\max} = \frac{N_{\max}}{A} \leq [\sigma];$$

$$\sigma_{\min} = \frac{N_{\max}}{A} \leq [\sigma];$$

$$\sigma_{\max} = \frac{N_{\max}}{A} \geq [\sigma];$$

$$\sigma_{\min} = \frac{N_{\max}}{A} \geq [\sigma].$$

#### **17. Sterjenni mustahkamlikka tekshirish qaysi formula orqali amalga oshiriladi?**

$$\sigma_{\max} \leq [\sigma]; \quad \sigma_{\max} \geq [\sigma]; \quad \sigma_{\min} \leq [\sigma]; \quad \sigma_{\min} \geq [\sigma].$$

**18. Cho'zilgan yoki siqilgan sterjen ko'ndalang kesim o'l-chamlari qaysi formuladan aniqlanadi?**

$$A \geq \frac{N_{\max}}{[\sigma]} ; \quad A \leq \frac{N_{\max}}{[\sigma]} ; \quad A \geq \frac{N_{\min}}{[\sigma]} ; \quad A \leq \frac{N_{\min}}{[\sigma]} .$$

**19. Cho'zilgan yoki siqilgan sterjen ko'tara oladigan kuch qaysi formuladan aniqlanadi?**

$$N_{\max} \leq [\sigma]A ; \quad N_{\max} \geq [\sigma]A ; \quad N_{\min} \leq [\sigma]A ; \quad N_{\min} \geq [\sigma]A .$$

**20. Po'latdan yasalgan  $[\sigma] = 16 \cdot 10^7 N/sm^2$  kalta ustunga  $F = 160 \cdot 10^4 N$  yuk ta'sir etsa, kvadrat shaklidagi kesim tomonlari necha sm ga teng?**

$$a = 10^{-1} sm ; \quad a = 10^{-2} sm^2 ; \quad a = 10^{-4} sm^2 ; \quad a = 10^{-2} sm .$$

**21. Po'latdan yasalgan  $[\sigma] = 16 \cdot 10^7 N/sm^2$  kalta ustun ko'ndalang kesim yuzasi  $A = 50 sm^2$  bo'lsa, u ko'tara oladigan yuk qanchaga teng bo'ladi?**

$$F = 80 \cdot 10^8 N ; \quad F = 90 \cdot 10^9 N ; \quad F = 70 \cdot 10^7 N ; \quad F = 100 \cdot 10^9 N .$$

**22. Ko'ndalang kesim yuzasi  $A = 32 sm^2$  bo'lgan,  $F = 330 \cdot 10^5 N$  yuk bilan siqilgan yog'ochdan yasalgan  $[\sigma] = 10 \cdot 10^5 N/sm^2$  kalta ustun mustahkamligi ta'minlanganmi yoki yo'qmi?**

- ta'minlangan;
- ta'minlanmagan;
- yarim ta'minlangan;
- noma'lum.

**23. Cho'zilgan va siqilgan sterjen uchun qaysi bir javobda mustahkamligi ta'minlanganligi va material ko'p sarflanganligini ko'rsatadi?**

- maksimal normal va ruxsat etilgan kuchlanish orasidagi farq 5% dan kichik bo'lganda;
- maksimal normal va ruxsat etilgan kuchlanish orasidagi farq 5% dan katta bo'lganda;
- maksimal normal va ruxsat etilgan kuchlanish orasidagi farq +5% dan kichik bo'lganda;

– maksimal normal va ruxsat etilgan kuchlanish orasidagi farq +10% dan katta bo'lganda.

**24. Cho'zilgan va siqilgan sterjen uchun qaysi javobda mustahkamlik ta'minlanganligi ko'rsatilgan?**

– maksimal normal va ruxsat etilgan kuchlanish orasidagi farq +5% bo'lganda;

– maksimal normal va ruxsat etilgan kuchlanish orasidagi farq +5% dan katta bo'lganda;

– maksimal normal va ruxsat etilgan kuchlanish orasidagi farq 5% dan katta bo'ganda;

– maksimal normal va ruxsat etilgan kuchlanish orasidagi farq 10% dan katta bo'lganda.

**25. Siqilishda ruxsat etilgan kuchlanish mo'rt materiallar uchun qanday qabul qilinadi?**

– ruxsat etilgan kuchlanish materialni sinashda aniqlangan mustahkamlik chegaradagi kuchlanishdan bir necha marta kichik qilib olinadi  $[\sigma] = \sigma_{m.ch.} / n_m$ ;

– ruxsat etilgan kuchlanish materialni sinashda aniqlangan ustuvorlik chegarasidan kichik qilib olinadi  $[\sigma] = \sigma_{u.ch.} / n_u$ ;

– ruxsat etilgan kuchlanish materialni sinashda aniqlangan elastiklik chegarasidan kichik qilib olinadi  $[\sigma] = \sigma_{el.ch.} / n_{el}$ ;

– ruxsat etilgan kuchlanish materialni sinashda aniqlangan proporsionallik chegarasidan kichik qilib olinadi  $[\sigma] = \sigma_{pr.ch.} / n_{pr}$ .

**26. Cho'zilish va siqilishda ruxsat etilgan kuchlanish plastik materiallar uchun qanday qabul qilinadi?**

– ruxsat etilgan kuchlanish materialni sinashda aniqlangan oquvchanlik chegaradagi kuchlanishdan bir necha marta kichik qilib olinadi  $[\sigma] = \sigma_{oq.ch.} / n_{oq}$ ;

– ruxsat etilgan kuchlanish materialni sinashda aniqlangan ustuvorlik chegarasidan kichik qilib olinadi  $[\sigma] = \sigma_{u.ch.} / n_u$ ;

– ruxsat etilgan kuchlanish materialni sinashda aniqlangan elastiklik chegarasidan kichik qilib olinadi  $[\sigma] = \sigma_{el.ch.} / n_{el}$ ;

– ruxsat etilgan kuchlanish materialni sinashda aniqiangan proporcionallak chegarasidan kichik qilib olinadi  $[\sigma] = \sigma_{pr.ch.} / n_{pr.}$

**27. Ko'ndalang kesim yuzasi diametri 20 sm bo'lган yog'och ustunning siqilishida ko'tara oladigan yuk, siqilishdagi kuchlanish  $\sigma = 400 N/sm^2$  ortib ketmaganda qaysi javobda to'g'ri?**

$$N_{\max} = 125,6 kN;$$

$$N_{\max} = 421,6 kN;$$

$$N_{\max} = 103,6 kN;$$

$$N_{\max} = 215,6 kN$$

**28. Po'latdan yasalgan  $[\sigma] = 16 \cdot 10^7 N/sm^2$  kalta ustunga  $F = 502,4 \cdot 10^7 N$  yuk ta'sir etganda, doiraviy ko'ndalang kesimi diametri necha sm ga teng?**

$$d \approx 2,5 sm; \quad d \approx 3 sm; \quad a \approx 2 sm; \quad a \approx 4 sm.$$

**29. Materiali uchun berilgan ruxsat etilgan kuchlanish  $[\sigma] = 12 \cdot 10^7 N/sm^2$  kalta ustun ko'ndalang kesim yuzasi  $A = 40 sm^2$  bo'lsa, u ko'tara oladigan yuk qanchaga teng bo'ladi?**

$$F = 4,8 \cdot 10^9 N; \quad F = 48 \cdot 10^7 N; \quad F = 3 \cdot 10^7 N; \quad F = 300 \cdot 10^6 N.$$

**30. Sterjenning ko'ndalang kesimi – bu:**

- sterjen o'qiga perpendikulyar bo'lgan kesimdir;
- sterjen o'qiga parallel bo'lgan kesimdir;
- sterjen o'qiga birorta burchak ostida bo'lgan kesimdir;
- sterjen o'qiga ixtiyoriy bo'lgan kesimdir.

### **Test savollari:**

Bu 30 ta test savollar 4.8-paragraf bo'yicha tuzilgan:

**1. Kuchlanish – bu:**

- ichki zo'riqish kuchlari intensivligining yuza birligidagi miqdordir;
- tashqi kuchlari intensivligining yuza birligidagi miqdordir;

- yoyilgan tashqi kuchlari intensivligining yuza birligidagi miqdordir;
- vaqtincha ta'sir etuvchi kuchlar intensivligining yuza birligi-dagi miqdordir.

**2. To'la kuchlanishni qanday tashkil etuvchi kuchlanish-larga ajratish mumkin?**

- normal va urinma kuchlanishlarga;
- oktaedrik urinma kuchlanishlarga;
- maksimal va minimal kuchlanishlarga;
- ixtiyoriy kuchlanishlarga.

**3. Jismdan ajratib olingan parallelepipedning bir tomoniga nechta kuchlarishlar ta'sir etadi?**

- 3 ta;
- 4 ta;
- 2 ta;
- 6 ta.

**4. Normal va urinma kuchlanishlar qanday indekslar bilan belgilanadi?**

- normal kuchlanish bitta indeks, urinma kuchlanish ikkita indeks bilan;
- normal kuchlanish ikkita indeks, urinma kuchlanish bitta indeks bilan;
- normal kuchlanish ikkita indeks, urinma kuchlanish ikkita indeks bilan;
- normal kuchlanish bitta indeks, urinma kuchlanish bitta indeks bilan.

**5. Urinma kuchlanishlarning indekslari nimani bildiradi?**

- urinma kuchlanishning birinchi indeksi kuchlanish qaysi yuzada yotishini, ikkinchi indeksi esa kuchlanish qaysi o'qqa parallel yo'nalgaligini;
- urinma kuchlanishning ikki indeksi ham kuchlanish qaysi o'qqa parallel yo'nalgaligini;

– urinma kuchlanishning ikki indeksi ham kuchlanish qaysi yuzada yotishini,

– urinma kuchlanishning birinchi indeksi kuchlanish musbat yo'nalishini, ikkinchi indeksi esa kuchlanish manfiy yo'nalganligini.

## **6. Normal kuchlanishni musbat ishorasi qanday qabul qilingan?**

– normal kuchlanish cho'zuvchi bo'lsa, musbat;

– normal kuchlanish siquvchi bo'lsa, musbat;

– normal kuchlanish yuzaga qarab yo'nalgan bo'lsa, musbat;

– normal kuchlanish yuzaga parallel yo'nalgan bo'lsa, musbat.

## **7. Urinma kuchlanishni musbat ishorasi qanday qabul qilingan?**

– yuza normali koordinata o'qining musbat yo'nalishi bo'yicha yo'nalgan bo'lsa, musbat, urinma kuchlanishlar qolgan ikki koordinata o'qlarining musbat yo'nalishi bo'yicha yo'naladi;

– yuza normali koordinata o'qining manfiy yo'nalishi bo'yicha yo'nalgan bo'lsa, musbat, urinma kuchlanishlar ikki koordinata o'qlarining musbat yo'nalishi bo'yicha yo'naladi;

– yuza normali koordinata o'qining musbat yo'nalishi bo'yicha yo'nalgan bo'lsa, musbat, urinma kuchlanishlar ikki koordinata o'qlarining manfiy yo'nalishi bo'yicha yo'naladi;

– yuza normali koordinata o'qining manfiy yo'nalishi bo'yicha yo'nalgan bo'lsa, manfiy urinma kuchlanishlar ikki koordinata o'qlarining musbat yo'nalishi bo'yicha yo'naladi.

## **8. Jism nuqtasining kuchlanganlik holati – bu:**

– shu nuqtadan o'tuvchi barcha yuzalarda hosil bo'ladijan kuchlanishlar to'plamidir;

– shu nuqtadan o'tmaydigan barcha yuzalarda hosil bo'ladijan kuchlanishlar to'plamidir;

– shu nuqtadan o'tuvchi parallel yuzalarda hosil bo'ladijan kuchlanishlar to'plamidir;

– shu nuqtadan o'tuvchi perpendikulyar yuzalarda hosil bo'ladijan kuchlanishlar to'plamidir.

## **9. Jism nuqtalarining qanday kuchlanganlik holatlarini bilasiz?**

- oddiy cho'zilishi yoki siqilish, tekis kuchlanganlik, hajmiy kuchlanganlik holati;
- chiziqli, tekis kuchlanmaganlik, hajmiy kuchlanganlik holati;
- oddiy cho'zilishi yoki siqilish, siljish, buralishdagi kuchlanganlik holati;
- oddiy cho'ziliishi yoki siqilish, siljish, buralish va egilishdagi kuchlanganlik holati.

## **10. Bosh yuzalar – bu:**

- urinma kuchlanishlari nolga teng bo'lgan yuzalardir;
- urinma kuchlanishlari maksimumga teng bo'lgan yuzalardir;
- urinma kuchlanishlari minimumga teng bo'lgan yuzalardir;
- urinma kuchlanishlari ekstrimal bo'lgan yuzalardir.

## **11. Bosh kuchlanishlar – bu:**

- bosh yuzalarga ta'sir etayotgan kuchlanishlardir;
- bosh yuzalarga ta'sir etmayotgan kuchlanishlardir;
- bosh yuzalarga perpendikulyar bo'lgan yuzalardagi kuchlanishlardir;
- bosh yuzalarga ta'sir qilmayotgan kuchlardir.

## **12. Jismning ixtiyoriy nuqtasidagi kuchlanish holati nima bilan ifodalanadi?**

- shu nuqtadan o'tuvchi o'zaro perpendikulyar bo'lgan uchta tekislikda berilgan to'qqizta kuchlanish komponentlari orqali;
- shu nuqtadan o'tuvchi o'zaro perpendikulyar bo'lgan uchta tekislikda berilgan to'qqizta normal kuchlanish komponentlari orqali;
- shu nuqtadan o'tuvchi o'zaro perpendikulyar bo'lgan uchta tekislikda berilgan to'qqizta urinma kuchlanish komponentlari orqali;
- shu nuqtadan o'tuvechi o'zaro perpendikulyar bo'lgan uchta tekislikda berilgan to'qqizta oktaedrik kuchlanish komponentlari orqali.

**13. Jismdan ajratib olingan parallelepiped tomonlariga nechta kuchlanish omillari ta'sir etadi?**

- 9 ta; -- 12 ta; -- 3 ta; -- 6 ta.

**14. Kuchlanishlar tenzorini qanday tenzorlarga ajratish mumkin?**

- shar va deviator;
- invariant va intensiv;
- maksimal va minimal;
- kuchlanish va deformatsiya.

**15. Kuchlanishlar shar tenzorining ta'siri natijasida jismda qanday deformatsiya hosil bo'ladi?**

- jismning hajmi o'zgaradi;
- jismning shakli o'zgaradi;
- jismning xossasi o'zgaradi;
- jismning xususiyati o'zgaradi.

**16. Kuchlanishlar deviator tenzorining ta'siri natijasida jismda qanday deformatsiya hosil bo'ladi?**

- jismning shakli o'zgaradi;
- jismning hajmi o'zgaradi;
- jismning xususiyati o'zgaradi;
- jismning xossasi o'zgaradi.

**17. Tashqi normali  $v$  bo'lgan og'ma yuzadagi to'la kuchlanishlarning koordinata o'qlaridagi proyeksiyalari qanday formuladan aniqlanadi?**

$$X_v = \sigma_x l + \tau_{xy} m + \tau_{xz} n; Y_v = \tau_{yx} l + \sigma_y m + \tau_{yz} n; Z_v = \tau_{zx} l + \tau_{zy} m + \sigma_z n;$$

$$l = \cos(x, v), m = \cos(y, v), n = \cos(z, v);$$

$$\sigma_{okt} = \frac{1}{3}(\sigma_1 + \sigma_2 + \sigma_3); \sigma_{okt} = \frac{1}{3}(\sigma_x + \sigma_y + \sigma_z);$$

$$P_v^2 = \frac{1}{3}(\sigma_1^2 + \sigma_2^2 + \sigma_3^2);$$

## **18. Og‘ma yuzalarning holati qaysi biridan aniqlanadi?**

$$l = \cos(x, v), m = \cos(y, v), n = \cos(z, v);$$

$$X_v = \sigma_x l + \tau_{xy} m + \tau_{xz} n; Y_v = \tau_{yx} l + \sigma_y m + \tau_{yz} n; Z_v = \tau_{zx} l + \tau_{zy} m + \sigma_z n;$$

$$\sigma_{okt} = \frac{1}{3}(\sigma_1 + \sigma_2 + \sigma_3);$$

$$P_v^2 = \frac{1}{3}(\sigma_1^2 + \sigma_2^2 + \sigma_3^2)$$

## **19. Qiya yuzalardagi to‘la kuchlanish quyidagi formulalar yordamida aniqlanadi?**

$$P_v = \sqrt{X_v^2 + Y_v^2 + Z_v^2};$$

$$\sigma_v = X_v l + Y_v m + Z_v n;$$

$$\tau_v = \sqrt{P_v^2 - \sigma_v^2};$$

$$\sigma_{okt} = \frac{1}{3}(\sigma_x + \sigma_y + \sigma_z)$$

## **20. Qiya yuzalardagi normal kuchlanishni aniqlash formulasini ko‘rsating.**

$$\sigma_v = X_v l + Y_v m + Z_v n;$$

$$P_v = \sqrt{X_v^2 + Y_v^2 + Z_v^2};$$

$$\tau_v = \sqrt{P_v^2 - \sigma_v^2};$$

$$\sigma_{okt} = \frac{1}{3}(\sigma_x + \sigma_y + \sigma_z)$$

## **21. Qiya yuzalardagi urinma kuchlanish quyidagi qaysi formulalar yordamida aniqlanadi?**

$$\tau_v = \sqrt{P_v^2 - \sigma_v^2};$$

$$P_v = \sqrt{X_v^2 + Y_v^2 + Z_v^2};$$

$$\sigma_v = X_v l + Y_v m + Z_v n;$$

$$\sigma_{okt} = \frac{1}{3}(\sigma_x + \sigma_y + \sigma_z)$$

## **22. Bir xil burchak hosil qilib o‘tgan yuza – bu:**

– o‘zaro perpendikulyar bo‘lgan uchta bosh yuzaga nisbatan bir xil burchak hosil qilib o‘tgan yuzadir;

– o‘zaro parallel bo‘lgan uchta bosh yuzaga nisbatan bir xil burchak hosil qilib o‘tgan yuzadir;

– o‘zaro parallel va perpendikulyar bo‘lgan uchta bosh yuzaga nisbatan bir xil burchak hosil qilib o‘tgan yuzadir;

– o‘zaro ixtiyoriy burchak ostida bo‘lgan uchta bosh yuzaga nisbatan bir xil burchak hosil qilib o‘tgan yuzadir.

### 23. Jism kuchlanganlik holatining nechta invariantlari bor?

- 3 ta; - 9 ta; - 5 ta; - 6 ta

### 24. Oktaedrik normal kuchlanish quyidagi formulalarning qaysi biridan aniqlanadi?

$$\left\{ \sigma_{okt} = \frac{1}{3}(\sigma_1 + \sigma_2 + \sigma_3); \sigma_{okt} = \frac{1}{3}(\sigma_x + \sigma_y + \sigma_z) \right.$$

$$\left. \tau_{12} = \frac{\sigma_1 - \sigma_2}{2}, \tau_{23} = \frac{\sigma_2 - \sigma_3}{2}, \tau_{31} = \frac{\sigma_3 - \sigma_1}{2}, \right.$$

$$\tau_{okt} = \frac{1}{3} \sqrt{(\sigma_1 - \sigma_2)^2 + (\sigma_2 - \sigma_3)^2 + (\sigma_3 - \sigma_1)^2};$$

$$\tau_{okt} = \frac{1}{3} \sqrt{(\sigma_x - \sigma_y)^2 + (\sigma_y - \sigma_z)^2 + (\sigma_z - \sigma_x)^2 + 6(\tau_{xy}^2 + \tau_{yz}^2 + \tau_{zx}^2)};$$

$$\sigma_i = \frac{3}{\sqrt{2}} \tau_{okt} = \frac{1}{\sqrt{2}} \sqrt{(\sigma_x - \sigma_y)^2 + (\sigma_y - \sigma_z)^2 + (\sigma_z - \sigma_x)^2 + 6(\tau_{xy}^2 + \tau_{yz}^2 + \tau_{zx}^2)};$$

$$\tau_{okt} = \frac{1}{3} \sqrt{(\sigma_1 - \sigma_2)^2 + (\sigma_2 - \sigma_3)^2 + (\sigma_3 - \sigma_1)^2}$$

### 25. Normal kuchlanish orqali quyidagi formulaning qaysi biridan kuchlanish intensivligi aniqlanadi?

$$\sigma_i = \frac{3}{\sqrt{2}} \tau_{okt} = \frac{1}{\sqrt{2}} \sqrt{(\sigma_x - \sigma_y)^2 + (\sigma_y - \sigma_z)^2 + (\sigma_z - \sigma_x)^2 + 6(\tau_{xy}^2 + \tau_{yz}^2 + \tau_{zx}^2)};$$

$$\left\{ \sigma_{okt} = \frac{1}{3}(\sigma_1 + \sigma_2 + \sigma_3); \sigma_{okt} = \frac{1}{3}(\sigma_x + \sigma_y + \sigma_z) \right.$$

$$\left. \tau_{12} = \frac{\sigma_1 - \sigma_2}{2}, \tau_{23} = \frac{\sigma_2 - \sigma_3}{2}, \tau_{31} = \frac{\sigma_3 - \sigma_1}{2} \right.$$

$$\tau_{okt} = \frac{1}{3} \sqrt{(\sigma_1 - \sigma_2)^2 + (\sigma_2 - \sigma_3)^2 + (\sigma_3 - \sigma_1)^2};$$

$$\tau_{okt} = \frac{1}{3} \sqrt{(\sigma_x - \sigma_y)^2 + (\sigma_y - \sigma_z)^2 + (\sigma_z - \sigma_x)^2 + 6(\tau_{xy}^2 + \tau_{yz}^2 + \tau_{zx}^2)}$$

### 26. Bosh kuchlanishlarni aniqlash uchun kubik tenglamani qanday yechish usullari bor?

- ko‘paytuvchilarga ajratish, trigonometrik;
- bo‘luvchilarga ajratish, geometrik;
- bo‘linuvchilarga ajratish, trigonometrik;
- ko‘p hadlarga ajratish, simmetrik.

**27. Kub tenglama ildizlarining, ya'ni bosh kuchlanishlarning to'g'riligi quyidagi qaysi formulalarda tekshiriladi?**

$$\left\{ \begin{array}{l} \sigma_1 + \sigma_2 + \sigma_3 = \sigma_1 + \sigma_2 + \sigma_3; \\ \sigma_1 \sigma_2 + \sigma_1 \sigma_3 + \sigma_2 \sigma_3 - \tau_{12}^2 - \tau_{13}^2 - \tau_{23}^2 = \sigma_1 \sigma_2 + \sigma_1 \sigma_3 + \sigma_2 \sigma_3; \\ \sigma_1 \sigma_2 \sigma_3 + 2\tau_{12} \tau_{13} \tau_{23} - \sigma_1 \tau_{12}^2 - \sigma_2 \tau_{23}^2 - \sigma_3 \tau_{13}^2 = \sigma_1 \sigma_2 \sigma_3; \\ \sigma' = Y_1 + \frac{J_{1\sigma}}{3}; \quad \sigma'' = Y_2 + \frac{J_{2\sigma}}{3}; \quad \sigma''' = Y_3 + \frac{J_{3\sigma}}{3}; \\ J_{1\sigma} = \sigma_1 + \sigma_2 + \sigma_3; \\ J_{2\sigma} = \sigma_1 \sigma_2 + \sigma_2 \sigma_3 + \sigma_3 \sigma_1; \\ J_{3\sigma} = \sigma_1 \cdot \sigma_2 \cdot \sigma_3; \\ \sigma^3 - J_{1\sigma} \sigma^2 + J_{2\sigma} \sigma - J_{3\sigma} = 0; \end{array} \right.$$

**28. Maksimal urinma kuchlanish quyidagi qaysi formula dan aniqlanadi?**

$$\tau_{\max} = \frac{\sigma_1 - \sigma_3}{2}$$

$$\tau_{\max} = \frac{\sigma_1 - \sigma_2}{2}$$

$$\tau_{\max} = \frac{\sigma_1 + \sigma_2}{2}$$

$$\tau_{\max} = \frac{\sigma_2 - \sigma_3}{2}$$

**29. Urinma kuchlanishlarning juftlik qonuni qanday ta'riflanadi?**

– o'zaro perpendikulyar bo'lgan bir nuqtadan chiquvchi tekisliklarda urinma kuchlanishlar miqdor jihatidan o'zaro teng, yo'nalish jihatidan esa qarama-qarshi;

– o'zaro parallel bo'lgan bir nuqtadan chiquvchi tekisliklarda urinma kuchlanishlar miqdor jihatidan o'zaro teng emas, yo'nalish jihatidan esa qarama-qarshi;

– o'zaro parallel va perpendikulyar bo'lgan bir nuqtadan chiquvchi tekisliklarda urinma kuchlanishlar miqdor jihatidan o'zaro teng, yo'nalish jihatidan esa qarama-qarshi;

– o‘zaro perpendikulyar bo‘lgan bir nuqtadan chiquvchi tekisliklarda urinma kuchlanishlar miqdor jihatidan o‘zaro teng, yo‘nalishi ham bir tomonga yo‘nalgan.

### **30. Elastik jismning chegara yoki sirt sharti quyidagi javob-larning qaysi birida to‘g‘ri keltirilgan?**

$$\left\{ \begin{array}{l} X_1 = \sigma_1 l + \tau_{11} m + \tau_{12} n; \quad Y_1 = \tau_{11} l + \sigma_1 m + \tau_{12} n; \\ Z_1 = \tau_{12} l + \tau_{21} m + \sigma_2 n; \\ \tau_{xy} = \tau_{yx}; \tau_{yz} = \tau_{zy}; \tau_{zx} = \tau_{xz}; \\ \sigma_x + \sigma_y + \sigma_z = \sigma_1 + \sigma_2 + \sigma_3; \\ \sigma' = Y_1 + \frac{J_1 \sigma}{3}; \quad \sigma'' = Y_2 + \frac{J_2 \sigma}{3}; \quad \sigma''' = Y_3 + \frac{J_3 \sigma}{3} \end{array} \right.$$

#### **Test savollari:**

Bu 30 ta test savollar 4.9–10-paragraf bo‘yich tuzilgan:

#### **1. R.Guk qonuni qanday qonun?**

– fizik qonun bo‘lib, elastik izotrop jism kuchlanish komponentlari bilan deformatsiya komponentlari orasidagi chiziqli bog‘lanishni ifodalaydi;

– mexanik qonun bo‘lib, elastik izotrop jism kuchlanish komponentlari ‘bilan deformatsiya komponentlari orasidagi parabolik bog‘lanishni ifodalaydi;

– issiqlik qonun bo‘lib, elastik izotrop jism kuchlanish komponentlari bilan deformatsiya komponentlari orasidagi chiziqli bo‘lmagan bog‘lanishni ifodalaydi;

– fizik qonun bo‘lib, elastik izotrop jism kuchlanish komponentlari bilan deformatsiya komponentlari orasidagi giperbolik bog‘lanishni ifodalaydi.

#### **2. Qurilma materiallari uchun R.Guk qonuni kuchlanish qanday chegaradan oshmasa, qo‘llash mumkin?**

- proporsionallik chegarasidan;
- mustahkamlik chegarasidan;
- oquvchanlik chegarasidan;

– elastiklik chegarasidan.

### **3. Anizotrop jismlar – bu:**

– turli yo‘nalishlar bo‘yicha turli xil xususiyatlarga ega bo‘lgan jismdir;

– kuchlanish komponentlari orasidagi bog‘lanishlar bir xil bo‘lgan jismdir;

– ko‘chish komponentlari orasidagi bog‘ianishlar bir xil bo‘lgan jismdir;

– turli yo‘nalishlar bo‘yicha bir xil xususiyatlarga ega bo‘lgan jismdir.

### **4. Anizotrop jismlar uchun elastiklik xususiyatini xarakterlovchi koeffitsiyentlar soni nechta?**

– 36 ta;

– 24 ta;

– 21 ta;

– 9 ta.

### **5. Anizotrop jismlar uchun Guk qonunidagi koeffitsiyentlar nimani xarakterlaydi?**

– jismning elastiklik xususiyatini;

– jismning plastiklik xususiyatini;

– jismning mexanik xususiyatini;

– jismning fizik xususiyatini.

### **6. Anizotrop jismlar uchun elastiklik xususiyatini xarakterlovchi noma’lum koeffitsiyentlar qancha katta bo‘lsa, deformatsiya komponentlari shuncha...**

– katta bo‘ladi;

– kichik bo‘ladi;

– o‘zgarmas bo‘ladi;

– kamayuvchi bo‘ladi.

**7. Guk qonuning matritsa ko'rinishida jismning elastik xususiyatini xarakterlovchi noma'lum koefitsiyentlar soni nechta bo'ladi?**

- 21 ta; – 24 ta; – 36 ta; – 9 ta.

**8. Anizotrop jismlar uchun elastiklik xususiyatini xarakterlovchi noma'lum koeffitsiyentlar qancha kichik bo'lsa, deformatsiya komponentlari shuncha...**

- kichik bo'ladi;
- katta bo'ladi;
- o'zgarmas bo'ladi;
- kamayuvchi bo'ladi.

**9. Ortotrop jismlar – bu:**

- elastik xususiyatlari o'zaro perpendikulyar bo'lgan uchta tekisliklar bo'yicha simmetrik bo'lgan jismdir;
- plastik xususiyatlari o'zaro perpendikulyar bo'lgan uchta tekisliklar bo'yicha simmetrik bo'lмаган jismdir;
- ximiyaviy xususiyatlari o'zaro perpendikulyar bo'lgan uchta tekisliklar bo'yicha simmetrik bo'lgan jismdir;
- mexanik xususiyatlari o'zaro perpendikulyar bo'lgan uchta tekisliklar bo'yicha simmetrik bo'lgan jismdir.

**10. Ortotrop jismlar uchun umumlashgan Guk qonunidagi elastiklik xususiyatini xarakterlovchi noma'lum koeffitsiyentlar soni nechta?**

- 9 ta; – 21 ta; – 3 ta; – 6 ta.

**11. Ortotrop jismlarda chiziqli nisbiy bo'ylama deformatsiyalar qanday kuchlanishlarga bog'liq bo'ladi?**

- normal;
- urinma;
- normal va urinma;
- bo'ylama.

**12 12. Ortotrop jismlarda chiziqli nisbiy burchak deformatsiyalarlar qanday kuchlanishlarga bog'liq bo'ladi?**

- i – urinma;
- t – normal;
- r – normal va urinma;
- f – bo'ylama.

**13 13. Ortotrop jismlar uchun umumlashgan Guk qonuni bir-biriga ha bog'liq bo'limgan nechta guruhg'a ajraladi?**

- i – ikkita;
- t – uchta;
- r – to'rtta;
- f – oltita.

**14 14. Ortotrop jismlarda elastiklik xususiyatini xarakterlovchi mi noma'lum koeffitsiyentlar nimani bildiradi?**

- $\epsilon$  – elastiklik modullarini;
- $\mu$  – plastiklik modullarini;
- $r$  – mexanik modullarni;
- $f$  – fizik modullarini.

**15 15. Izotrop jismlarda elastiklik xususiyatini xarakterlovchi koeffitsiyentlar soni nechtaga teng?**

- 3 – 3 taga;
- 6 – 6 taga;
- 9 – 9 taga;
- 15 – 15 taga.

**16 16. Izotrop jismlar uchun bo'ylama elastiklik moduli qanday xususiyatni xarakterlaydi?**

- $\epsilon$  – elastiklik xususiyatini;
- $\mu$  – plastiklik modullarini;
- $r$  – mexanik modullarini;
- $f$  – fizik modullarini.

**17 17. Kuchlanish – bu...**

- i – ichki zo'riqish kuchlari intensivligining yuza birligidagi miqdordir;  $r$ ;
- t – tashqi kuchlar intensiviigining yuza birligidagi miqdordir;

- yoyilgan tashqi kuchlar intensivligining yuza birligidagi miqdordir;
- vaqtincha ta’sir etuvchi kuchlar intensivligining yuza birligidagi miqdordir.

**18. To’la kuchlanishni qanday tashkil etuvchi kuchlanishlarga ajratish mumkin?**

- normal va urinma kuchlanishlarga;
- oktaedrik urinma kuchlanishlarga;
- maksimal va minimal kuchlanishlarga;
- ixtiyoriy kuchlanishlarga.

**19. Jismdan ajratib olingan parallelepipedning bir tomoniga nechta kuchlarishlar ta’sir etadi?**

- 3 ta;
- 4 ta;
- 2 ta;
- 6 ta.

**20. Normal va urinma kuchlanishlar qanday indekslar bilan belgilanadi?**

- normal kuchlanish bitta indeks, urinma kuchlanish ikkita indeks bilan;
- normal kuchlanish ikkita indeks, urinma kuchlanish bitta indeks bilan;
- normal kuchlanish ikkita indeks, urinma kuchlanish ikkita indeks bilan;
- normal kuchlanish bitta indeks, urinma kuchlanish bitta indeks bilan.

**21. Urinma kuchlanishlarni birinchi va ikkinchi indekslari nimani bildiradi?**

- urinma kuchlanishning birinchi indeksi kuchlanish qaysi yuzada yotishini, ikkinchi indeksi esa kuchlanish qaysi o‘qqa parallel yo‘nalganligini;
- urinma kuchlanishning ikki indeksi ham kuchlanish qaysi o‘qqa parallel yo‘nalganligini;
- urinma kuchlanishning ikki indeksi ham kuchlanish qaysi yuzada yotishini,

– urinma kuchlanishning birinchi indeksi kuchlanishni musbat yo‘nalishini, ikkinchi indeksi esa kuchlanish manfiy yo‘nalganligini.

## **22. Normal kuchlanishni musbat ishorasi qanday qabul qilingan?**

- normal kuchlanish cho‘zuvchi bo‘lsa, musbat;
- normal kuchlanish siquvchi bo‘lsa, musbat;
- normal kuchlanish yuzaga qarab yo‘nalgan bo‘lsa, musbat;
- normal kuchlanish yuzaga parallel yo‘nalgan bo‘lsa, musbat.

## **23. Jism materiali izotrop bo‘lsa, elastiklik xususiyatini xarakterlovchi koeffitsiyentlar orasida qanday bog‘lanish mavjud?**

$$G = \frac{E}{2(1+\mu)}, \quad \theta = \frac{1-2\mu}{E} S_1; \quad S_1 = \frac{E}{1-2\mu} \theta; \quad K = \frac{E}{3(1-2\mu)},$$

## **24. Jismning nisbiy hajmiy deformatsiya ifodasi qaysi javobda to‘g‘ri keltirilgan?**

$$\begin{aligned} \theta &= \varepsilon_x + \varepsilon_y + \varepsilon_z; & S_1 &= \sigma_x + \sigma_y + \sigma_z; \\ G &= \frac{E}{2(1+\nu)}; & S_1 &= \frac{E}{1-2\mu} \theta. \end{aligned}$$

## **25. Quyidagi javoblarning qaysi birida jismning hajmiy kengayish moduli to‘g‘ri ko‘rsatilgan?**

$$K = \frac{E}{3(1-2\mu)}; \quad G = \frac{E}{2(1+\mu)}; \quad \theta = \frac{1-2\mu}{E} S_1; \quad S_1 = \frac{E}{1-2\mu} \theta$$

## **26. Kuchlanishlarning birinchi invarianti qaysi javobda to‘g‘ri keltirilgan?**

$$\begin{aligned} S_1 &= \sigma_x + \sigma_y + \sigma_z; & \theta &= \varepsilon_x + \varepsilon_y + \varepsilon_z; \\ G &= \frac{E}{2(1+\nu)}; & S_1 &= \frac{E}{1-2\mu} \theta. \end{aligned}$$

## 27. Qaysi javobda Guk qonunining teskari ifodasi to‘g‘ri ko‘rsatilgan?

$$\left. \begin{array}{l} \sigma_x = \lambda\theta + 2v\varepsilon_x; \tau_{xy} = v\gamma_{xy}; \\ \sigma_y = \lambda\theta + 2v\varepsilon_y; \tau_{yz} = v\gamma_{yz}; \\ \sigma_z = \lambda\theta + 2v\varepsilon_z; \tau_{zx} = v\gamma_{zx}. \end{array} \right| \left. \begin{array}{l} \lambda = \frac{E\mu}{(1+\mu)(1-2\mu)}; \\ G = \frac{E}{2(1+\mu)}; \\ \varepsilon_x = \frac{1}{E} \left[ (1+\mu)\sigma_x - \frac{E\mu}{1-2\mu} \theta \right]; \\ S_1 = \frac{E}{1-2\mu} \theta; \\ G = \frac{E}{2(1+\mu)}. \end{array} \right.$$

## 28. Qaysi javobda jism materialining mexanik xarakteristikalari to‘g‘ri ko‘rsatilgan?

- plastiklik va mustahkamlik;
- fizik va geometrik;
- proporsionallik va mustahkamlik;
- plastiklik va fizik.

## 29. Qaysi javobda Lyame koeffitsiyentlarining ifodasi to‘g‘ri ko‘rsatilgan?

$$\left. \begin{array}{l} \lambda = \frac{E\mu}{(1+\mu)(1-2\mu)}; v = \frac{E}{2(1+\mu)}; \\ \varepsilon_x = \frac{1}{E} \left[ (1+\mu)\sigma_x - \frac{E\mu}{1-2\mu} \theta \right]; \\ K = \frac{E}{3(1-2\mu)}; \\ \varepsilon_x = \frac{1}{E} \left[ (1+\mu)\sigma_x - \mu S_1 \right] \end{array} \right.$$

**30. Lyame koeffitsiyenti materialning qanday xarakteristikasini bildiradi?**

- elastiklik;
- plastiklik;
- mustahkamlik;
- proporsionallik.

## 5-BOB.

### SILJISH

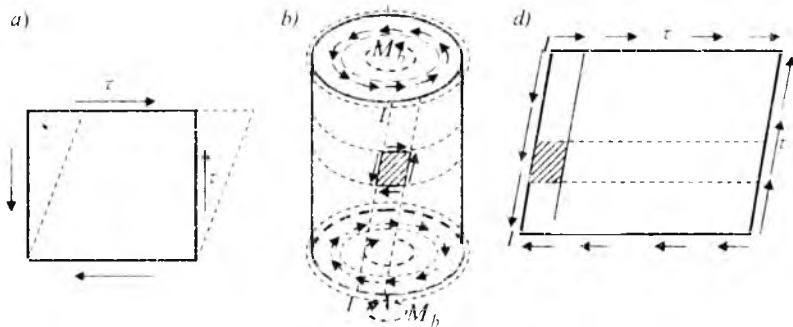
#### 5.1-§. Siljish deformatsiyasi haqida tushunchalar

Cho'zilish – siqilishdagi (4.3-4.7-§) kuchlanganlik holatining tahlili shuni ko'rsatdiki, sterjenden ajratilgan to'rtburchak element tomonlarida normal va urinma kuchlanishlar ta'sir etishini ko'rsatgan edi. Bunda normal kuchlanishlarning qiymati va yo'nalishlaridan qat'iy nazar urinma kuchlanishlar juftlik qonuniga bo'yusunadilar.

Bu sterjenden ajratilgan element tomonlariga faqat urinma kuchlanishlar ta'sir etsin (5.1,a-chizma).

Tomonlariga faqat urinma kuchlanishlar ta'sir qiladigan elementning kuchlanganlik helati *sof siljish* deb ataladi. Element tomonlari *sof siljish yuzachalari* deb yuritiladi.

Bir jinsli sof siljish kuchlanganlik holatiga misol sifatida yupqa devorli silindrishimon trubanining kuchlanganlik holatini ko'rsatish mumkin (5.1,b,d-chizma).



5.1. Brusdan ajratilgan elementning sof siljish holati

Shuni aytish lozimki, amalda siljish deformatsiyasi sof holda deyarli uchramaydi. U boshqa deformatsiyalar bilan, ayniqsa, egilish deformatsiyasi bilan birgalikda hosil bo'ladi. Shuning uchun siljishga, boshqacha qilib aytganda, qirqlishga, hisoblashlarda qator sod-dalashtirishlarni qabul qilishga to'g'ri keladi.

## 5.2-§. Kuchlanish va deformatsiya

Siljishda brusning ko'ndalang kesimlarida urinma kuchlanishlar  $\tau$  ta'sir qiladi. Bu kuchlanishlarni aniqlash uchun sterjenning kesib olingan chap qismining muvozanat shartini ko'rib chiqamiz (5.2-chizma,a). Siljishga doir masalaning statik tomoni quyidagi tenglama bilan ifodalanadi:

$$F - Q = 0 \text{ yoki } Q = F$$

bunda

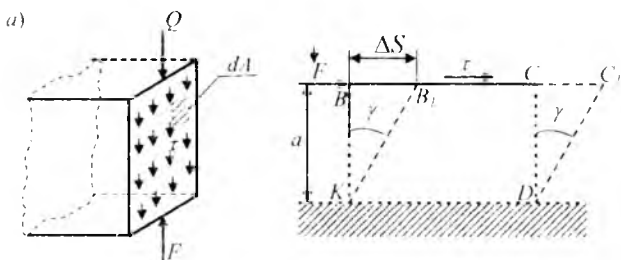
$$Q = \int_{\tau} \cdot dA \quad (5.1)$$

Urinma kuchlanishlarning kesim bo'yicha tekis taqsimlanishi hamda  $Q = \tau \cdot A$  ekanligini hisobga olib, quyidagini hosil qilamiz:  $F - \tau \cdot A = 0$ . Bundan siljishdagи urinma kuchlanish quyidagiga teng bo'ladi:

$$\tau = \frac{Q}{A} \text{ yoki } \tau = \frac{F}{A} \quad (5.2)$$

Bunda  $Q$  – ko'ndalang kuch;  $A$  – ko'ndalang kesim yuzasi.

Amalda urinma kuchlanishlar kesim bo'yicha notejis taqsimlanadi, lekin bu hol siljishga doir hisoblarda e'tiborga olinmaydi.



5.2-chizma. Brusning ko'ndalang kesimlarida urinma kuchlanish

Endi 5.2-chizmada tasvirlangan  $KBC'D$  to'g'riburchakli elementning deformatsiyalanish holatini ko'rib chiqamiz. Elementning  $KD$  tomoni mahkamlangan,  $BC$  tomoniga qo'yilgan  $F$  kuch uni siljitadi. Siljish kattaligi  $BB_1 = \Delta S$  ga mutloq yoki *absolyut siljish* deb

ataladi. Deformatsiya kichik bo'lgani uchun  $\frac{BB_1}{KB} = \operatorname{tg} \gamma \approx \gamma$

ataladi. Deformatsiya kichik bo'lgani uchun  $\frac{BB_1}{KB} = \operatorname{tg} \gamma \approx \gamma$

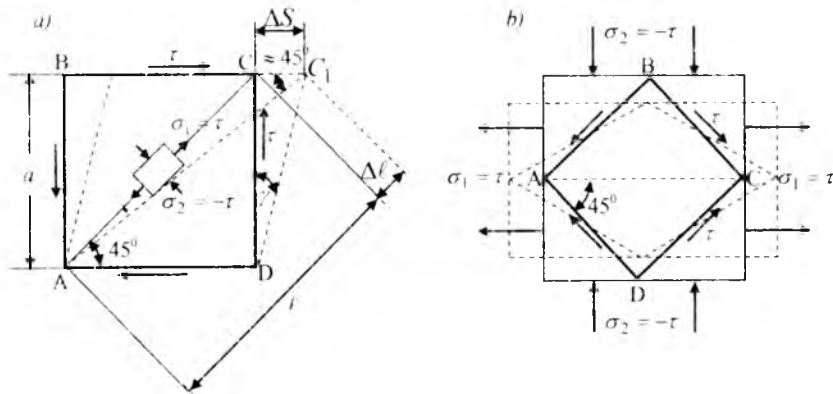
$$\gamma = \frac{\Delta S}{a}$$

(5.3)

ko'rinishga ega bo'ladi. Bunga *burchak nisbiy siljish* ham deb ataladi va u radianlarda o'lchanadi.

### 5.3-§. Guk qonuni. Elastik modullari $G$ , $E$ va $\mu$ orasidagi munosabat

To'g'ri o'qli sterjen cho'zilganda yoki siqilganda uning qiya yuzachalarida siljish yuz beradi. 5.3-chizmada *ABCD* ajratib olingan kichik element keltirilgan va unga  $\sigma_1 = -\sigma_2 = \tau$  kuchlanishi ta'sir qilsin. Demak, o'zaro perpendikulyar yo'nalishda cho'zuvchi va siquvchi kuchlanishlar ta'sir qilishining xususiy holini ko'rib chiqamiz, ya'ni *ABCD* ajratib olingan elementning tomonlari  $\sigma_1$  kuchlanishiga  $45^\circ$  burchak ostida qiya bo'lgani uchun normal kuchlanishlar bo'lmaydi:



5.3-chizma. Ajratilgan elementda hosil bo'lgan kuchlanishlar

Siljish tufayli  $AC$  diagonalning cho'zilishi

$$\Delta l = \Delta S \cos 45^\circ = \frac{\sqrt{2}}{2} a \gamma. \text{ Unda tomoni uzunligi}$$

$$a = l \cos 45^\circ = \frac{\sqrt{2}}{2} l \text{ va } \gamma = \frac{\tau}{G} \quad (5.4)$$

bo'lganligi sababli quyidagini hosil qilamiz:

$$\Delta \ell = \frac{\tau}{2G} \ell \quad . \quad (5.5)$$

Ikkinchi tomondan Guk qonuni bo'yicha  $AC$  diagonal nisbiy deformatsiyasi:

$$e_1 = \frac{\Delta \ell}{\ell} = \frac{\sigma_1}{E} - \mu \frac{\sigma_2}{E}, \quad (5.6)$$

Bu ifodaga  $\sigma_1 = \tau$ ,  $\sigma_2 = -\tau$  larni qo'yib quyidagini aniqlaymiz:

$$\Delta \ell = \frac{(1 + \mu)\tau}{E} \ell \quad . \quad (5.7)$$

Ushbu (5.7) tenglamani (5.5) tenglama bilan taqqoslab quyidagini hosil qilamiz:

$$G = \frac{E}{2(1 + \mu)} \quad . \quad (5.8)$$

Sof siljishda Guk qonuni quyidagicha ifodalanadi:

$$\tau = G \cdot \gamma. \quad (5.9)$$

Siljish moduli  $G$  ma'no jihatdan bo'ylama elastiklik moduliga o'xshaydi va kuchlanish o'lchami [Pa] yoki [ $N/m^2$ ] larda o'lchanadi.

Yuqoridagi  $\tau = G \cdot \gamma$  Guk qonuniga  $\tau = Q/A$  va  $\gamma = \Delta S/a$  ni qo'yib, Guk qonuning boshqa ko'rinishini hosil qilamiz:

$$\Delta S = \frac{Q \cdot a}{G \cdot A} \quad . \quad (5.10)$$

Bundagi  $GA$  ga siljishdagagi bikirlik deb ataladi; siljish moduli  $G$  ning qiymati MPa da o'lchanadi va quyidagi qiymatlarga ega:

po'lat  $(0,8 \div 0,81) \cdot 10^5$

mis  $(0,4 \div 0,49) \cdot 10^5$ ;

cho'yan  $(0,45 \cdot 10^5)$ ;

alyumin  $(0,26 \div 0,27) \cdot 10^5$ .

## **5.4-§. Siljishga ishllovchi konstruksiyani amalda hisoblash**

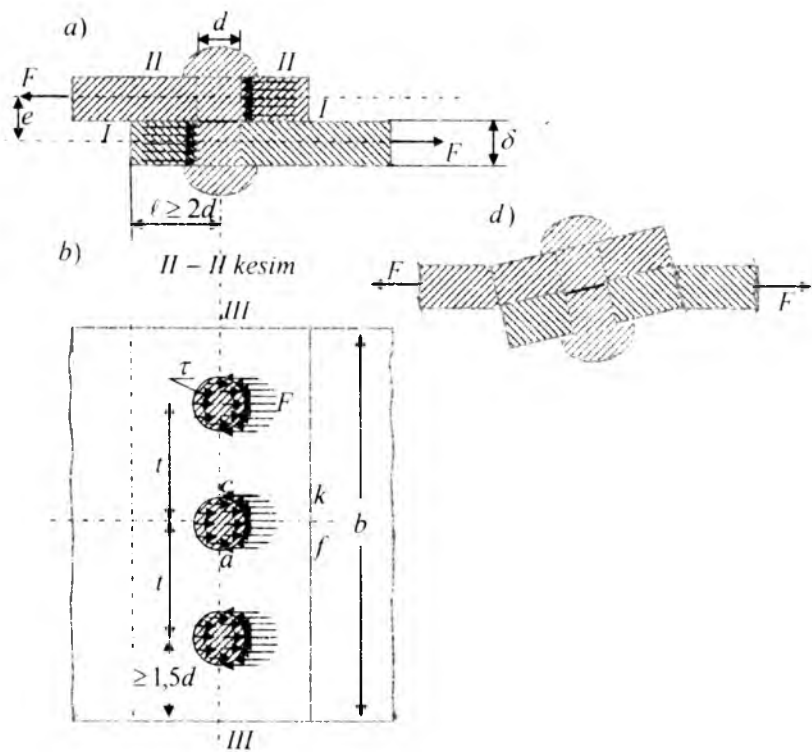
### **1. Parchin mixli va boltli birikmalar**

Amalda siljish deformatsiyasiga ishlaydigan birikmalar juda ko'p uchraydi, bularga eng oddiy misol qilib parchin mixli, boltli (yoki shtifli), shponkali va payvand birikmalarni olish mumkin.

Parchin mixlar, bolt, shtif, shponka (pena) va shlitsalar asosan metall konstruksiya elementlarini biriktirishga xizmat qiluvchi elementlar hisoblash usullarini ko'rib chiqamiz.

Bir-biriga ustma-ust qo'yilgan ikki polosadagi oldindan teshib tayyorlangan teshikka bir uchi boshli bo'lган parchin mix qizdiriladi va teshikka o'rnatiladi, uchlari qismi toki ikkinchi bosh hosil bo'l guncha kuvalda bilan pachaqlanib yoki pinevmatik mashinada siqiladi. Bunda parchin mix sterjeni teshikni to'ldiradi, mix sovuganda ulanuvchi polosalarni tortadi. Unda parchin mix bilan bir-biriga siqilgan polosalarning tegib turgan sirtida juda katta ishqalanish kuchi hosil bo'lib, hatto u polosalarni birini ikkinchisiga nisbatan siljituvgi kuchga ham tenglashishi mumkin (5.4-chizma). Lekin hisoblashlarda polosalarning ishqalanish kuchi e'tiborga olinmaydi, ularning biri ikkinchisiga nisbatan siljishiga faqat parchin mixlarning kesilishga ishlashi qarshilik ko'rsatadi. Ikki polosa bir-biriga bitta parchin mix bilan biriktirilgan konstruksiya 5.4-chizmada keltirilgan. Bunday parchin mixli birikmalar bir qirqilish kesimli deb ataladi.

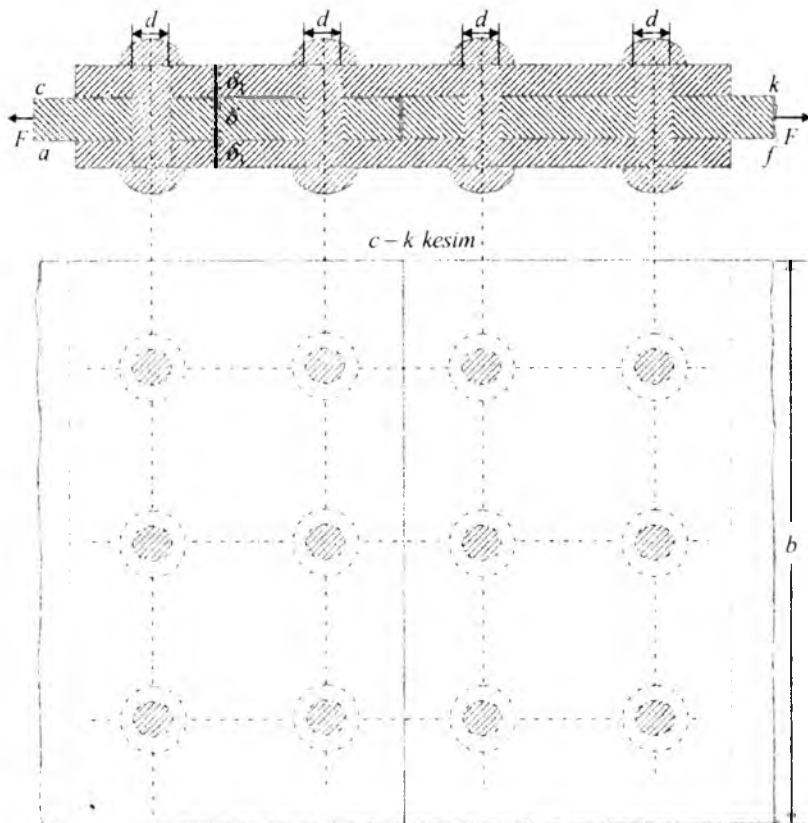
Konstruksiyaga ta'sir etayotgan cho'zuvchi kuch pastki polosani o'ng tomonga yuqorigi polosani chap tomonga siljitimda undaydi. Bunda polosalar harakatga qarshilik ko'rsatuvchi parchin mix kesilishga ishlaydi. Bu parchin mix bir kesimli parchin mix deb yuritiladi. Bu konstruksiyaning kamchiligi shundaki, polosalar bitta tekislikda yotmaganligi sababli, unga ta'sir etayotgan kuchlardan just ( $F \cdot e$ ) kuch hosil bo'ladi. Natijada 5.4,d-chizmada ko'rsatilgandek polosalar egilib birikmaning qiyshayishiga olib keladi. Bu kamchilikni bartaraf etish uchun polosalar uchma-uch qo'yilib pastki va yuqorigi tomonlariga ustqoymalar qo'yilib parchin mixlar yordamida biriktiriladi. Bunday kesimli parchin mix birikmalar ikki qirqilish kesimli deb ataladi.



#### 5.4-chizma. Ustma-ust joylashgan bir kesimli uch parchin mixli birikma

Uchma-uch qo'yilib ustki va pastki tomonlariga ustqo'ymalar o'rnatilib biriktirilgan ikkita polosali konstruksiya 5.5-chizmada ko'rsatilgan. Uchma-uch qo'yib biriktirilgan birikmalarda polosalarning nisbati  $\delta \geq 0,5\delta_1$  kabi olinishi lozim.

Ushbu 5.5,a-chizmadan ko'rindaniki, parchin mix sterjeni ikkita tekislik bo'yicha kesilishga ishlaydi, unda sterjenning o'ita qismi chap va o'ng tomonlarga siljishga intiladi.



*5.5-chizma. Ustqo 'ymali parchin mixli birikma*

Konstruksiyaga ta'sir etayotgan kuch parchin mixni  $1-1$  kesim bo'yicha kesishga intiladi va parchin mix sterjeni bilan polosaning bir-biriga tegib turgan sirtida yarimsilindr shaklida siqilishni hosil qiladi (5.4-chizma). Parchin mix sterjeni kesilish  $1-1$  kesimi yuzasida hosil bo'lgan haqiqiy kuchlanganlik holatini aniqlashi juda ham murakkab bo'lganligi sababli, parchin mix sterjenni kesilish kesim yuzasi bo'yicha faqat taxminan tekis taqsimlangan urinma kuchlanish ta'sir qiladi deb faraz qilinadi.

Konstruksiyadagi ko'p sonli parchin mixlar bo'lganligi sababli, ular bo'yicha sirtqi kuch qanday qonun asosida taqsimlanganligini

bilish murakkab masala, ya'mi barcha parchin mixlar baravar yuklanganmi yoki yo'q. Nazariy va eksperimental tadqiqotlar parchin mixlarning bir xil yuklanmaganligini ko'rsatadi. Lekin tajribalar shuni ko'rsatadiki, statik yuklanishda parchin mixlar baravariga yemiriladi. Buni yemirilish vaqtida materialning plastik deformatsiyalanishi natijasida kuchlar tenglashishi bilan tushuntirish mumkin. Sirtqi kuchning parchin mixlarga taqsimlanish masalasini soddalashtirish maqsadida sirtqi kuchdan parchin mixlarda bir xil miqdorli zo'rqiqlik kuchlari hosil bo'ladi degan farazni qabul qilamiz. Unda har bir parchin mix kesilishiga to'g'ri keluvchi kuchlar quyidagi formuladan aniqlanadi.

$$F_{kes} = \frac{F}{n} \quad (5.11)$$

Yuqorida keltirilgan faraz e'tiborga olinganda, parchin mixli birikma hisob ishlari juda ham soddalashadi va parchin mixni mustahkamlikka hisoblash sharti quyidagicha ifodalanadi:

$$\tau_{kes} = \frac{Q}{A} = \frac{F}{m \cdot \frac{\pi d^2}{4} \cdot n} \leq [\tau_{kes}] \quad (5.12)$$

Bu yerda  $n$  – parchin mixlar soni;

$d$  – parchin mix diametri;

$m$  – bitta parchin mixning kesilish tekisliklar soni.

Parchin mixlarning mustahkamlik shartidan foydalanib konstruksiyaga parchinlangan mixlar sonini ham aniqlash mumkin:

$$n \geq \frac{4F}{m \cdot \frac{\pi d^2}{4} \cdot [\tau_{kes}]} \quad (5.13)$$

Polosaning uzilishi parchin mixlar bilan zaiflashtirilgan III – III tekislik bo'yicha ro'y berishi mumkin, unda cho'zilishda konstruksiya polosalardagi kuchlanishlar quyidagi formuladan aniqlanadi:

$$\sigma_{ch} = \frac{F}{(b - kd_0)\lambda} \quad (5.14)$$

Bu yerda  $d_0$  – polosadagi teshik diametri;

$k$  – polosaning qaralayotgan kesimga to'g'ri keluvchi teshiklar soni. Qaralayotgan holat uchun  $k = 3$  ga (5.4-chizma).

Mustahkamlik sharti quyidagicha ifodalanadi:

$$\sigma_{ch} = \frac{F}{(b - kd_0)\delta} \leq [\sigma_{ch}] \quad (5.15)$$

Sirtqi kuch ta'sirida konstruksiyaning ishlash jarayonida polosa bilan ustqo'ymalarning parchin mixga yopishgan yarimsilindrik sirlari eziladi. Demak, ezilish yuzasi deb parchin mix o'matiladigan silindrik teshikning diametral tekisligi shartli ravishda qabul qilinadi (5.6-chizma). Parchin mixning ezilish bo'yicha mustahkamlik sharti:

$$\sigma_{ez} = \frac{F}{n \cdot d \cdot \delta} \leq [\sigma_{ez}] \quad (5.16)$$

Bunda  $[\sigma_{ez}]$  – materialning ezilishda ruxsat etilgan kuchlanishi, oddiy cho'zilish uchun aniqlangan ruxsat etilgan kuchlanishiga nisbatan  $[\sigma_{ez}] = (2,0 \div 2,5)[\sigma]$  kabi olinadi.

Parchin mixlarning ezilish shartlaridan foydalanib konstruksiya parchinlangan mixlar soni quyidagi formuladan aniqlanadi:

$$n \geq \frac{F}{d \cdot \delta \cdot [\sigma_{ez}]} \quad (5.17)$$

Parchin mixlarning mustahkamlik va ezilish shartlaridan foydalanib konstruksiyaga parchinlangan mixlar soni aniqlanadi va aniqlangan sonlardan eng kattasi parchin mixlar soni sifatida qabul qilinadi.

Polosaning parchin mix sterjeni doirasiga urinma bo'lgan  $\epsilon_k$  va  $a_f$  tekisliklari bo'yicha kesilishi mumkin (5.4-chizma).

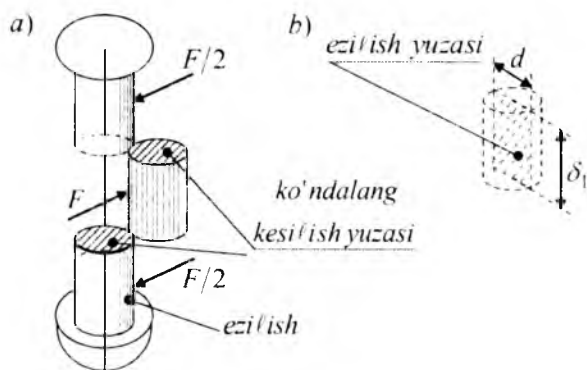
Polosaning kesilishdag'i mustahkamlik sharti quyidagicha ifodalanadi:

$$\tau_{kes} = \frac{F}{n \cdot 2 \cdot \left(\ell - \frac{d_0}{2}\right) \delta} \leq [\tau_{kes}] \quad (5.18)$$

Bu yerda  $\ell$  cho'zuvchi  $F$  kuch yo'naliishi bo'yicha parchin mix o'qidan polosaning qirg'og'igacha bo'lgan masofa (5.4-chizma).

Amaliyotda diametri 14, 17, 20, 23 va 26 mm bo'lgan parchin mixlar qo'llaniladi (5.6-chizma). Parchin mix sterjeni bir uchi boshli bo'ladi. Po'lat polosalarni bir-biriga uchma-uch ustqo'ymalar yordamida parchin mixlar bilan biriktirishda, parchin mixlar o'qlari orasidagi va parchin mixlar o'qlaridan polosaning gardishigacha (ustqo'ymalar) bo'lgan minimal masofa, parchin mix diametriga qarab belgilanadi. Parchin mixlar qatorlari orasidagi masofa dia-

metridan ( $t \geq 3d$ ) kamida uch marta katta bo'lishi shart. Kesuvchi kuchlar yo'naliishi bo'yicha polosalar gardishi bilan parchin mixlar o'qi orasidagi minimal masofa parchin diametridan ( $\geq 2d$ ) kamida ikki marta katta bo'lishi shart (5,4-chizma).



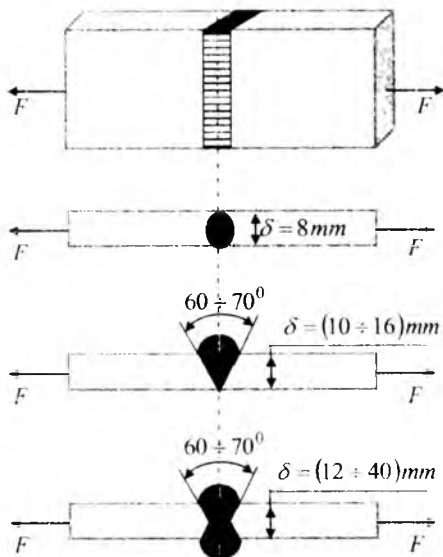
### 5.6-chizma. Parchin mix va uning ishlovchi yuzalari

Kesuvchi kuchlar yo'naliishiga perpendikulyar bo'lgan yo'naliishda parchin mix o'qi bilan polosalar gardishigacha bo'lgan masofa diametrдан ( $1,5d$ ) kamida bir yarim marta katta bo'lishi shart.

Parchin mixlarni shaxmat shaklida joylashtirishda, ularning o'qlari orasidagi masofa diametrдан ( $2,5d$ ) kamida ikki yarim marta katta bo'lishi shart. Parchin mixlar o'qlari orasidagi masofa, diagonali bo'yicha diametrдан ( $D \geq 3,5d$ ) kamida uch yarim marta katta bo'lishi shart.

## 2. Payvand birikmalar

Keyingi vaqtarda payvandlash texnologiyasi shu qadar takomillashdiki, u ko'pdan-ko'p konstruksiyalarda parchin mix o'rnida ishlatiladigan bo'ldi. Payvand chokning parchin mixli birikmadan afzalligi shundaki, payvandlangan elementning ko'ndalang kesim yuzasidan to'la foydalilanadi, elementning og'irligi kamayadi, choklari zinch bo'lib, suyuqlik va gazlarni o'tkazmaydigan bo'lib qoladi va konstruksiya soddalashadi hamda elementlarni biriktirish texnologik jarayoni arzonlashadi.



### 5.13-chizma. Polosani uchma-uch payvandlash

Konstruksiyalarni payvandlash ishlari ikki uchma-uch va ustma-ust usullarida bajariladi. Uchma-uch payvandlash usuli sodda va ishonchli bo'lganligi sababli ishlab chiqarishda keng qo'llaniladi (5.13-chizma).

Konstruksiyalar payvandlanganda choclar ko'ndalang, bo'ylama va qiya bo'lishi mumkin (5.13-chizma).

Uchma-uch payvandlangan ko'ndalang chocning cho'zilish yoki siqilishga qarshilik ko'rsatishdagi mustahkamlik sharti quyidagicha yoziladi:

$$\sigma = \frac{F}{t\delta} \leq [\sigma_{ech}] \quad (5.19)$$

Bu yerda  $t = b - 10 \text{ mm}$  – chocning hisoblashdagi uzunligi;

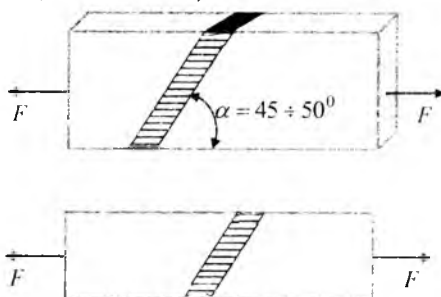
$\delta$  – payvandlanadigan elementning qalinligi.

$[\sigma_{ech}]$  – elektr payvandlash choc materiali uchun ruxsat etilgan kuchlanish.

Payvand choc materiali uchun berilgan kuchlanish polosa uchun berilgan kuchlanishga nisbatan kichikroq bo'lganligi sababli

ularni tenglashtirish maqsadida choklar uzunliklarini biroz uzunroq olish tavsiya etiladi.

Shu maqsadda uchma-uch ulanadigan polosalar qiyshiqlik choklar bilan payvandlanadi (5.14-chizma).



5.14-chizma. Qiya chokli payvandlash

Polosalarni ustma-ust qo'yib payvandlash usulida polosalar valiksimon chok bilan payvandlanadi (5.15-chizma). Valiksimon chokning mustahkamlik shartini yozishda uning kesim yuzasi  $A = \ell \cdot h$  ga teng bo'ladi (5.15,d-chizma). Chok uzunligi va balandligi quyidagi formulalardan aniqlanadi:

$$\ell = b - 10 \text{ mm}; h = \delta \cdot \cos 45^\circ \cong 0,7\delta.$$

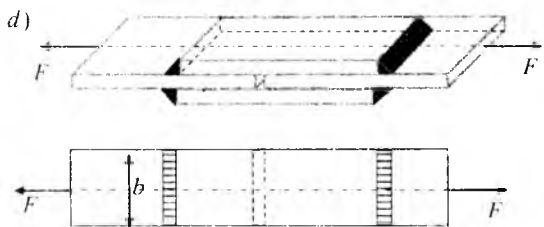
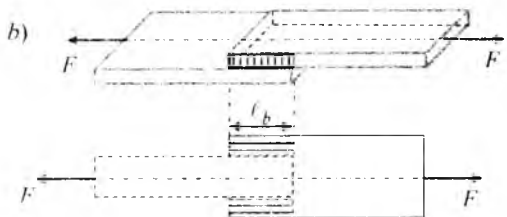
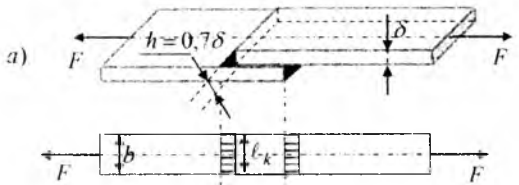
Polosalarni ustma-ust qo'yib payvandlashdagi chokning mustahkamlik sharti quyidagicha yoziladi (5.15-chizma):

$$\tau = \frac{F}{0,7 \cdot \ell \cdot \delta} \leq [\tau_{ek}] \quad (5.20)$$

Bu yerda  $[\tau_{ek}]$  – elektr payvandlashda chok materialining kesilishidagi berilgan ruxsat etilgan kuchlanishi.

Agar polosa 5.15,d-chizmada ko'rsatilgandek ustki va ostki tomonlariga ustqo'yma qo'yilib payvandlansa, zo'riqish kuchiga to'rtta chok qarshilik ko'rsatgani uchun mustahkamlik sharti quyidagicha bo'ladi:

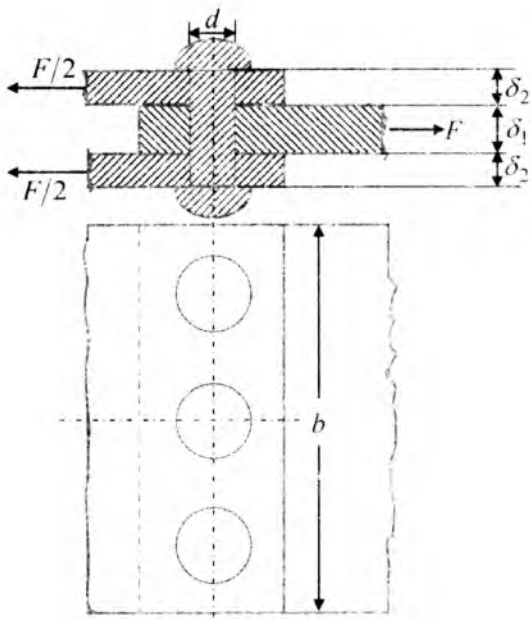
$$\tau = \frac{F}{4 \cdot 0,7 \cdot \ell \cdot \delta} \leq [\tau_{ek}] \quad (5.21)$$



5.15-chizma. Polosani ustma-ust payvandlash

### Masalalar

5.1-masala. Cho'zuvchi kuchlar ta'sirida bo'lgan po'lat 2 rusumli materialdan tayyorlangan konstruksiya 5.16-chizmada keltirilgan. Konstruksiya elementlari: parchin mixlar mustahkamlikka, ezilishga va polosalar uzilishga tekshirilsin. Berilganlar:  $F = 10\text{kN}$ ;  $\delta_1 = 5\text{mm}$ ;  $\delta_2 = 3\text{mm}$ ;  $b = 50\text{mm}$ ;  $\sigma_l = 230\text{MPa}$ .



### 5.16-chizma. Ustma-ust qo'yilgan ikki kesimli parchin mixli birikma

*Yechish.* Mexanik xarakteristikalar – oquvchanlik chegarasi va loyihalash me'yoriy koeffitsiyenti bo'yicha ruxsat etilgan kuchlanishni aniqlaymiz:

$$[\sigma_{ch}] = \frac{\sigma_{eq}}{n} = \frac{230}{1.5} \approx 160 \text{ MPa};$$

$$[\tau_{kes}] = 0.6[\sigma] = 96 \text{ MPa};$$

$$[\sigma_{eq}] = (2 \div 2.5)[\sigma] = (2 \div 2.5) \cdot 160 = (320 \div 400) \text{ MPa}$$

Uglerodli po'lat material uchun ruxsat etilgan kuchlanishlar uchun [10. 2-jadvaldan] quyidagilarni qabul qilish tavsiya etilgan:

$$[\sigma_{ch}] = 115 \text{ MPa}; \quad [\tau_{kes}] = 70 \text{ MPa}; \quad [\sigma_{eq}] = 175 \text{ MPa}.$$

Hisoblash ishlarida kesilish uchun yuqorida berilgan ruxsat etilgan  $[\tau_{kes}] = 96 \text{ MPa}$ ;  $[\tau_{kes}] = 70 \text{ MPa}$  kuchlanishning eng kichik ruxsat etilgan kuchlanishni  $[\tau_{kes}] = 70 \text{ MPa}$  qabul qilamiz.

Parchin mixlarning ko'ndalang kesimi yuzasini, uning siljish-dagi mustahkamlik shartidan foydalanib aniqlaymiz.

$$\tau = \frac{Q}{A_{kex}} \leq [\tau].$$

5.16-chizmadan ko'rindiki, parchin mix sterjeni ikkita tekislik bo'yicha kesilishga ishlaydi, unda sterjenning o'rtaligida qismi chap tomonga siljiydi.

Unda konstruksiyadagi parchin mixlar kesilish tekisliklarini yuzalari yig'indisi quyidagiga teng deb qarash mumkin:

$$A_{kex} = \frac{\pi d^2}{4} m \cdot n.$$

Siljishdagi mustahkamlik shartidan parchin mix diametrini aniqlash mumkin.

$$\tau = \frac{Q}{n \cdot \frac{\pi d^2}{4} \cdot m} \leq [\tau] \quad d \geq \sqrt{\frac{4Q}{\pi \cdot m \cdot n \cdot [\tau]}}$$

Qaralayotgan konstruksiya uchun parchin mixlarning kesilish tekisliklar soni  $m=2$ , parchin mixlar soni  $n=3$ ga teng. Unda diametri:

$$d \geq \sqrt{\frac{4 \cdot 10000}{3,14 \cdot 2 \cdot 3 \cdot 70 \cdot 10^6}} = 0,005507 \text{ m}.$$

Parchin mix diametrini  $m=5 \text{ mm}$  ga teng deb qabul qilamiz.

Parchin mixning ezilishda ishlashdagi mustahkamligini tekshirib ko'ramiz:

$$\sigma_{ez} = \frac{F}{A_{ez}} \leq [\sigma_{ez}]$$

Bu yerda  $A_{ez}$  parchin mixning diametrik ezilish tekisligini ifodalaydi va u quyidagiga teng bo'ladi:

$$A_{ez} = d \cdot \delta_1 \cdot n = 5 \cdot 5 \cdot 3 = 75 \text{ mm}^2.$$

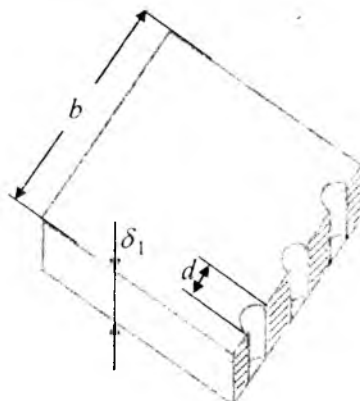
Unda

$$\sigma_{ez} = \frac{F}{A_{ez}} = \frac{10000}{75} = 133,333 \text{ MPa}.$$

$$\frac{175 - 133,333}{175} \cdot 100\% = -23,81\%.$$

Demak, parchin mixlarning ezilishda mustahkamligi ta'minlangan.

Polosalar parchin mixlar joylashadigan teshiklar bilan zaiflashtiriladi, unda teshiklar joylashgan kesimi eng kichik ishechi kesim bo'lib, u xavfli kesim hisoblanadi (5.17-chizma).



5.17-chizma. Polosaning ko'ndalang kesimi

Polosaning zaiflashgan kesim yuzasi quyidagi formuladan aniqlanadi:

$$A_{uzi} = b \cdot \delta_1 - k \cdot d \cdot \delta_1 = \delta_1(b - n \cdot d) = 5(50 - 3 \cdot 5) = 175 \text{ mm}^2.$$

Unda kuchlanish

$$\sigma_{uzi} = \frac{F}{A_{uzi}} = \frac{10000}{175} = 57,1 \text{ MPa}.$$

$$\frac{57,1 - 115}{115} 100\% = -50,35\%.$$

Demak, polosalarning uzilishga mustahkamligi ta'minlangan.

## Xulosa

Ikki diametridan kesiluvchi parchin mix diametri siljishdagi mustahkamlik shartidan tanlab olindi. Polosalar uzilishga va parchin mixlarning ezilishga qarshilik ko'rsatish shartlarining bajarilishi aniqlandi.

*5.2-masala.* Po'lat 5 rusumli materialdan tayyorlangan ikkita polosa uchma-uch tutashtirilib, uning ustiga ikkita ustqo'yma bilan parchin mixlar yordamida biriktirilgan, cho'zuvchi  $F=500\text{ kN}$  kuch ta'siridagi konstruksiya 5.18-chizmada ko'rsatilgan. Konstruksiya birikmalarini mustahkamlikka tekshiring.

Berilganlar: Parchin mix sterjeni diametri  $d=20\text{ mm}$  va parchin mixlar o'matiladigan teshik diametri  $d_0=23\text{ mm}$ , polosa eni  $b=305\text{ mm}$ , qalinligi  $\delta=12\text{ mm}$ , ustqo'yma eni  $b_1=280\text{ mm}$ , qalinligi  $\delta_1=8\text{ mm}$  ga teng.

*Yechish.* Uglerodli po'lat 5 rusumli material uchun ruxsat etilgan kuchlanishlarni [10. 2-jadval] quyidagilarni qabul qilish tavsiya etilgan:  $[\sigma_{ch}]=165\text{ MPa}$ ,  $[\tau_{kes}]=100\text{ MPa}$ ,  $[\sigma_{ez}]=320\text{ MPa}$ . Har bir parchin mixlarning kesilish tekisliklar soni  $m=2$ , polosalarning birikish tekisligida bir (chap yoki o'ng) tomonda parchin mixlar soni  $n=6$  ga teng. Unda qirqilishga ishlayotgan parchin mix hosil bo'ladigan kuchlanish quyidagi formuladan aniqlanadi:

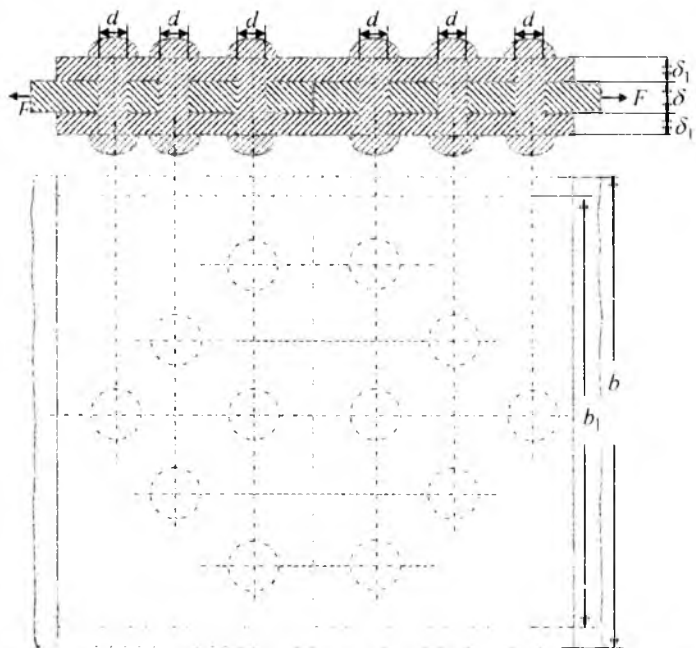
$$\tau_{kes} = \frac{Q}{A_{kes}} = \frac{F}{\pi d_0^2 \cdot m \cdot n} = \frac{500 \cdot 10^3}{3,14 \cdot (23)^2 \cdot 2 \cdot 6} = 100,3 \frac{\text{N}}{\text{mm}^2} \leq 100 \text{ MPa}$$

Kuchlanishlarni taqqoslash natijasi quyidagi foizni beradi:

$$\frac{100,3 - 100}{100} \cdot 100\% = 0,3\%.$$

Bundan ko'rindiki, qirqilishga ishlayotgan parchin mix ko'n-dalang kesimida hosil bo'ladigan kuchlanish  $\tau_{kes}=100,3\text{ MPa}$  bilan berilgan ruxsat etilgan kuchlanish  $[\tau_{kes}]=100,0\text{ MPa}$  orasidagi farq juda kichik ekan. Demak, parchin mix sterjenining kesilishdagi mustahkamligi ta'minlangan.

Polosani hisoblash ishlarini I-I, II-II, III-III kesimlar bo'yicha alohida-alohida bajarish lozim. Bu kesimlar tegishlichcha bitta, ikkita va uchta parchin mix o'matiladigan teshiklar bilan zaiflashtirilgan. Demak, kesimlardagi zo'riqish kuchlari ham turli qiymatlarda bo'ladi.



5.18-chizma. Ustqo 'ymali ikki kesimli parchin mixli birikma

I – I kesimda bitta parchin mix uchun teshik bo'lganligi sababli zo'riqish kuchi quyidagiga teng bo'ladi:

$$N_1 = F = 500 \text{ kN}.$$

II – II kesimda ikkita parchin mix uchun teshik bo'lganligi uchun zo'riqish kuchi quyidagiga teng bo'ladi:

$$N_2 = \frac{5}{6} F = \frac{5}{6} \cdot 500 = 416,7 \text{ kN}.$$

III – III kesimda uchta parchin mix uchun teshik bo'lganligi sababli zo'riqish kuchi quyidagiga teng bo'ladi:

$$N_3 = \frac{3}{6} F = \frac{3}{6} \cdot 500 = 250.0 \text{ kN}.$$

Hisob natijalari bo'yicha polosadagi hosil bo'lgan bo'ylama zo'riqish kuchi epyuralarini quramiz (5.18,b-chizma).

Polosalardagi kuchlanishlarni aniqlaymiz:

I – I kesim bitta parchin mix teshigi bilan zaiiflashtirilganligi sababli kuchlanish quyidagiga teng bo'ladi:

$$\sigma_1 = \frac{N_1}{(b - d_0) \cdot \delta} = \frac{F}{(b - d_0) \cdot \delta} = \frac{500 \cdot 10^3}{(280 - 23) \cdot 12} = 162,34 < 165 \text{ MPa.}$$

*II – II* kesim ikkita parchin mix teshigi bilan zaiflashtirilganligi sababli kuchlanish quyidagiga teng bo'ladi:

$$\sigma_2 = \frac{N_2}{6 \cdot (b - 2d_0) \cdot \delta} = \frac{5F}{6 \cdot (b - 2d_0) \cdot \delta} = \frac{5 \cdot 500 \cdot 10^3}{6 \cdot (280 - 2 \cdot 23) \cdot 12} = 148,39 \text{ MPa.}$$

*III – III* kesim uchita parchin mix teshigi bilan zaiflashtirilganligi sababli kuchlanish quyidagiga teng bo'ladi:

$$\sigma_3 = \frac{N_3}{6 \cdot (b - 3d_0) \cdot \delta} = \frac{3F}{6 \cdot (b - 3d_0) \cdot \delta} = \frac{3 \cdot 500 \cdot 10^3}{6 \cdot (280 - 3 \cdot 23) \cdot 12} = 98,74 \text{ MPa.}$$

Ustqo'ymalarni cho'zilishga mustahkamligini tekshiramiz. Ma'lumki, ustqo'ymaga zo'riqish kuchlari parchin mixlar yordamida uzatiladi. Har bir parchin mix  $F/6$  kuchni uzatadi. Ustqo'ymaga uzunligi bo'yicha ta'sir etayotgan zo'riqish kuchlar epyurasi 5,19, d-chizmada qurib ko'rsatilgan. Ustqo'yma uchun eng xafli kesim *III – III* bo'lishi epyuradan yaqqol ko'rinish turibdi, chunki bu kesimda bitta ustqo'ymaga to'g'ri keladigan zo'riqish kuchi  $N_3 = F/2$  ga teng bo'lib, ko'ndalang kesim yuzasi eng zaiflashgan (kichik) yuza hisoblanadi. Bu ko'ndalang kesimdagi hosil bo'lgan normal kuchlanishni aniqlaymiz:

$$\sigma_{III} = \frac{N_3}{A} = \frac{0,5F}{(b - 3d_0) \cdot \delta_1} = \frac{0,5 \cdot 500 \cdot 10^3}{(280 - 3 \cdot 23) \cdot 8} = 148,104 < 165 \text{ MPa.}$$

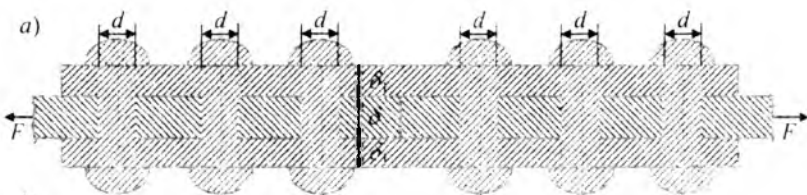
Kuchlanishlarni taqqoslash natijasi quyidagi foizni beradi:

$$\frac{148,104 - 165}{165} \cdot 100\% = -10,24\%.$$

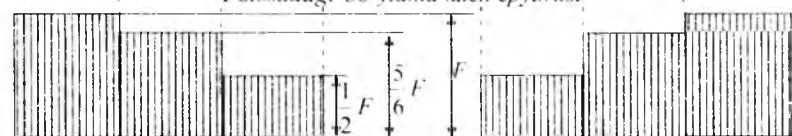
Bundan ko'rindaniki, ustqo'yma ko'ndalang kesimida hosil bo'ladigan kuchlanish  $\sigma_{III} = 148,104 \text{ MPa}$  bilan berilgan ruxsat etilgan kuchlanish  $[\sigma_{ch}] = 165,0 \text{ MPa}$  orasidagi farq juda kichik ekan. Demak, ustqo'ymaning mustahkamligi ta'minlangan.

Konstruksiyani asosiy polosaning parchin mixga tegib turish sirtining ezilishini aniqlaymiz, chunki polosa qalinligi ustqo'yma qalinligining ikkilanganligidan kichik bo'ladi.

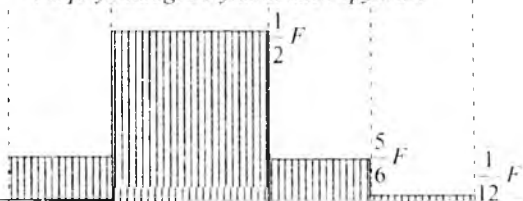
$$\sigma_{ez} = \frac{N_3}{nd_0 \delta} = \frac{500 \cdot 10^3}{6 \cdot 23 \cdot 12} = 301,932 < 320 \text{ MPa.}$$



b) Polosadagi bo'ylama kuch epyurasi



d) Ustgo'ymadagi bo'ylama kuch epyurasi



5.

### 19-chizma. Zo'riqish kuchlari epyuralari

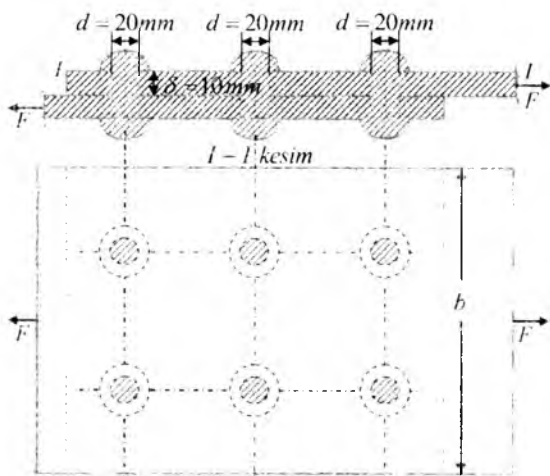
Kuchlanishlarni taqqoslash natijasi quyidagi foizni beradi:

$$\frac{301,932 - 320}{320} \cdot 100\% = -5,65\%.$$

## Xulosa

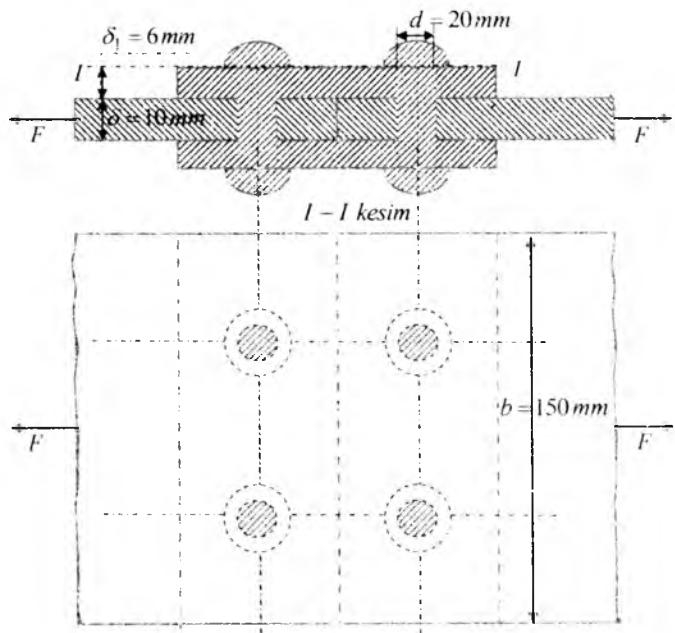
Konstruksiyada ishlayotgan polosada ham parchin mixda ham uzilish va ezilish mustahkamlik shartlari to'liq bajarildi.

5.3-masala. Bir-birining ustiga qo'yib parchin mix bilan biriktirilgan 5.20-chizmada keltirilgan konstruksiya cho'zlishga ishlaydi. Agar uglerodli po'lat 5 rusumli material uchun ruxsat etilgan kuchlanishlarni [10. 2-jadval]dan quyidagilarni qabul qilish tavsiya etilgan:  $[\sigma_{ch}] = 165 \text{ MPa}$ ;  $[\tau_{kes}] = 100 \text{ MPa}$ ;  $[\sigma_{ez}] = 250 \text{ MPa}$  cho'zuvchi kuch miqdori va polosaning eni  $b$  aniqlansin.



5.20-chizma. Ustma-ust qo'yilgan bir kesimli ikki qatorli parchin mixli birikma

5.4-masala. Uchma-uch qo'yib ikki tomoniga ustqo'ymalar o'rnatilib parchin mixlangan, cho'zuvchi  $F = 125 \text{ kN}$  kuch ta'sirida bo'lgan konstruksiya 5.21-chizmada ko'rsatilgan. Parchin mixli birikma mustahkamligi tekshirilsin. Agar uglerodli po'lat 5 rusumli material uchun ruxsat etilgan kuchlanishlarni [10. 2-jadval]dan quyidagilarni qabul qilish tavsiya etilgan  $[\sigma_{ch}] = 165 \text{ MPa}$ ;  $[\tau_{kes}] = 100 \text{ MPa}$ ;  $[\sigma_{ez}] = 250 \text{ MPa}$ .



5.21-chizma. Ustqo 'ymali bir kesimli ikki qatorli parchin mixli birikma

### Tayanch iboralar:

Siljish, sof siljish, normal va urinma, kuchlanishlar, ezilish, siljish bikirligi, parchin mixli birikma, bolqli birikma, parchin mixlarning kesilish tekisliklar soni; parchin mixlar soni, xavfli kesim, ezilish yuzasi, payvand birikma, mustahkamlilik sharti, polosa, choc, ustma-ust payvandlash, uchma-uch payvandlash.

## Test savollari:

### 1. Konstruksiya elementining sof siljish holati – bu:

- elementning o‘zaro perpendikulyar bo‘lgan ikki yuzachasiga faqat urinma kuchlanishlar ta’sir etadigan tekis kuchlanish va deformatsiyalanish holatidir;
- elementning o‘zaro perpendikulyar bo‘lgan ikki yuzachasiga faqat normal kuchlanishlar ta’sir etadigan tekis kuchlanish va deformatsiyalanish holatidir;
- elementning o‘zaro perpendikulyar bo‘lgan ikki yuzachasiga faqat bosh kuchlanishlar ta’sir etadigan tekis kuchlanish va deformatsiyalanish holatidir;
- elementning o‘zaro perpendikulyar bo‘lgan ikki yuzachasiga urinma va normal kuchlanishlar ta’sir etadigan tekis kuchlanish va deformatsiyalanish holatidir;

### 2. Sof siljishda qanday deformatsiya hosil bo‘ladi?

- burchak nisbiy siljish deformatsiya;
- chiziqli deformatsiya;
- buralish va egilish deformatsiya;
- chiziqli va nochiziqli deformatsiya;

### 3. Sof siljishda nisbiy siljish yoki siljish burchagi qaysi javobda to‘g‘ri ko‘rsatilgan?

$$\gamma = \frac{\Delta S}{a}; \quad \gamma = \frac{a}{\Delta S}; \quad \gamma = \Delta S \cdot a; \quad \gamma = \Delta S + a;$$

### 4. Sof siljishda siquvchi va cho‘zuvchi bosh kuchlanishlar o‘zaro va miqdor jihatidan qanday kuchlanishga teng bo‘ladi?

- ekstremal urinma kuchlanishlarga;
- urinma kuchlanishga;
- ekstremal normal;
- normal va urinma kuchlanishlarga.

**5. Bosh kuchlanishlar sof siljish yuzasiga nisbatan qanday burchak ostida joylashgan bo'ladi?**

$$45^0, 135^0; \quad 90^0, 270^0; \quad 0^0, 180^0; \quad 0^0, 360^0.$$

**6. Siljishda kuchlanish qaysi formuladan aniqlanishini ko'rsating.**

$$\tau = \frac{F}{A}; \quad \tau = \frac{\sigma}{E}; \quad \tau = GE; \quad \tau = E\varepsilon.$$

**7. Siljishda Guk qonuni ifodasi qaysi javobda to'g'ri keltirilgan?**

$$\tau = G\gamma; \quad \tau = GE; \quad \tau = E\gamma; \quad \tau = G/\gamma.$$

**8.  $G$ ,  $E$ ,  $\mu$  orasidagi bog'lanish qaysi javobda to'g'ri keltirilgan?**

$$G = \frac{E}{2(1 + \mu)}; \quad G = \frac{E}{2(1 - \mu)}; \quad G = \frac{3(1 + \mu)}{2E}; \quad G = \frac{3(1 - \mu)}{2E}.$$

**9. Elastiklik moduli  $G$  nimaga bog'liq?**

- jism materialiga;
- jism o'lchamlariga;
- jism shakliga;
- jism k o'rinishiga.

**10. Elastiklik moduli  $G$  ning o'lehov birligini ko'rsating.**

$$N/m^2; \quad \kappacc/sm^4; \quad N/m^3; \quad N/m.$$

**11. Po'lat uchun  $E = 2 \cdot 10^7 N/sm^2$ ,  $\mu = 0,25$  bo'lsa, siljishdag elastiklik moduli qiymati quyidagi javoblarning qaysi birida to'g'ri keltirilgan?**

$$G = 8 \cdot 10^6 N/sm^2; \quad G = 2 \cdot 10^7 N/sm^2;$$

$$G = 2,1 \cdot 10^6 N/sm^2; \quad G = 1,1 \cdot 10^7 N/sm^2.$$

**12. Material uchun**  $E = 1,7 \cdot 10^7 \text{ N/sm}^2$ ,  $\mu = 0,39$  **bo‘lganda,** siljishdagi elastiklik moduli qiymati qaysi javobda to‘g‘ri ko‘rsatilgan?

$$G = 6,2 \cdot 10^6 \text{ N/sm}^2;$$

$$G = 2 \cdot 10^5 \text{ N/sm}^2;$$

$$G = 3 \cdot 10^6 \text{ N/sm}^2;$$

$$G = 1,1 \cdot 10^6 \text{ N/sm}^2.$$

**13. Cho‘yan uchun**  $E = 1,15 \cdot 10^7 \text{ N/sm}^2$ ,  $\mu = 0,23$  **bo‘lganda,** siljishdagi elastiklik moduli qiymati qaysi javobda to‘g‘ri ko‘rsatilgan?

$$G = 4,7 \cdot 10^6 \text{ N/sm}^2;$$

$$G = 2,8 \cdot 10^6 \text{ N/sm}^2;$$

$$G = 6 \cdot 10^5 \text{ N/sm}^2;$$

$$G = 3,8 \cdot 10^5 \text{ N/sm}^2.$$

**14. Parchin mixli birikmalar nimaga hisoblanadi?**

- ezilishga va qirqilishga;
- ezilishga va buralishga;
- buralishga va siqlishga,
- egilishga va qirilishga.

**15. Boltli birikmalar nimaga hisoblanadi?**

- ezilishga va qirqilishga;
- ezilishga va buralishga;
- buralishga va siqlishga;
- egilishga va qirilishga.

**16. Bir xil materiallar uchun**  $E$  va  $G$  orasida qanday munosabat mavjud?

$$E > G;$$

$$E < G;$$

$$E = G;$$

$$E \propto G.$$

**17. Sof siljishda materialning hajmi o‘zgaradimi?**

- o‘zgarmaydi;
- o‘zgaradi;
- plastik material uchun o‘zgaradi;
- elastik material uchun o‘zgarmaydi.

**18. Sof siljishda hajm, shakl va o'lchamlar o'zgaradimi?**

- hajmi o'zgarmaydi, shakli va o'lchamlari o'zgaradi;
- hajmi, shakli va o'lchamlari o'zgaradi;
- hajmi, shakli o'zgarmaydi va o'lchamlari o'zgaradi;
- hajm, shakli va o'lchamlari o'zgarmaydi.

**19. Siljishdagi elastiklik moduli qiymati qanday aniqlanadi?**

- tajriba yo'li bilan;
- matematik yo'li bilan;
- kinematik yo'l bilan;
- aniq yo'l bilan.

**20. Siljishdagi parchin mix mustahkamlik sharti qanday ifodalanadi?**

$$\tau = G\gamma \leq [\tau]; \quad \tau = GE \leq [\tau]; \quad \tau = E\gamma \leq [\tau]; \quad \tau = (G/\gamma) \leq [\tau].$$

**21. Chegaraviy holatda urinma kuchlanishlar parchin mixning qirqlish kesimi bo'ylab qanday taqsimlanadi?**

- tekis;
- ixtiyoriy;
- parabola;
- yuqori tartibli egri chiziqli.

**22. Parchin mixlarning kesimlari bo'yicha ikki qirqlish yuzasi qaysi formulada to'g'ri keltirilgan?**

$$F_q = \frac{\pi d^2}{2}; \quad F_q = \frac{\pi d^2}{4}; \quad F_q = \frac{3\pi d^2}{4}; \quad F_q = k \frac{\pi d^2}{4}.$$

**23. Parchin mixlarning kesimlari bo'yicha  $k$  ta qirqlish yuzasi qaysi formuladan aniqlanadi?**

$$F_q = k \frac{\pi d^2}{4}; \quad F_q = k \frac{\pi d^2}{2}; \quad F_q = \frac{\pi d^2}{4k}; \quad F_q = \frac{3\pi d^2}{4k}.$$

## **24. Parchin mixli konstruksiyaning qaysi bir elementlari eziladi?**

- parchin mix, listlarning mixga yopishgan silindrik sirtlari;
- parchin mix sirtlari;
- listlarning mixga yopishgan silindrik sirtlari;
- parchin mixli birikma faqat siljishga ishlaydi.

## **25. Parchin mixli konstruksiya elementining ezilish yuzasi nimaga teng?**

$$A_{e\varphi} = d\delta; \quad A_{e\varphi} = \pi d^2 / 2; \quad A_{e\varphi} = \pi d^2 / 4; \quad A_{e\varphi} = k \pi d^2 / 4.$$

## **26. Parchin mixli konstruksiya elementlarini hisoblashda ezilish yuzasi sifatida qanday yuza qabul qilinadi?**

- elementlarning tegib turgan sirtining diametrial tekislikka bo‘lgan proyeksiyasi;
- elementlarning tegib turgan sirtining diametrial tekislikka parallel bo‘lgan proyeksiyasi;
- elementlarning tegib turgan sirtining diametrial tekislikka bo‘lgan sathi;
- elementlarning tegib turgan sirtining diametrial tekislikka bo‘lgan yuzasi.

## **27. Parchin mix uchun qirqlish va ezilish bo‘yicha aniqlangan kuchlardan qaysi biri elinadi?**

- kichigi;
- kattasi;
- qirquvchisi;
- ezuvchisi.

## **28. Parchin mixlar qirqlishdagi mustahkamlik sharti qaysi formulada to‘g‘ri keltirilgan?**

$$\tau_{\max} = \frac{F}{n \frac{\pi d^2}{4}} \leq [\tau]; \quad \sigma_{e\varphi} = \frac{F}{n A_{e\varphi}} \leq [\sigma_{e\varphi}];$$

$$\sigma = \frac{F}{A} \leq [\sigma]; \quad \sigma_{\max} \leq [\sigma_{vaq}].$$

**29. Parchin mixli konstruksiyalar ishlashi davrida qanday deformatsiyalar hosil bo‘ladi?**

- siljish, ezilish, cho‘zilish, siqilish;
- siljish, ezilish, buralish;
- siljish, ezilish, buralish, siqilish;
- buralish, ezilish, cho‘zilish, siqilish, egilish.

**30. Payvand birikmalar bilan parchin mixli birikmalarning qaysi biri foydaliroq?**

- payvand birikma;
- parchin mixli birikma;
- har ikkalasi ham;
- boltli birikma.

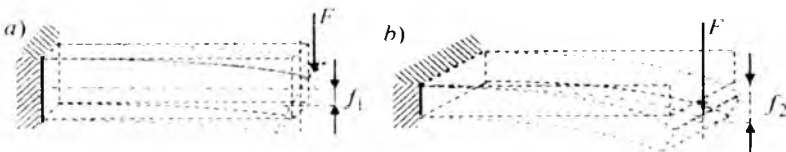
## 6-BOB.

### TEKIS KESIM GEOMETRIK TAVSIFLARI

#### 6.1-§. Umumiy ma'lumotlar

Ma'lumki, cho'zilish va siqilishga ishlovchi sterjenlarning ko'ndalang kesimida hosil bo'lgan kuchlanishlar, sterjen mustahkamligi va bikirligi ko'ndalang kesim o'lchamlari miqdoriga bog'liq.

Ko'ndalang kesim yuzasi bir-biriga teng bo'lgan sterjenlarni ikki xil mahkamlangan holatdagi egilishini qarab chiqamiz (6.1,a,b-chizma). Bunda  $F$  to'plangan kuch ta'sirida bo'lgan sterjenlarning erkin uchlaridagi vertikal ko'chishlari biri ikkinchisidan katta farq qiluvechi ikki xil  $f_1 < f_2$  miqdorga ega bo'lganligini ko'ramiz:



6.1-chizma. Tashqi kuch ta'siridan sterjenda hosil bo'lgan deformatsiyalari

Demak, bu misoldan ko'rindaniki, ko'ndalang kesim yuzasi sterjening egilishda muhim ro'l o'ynamaydi.

Xulosa qilib quyidagilarni aytish mumkin:

1. Sterjenlarni egilishga, buralishga murakkab qarshilikka hisoblashda, shuningdek siqilgan sterjenlarni ustuvorlikka hisoblashda kesim yuzidan murakkabroq bo'lgan geometrik xarakteristikalaridan toydalanishga to'g'ri keladi.

2. Bunday xarakteristikalar jumlasiga tekis kesim yuzalarining o'qqa nisbatan statik momentlari, tekis kesim yuzalarining o'qqa nisbatan inersiya momentlari, qutb inersiya momentlari va kesim yuzalarining o'qqa nisbatan qarshilik inomentlari kiradi.

## 6.2-§. Kesimning statik momentlari

Qaralayotgan tekis kesim yuzasidan ajratilgan elementar yuzachalar yuzi bilan shu yuzachalardan koordinata o'qlargacha bo'lgan masofalariga ko'paytmasi yig'indisiga tekis kesim yuzining koordinata o'qlariga nisbatan statik momentlari deb ataladi (6.2,a-chizma).

Tekis kesim yuzasining  $0x, 0y$  o'qlariga nisbatan statik momentlari matematik ifodasi tegishlicha quyidagicha bo'ladi:

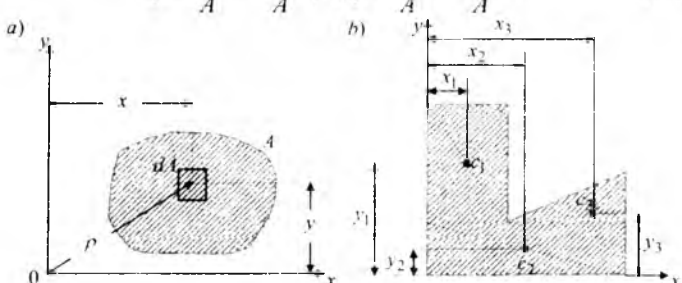
$$S_x = \int_A y dA, \quad S_y = \int_A x dA. \quad (6.1)$$

Tekis kesim og'irlik markazi koordinatalari va kesim yuzasi yuzi ma'lum bo'lsa,  $0x, 0y$  o'qlariga nisbatan statik momentlari tegishlicha quyidagicha formulalardan aniqlanadi:

$$S_x = y_c \cdot A, \quad S_y = x_c \cdot A. \quad (6.2)$$

*Og'irlik markazi.* Agar tekis kesim yuzasi yuzi va o'qlarga nisbatan statik momentlari ma'lum bo'lsa, tekis kesim og'irlik markazi koordinatalari quyidagi formuladan aniqlanadi [30, part 1, p-139]:

$$x_c = \frac{S_y}{A} = \frac{\int_A x dA}{A}, \quad y_c = \frac{S_x}{A} = \frac{\int_A y dA}{A}. \quad (6.3)$$



6.2-chizma. Tekis kesim yuzalari

Murakkab ko'rinishdagi tekis kesim yuzasi og'irlik markazi koordinatalarini topish uchun kesim yuzalari ma'lum bo'lgan bir qancha mumkin bo'lgan oddiy kesimlarga ajratamiz (6.2,b-chizma).

Murakkab kesim yuzasi og'irlik markazi koordinatalari quyidagi formulalardan aniqlanadi:

$$x_c = \frac{A_1 \cdot x_1 + A_2 \cdot x_2 + A_3 \cdot x_3 + \dots + A_n \cdot x_n}{A_1 + A_2 + A_3 + \dots + A_n} = \frac{\sum_{i=1}^n A_i \cdot x_i}{\sum_{i=1}^n A_i},$$

$$y_c = \frac{A_1 \cdot y_1 + A_2 \cdot y_2 + A_3 \cdot y_3 + \dots + A_n \cdot y_n}{A_1 + A_2 + A_3 + \dots + A_n} = \frac{\sum_{i=1}^n A_i \cdot y_i}{\sum_{i=1}^n A_i}, \quad \boxed{(6.4)}$$

### Xulosa

1. Tekis kesim statik momentlari musbat, manfiy va nol qiyimatlarni qabul qiladi;
2. Tekis kesim statik momentlari  $sm^3$  bilan o'ldchanadi.

### 6.3-§.Tekis kesim inersiya momentlari

Qaralayotgan tekis kesim yuzasidan ajratilgan elementar yuzachalar yuzi bilan shu yuzachalardan o'qlargacha bo'lgan masofa kvadratlariga ko'paytmasi yig'indisiga o'q yoki ekvatorial inersiya momenti deb ataladi (6.2,a-chizma).

Tekis kesimning  $0x$  va  $0y$  o'qlariga nisbatan inersiya momentlari quyidagi formuladan aniqlanadi:

$$I_x = \int_A y^2 dA, \quad I_y = \int_A x^2 dA. \quad \boxed{(6.5)}$$

Tekis kesim yuzasidan ajratilgan barcha elementar yuzachalar yuzi bilan shu yuzachadan koordinata boshigacha bo'lgan masofa kvadratlariga ko'paytmasi yig'indisiga qutb inersiya momenti deb ataladi. Qutb inersiya momenti quyidagi formuladan aniqlanadi:

$$I_\rho = \int_A \rho^2 dA. \quad \boxed{(6.6)}$$

Tekis kesim yuzasining qutb va ekvatorial inersiya momentlari orasidagi bog'lanishni aniqlaymiz. 6.2,a-chizmadan quyidagi bog'lanishni aniqlash muammo tug'dirmaydi [30, part I, p-140]:

$$\rho^2 = x^2 + y^2. \quad \boxed{(6.7)}$$

Unda qutb inersiya momentini quyidagicha ifodalash mumkin:

$$I_{\rho} = \int_A \rho^2 dA = \int_A (x^2 + y^2) dA = \int_A x^2 dA + \int_A y^2 dA. \quad (6.8)$$

Yoki bu formulani quyidagi ko'rinishda ham ifodalash mumkin:

$$I_{\rho} = I_x + I_y. \quad (6.9)$$

Tekis kesim yuzasidan ajratilgan barcha elementar yuzachalar yuzi bilan shu yuzachalardan koordinata o'qlargacha bo'lgan masofalariga ko'paytmalarining yig'indisiga markazdan qochirma inersiya momenti deb ataladi va quyidagicha ifodalanadi [30, part I, p-151]:

$$I_{xy} = \int_A xy dA. \quad (6.10)$$

## Xulosa

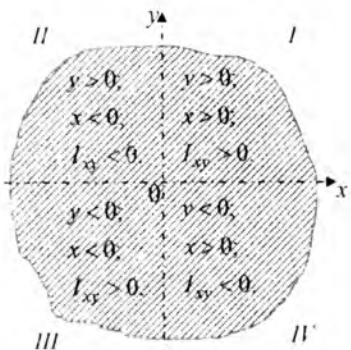
1. Tekis kesim yuzalarining ekvatorial (o'q) va qutb inersiya momentlari faqat musbat qiymatlarni qabul qilib  $sm^4$  da o'lchanadi.

2. Tekis kesim yuzalardan o'zaro perpendikulyar bo'lgan o'qlarga nisbatan olingan ekvatorial inersiya momentlarning yig'indisi shu o'qlarning kesishgan nuqtasiga nisbatan olingan qutb inersiya momentiga teng bo'lar ekan.

3. Tekis kesim yuzalarining markazdan qochirma inersiya momenti o'qlarning holatiga qarab musbat, mansiy va nol qiymatlarni qabul qilib  $sm^4$  da o'lchanadi.

Markazdan qochirma inersiya moment ishorasini quyidagi mulohazadan osongina aniqlash mumkin (6.3-chizma). Koordinatalar tizimining I va III choraklarida yotgan kesim qismining har ikkala koordinatalari bir xil ishorali bo'lganligi sababli markazdan qochirma inersiya moment musbat bo'ladi.

Lekin II va IV choraklarida yotgan kesim qismining koordinatalari har xil ishorali bo'lganligi uchun markazdan qochirma inersiya moment manfiydir. Demak, qaralayotgan kesimning kattaroq qismi I va III choraklarida yotsa, unda butun yuzaning inersiya momenti musbat, vaholanki, II va IV choraklarida yotsa – manfiy.



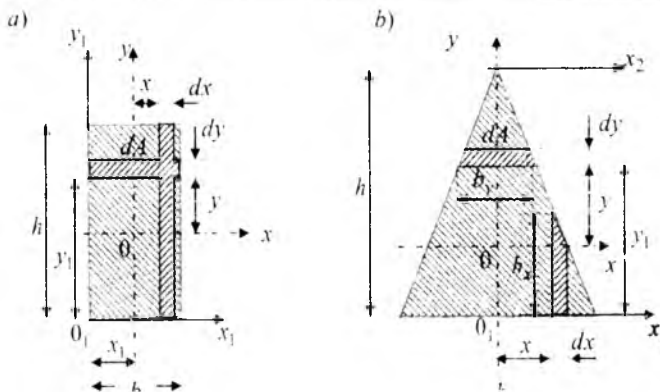
6.3-chizma. Markazdan qochirma inersiya moment ishoraları

#### 6.4-§. Oddiy tekis kesim inersiya momentlari

1. To'g'ri to'rtburchak. 6.3-paragrafdagi (6.5) formula asosida markaziy o'qlarga nisbatan inersiya momentlarini hisoblashni ko'rib chiqamiz. Buning uchun to'g'ri to'rtburchakdan fikran  $0x$  markaziy o'qiga parallel bo'lgan chiziqlar yordamida yuzasi  $dA = bdy$  bo'lgan elementar yuzacha ajratamiz (6.4,a-chizma).

Unda  $0x$  markaziy o'qqa nisbatan inersiya momenti quyida-  
gicha bo'ladi [30, part I, p-142]:

$$I_x = \int_A y^2 dA = \int_{-h/2}^{h/2} y^2 (bdy) = b \frac{y^3}{3} \Big|_{-h/2}^{h/2} = b \left( \frac{(h/2)^3}{3} \right) - b \left( \frac{(-h/2)^3}{3} \right) = \frac{bh^3}{12} \quad (6.11)$$



6.4-chizma. To'g'ri to'rtburchak va uchburchak kesim yuzalari

Xuddi shu usulda 0y markaziy o'qiga nisbatan inersiya momentini hisoblab topish mumkin, ya'ni:

$$I_y = \int_A x^2 dA = \int_{-b/2}^{b/2} x^2 (h dx) = h \left[ \frac{x^3}{3} \right]_{-b/2}^{b/2} = h \left( \frac{(b/2)^3}{3} \right) - b \left( \frac{(-b/2)^3}{3} \right) = \frac{hb^3}{12} \quad (6.12)$$

To'g'ri to'rtburchakli tekis kesimning markaziy o'qlarga nisbatan markazdan qochirma inersiya momenti nolga teng.

2. *Kvadrat*. Kvadrat shaklidagi kesimning o'qlarga nisbatan inersiya momentlarini  $h=b=a$  tomonlari teng bo'lganligi sababli to'g'ri to'rtburchakning xususiy holi deb qarash mumkin, unda o'qlarga nisbatan inersiya momentlari quyidagicha bo'ladi (6.4,a-chizma):

$$I_x = I_y = \frac{a^4}{12} \quad (6.13)$$

3. *Uchburchak*. 6.4,b-chizmadagi kesimning 0x markaziy o'qiga nisbatan inersiya momentini topish uchun unda shtrixlab ajratib ko'rsatilgan cheksiz kichik trapetsiya yuzachasining o'zgaruvchi eni uchburchaklarning o'xshashlik alomatidan aniqlanadi (6.4,b-chizma):

$$\frac{b_y}{b} = \frac{(2h/3) - y}{h}, \text{ bundan } b_y = \frac{b[(2h/3) - y]}{h} \quad (6.14)$$

Unda kesimning 0x markaziy o'qiga nisbatan inersiya momenti quyidagiga teng bo'ladi:

$$\begin{aligned} I_x &= \int_A y^2 dA = \int_{-h/3}^{2h/3} y^2 (b_y) dy = \int_{-h/3}^{2h/3} y^2 \frac{b}{h} \left( \frac{2h}{3} - y \right) dy = \\ &= \frac{b}{h} \int_{-h/3}^{2h/3} \left( \frac{2h}{3} y^2 - y^3 \right) dy = b \left[ \frac{2h}{3} \frac{y^3}{3} - \frac{y^4}{4} \right]_{-h/3}^{2h/3} = \frac{bh^3}{36} \end{aligned} \quad (6.15)$$

0y markaziy o'qiga nisbatan inersiya momentini topish uchun unda shtrixlab ajratib ko'rsatilgan cheksiz kichik trapetsiya yuzachasining o'zgaruvchi balabdligi uchburchaklarning o'xshashlik alomatidan aniqlanadi:

$$h_x = \frac{h[(h/2) - x]}{h/2} \quad (6.16)$$

Xuddi shu usulda  $Oy$  markaziy o'qiga nisbatan inersiya momentini hisoblab topish mumkin, ya'ni:

$$I_x = \int_A x^2 dA = 2 \int_0^{b/2} x^2 h_x dx = 2 \cdot \int_0^{b/2} x^2 \frac{2h}{b} \left( \frac{b}{2} - x \right) dx = 2 \cdot \frac{2h}{b} \left[ \frac{b}{2} x^3 - \frac{x^4}{4} \right]_0^{b/2} = \frac{b^3 h}{48} \quad (6.17)$$

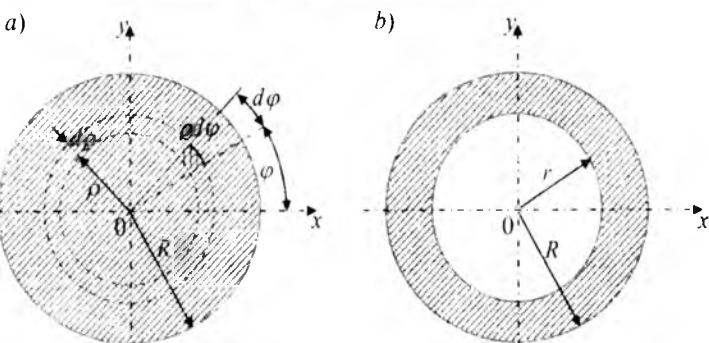
4. Doira. Avval qutb inersiya momentini topish maqsadga muvofiqdir.

Aniqlangan qutb inersiya momentidan foydalanib markaziy o'qlarga nisbatan inersiya momentlarini aniqlash qulaylik tug'diradi. 6.5-a-chizmadagi doiradan radiuslari  $\rho$  va  $\rho + d\rho$  bo'lgan ikkita aylana bilan elementar  $dA = \rho \cdot d\varphi \cdot d\rho$  yuzacha ajratamiz. Unda doira yuzining qutb inersiya momenti quyidagicha aniqlanadi [30, part I, p-140]:

$$I_\rho = \int_A \rho^2 dA = \iint_A \rho^2 \rho d\varphi d\rho = \int_0^{2\pi} d\varphi \int_0^R \rho^3 d\rho = \frac{R^4}{4} \int_0^{2\pi} d\varphi = \frac{\pi R^4}{2} = \frac{\pi D^4}{32} \approx 0,1D^4 \quad (6.18)$$

Doiraviy kesimning markaziy o'qlarga nisbatan olingan inersiya momentlari bir-biriga teng bo'ladi, chunki doira kesim yuzasi har ikkala markaziy o'qlarga nisbatan simmetrikdir. Unda doiraviy kesimning markaziy o'qlarga nisbatan inersiya momentlari (6.5) va (6.18) formulalarga asosan quyidagiga teng bo'ladi:

$$I_x = I_y = \frac{I_\rho}{2} = \frac{\pi R^4}{4} = \frac{\pi D^4}{64} \approx 0,05D^4 \quad (6.19)$$



6.5-chizma. Doira va halqa kesim yuzalar

4. Halqa. Halqa kesimning inersiya momentlari tashqi va ichki doiralar inersiya momentlarining ayirmasiga teng bo‘ladi (6.5,b-chizma):

Qutb inersiya momenti quyidagi formuladan aniqlanadi:

$$I_P = \frac{\pi R^4}{2} - \frac{\pi r^4}{2} = \frac{\pi D^4}{32} - \frac{\pi d^4}{32} = \frac{\pi D^4}{32} (1 - c^4) \quad (6.20)$$

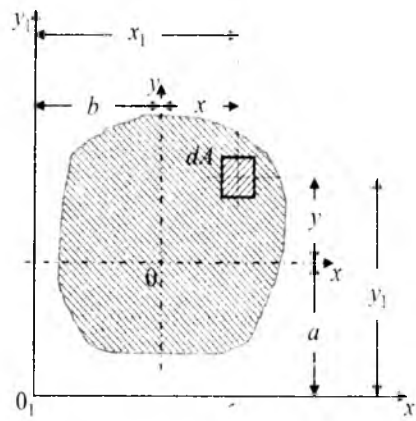
Markaziy koordinata o‘qlariga nisbatan inersiya momentlari quyidagi formuladan aniqlanadi:

$$I_x = I_y = \frac{I_P}{2} = \frac{\pi R^4}{4} - \frac{\pi r^4}{4} = \frac{\pi D^4}{64} - \frac{\pi d^4}{64} = \frac{\pi D^4}{64} (1 - c^4) \quad (6.21)$$

Bunda  $c = d/D$  ichki doira  $d$  diametrning tashqi doira  $D$  diametriga nisbati bo‘lib, o‘lchamsiz miqdordir.

### 6.5-§. Tekis kesim o‘qlari parallel ko‘chirilganda inersiya momentlari

Ixtiyoriy shakldagi biror tekis kesim yuzining markaziy o‘qlariga nisbatan inersiya  $I_x$ ,  $I_y$  momentlari va markazdan qochirma  $I_{y_0}$  inersiya momenti ma’lum bo‘lsin (6.6-chizma).



6.6-chizma. Parallel koordinatalar tizimida joylashgan tekis kesim

Tekis kesim yuzining markaziy  $0x_1$ ,  $0y_1$  o'qlariga parallel ravishda  $a$  va  $b$  masofalardan o'tgan  $0x_1$ ,  $0y_1$  o'qlarga nisbatan inersiya  $I_{x_1}, I_{y_1}, I_{x_1y_1}$  momentlarini aniqlash masalasini ko'rib chiqamiz. Elementar  $dA$  yuzachaning markaziy va parallel o'qlariga nisbatan koordinatalari orasidagi bog'lanishlar quyidagicha ifodalanadi:

$$y_1 = y + a, \quad x_1 = x + b. \quad (6.22)$$

Unda tekis kesim yuzining  $0x_1$  va  $0y_1$  o'qlarga nisbatan inersiya  $I_{x_1}, I_{y_1}, I_{x_1y_1}$  momentlarining ifodalari (6.5) va (6.22) formulalarga asosan quyidagiga teng bo'ladi [30, part I, p-144]:

$$\begin{aligned} I_{x_1} &= \int_A y_1^2 dA = \int_A (y + a)^2 dA = \int_A y^2 dA + 2a \int_A y dA + a^2 \int_A dA, \\ I_{y_1} &= \int_A x_1^2 dA = \int_A (x + b)^2 dA = \int_A x^2 dA + 2b \int_A x dA + b^2 \int_A dA, \\ I_{x_1y_1} &= \int_A x_1 y_1 dA = \int_A (x + b)(y + a) dA = \int_A xy dA + a \int_A x dA + b \int_A y dA + ab \int_A dA. \end{aligned} \quad (6.23)$$

Bu formuladagi  $\int_A x dA$  va  $\int_A y dA$  integrallar markaziy o'qlarga nisbatan tekis kesim yuzasi statik moment bo'lgani sababli ular nolga teng bo'ladi, (6.23) formulaning oxirgi hadidagi integral tekis kesim yuzasining to'la yuzasini beradi, ya'ni  $\int_A dA = A$ . Formulaning o'ng tomonidagi birinchi hadlari tekis kesim yuzasining markaziy o'qlarga nisbatan inersiya momentlarini ifodalaydi, ya'ni:

$$I_x = \int_A y^2 dA, \quad I_y = \int_A x^2 dA, \quad I_{xy} = \int_A xy dA. \quad (6.24)$$

Demak, bularni e'tiborga olib parallel o'qlarga nisbatan inersiya momentlarini quyidagicha ifodalash mumkin bo'ladi:

$$I_{x_1} = I_x + a^2 \cdot A, \quad I_{y_1} = I_y + b^2 \cdot A, \quad I_{x_1y_1} = I_{xy} + ab \cdot A. \quad (6.25)$$

## Xulosa

1. Tekis kesim yuzining ixtiyoriy o'qqa nisbatan inersiya momenti, shu o'qqa parallel ravishda kesim og'irlik markazidan o'tuvchi markaziy o'qqa nisbatan olingan inersiya momenti bilan kesim yuzaning o'qlar orasidagi masofa kvadratiga ko'paytmasining yig'indisiga teng.

2. Tekis kesim yuzining ixtiyoriy o'qqa nisbatan markazdan qochirma inersiya momenti, shu o'qqa parallel ravishda kesim og'irlik markazidan o'tuvchi markaziy o'qlarga nisbatan olingan markazdan qochirma inersiya momenti bilan kesim yuzining o'qlarga nisbatan olingan koordinatalariga ko'paytmasining yig'indisiga teng.

### 6.6-§. Murakkab tekis kesim inersiya momentlari

Murakkab tekis kesim yuzasi inersiya momentlarini hisoblash uchun kesim yuzasini bir qancha mumkin bo'lgan ma'lum oddiy kesimlarga ajratamiz. Shundan so'ng murakkab tekis kesimning bior o'qqa nisbatan inersiya momentini topish uchun har qaysi oddiy kesimning shu o'qqa nisbatan inersiya momentlari (6.25) formula asosida aniqlanib, keyin ularni qo'shamiz, ya'ni:

$$I_x = I_x^I + I_x^{II} + I_x^{III} + \dots + I_x^n = \sum_{i=1}^n I_x^i. \quad (6.26)$$

Bunda

$$\begin{aligned} I_x^I &= I_{x_1}^I + a_1^2 A_1, & I_x^{II} &= I_{x_1}^{II} + a_2^2 A_2, \\ I_x^{III} &= I_{x_1}^{III} + a_3^2 A_3, & I_x^n &= I_{x_1}^n + a_n^2 A_n. \end{aligned} \quad (6.27)$$

Bu yerda

$I_{x_1}^I, I_{x_1}^{II}, I_{x_1}^{III}, I_{x_1}^n$  ajratilgan oddiy tekis kesimlarning markaziy o'qlariga nisbatan inersiya momentlari;

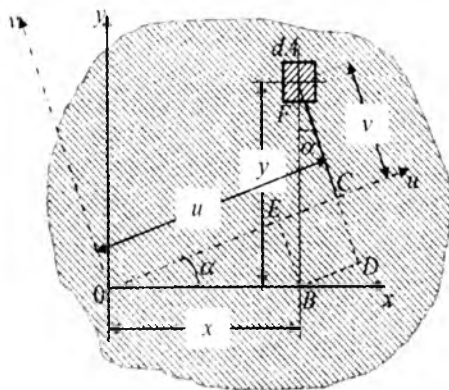
$a_1, a_2, a_3, \dots, a_n$  oddiy kesim markaziy o'qi bilan murakkab kesim markaziy o'qlari orasidagi eng qisqa masofa.

Xuddi shuningdek  $0y$  o'qiga nisbatan inersiya momenti va markazdan qochirma inersiya momentlari aniqlanadi.

### 6.7-§. Tekis kesim koordinata o'qlari burilganda inersiya momentlari

Qaralayotgan tekis kesim yuzasining  $0x$  va  $0y$  o'qlariga nisbatan inersiya  $I_x$ ,  $I_y$ ,  $I_{xy}$  momentlari berilgan bo'linsin. Koordinata o'qlarini soat millari bo'yicha  $\alpha$  burchakka burib  $0u$  va  $0v$  o'qlarini hosil qilamiz. Tekis kesim yuzasining yangi o'qlarga nisbatan inersiya  $I_u$ ,  $I_v$ ,  $I_{uv}$  momentlarini aniqlaymiz. Buning uchun tekis kesim yuzasidan  $dA$  elementar yuzacha ajratamiz, uning yangi o'qlardagi koordinatalarini dastlabki o'q koordinatalari bilan bog'laymiz (6.7-chizma):

$$\begin{aligned} u &= \overline{OC} = \overline{OE} + \overline{EC} = \overline{OE} + \overline{BD} = x \cos \alpha + y \sin \alpha, \\ v &= \overline{FC} = \overline{FD} - \overline{CD} = \overline{FD} - \overline{EB} = y \cos \alpha - x \sin \alpha. \end{aligned} \quad (6.28)$$



6.7-chizma. Koordinata o'qlari burilganda inersiya momentlaringin o'zgarishi

Bu bog'lanishlardan foydalanib  $0u$  koordinata o'qiga nisbatan tekis kesimning inersiya  $I_u$  momentini quyidagicha ifodalash mumkin:

$$I_u = \int_A v^2 dA = \int_A (y \cos \alpha - x \sin \alpha)^2 dA =$$

$$\cos^2 \alpha \int_A y^2 dA - 2 \sin \alpha \cos \alpha \int_A xy dA + \sin^2 \alpha \int_A x^2 dA. \quad (6.29)$$

Bu tenglamadagi integrallar quyidagilarni ifodalaydi:

$$I_x = \int_A y^2 dA, \quad I_y = \int_A x^2 dA \quad \text{va} \quad I_{xy} = \int_A xy dA. \quad (6.30)$$

Unda (6.29) inersiya momentini quyidagicha yozish mumkin:

$$I_u = I_x \cos^2 \alpha + I_y \sin^2 \alpha - I_{xy} \sin 2\alpha. \quad (6.31)$$

Xuddi shuningdek  $uv$  koordinata o'qiga nisbatan tekis kesimning inersiya  $I_v$  momentini quyidagicha ifodalash mumkin:

$$I_v = I_x \sin^2 \alpha + I_y \cos^2 \alpha + I_{xy} \sin 2\alpha. \quad (6.32)$$

Tekis kesim yuzining markazdan qochirma inersiya momenti quyidagiaga teng:

$$I_{uv} = \int_F (y \cos \alpha - x \sin \alpha)(y \sin \alpha + x \cos \alpha) dA =$$

$$= \sin \alpha \cos \alpha \int_F y^2 dA - \sin \alpha \cos \alpha \int_F x^2 dA + (\cos^2 \alpha - \sin^2 \alpha) \int_F xy dA. \quad (6.33)$$

Markazdan qochirma inersiya momenti ifodasiga ba'zi trigonometrik o'zgartirishlar kiritib quyidagicha ifodalaymiz:

$$I_{uv} = \frac{I_x - I_y}{2} \sin 2\alpha + I_{xy} \cos 2\alpha. \quad (6.34)$$

Yuqoridagi (6.31) va (6.32) tengliklarni hadlab qo'shib quyidagi ifodani hosil qilamiz:

$$I_u + I_v = I_x + I_y = I_p. \quad (6.35)$$

(6.31) va (6.32) tengliklarni hadlab ayirib quyidagi ifodani hosil qilamiz:

$$I_u - I_v = (I_x - I_y) \cos 2\alpha - I_{xy} \sin 2\alpha. \quad (6.36)$$

## Xulosi

1. O'zaro perpendikulyar bo'lgan o'qlarga nisbatan inersiya momentlari va markazdan qochirma inersiya momentlari ma'lum bo'lsa, shu o'qlar koordinata boshidan o'tuvchi o'zaro perpendikulyar bo'lgan ixtiyoriy boshqa o'qlarga nisbatan inersiya momentlarini topish mumkin.

2. O'zaro perpendikulyar bo'lgan ixtiyoriy burchakka burilgan o'qiarga olingan inersiya  $I_u, I_v, I_{uv}$  momentlari og'ish  $\alpha$  burchaginining funksiyasidir.

3. O'zaro perpendikulyar bo'lgan o'qlar koordinata bosh atrofida ixtiyoriy burchakka burilganda bu o'qlarga nisbatan olingan inersiya momentlarining yig'indisi o'zgarmas miqdor bo'lib, u qutb inersiya momentiga teng.

### 6.8-§. Tekis kesim bosh inersiya o'qlari va bosh inersiya momentlari

O'zaro perpendikulyar bo'lgan ixtiyoriy o'qlarga nisbatan inersiya  $I_u, I_v, I_{uv}$  momentlarining miqdori  $\alpha$  burchakka bog'liq. Og'ish burchaginining shunday bir  $\alpha = \alpha_0$  qiymatini topish mumkinki, unda inersiya  $I_u, I_v$  momentlari ekstremal qiymatlarga erishadi. Og'ish burchaginining bunday miqdorini topish uchun  $I_u$  inersiya momenti ifodasi hosilasini olib nolga tenglaymiz:

$$\frac{dI_u}{d\alpha} = -2I_x \cos \alpha_0 \sin \alpha_0 + 2I_y \sin \alpha_0 \cos \alpha_0 - 2I_{xy} \cos 2\alpha_0 = 0. \quad (6.37)$$

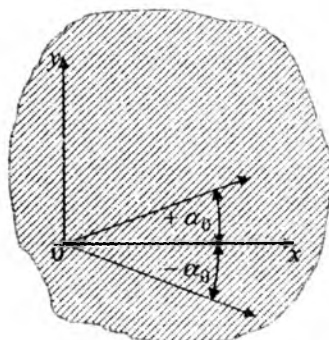
Bu tenglikni quyidagi ko'rinishga keltirish mumkin:

$$\frac{dI_u}{d\alpha} = (I_x - I_y) \sin 2\alpha_0 + 2I_{xy} \cos 2\alpha_0 = 0. \quad (6.38)$$

Bundan

$$\tan 2\alpha_0 = -\frac{2I_{xy}}{I_x - I_y} \quad (6.39)$$

Ushbu formuladan aniqlangan  $\alpha_0$  burchakni musbat deb hisoblaymiz, agar dastlabki o'qqa nisbatan bosh inersiya moment o'qi soat strelkasi millariga teskari va agar soat millari bo'yicha burilsa, manfiy (6.8-chizma).



### 6.8-chizma. Burilish burchaklarining ishoralari

Yuqoridagi (6.39) formuladan aniqlangan  $\alpha_0$  va  $\alpha_0 + 90^\circ$  burchaklar ostida o'tuvchi o'zaro perpendikulyar bo'lgan ikkita o'q holatlari aniqlanadi. Bu o'qlarga nisbatan ekvatorial inersiya momentlar ekstremal qiymatlarga erishadi. Bunday o'qlarga *bosh o'qlar* deb ataladi. Bosh o'qlarga nisbatan olingan inersiya momentlariga *bosh inersiya momentlari* deb ataladi.

Bosh inersiya  $I_u = I_{\max}$ ,  $I_v = I_{\min}$  momentlarini aniqlaymiz.

(6.34) formulani boshqacha ko'rinishda ifodalab olamiz. Buning uchun trigonometriyadan ma'lum bo'lgan quyidagi bog'lanishlardan foydalanamiz:

$$\cos^2 \alpha = \frac{1}{2}(1 + \cos 2\alpha), \quad \sin^2 \alpha = \frac{1}{2}(1 - \cos 2\alpha). \quad (6.40)$$

Unda (6.35) formula quyidagi ko'rinishda ifodalanadi:

$$I_u = \frac{I_x + I_y}{2} + \frac{I_x + I_y}{2} \cos 2\alpha + I_v \sin 2\alpha. \quad (6.41)$$

Bu formulaga  $\alpha = \alpha_0$  qo'yib  $\cos 2\alpha_0$  qavsdan chiqarib quyidagi hosil qilamiz:

$$I_u = \frac{I_x + I_y}{2} + \left( \frac{I_x + I_y}{2} + I_{xy} \operatorname{tg} 2\alpha_0 \right) \cos 2\alpha_0. \quad (6.42)$$

(6.41) formulani va trigonometriyadan ma'lum bo'lgan ifodani e'tiborga olish natijasida quyidagi ifoda hosil bo'ladi:

$$\cos 2\alpha_0 = \pm \frac{1}{\sqrt{1 + \operatorname{tg}^2 2\alpha_0}} = \pm \frac{I_x - I_y}{\sqrt{(I_x - I_y)^2 + 4I_{xy}^2}}. \quad (6.43)$$

(6.43) ni (6.42) ifodaga qo'yib, qavs ichidagi ifodalarni umumiyl maxrajga keltirib va ba'zi qisqartirish amallarini bajarish natijasida quyidagi formula hosil bo'ladi:

$$I_{\max} = \frac{I_x + I_y}{2} + \frac{1}{2} \sqrt{(I_x - I_y)^2 + 4I_{xy}^2}, I_{\min} = \frac{I_x + I_y}{2} - \frac{1}{2} \sqrt{(I_x - I_y)^2 + 4I_{xy}^2} \quad (6.44)$$

## Xulosa

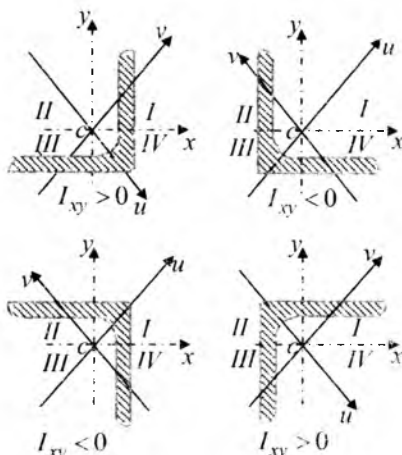
1. Bosh o'qlarga nisbatan inersiya momentlari ekstremal  $I_{u,v} = I_{\max, \min}$  qiymatlarga erishadi.
2. Bosh o'qlarga nisbatan markazdan qochirma inersiya  $I_w = 0$  momenti nolga teng.
3. Agar  $I_u = I_v$  bo'lib,  $I_{u,v} = 0$  bo'lsa, bosh o'qlar dastlabki o'qlarga nisbatan  $45^\circ$  ostida o'tadi.

Agar bosh inersiya o'qlarining qanday joylanganligi ma'lum bo'lsa, unda markazdan qochirma inersiya momenti ishorasi quyidagi qonuniyatdan aniqlanadi (6.9-chizma):

1. Agar kesimning inersiya momenti maksimal bo'lgan bosh o'qlar II va IV choraklaridan o'tsa, unda kesimning markazdan qochirma inersiya momenti musbat bo'ladi.
2. Agar kesimning inersiya momenti maksimal bo'lgan bosh o'qlar I va III choraklaridan o'tsa, unda kesimning markazdan qochirma inersiya momenti manfiy bo'ladi.

3. Agar kesimning inersiya momenti minimal bo'lgan bosh o'qlar II va IV choraklaridan o'tsa, unda kesimning markazdan qochirma inersiya momenti manfiy bo'ladi.

4. Agar kesimning inersiya momenti minimal bo'lgan bosh o'qlar I va III choraklaridan o'tsa, unda kesimning markazdan qochirma inersiya momenti musbat bo'ladi.



*6.9-chizma. Bosh o'qlar ma'lum bo'lganda markazdan qochirma inersiya moment ishoralari*

### 6.9-§. Tekis kesim inersiya radiuslari

Tekis kesim yuzining koordinata o'qlariga nisbatan inersiya radiuslari quyidagicha ifodalanadi:

$$i_x = \sqrt{\frac{I_x}{A}}, i_y = \sqrt{\frac{I_y}{A}}. \quad (6.45)$$

Inersiya radiuslari *sm* bilan o'lchanadi.

Inersiya momentlarini inersiya radiuslari orqali quyidagicha ifodalash mumkin:

$$I_x = i_x^2 A, I_y = i_y^2 A. \quad (6.46)$$

Bosh o'qlarga nisbatan bosh inersiya radiuslari quyidagicha ifodalanadi:

$$i_u = \sqrt{\frac{I_u}{A}}, i_v = \sqrt{\frac{I_v}{A}} \quad (6.47)$$

## Masalalar

**6.1-masala.** To‘g‘ri to‘rtburchak va teng yonli burchakdan tashkil topgan tekis kesim yuzasi 6.10-chizmada berilgan. Tekis kesim yuzasi bosh inersiya momentlari, bosh inersiya o‘qlar holati va inersiya radiuslari aniqlansin.

*Yechish.* 1. Murakkab kesim yuzasi oddiy yuzalarga ajratiladi (prokat profillari va og‘irlik markazi ma’lum bo‘lgan oddiy kesimlarga) va tartib bilan raqamlanadi, qaralayotgan murakkab tekis kesim yuzi ikki qismdan iborat bo‘lib, ular quyidagilardir:

1) To‘g‘ri to‘rtburchak balandligi  $h=14\text{ sm}$  va eni  $b=4\text{ sm}$  bo‘lsa, uning kesim yuzasi  $A_1 = 56\text{ sm}^2$  bo‘ladi.

2) Prokat po‘lat sortamentidan GOST 8509-72 bo‘yicha teng yonli burchak  $140\times 140\times 10$  uchun quyidagi ma’lumotlarni olamiz:

$$b=14\text{ sm}; \quad d=1,0\text{ sm}; \quad R=1,4\text{ sm}; \quad r=0,46\text{ sm}; \quad z_0=3,82\text{ sm}.$$

$$A_2 = 27,3\text{ sm}^2; \quad I_x = I_y = 512\text{ sm}^4; \quad I_u = I_{0\max} = 814\text{ sm}^4; \quad I_v = I_{0\min} = 211\text{ sm}^4.$$

2. Murakkab kesim yuzani mashtabda chizilib barcha kerakli o‘lchamlar ko‘rsatiladi. Kesimning  $C_1, C_2$  og‘irlik markazlaridan bir-biriga parallel bo‘lgan  $x_1C_1y_1$  va  $x_2C_2y_2$  koordinata tizimilari joylashtiriladi.

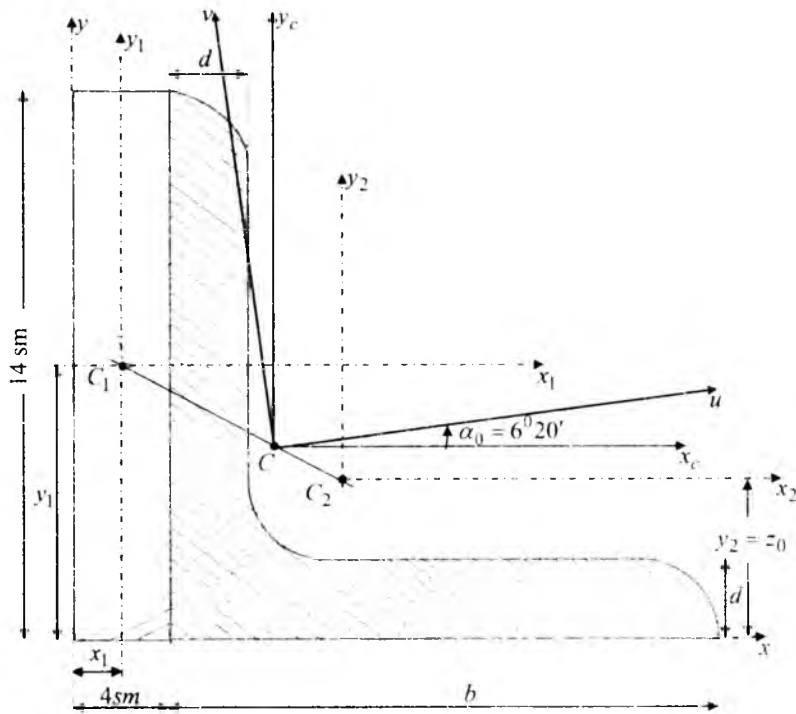
3. Murakkab kesim yuzasini  $x_0y$  koordinatalar tizimiga joylashtiriladi va to‘g‘ri to‘rtburchak og‘irlik markazi  $C_1$  koordinatalari  $x_1=2\text{ sm}; y_1=7\text{ sm}$  teng ekanligi, teng yonli burchak  $C_2$  og‘irlik markazi koordinatalari  $x_2=4+z_0=4+3,82=7,82\text{ sm}, y_2=z_0=3,82\text{ sm}$  teng ekanligi aniqlanadi.

4. Murakkab kesimning  $C$  og‘irlik markazi koordinatalari quyidagi formulalardan aniqlanadi:

$$x_c = \frac{A_1 x_1 + A_2 x_2}{A_1 + A_2} = \frac{56 \cdot 2 + 27,3 \cdot 7,82}{56 + 27,9} = 3,907 \text{ sm.}$$

$$y_c = \frac{A_1 y_1 + A_2 y_2}{A_1 + A_2} = \frac{56 \cdot 7 + 27,3 \cdot 3,82}{56 + 27,9} = 5,958 \text{ sm.}$$

5. Murakkab kesim C og'irlik markazlaridan  $x_1C_1y_1$ ,  $x_2C_2y_2$  koordinatalar tizimiga parallel bo'lgan  $x_cC_1y_c$  koordinata tizimi joylashtiriladi.



6.10-chizma. To'g'ri to'rtburchak va burchakdan tashkil topgan murakkab kesim

6. Oddiy kesimlarning inersiya momentlari aniqlab olinadi:

a) To'g'ri to'rtburchakli kesim uchun  $C_1x_1; C_1y_1$  bosh o'qlar bo'lgani uchun bosh markaziy inersiya momentlari qiymatlari quyidagilarga teng bo'ladi:

$$I_{x1}^I = \frac{4 \cdot 14^3}{12} = 1365,33333 \text{ sm}^4; \quad I_{y1}^I = \frac{4^3 \cdot 14}{12} = 165,33333 \text{ sm}^4; \quad I_{x1y1}^I = 0.$$

b) Teng yonli burchak uchun  $C_2x_c; C_2y_c$  o'qlariga nisbatan inersiya momentlari qiymati quyidagiga teng:

$$I_{x2}^H = I_{y2}^H = 301,5 \text{ sm}^4.$$

Markazdan qochirma inersiya momentini quyidagi formuladan aniqlaymiz:

$$I_{x2y2}^H = \frac{I_{u2} - I_{v2}}{2} \sin 2\alpha = \frac{814 - 211}{2} \sin 2(-45^\circ) = \frac{603}{2}(-1) = -301,5 \text{ sm}^4.$$

7.  $x_c; C_2y_c$  koordinata tizimida  $C_1, C_2$  nuqtalarning koordinatalari aniqlanadi:

$$a_1 = (y_1 - y_c) = 7 - 5,958 = 1,042 \text{ sm};$$

$$a_2 = -(y_c - y_2) = -(5,958 - 3,82) = -2,138 \text{ sm};$$

$$b_1 = -(x_c - x_1) = -(3,907 - 2) = -1,907 \text{ sm};$$

$$b_2 = (x_2 - x_c) = (7,82 - 3,907) = 3,913 \text{ sm}.$$

8. Yuqorida keltirilgan (6.25 va 6.27) formulalardan foydalanib markaziy o'qlariga nisbatan inersiya momentlari hisoblanadi:

$$I_{xc} = I_{xc}^I + I_{xc}^H = [I_{x1}^I + a_1^2 A_1] + [I_{x2}^H + a_2^2 A_2] = \\ = [1365,33333 + (1,042)^2 \cdot 56] + [512 + (-2,138)^2 \cdot 27,3] = 2062,925 \text{ sm}^4.$$

$$I_{yc} = I_{yc}^I + I_{yc}^H = [I_{y1}^I + b_1^2 A_1] + [I_{y2}^H + b_2^2 A_2] = \\ = [165,33333 + (-1,907)^2 \cdot 56] + [512 + (3,613)^2 \cdot 27,3] = 1298,991 \text{ sm}^4.$$

$$I_{xcy_c} = I_{xcy_c}^I + I_{xcy_c}^H = [I_{x1y1}^I + a_1 b_1 A_1] + [I_{x2y2}^H + a_2 b_2 A_2] = \\ = [0 + (1,042)(-1,907) \cdot 56] + [-301,5 + (-2,138)(3,913) \cdot 27,3] = -641,169 \text{ sm}^4.$$

9.  $x_c; C_2y_c$  koordinata o'qlariga nisbatan markaziy bosh o'qlarning burilish burchagi topiladi:

$$\operatorname{tg} 2\alpha_0 = -\frac{2I_{xcyc}}{I_{xc} - I_{yc}} = -\frac{2(-641,169)}{2062,925 - 1298,991} = 1,6786.$$

$$2\alpha_0 = 59^0 12', \quad \alpha_0 = 29^0 36'.$$

10. Bosh markaziy  $uCv$  tizim,  $x_cC y_c$  koordinata tizimiga nisbatan soat millari yo‘nalishiga teskari yo‘nalish bo‘yicha  $\alpha_0 = 29^0 36'$  burchakka buriladi.

11. Bosh inersiya momentlari aniqlanadi:

$$I_{\max} = \frac{I_{xc} + I_{yc}}{2} + \frac{1}{2}\sqrt{(I_{xc} - I_{yc})^2 + 4I_{xcyc}^2} = \frac{2062,925 + 1298,991}{2} +$$

$$+ \frac{1}{2}\sqrt{(2062,925 - 1298,991)^2 + 4 \cdot (-641,169)^2} = 2427,280 \text{ sm}^4.$$

$$I_{\min} = \frac{I_{xc} + I_{yc}}{2} - \frac{1}{2}\sqrt{(I_{xc} - I_{yc})^2 + 4I_{xcyc}^2} = \frac{2062,925 + 1298,991}{2} -$$

$$- \frac{1}{2}\sqrt{(2062,925 - 1298,991)^2 + 4 \cdot (-641,169)^2} = 934,636 \text{ sm}^4.$$

12. Hisob natijalari ikki usulda tekshiriladi:

1. O‘zaro perpendikulyar bo‘lgan o‘qlar koordinata bosh atrofida ixtiyoriy burchakka burilganda bu o‘qlarga nisbatan olin-gan inersiya momentlarining yig‘indisi teng va o‘zgarmas miqdor ekanligi tekshiriladi, yani

$$I_{\max} + I_{\min} = I_{xc} + I_{yc} = I_P,$$

$$2062,925 + 1298,991 = 2427,280 + 934,636; \quad 3361,916 = 3361,916.$$

1. Bosh o‘qlarning to‘g‘ri topilganligiga ishonch hosil qilish uchun markazdan qochirma inersiya momentining nolga tengligi tekshiriladi, ya’ni

$$I_w = \frac{I_{xc} - I_{yc}}{2} \sin 2\alpha + I_{xcyc} \cos 2\alpha =$$

$$= \frac{2062,925 - 1298,991}{2} \cdot 0,8591 + (-641,169) \cdot 0,5123 = 0.$$

13. Murakkab kesimning bosh inersiya radiuslari hisoblanadi:

$$i_u = \sqrt{\frac{I_u}{A}} = \sqrt{\frac{2427,280}{83,3}} = 4,398 \text{ sm}, \quad i_v = \sqrt{\frac{I_v}{A}} = \sqrt{\frac{1298,991}{83,3}} = 3,989 \text{ sm}.$$

**6.2-masala.** Konstruksiya elementi kesimi №20 qo‘shtavr va №16 shvellerdan tashkil topgan tekis kesim yuzasi 6.11-chizmada

berilgan. Tekis kesim yuzasi bosh inersiya momentlari, bosh inersiya o'qlar holati va inersiya radiuslari aniqlansin.

*Yechish.* 1. Murakkab kesim yuzasi oddiy yuzalarga ajratiladi (prokat profillari va og'irlik markazi ma'lum bo'lgan oddiy kesim-larga) va tartib bilan raqamlanadi, qaralayotgan murakkab tekis kesim yuzi ikki qismidan iborat bo'lib, ular quyidagilardir:

a) Prokat po'lat sortamentidan GOST 8269-72 bo'yicha №16 shveller uchun quyidagi ma'lumotlarni olamiz:

$$h_1 = 16 \text{ sm}; \quad b_1 = 6,4 \text{ sm}; \quad d = 0,5 \text{ sm}; \quad t = 0,84 \text{ sm}; \quad R = 0,85 \text{ sm}; \quad r = 0,35 \text{ sm};$$

$$A_1 = 18,1 \text{ sm}^2; \quad I_x = 747 \text{ sm}^4; \quad I_y = 63,3 \text{ sm}^4; \quad z_0 = 1,80 \text{ sm}.$$

b) Prokat po'lat sortamentidan GOST 8269-72 bo'yicha №20 qo'shtavr uchun quyidagi ma'lumotlarni olamiz:

$$h_2 = 20 \text{ sm}; \quad b_2 = 10 \text{ sm}; \quad t = 0,84 \text{ sm}; \quad R = 0,95 \text{ sm}; \quad r = 0,40 \text{ sm};$$

$$A_2 = 26,8 \text{ sm}^2; \quad I_x = 1840 \text{ sm}^4; \quad I_y = 115 \text{ sm}^4.$$

2. Murakkab kesim yuzani mashtabda chizilib barcha kerakli o'lchamlar ko'rsatiladi. Kesimning  $C_1, C_2$  og'irlik markazlaridan bir-biriga parallel bo'lgan  $x_1C_1y_1$  va  $x_2C_2y_2$  koordinata tizimlari joylashtiriladi.

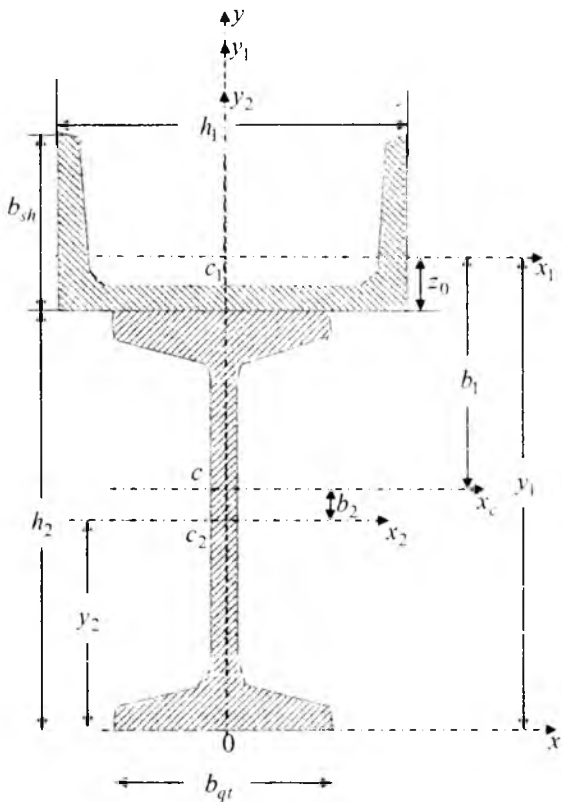
3. Murakkab kesim yuzasini  $x_0y$  koordinatalar tizimiga joylashtiriladi va to'g'ri to'rtburchak og'irlik markazi  $C_1$  koordinatalari  $x_1 = 0; y_1 = h_2 + z_0 = 21,8 \text{ sm}$  teng ekanligi, teng yonli burchak  $C_2$  og'irlik markazi koordinatalari  $x_2 = 0; y_2 = h_2 / 2 = 10 \text{ sm}$  teng ekanligi aniqlanadi.

4. Murakkab kesimning  $C$  og'irlik markazi koordinatalari quyidagi formulalardan aniqlanadi:

$$x_c = \frac{A_1 x_1 + A_2 x_2}{A_1 + A_2} = \frac{18,10 \cdot 0 + 26,8 \cdot 0}{18,1 + 26,8} = 0 \text{ sm}.$$

$$y_c = \frac{A_1 y_1 + A_2 y_2}{A_1 + A_2} = \frac{18,1 \cdot 21,8 + 26,8 \cdot 10}{18,1 + 26,8} = 14,757 \text{ sm}.$$

5. Murakkab kesim  $C$  og'irlik markazlaridan  $x_1C_1y_1, x_2C_2y_2$  koordinatalar tizimiga parallel bo'lgan  $x_cC_1y_c$  koordinata tizimi joylashtiriladi.



6.11-chizma. Qo'shtavr va shvellerdan tuzilgan murakkab ke-sim.

6. Oddiy kesimlarning inersiya momentlari aniqlab olinadi:

a) Shveller uchun  $C_1x_1$ ;  $C_1y_1$  bosh o'qlar bo'lgani uchun bosh markaziy inersiya momentlari qiymatlari quyidagilarga teng:

$$I_{x1}^I = 63,3 \text{ sm}^4; \quad I_{y1}^I = 747,0 \text{ sm}^4; \quad I_{x1y1}^I = 0.$$

b) Qo'shtavr uchun  $C_2x_2$ ;  $C_2y_2$  o'qlariga nisbatan inersiya momentlari qiymati quyidagiga teng:

$$I_{x2}^H = 1840 \text{ sm}^4; \quad I_{y2}^H = 115 \text{ sm}^4; \quad I_{x2y2}^H = 0.$$

7.  $x_c$ - $y_c$  koordinata tizimida  $C_1$ ,  $C_2$  nuqtalarning koordinatalari aniqlanadi:

$$a_1 = (y_1 - y_c) = 21,8 - 14,575 = 7,043 \text{ sm};$$

$$a_2 = -(y_c - y_2) = -(14,575 - 10) = -4,575 \text{ sm};$$

$$b_1 = -(x_c - x_1) = -(0 - 0) = 0 \text{ sm};$$

$$b_2 = (x_2 - x_c) = (0 - 0) = 0 \text{ sm}.$$

8. Yuqorida keltirilgan (6.25 va 6.27) formulalardan foydalabanib markaziy o'qlariga nisbatan inersiya momentlari hisoblanadi:

$$I_{xc} = I_{xc}^I + I_{xc}^{II} = [I_{x1}^I + a_1^2 A_1] + [I_{x2}^{II} + a_2^2 A_2] = \\ = [63,3 + (7,043)^2 \cdot 18,1] + [1840 + (-4,575)^2 \cdot 26,8] = 3407,588 \text{ sm}^4.$$

$$I_{yc} = I_{yc}^I + I_{yc}^{II} = [I_{y1}^I + b_1^2 A_1] + [I_{y2}^{II} + b_2^2 A_2] = \\ = [747 + (0)^2 \cdot 18,1] + [115 + (0)^2 \cdot 26,8] = 862,000 \text{ sm}^4.$$

$$I_{xeyc} = I_{xeyc}^I + I_{xeyc}^{II} = [I_{x1y1}^I + a_1 b_1 A_1] + [I_{x2y2}^{II} + a_2 b_2 A_2] = \\ = [0 + (0)(6,338) \cdot 18,1] + [0 + (0)(-5,462) \cdot 26,8] = 0 \text{ sm}^4.$$

9.  $x_c C y_c$  koordinata o'qlariga nisbatan markaziy bosh o'qlarning burilish burchagi topiladi:

$$\operatorname{tg} 2\alpha_0 = -\frac{2I_{xeyc}}{I_{xc} - I_{yc}} = -\frac{2 \cdot 0}{3407,588 - 862,000} = -0. \\ 2\alpha_0 = -0^0 0', \quad \alpha_0 = -0^0 0'.$$

10. Bosh markaziy  $uCv$  tizimi  $x_c C y_c$  koordinata tizimiga nisbatan burchakka burilmas ekan, chunki burilish burchak  $\alpha_0 = 0^0 0'$  teng.

11. Bosh inersiya momentlari aniqlanadi:

$$I_{\max} = \frac{I_{xc} + I_{yc}}{2} + \frac{1}{2} \sqrt{(I_{xc} - I_{yc})^2 + 4I_{xeyc}^2} = \frac{3407,588 + 862,000}{2} +$$

$$+ \frac{1}{2} \sqrt{(3407,588 - 862,000)^2 + 4 \cdot (0)^2} = 3407,588 \text{ sm}^4$$

$$I_{\min} = \frac{I_{xc} + I_{yc}}{2} - \frac{1}{2} \sqrt{(I_{xc} - I_{yc})^2 + 4I_{xeyc}^2} = \frac{3407,588 + 862,000}{2} -$$

$$- \frac{1}{2} \sqrt{(3407,588 - 862,000)^2 + 4 \cdot (0)^2} = 886,000 \text{ sm}^4.$$

12. Hisob natijalari ikki usulda tekshiriladi:

1. O'zaro perpendikulyar bo'lgan o'qlar koordinata bosh atrofida ixtiyoriy burchakka burilganda bu o'qlarga nisbatan olingan iner-

siya momentlarining yig'indisi teng va o'zgarmas miqdor ekanligi tekshiriladi, yani:

$$I_{\max} + I_{\min} = I_{xc} + I_{yc};$$

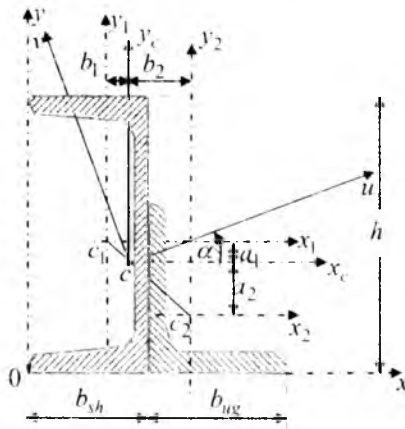
$$3407,588 + 862,000 - 33407,588 + 862,000; \quad 34269,588 - 34269,588.$$

2. Bosh o'qlarning to'g'ri topilganligiga ishonch hosil qilish uchun markazdan qochirma inersiya momentining nolga tengligi tekshiriladi, ya'ni:

$$\begin{aligned} I_{uv} &= \frac{I_{xc} - I_{yc}}{2} \sin 2\alpha + i_{xcyc} \cos 2\alpha = \\ &= \frac{3407,588 - 862,000}{2} \cdot 0 + (0) \cdot 1 = 0. \end{aligned}$$

13. Murakkab kesimning bosh inersiya radiuslari hisoblanadi:

$$i_u = \sqrt{\frac{I_u}{A}} = \sqrt{\frac{3407,588}{44,8}} = 8,721 \text{ sm}, \quad i_v = \sqrt{\frac{I_v}{A}} = \sqrt{\frac{862,000}{44,8}} = 4,386 \text{ sm}.$$



*6.12-chizma. Shveller va burchakdan tashkil topgan murakkab kesim*

*6.3-masala.* Shveller №14 va teng yonli  $100 \times 100 \times 10$  burchakdan tashkil topgan tekis kesim yuzasi 6.12-chizmada berilgan. Tekis kesim yuzasi bosh inersiya momentlari, bosh inersiya o'qlar holati va inersiya radiuslari aniqlansin.

*Yechish.* 1. Murakkab kesim yuzasi oddiy yuzalarga ajratiladi (prokat profillari va og'irlilik markazi ma'lum bo'lgan oddiy kesimlarga) va tartib bilan raqamlanadi, qaralayotgan murakkab tekis kesim yuzi ikki qismidan iborat bo'lib, ular quyidagilardir:

a) Prokat po'lat sortamentidan GOST 8269-72 bo'yicha №14 shveller uchun quyidagi ma'lumotlarni olamiz:

$$h = 14 \text{ sm}; b = 5,8 \text{ sm}; d = 0,49 \text{ sm}; t = 0,81 \text{ sm}; R = 0,80 \text{ sm}; r = 0,30 \text{ sm};$$

$$A_1 = 15,60 \text{ sm}^2; I_x = 491,1 \text{ sm}^4; I_y = 45,4 \text{ sm}^4; z_0^{sh} = 1,67 \text{ sm}.$$

b) Prokat po'lat sortamentidan GOST 8509-72 bo'yicha teng yonli burchak  $100 \times 100 \times 10$  uchun quyidagi ma'lumotlarni olamiz:

$$b = 10 \text{ sm}; d = 1,0 \text{ sm}; R = 1,2 \text{ sm}; r = 0,4 \text{ sm}; A_2 = 19,20 \text{ sm}^2.$$

$$I_x = I_y = 179 \text{ sm}^4; I_{u2} = I_{2\max} = 284 \text{ sm}^4; I_{v2} = I_{2\min} = 74,1 \text{ sm}^4; z_0 = 2,83 \text{ sm}.$$

2. Murakkab kesim yuzani mashtabda chizilib barcha kerakli o'lehamlar ko'rsatiladi. Kesimning  $C_1, C_2$  og'irlilik markazlaridan bir-biriga parallel bo'lgan  $x_1C_1y_1$  va  $x_2C_2y_2$  koordinatalar tizimi joylashtiladi.

3. Murakkab kesim yuzasini  $x_0y$  koordinatalar tizimiga joylashtiriladi va shveller og'irlilik markazi  $C_1$  koordinatalari  $x_1 = b_{sh} + z_0^{sh} = 5,8 - 1,67 = 4,13 \text{ sm}$ ;  $y_1 = h/2 = 7 \text{ sm}$  teng ekanligi, teng yonli burchak  $C_2$  og'irlilik markazi koordinatalari  $x_2 = b_{sh} + z_0 = 5,8 + 2,83 = 8,63 \text{ sm}$ ,  $y_2 - z_0 = 2,83 \text{ sm}$  teng ekanligi aniqlanadi.

4. Murakkab kesimning  $C$  og'irlilik markazi koordinatalari quyidagi formulalardan aniqlanadi:

$$x_c = \frac{A_1 x_1 + A_2 x_2}{A_1 + A_2} = \frac{15,6 \cdot 4,13 + 19,20 \cdot 8,63}{15,6 + 19,20} = 6,613 \text{ sm}.$$

$$y_c = \frac{A_1 y_1 + A_2 y_2}{A_1 + A_2} = \frac{15,6 \cdot 7 + 19,20 \cdot 2,83}{15,6 + 19,20} = 4,699 \text{ sm}.$$

5. Murakkab kesim  $C$  og'irlilik markazlaridan  $x_1C_1y_1$ ,  $x_2C_2y_2$  koordinatalar tizimiga parallel bo'lgan  $x_cC_1y_c$  koordinata tizimi joylashtiriladi.

6. Oddiy kesimlarning inersiya momentlari aniqlab olinadi:

a) Shveller № 14 kesim uchun  $C_1x_1; C_1y_1$  bosh o'qlar bo'lgani uchun bosh markaziy inersiya momentlari qiymatlari quyidagilarga teng:

$$I_{x1}^I = 491,1 \text{ sm}^4; \quad I_{y1}^I = 45,4 \text{ sm}^4; \quad I_{x1y1}^I = 0.$$

b) Teng yonli burchak uchun  $C_2x_c; C_2y_c$  o'qlariga nisbatan inersiya momentlari qiymati quyidagiga teng:

$$I_{x2}^H = I_{y2}^H = 179 \text{ sm}^4.$$

Markazdan qochirma inersiya momentini quyidagi formuladan aniqlaymiz:

$$I_{x2y2}^H = \frac{I_{x2}^H - I_{y2}^H}{2} \sin 2\alpha = \frac{284 - 74,1}{2} \sin 2(-45^\circ) = \frac{209,9}{2} (-1) = -104,95 \text{ sm}^4.$$

7.  $x_c C y_c$  koordinata tizimida  $C_1, C_2$  nuqtalarning koordinatalari aniqlanadi:

$$a_1 = (y_1 - y_c) = 7 - 4,699 = 2,301 \text{ sm};$$

$$a_2 = -(y_c - y_2) = -(4,699 - 2,83) = -1,968 \text{ sm};$$

$$b_1 = -(x_c - x_1) = -(6,613 - 4,13) = -2,483 \text{ sm};$$

$$b_2 = (x_2 - x_c) = (8,63 - 6,613) = 2,017 \text{ sm}.$$

8. Yuqorida keltirilgan (6.25 va 6.27) formulalardan foydalanib markaziy o'qlariga nisbatan inersiya momentlari hisoblanadi:

$$I_{xc} = I_{yc}^I + I_{xc}^H = [I_{x1}^I + a_1^2 A_1] + [I_{x2}^H + a_2^2 A_2] = \\ = [491,1 + (2,301)^2 \cdot 15,6] + [179 + (-1,968)^2 \cdot 19,20] = 819,764 \text{ sm}^4.$$

$$I_{yc} = I_{yc}^I + I_{yc}^H = [I_{y1}^I + b_1^2 A_1] + [I_{y2}^H + b_2^2 A_2] = \\ = [45,4 + (-2,483)^2 \cdot 56] + [179 + (2,017)^2 \cdot 29,7] = 398,690 \text{ sm}^4.$$

$$I_{xcyc} = I_{xcyc}^I + I_{xcyc}^H = [I_{x1y1}^I + a_1 b_1 A_1] + [I_{x2y2}^H + a_2 b_2 A_2] = \\ = [0 + (2,301)(-2,483) \cdot 15,6] + [-104,95 + (-1,968)(2,017) \cdot 19,20] = -266,458 \text{ sm}^4.$$

9.  $x_c C y_c$  koordinata o'qlariga nisbatan markaziy bosh o'qlarning burilish burchagi topiladi:

$$\operatorname{tg} 2\alpha_0 = -\frac{2I_{xcyc}}{I_{xc} - I_{yc}} = -\frac{2(-266,458)}{819,764 - 398,690} = 0,451.$$

$$2\alpha_0 = 24^\circ 16', \quad \hat{\alpha}_0 = 12^\circ 08'.$$

10. Bosh markaziy  $uCv$  tizimi  $x_c C y_c$  koordinata tizimiga nisbatan soat millari yo'nalishiga teskari yo'nalish bo'yicha  $\alpha_0 = 12^0 08'$  burchakka buriladi.

11. Bosh inersiya momentlari aniqlanadi:

$$I_{\max} = \frac{I_{xc} + I_{vc}}{2} + \frac{1}{2} \sqrt{(I_{xc} - I_{vc})^2 + 4I_{xvcyc}^2} = \frac{819,764 + 398,690}{2} +$$

$$+ \frac{1}{2} \sqrt{(819,764 - 398,690)^2 + 4 \cdot (-266458)^2} = 948,824 \text{ sm}^4$$

$$I_{\min} = \frac{I_{xc} + I_{vc}}{2} - \frac{1}{2} \sqrt{(I_{xc} - I_{vc})^2 + 4I_{xvcyc}^2} = \frac{819,764 + 398,690}{2} -$$

$$- \frac{1}{2} \sqrt{(819,764 - 398,690)^2 + 4 \cdot (-266,458152)^2} = 269,630 \text{ sm}^4$$

12. Hisob natijalari ikki usulda tekshiriladi:

1. O'zaro perpendikulyar bo'igan o'qlar koordinata bosh atrofida ixtiyoriy burchakka burilganda bu o'qlarga nisbatan olingan inersiya momentlarining yig'indisi teng va o'zgarmas miqdor ekanligi tekshiriladi, yani:

$$I_{\max} + I_{\min} = I_{xc} + I_{vc};$$

$$948,824 + 269,630 = 819,764 + 398,690; \quad 1218,454 = 1218,454.$$

2. Bosh o'qlarning to'g'ri topilganligiga ishonch hosil qilish uchun markazdan qochirma inersiya momentining nolga tengligi tekshiriladi, ya'ni:

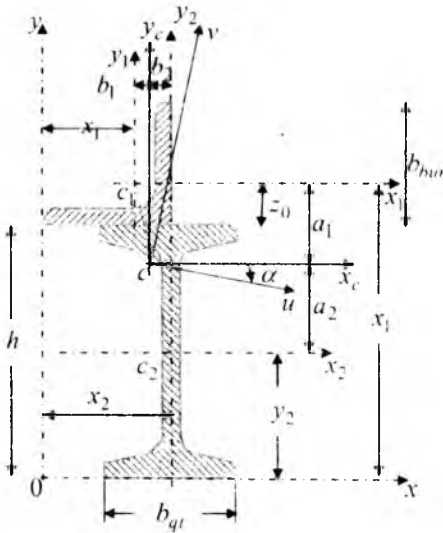
$$I_m = \frac{I_{xc} - I_{vc}}{2} \sin 2\alpha + I_{xvcyc} \cos 2\alpha =$$

$$= \frac{819,749 - 398,690}{2} \cdot 0,4083 + (-266,458) \cdot 0,9070 = 0.$$

13. Murakkab kesimning bosh inersiya radiuslari hisoblanadi:

$$r_u = \sqrt{\frac{I_u}{A}} = \sqrt{\frac{948,824}{34,8}} = 5,222 \text{ sm}, \quad r_v = \sqrt{\frac{I_v}{A}} = \sqrt{\frac{269,630}{34,8}} = 2,784 \text{ sm}.$$

**6.4-masala.** Qo'shtavr №18 va teng yonli №11 burchakdan tashkil topgan tekis kesim yuzasi 6.13-chizmada berilgan. Tekis kesim yuzasi bosh inersiya momentlari, bosh inersiya o'qlar holati va inersiya radiuslari aniqlansin.



### 6.13-chizma. Qo'shtavr va burchakdan tuzilgan murakkab kesim

*Yechish.* 1. Murakkab kesim yuzasi oddiy yuzalarga ajratiladi (prokat profilari va og'irlik markazi ma'lum bo'lgan oddiy kesimlarga) va tartib bilan raqamlanadi, qaralayotgan murakkab tekis kesim yuzi ikki qismidan iborat bo'lib, ular quyidagilardir:

a) Prokat po'lat sortamentidan GOST 8509-72 bo'yicha teng yonli burchak  $110 \times 110 \times 8$  uchun quyidagi ma'lumotlarni olamiz:

$$b = 11\text{sm}; \quad d = 0,80\text{sm}; \quad R = 1,2\text{sm}; \quad r = 0,4\text{sm}; \quad A_1 = 17,20\text{sm}^2.$$

$$I_x = I_y = 198\text{sm}^4; \quad I_{ul} = I_{1\max} = 315\text{sm}^4; \quad I_{lv} = I_{1\min} = 81,8\text{sm}^4; \quad z_0 = 3,00\text{sm}.$$

b) Prokat po'lat sortamentidan GOST 8269-72 bo'yicha №18 qo'shtavr uchun quyidagi ma'lumotlarni olamiz:

$$h = 18\text{sm}; \quad b = 9,0\text{sm}; \quad d = 0,51\text{sm}; \quad t = 0,81\text{sm}; \quad R = 0,90\text{sm};$$

$$r = 0,35\text{sm}; \quad A_2 = 23,40\text{sm}^2; \quad I_x = 1290\text{sm}^4; \quad I_y = 82,6\text{sm}^4.$$

2. Murakkab kesim yuza masshtabda chizilib, barcha kerakli o'lchamlar ko'rsatiladi. Kesimning  $C_1$ ,  $C_2$  og'irlik markazlaridan bir-biriga parallel bo'lgan  $x_1C_1y_1$  va  $x_2C_2y_2$  koordinatalar tizimi joylashtiladi.

3. Murakkab kesim yuzasini  $x_0y$  koordinatalar tizimiga joylashtiriladi va teng yonli burchak og'irlik markazi  $C_1$  koordinatalari  $x_1 = 8sm$ ;  $y_1 = 21sm$  teng ekanligi qo'shtavr og'irlik markazi  $C_2$  koordinatalari  $x_2 = b_{bur} = 11sm$ ,  $y_2 = h/2 = 9sm$  ga teng ekanligi aniqlanadi.

4. Murakkab kesimning  $C$  og'irlik markazi koordinatalari quyidagi formulalardan aniqlanadi:

$$x_c = \frac{A_1 x_1 + A_2 x_2}{A_1 + A_2} = \frac{17,20 \cdot 8 + 23,4 \cdot 11,0}{23,4 + 17,20} = 9,729 \text{ sm}.$$

$$y_c = \frac{A_1 y_1 + A_2 y_2}{A_1 + A_2} = \frac{17,20 \cdot 21 + 23,4 \cdot 9,0}{23,4 + 17,20} = 14,084 \text{ sm}.$$

5. Murakkab kesim  $C$  og'irlik markazlaridan  $x_1C_1y_1$ ,  $x_2C_2y_2$  koordinatalar tizimiga parallel bo'lgan  $x_cC_1y_c$  koordinata tizimi joylashtiriladi.

6. Oddiy kesimlarning inersiya momentlari aniqlab olinadi:

a) Teng yonli burchak uchun  $C_1x_1$ ;  $C_1y_1$  o'qlariga nisbatan inersiya momentlari qiymati quyidagiga teng:

$$I_{x1}^I = I_{y1}^I = 198 \text{ sm}^4.$$

Markazdan qochirma inersiya momentini quyidagi formuladan aniqlaymiz:

$$I_{x1y1}^I = \frac{I_{y1}^I - I_{x1}^I}{2} \sin 2\alpha = \frac{315 - 81,8}{2} \sin 2(-45^\circ) = \frac{233,2}{2} (-1) = -116,6 \text{ sm}^4.$$

b) Qo'shtavr № 18 kesim uchun  $C_2x_c$ ;  $C_2y_c$  bosh o'qlar bo'lGANI uchun bosh markaziy inersiya momentlari qiymatlari quyidagi larga teng:

$$I_{x2}^{II} = 1290 \text{ sm}^4; \quad I_{y2}^{II} = 82,4 \text{ sm}^4; \quad I_{x2y2}^{II} = 0.$$

7.  $x_cC_1y_c$  koordinata tizimida  $C_1$ ,  $C_2$  nuqtalarning koordinatalari aniqlanadi:

$$a_1 = (y_1 - y_c) = 21,0 - 14,084 = 6,916 \text{ sm};$$

$$a_2 = -(y_c - y_2) = -(14,084 - 9,0) = -5,084 \text{ sm};$$

$$b_1 = -(x_c - x_1) = -(9,729 - 8,0) = -1,729 \text{ sm};$$

$$b_2 = (x_2 - x_c) = (11,0 - 9,729) = 1,271 \text{ sm}.$$

8. Yuqorida keltirilgan (6.25 va 6.27) formulalardan foydalanib markaziy o'qlariga nisbatan inersiya momentlari hisoblanadi:

$$\begin{aligned}
I_{xc} &= I_{xc}^I + I_{xc}^{II} = \left[ I_{x1}^I + a_1^2 A_1 \right] + \left[ I_{x2}^{II} + a_2^2 A_2 \right] = \\
&= \left[ 198 + (6,916)^2 \cdot 17,20 \right] + \left[ 1290 + (-5,084)^2 \cdot 23,40 \right] = 2915,515 \text{ sm}^4. \\
I_{yc} &= I_{yc}^I + I_{yc}^{II} = \left[ I_{y1}^I + b_1^2 A_1 \right] + \left[ I_{y2}^{II} + b_2^2 A_2 \right] = \\
&= \left[ 82,6 + (-1,729)^2 \cdot 17,20 \right] + \left[ 198 + (1,271)^2 \cdot 23,40 \right] = 373,420 \text{ sm}^4. \\
I_{xcyc} &= I_{xcyc}^I + I_{xcyc}^{II} = \left[ I_{x1,y1}^I + a_1 b_1 A_1 \right] + \left[ I_{x2,y2}^{II} + a_2 b_2 A_2 \right] = \\
&= \left[ -116,6 + (6,916)(-1,729) \cdot 17,20 \right] + \left[ 0 + (-5,084)(1,271) \cdot 23,40 \right] = -473,479 \text{ sm}^4.
\end{aligned}$$

9.  $x_c C y_c$  koordinata o'qlariga nisbatan markaziy bosh o'qlarning burilish burchagi topiladi:

$$\tg 2\alpha_0 = -\frac{2I_{xcyc}}{I_{xc} - I_{yc}} = -\frac{2(-473,479)}{373,420 - 2915,515} = -0,1888.$$

$$2\alpha_0 = -10^0 48', \quad \alpha_0 = -5^0 24'.$$

10. Bosh markaziy  $uCv$  tizimi  $x_c C y_c$  koordinata tizimiga nisbatan soat millari yo'nalishi yo'nalish bo'yicha  $\alpha_0 = -5^0 24'$  burchakka buriladi.

11. Bosh inersiya momentlari aniqlanadi

$$\begin{aligned}
I_{\max} &= \frac{I_{xc} + I_{yc}}{2} + \frac{1}{2} \sqrt{(I_{xc} - I_{yc})^2 + 4I_{xcyc}^2} = \frac{2915,515 + 373,420}{2} + \\
&+ \frac{1}{2} \sqrt{(2915,515 - 373,420)^2 + 4 \cdot (-473,479)^2} = 3000,839 \text{ sm}^4. \\
I_{\min} &= \frac{I_{xc} + I_{yc}}{2} - \frac{1}{2} \sqrt{(I_{xc} - I_{yc})^2 + 4I_{xcyc}^2} = \frac{2915,515 + 373,420}{2} - \\
&- \frac{1}{2} \sqrt{(2915,515 - 373,420)^2 + 4 \cdot (-473,479)^2} = 288,089 \text{ sm}^4.
\end{aligned}$$

12. Hisob natijalari ikki usulda tekshiriladi:

1. O'zaro perpendikulyar bo'lgan o'qlar koordinata bosh atrofida ixtiyoriy burchakka burilganda bu o'qlarga nisbatan olingan inersiya momentlarining yig'indisi teng va o'zgarmas miqdor ekanligi tekshiriladi, yani:

$$I_{\max} + I_{\min} = I_{xc} + I_{yc},$$

$$2915,515 + 373,420 = 2915,515 + 368,620; \quad 3288,935 = 3288,935.$$

2. Bosh o'qlarning to'g'ri topilganligiga ishonch hosil qilish uchun markazdan qochirma inersiya momentining nolga tengligi tekshiriladi, ya'ni:

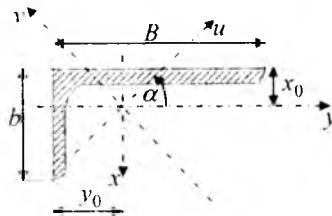
$$I_{uv} = \frac{I_{xc} - I_{yc}}{2} \sin 2\alpha + I_{xyc} \cos 2\alpha =$$

$$= \frac{2915,515 - 373,420}{2} \cdot 0,1854 + (-473,479) \cdot 0,9823 = 0.$$

13. Murakkab kesimning bosh inersiya radiuslarini hisoblanadi:

$$i_u = \sqrt{\frac{I_u}{A}} = \sqrt{\frac{2915,515}{40,6}} = 8,474 \text{ sm}, \quad i_v = \sqrt{\frac{I_v}{A}} = \sqrt{\frac{373,420}{40,6}} = 3,033 \text{ sm}.$$

**6.5-masala.** Tomonlari teng bo'limgan №12,5/8 burchak tekis kesim yuzasi 6.14-chizmada berilgan. Tekis kesim yuzasi markazdan qochirma inersiya momenti aniqlansin.



6.14-chizma. Teng yonli bo'limgan burchak.

**Yechish.** Prokat po'lat sortamenti GOST 8510-72 bo'yicha tomonlari teng bo'limgan  $125 \times 80 \times 8$  burchak uchun quyidagi ma'lumotlarni olamiz:

$$h = 12,5 \text{ sm}; \quad b = 8,0 \text{ sm}; \quad d = 0,80 \text{ sm}; \quad R = 1,10 \text{ sm}; \quad r = 0,37 \text{ sm}; \quad A_2 = 16,00 \text{ sm}^2.$$

$$I_x = 256 \text{ sm}^4; \quad x_0 = 4,05 \text{ sm}; \quad I_y = 83,0 \text{ sm}^4; \quad x_0 = 1,84 \text{ sm};$$

$$I_{y \min} = 48,8 \text{ sm}^4; \quad \operatorname{tg} \alpha = 0,406; \quad \alpha = 22^0 6'.$$

O'zaro perpendikulyar bo'lgan o'qlar koordinata bosh atrofida ixtiyoriy burchakka burliganda bu o'qlarga nisbatan olingan inersiya momentlarining yig'indisi o'zgarmas miqdor bo'lib, u qutb inersiya momentiga teng:

$$I_u + I_v = I_x + I_y = I_\rho.$$

Bu tenglamadan foydalanib quyidagini aniqlaymiz:

$$I_\rho = I_x + I_y - I_{u \min} = 256 + 83,0 - 48,8 = 290,2 \text{ sm}^2.$$

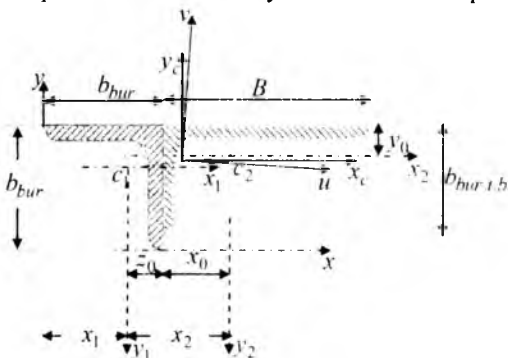
Markazdan qochirma inersiya momentini quyidagi formuladan aniqlaymiz:

$$I_{xy} = \frac{I_u - I_v}{2} \sin 2\alpha + I_{u v} \cos 2\alpha.$$

Bosh o'qlar  $u$  va  $v$  larga nisbatan markazdan qochirma inersiya momenti  $I_{uv}$  nolga teng ekanligini e'tiborga olib quyidagini aniqlaymiz:

$$I_{xy} = \frac{I_u - I_v}{2} \sin 2(-\alpha) = \frac{290,2 - 48,8}{2} \sin(-44^{\circ}12') = \\ = 102,7(-0,697) = -84,2 \text{ sm}^4.$$

**6.6-masala.** Tomonlari teng bo'limgan  $125 \times 80 \times 8$  burchak va teng yonli  $90 \times 90 \times 10$  burchakdan tashkil topgan tekis kesim yuzasi 6.15-chizmada berilgan. Tekis kesim yuzasi bosh inersiya momentlari, bosh inersiya o'qlar holati va inersiya radiuslari aniqlansin.



**6.15-chizma.** Teng yonli va teng yonli bo'limgan burchakdan tashkil topgan murakkab kesim bosh o'qlar holati

**Yechish.** 1. Murakkab kesim yuzasi oddiy yuzalarga ajratiladi (prokat profillari va og'irlik markazi ma'lum bo'lgan oddiy kesimlarga) va tartib bilan raqamlanadi, qaralayotgan murakkab tekis kesim yuzi ikki qismidan iborat bo'lib, ular quyidagilardir:

a) Prokat po'lat sortamentidan GOST 8510-72 bo'yicha teng yonli  $90 \times 90 \times 10$  burchak uchun quyidagi ma'lumotlarni olamiz:

$$b_{bur} = 9 \text{ sm}; \quad d = 0,80 \text{ sm}; \quad R = 1,0 \text{ sm}; \quad r = 0,4 \text{ sm}; \quad A_1 = 13,90 \text{ sm}^2$$

$$I_x = I_y = 106 \text{ sm}^4; \quad I_{ul} = I_{l_{max}} = 168 \text{ sm}^4; \quad I_{lv} = I_{l_{min}} = 43,8 \text{ sm}^4; \quad \varepsilon_0 = 2,51 \text{ sm}$$

b) Prokat po'lat sortamentidan GOST 8510-72 bo'yicha tomonlari teng bo'limgan  $125 \times 80 \times 8$  burchak uchun quyidagi ma'lumotlarni olamiz:

$$B = 12,5 \text{ sm}, b_{bur} = 8,0 \text{ sm}; d = 0,80 \text{ sm}; R = 1,10 \text{ sm}; r = 0,37 \text{ sm}; A_2 = 16,00 \text{ sm}^2.$$

$$I_y = 256 \text{ sm}^4; x_0 = 4,05 \text{ sm}; I_x = 83,0 \text{ sm}^4; y_0 = 1,84 \text{ sm};$$

$$I_{x \min} = 48,8 \text{ sm}^4; \operatorname{tg} \alpha = 0,406.$$

2. Murakkab kesim yuzani mashtabda chizilib, barcha kerakli o'lchamlar ko'rsatiladi. Kesimning  $C_1; C_2$  og'irlik markazlaridan bir-biriga parallel bo'lgan  $x_1C_1y_1$  va  $x_2C_2y_2$  koordinatalar tizimi joylashtiriladi.

3. Murakkab kesim yuzasini  $x_0y$  koordinatalar tizimiga joylashtiriladi va teng yonli burchak og'irlik markazi  $C_1$  koordinatalari  $x_1 = b_{bur} - z_0 = 6,49 \text{ sm}$ ;  $y_1 = b_{bur} - z_0 = 6,49 \text{ sm}$  teng ekanligi, qo'shtavr og'irlik markazi  $C_2$  koordinatalari  $x_2 = b_{bur} + x_0 = 13,05 \text{ sm}$ ,  $y_2 = b_{bur} - y_0 = 7,16 \text{ sm}$  ga teng ekanligi aniqlanadi.

4. Murakkab kesimning  $C$  og'irlik markazi koordinatalari quyidagi formulalardan aniqlanadi:

$$x_c = \frac{A_1 x_1 + A_2 x_2}{A_1 + A_2} = \frac{13,90 \cdot 6,49 + 16,0 \cdot 13,05}{13,90 + 16,0} = 10,00 \text{ sm}.$$

$$y_c = \frac{A_1 y_1 + A_2 y_2}{A_1 + A_2} = \frac{13,90 \cdot 6,49 + 16,0 \cdot 7,16}{13,90 + 16,0} = 6,849 \text{ sm}.$$

5. Murakkab kesim  $C$  og'irlik markazlaridan  $x_1C_1y_1$ ,  $x_2C_2y_2$  koordinatalar tizimiga parallel bo'lgan  $x_cC_1y_c$  koordinata tizimi joylashtiriladi.

6. Oddiy kesimlarning inersiya momentlarini aniqlab olinadi:

a) Teng yonli burchak uchun  $C_1x_1; C_1y_1$  o'qlariga nisbatan inersiya momentlari qiymati quyidagiga teng:

$$I_{x1}^I = I_1^I = 106 \text{ sm}^4.$$

Markazdan qochirma inersiya momentini quyidagi formuladan aniqlaymiz:

$$I_{x1y1}^I = \frac{I_{y1} - I_{x1}}{2} \sin 2\alpha = \frac{168 - 43,8}{2} \sin 2(-45^\circ) = \frac{62,1}{2} (-1) = -31,05 \text{ sm}^4.$$

b) Tomonlari teng bo'lmagan  $125 \times 80 \times 8$  burchak kesim uchun  $C_2x_c; C_2y_c$  o'qlar nisbatan inersiya momentlari qiymatlari quyidagi larga teng (6.5-masaladan olamiz):

$$I_{y2}^H = 256 \text{ sm}^4; I_{x2}^H = 83,0 \text{ sm}^4; I_{x2y2}^H = -84,2 \text{ sm}^4.$$

7.  $x_c$ - $y_c$  koordinata tizimida  $C_1, C_2$  nuqtalarning koordinatalari aniqlanadi:

$$a_1 = (y_1 - y_c) = 6,49 - 6,849 = -0,359 \text{ sm};$$

$$a_2 = -(y_c - y_2) = -(6,849 - 7,16) = 0,311 \text{ sm};$$

$$b_1 = -(x_c - x_1) = -(10,00 - 6,49) = -3,510 \text{ sm};$$

$$b_2 = (x_2 - x_c) = (13,05 - 10,00) = 3,050 \text{ sm}.$$

8. Yuqorida keltirilgan (6.25 va 6.27) formulalardan foydalаниб markaziy o'qlariga nisbatan inersiya momentlari hisobланади:

$$I_{xc} = I_{xc}^I + I_{xc}^{II} = [I_{x1}^I + a_1^2 A_1] + [I_{x2}^{II} + a_2^2 A_2] = \\ = [106 + (-0,359)^2 \cdot 13,90] + [83 + (0,311)^2 \cdot 16,00] = 192,339 \text{ sm}^4.$$

$$I_{yc} = I_{yc}^I + I_{yc}^{II} = [I_{y1}^I + b_1^2 A_1] + [I_{y2}^{II} + b_2^2 A_2] = \\ = [106 + (-3,510)^2 \cdot 13,90] + [256 + (3,050)^2 \cdot 16,00] = 682,089 \text{ sm}^4.$$

$$I_{xcyc} = I_{xcyc}^I + I_{xcyc}^{II} = [I_{x1,y1}^I + a_1 b_1 A_1] + [I_{x2,y2}^{II} + a_2 b_2 A_2] = [31,05 + \\ + (-0,359)(0,311) \cdot 13,90] + [-84,2 + (-3,510)(3,050) \cdot 16,00] = -20,458 \text{ sm}^4.$$

9.  $x_c$ - $y_c$  koordinata o'qlariga nisbatan markaziy bosh o'qlarning burilish burchagi topiladi:

$$\operatorname{tg} 2\alpha_0 = -\frac{2I_{xcyc}}{I_{xc} - I_{yc}} = -\frac{2(-20,458)}{192,339 - 682,089} = -0,0835.$$

$$2\alpha_0 = -4^0 46', \quad \alpha_0 = -2^0 23'.$$

10. Bosh markaziy uCv tizimi  $x_c$ - $y_c$  koordinata tizimiga nisbatan soat millari yo'nali shiga teskari yo'nali sh bo'yicha  $\alpha_0 = -2^0 23'$  burchakka buriladi.

11. Bosh inersiya momentlari aniqlanadi:

$$I_{\max} = \frac{I_{xc} + I_{yc}}{2} + \frac{1}{2} \sqrt{(I_{xc} - I_{yc})^2 + 4I_{xcyc}^2} = \frac{192,339 + 682,089}{2} + \\ + \frac{1}{2} \sqrt{(192,339 - 682,089)^2 + 4 \cdot (-20,458)^2} = 682,942 \text{ sm}^4.$$

$$I_{\min} = \frac{I_{xc} + I_{yc}}{2} - \frac{1}{2} \sqrt{(I_{xc} - I_{yc})^2 + 4I_{xcyc}^2} = \frac{192,339 + 682,089}{2} - \\ - \frac{1}{2} \sqrt{(192,339 - 682,089)^2 + 4 \cdot (-20,458)^2} = 191,486 \text{ sm}^4.$$

12. Hisob natijalari ikki usulda tekshiriladi:

1. O‘zaro perpendikulyar bo‘lgan o‘qlar koordinata bosh atrofi-da ixtiyoriy burchakka burliganda bu o‘qlarga nisbatan olingan inersiya momentlarining yig‘indisi teng va o‘zgarmas miqdor ekanligi tekshiriladi, yani:

$$I_{\max} + I_{\min} = I_{xc} + I_{yc};$$

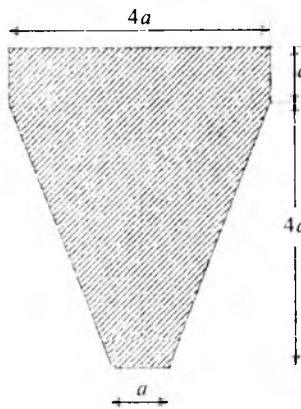
$$682,942 + 191,486 = 192,339 + 682,089; \quad 874,428 = 874,428.$$

2. Bosh o‘qlarning to‘g‘ri topilganligiga ishonch hosil qilish uchun markazdan qochirma inersiya momentining nolga tengligi tekshiriladi, ya’ni:

$$\begin{aligned} I_{uv} &= \frac{I_{xc} - I_{yc}}{2} \sin 2\alpha + I_{xcyc} \cos 2\alpha = \\ &= \frac{192,339 - 682,089}{2} \cdot 0,083 + (-20,458) \cdot 0,9965 = 0. \end{aligned}$$

13. Murakkab kesimning bosh inersiya radiuslarini hisoblanadi:

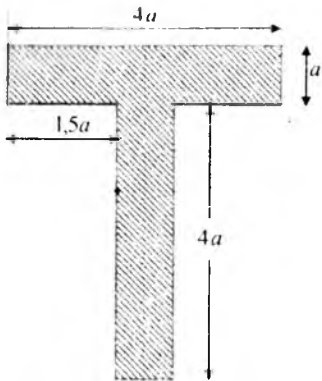
$$i_u = \sqrt{\frac{I_u}{A}} = \sqrt{\frac{682,942}{29,9}} = 4,779 \text{ sm.} \quad i_v = \sqrt{\frac{I_v}{A}} = \sqrt{\frac{191,486}{29,9}} = 2,531 \text{ sm.}$$



6.16-chizma. Konussimon murakkab kesim

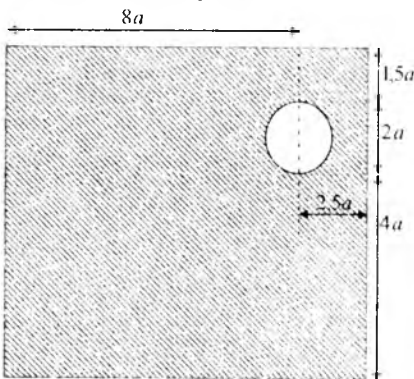
6.7-masala. 6.16-chizmada keltirilgan murakkab kesim markaziy bosh o‘qlariga nisbatan inersiya momentlari aniqlansin.

6.8-masala. Tavr shaklidagi kesim markaziy bosh o‘qlariga nisbatan inersiya momentlari aniqlansin (6.17-chizma).



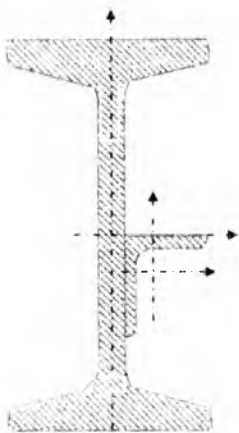
6.17-chizma. Tavr shaklidagi kesim

6.9-masala. 6.18-chizmada keltirilgan murakkab kesim markaziy bosh o'qlariga nisbatan inersiya momentlari aniqlansin.



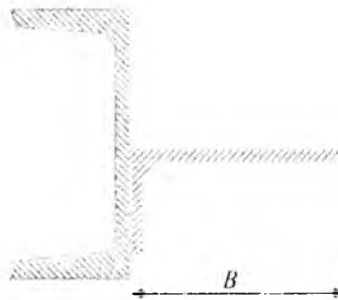
6.18-chizma. Doiraviy shakldagi teshigi bo'lgan to'rt burchakli murakkab kesim

6.10-masala. Konstruksiya elementi kesimi №18 qo'shtavr va №7 teng yonli burchakdan tashkil topgan tekis kesim yuzasi 6.19-chizmada berilgan. Tekis kesim yuzasi bosh inersiya momentlari, bosh inersiya o'qlar holati va inersiya radiuslari aniqlansin.



*6.19-chizma. Qo'shtavr va teng yonli burchakdan tashkil topgan murakkab kesim*

*6.11-masala.* Konstruksiya elementi kesimi №12,5/8 teng yonli bo'lmagan burchak va №10 shvellerdan tashkil topgan tekis kesim yuzasi 6.20-chizmada berilgan. Tekis kesim yuzasi bosh inersiya momentlari, bosh inersiya o'qlar holati va inersiya radiuslari aniqlansin.



*6.20-chizma. Shveller va teng yonli bo'lmagan burchakdan tashkil topgan murakkab kesim*

## Tayanch iboralar:

Geometrik xarakteristikalar, tekis kesim yuzalarining o'qqa nisbatan statik moment, tekis kesim yuzalarining o'qqa nisbatan inersiya momentlari, kesim yuzalarining o'qqa nisbatan qarshilik momentlari, og'irlik markazi, murakkab kesim, oddiy kesim, elementar yuzacha, parallel o'qlar, integrallar, markaziy o'qlar, to'g'ri to'rtburchak, uchburchakli tekis kesimning yuzasi, doira, yarimdoira, halqa, og'ish burchagi, bosh o'qlar, bosh inersiya momentlari, qarshilik momentlari.

### Test savollari:

**1. Quyidagi javoblarning qaysi birida tekis kesim yuzasi ning  $0x, 0y$  koordinata o'qlariga nisbatan statik momenti ifodalari to'g'ri keltirilgan?**

$$S_x = \int_A ydA, \quad S_y = \int_A xdA; \quad S_x = \int_A y^2 dA, \quad S_y = \int_A x^2 dA;$$

$$S_{xy} = \int_A xy dA; \quad S_x = \int_A xdA, \quad S_y = \int_A xdA;$$

**2. Quyidagi javoblarning qaysi birida tekis kesim yuzasi ning  $0x, 0y$  koordinata o'qlariga nisbatan inersiya momenti ifodalari to'g'ri keltirilgan?**

$$I_x = \int_A y^2 dA, \quad I_y = \int_A x^2 dA; \quad I_x = \int_A x^2 dA, \quad I_y = \int_A y^2 dA;$$

$$I_{xy} = \int_A xy dA; \quad I_\rho = \int_A \rho^2 dA.$$

**3. Quyidagi javoblarning qaysi birida tekis kesim yuzasi ning  $0x, 0y$  koordinata boshiga nisbatan qutb inersiya momenti ifodasi to'g'ri keltirilgan?**

$$I_\rho = \int_A \rho^2 dA; \quad I_\rho = \int_A y^2 dA, \quad I_\rho = \int_A x^2 dA;$$

$$I_{xy} = \int_A xy dA; \quad I_x = \int_A ydA, \quad I_y = \int_A xdA.$$

**4. Quyidagi javoblarning qaysi birida tekis kesim yuzasining  $0x, 0y$  koordinata o'qlariga nisbatan markazdan qochirma inersiya momenti ifodasi to'g'ri keltirilgan?**

$$I_{xy} = \int_A xy dA;$$

$$I_{xy} = \int_A y^2 dA, \quad I_{yx} = \int_A x^2 dA;$$

$$I_{xy} = \int_A ydA, \quad I_{yx} = \int_A xdA;$$

$$I_{xy} = \int_A \rho^2 dA.$$

**5. Tekis kesim yuzasining statik va qutb inersiya momentlari ishoralari qanday bo'ladi?**

- statik moment har xil ishorali, qutb inersiya momenti faqat musbat ishorali bo'ladi;
- statik moment faqat manfiy, qutb inersiya momenti musbat ishorali bo'ladi;
- statik moment faqat musbat, qutb inersiya momenti manfiy ishorali bo'ladi;
- statik moment faqat musbat, qutb inersiya momenti har xil ishorali bo'ladi.

**6. Quyidagi javoblarning qaysi birida  $0x_1, 0y_1$  koordinata o'qlariga parallel bo'lgan o'qqa nisbatan inersiya momenti ifodalarini to'g'ri keltirilgan?**

$$\left. \begin{array}{l} I_{x_1} = I_x + a^2 A, \\ I_{y_1} = I_y + b^2 A, \\ I_{x_1 y_1} = I_{xy} + abA. \end{array} \right\}$$

$$I_P = I_x + I_y;$$

$$x_c = \frac{S_y}{A} = \frac{\int_A x dA}{A}, \quad y_c = \frac{S_x}{A} = \frac{\int_A y dA}{A};$$

$$I_{x_1 y_1} = I_{xy} + abA.$$

**7. O'q va qutb inersiya momentlari orasida qanday bog'lanish mayjud?**

$$I_P = I_x + I_y;$$

$$I_P = I_y, \quad I_P = I_{xy};$$

$$I_P = I_{y_1} + a^2 A, \quad I_P = I_{x_1} + a^2 A;$$

$$I_P = \int_A p^2 dA, \quad I_P = \int_A y^2 dA.$$

**8. Tekis kesim yuzasining markazdan qochma inersiya momenti qanday qiymatlarni qabul qiladi?**

$$\begin{array}{ll} I_{xy} > 0; \quad I_{yy} < 0; \quad I_{xy} = 0; & I_{xy} > 0; \quad I_{yy} < 0; \quad I_{xy} \neq 0; \\ I_{xy} < 0; \quad I_{xy} < 0; \quad I_{xy} \neq 0; & I_P = I_x + I_y. \end{array}$$

**9. Tekis kesim yuzasining o'qqa nisbatan inersiya momenti qanday qiymatlarni qabul qiladi?**

- faqat musbat;
- faqat manfiy;
- musbat va manfiy;
- nol.

**10. To'g'ri to'rtburchakli kesim markaziy  $0_x, 0_y$  o'qlariga nisbatan inersiya momentlari qaysi formuladan aniqlanadi?**

$$\begin{array}{ll} I_x = \frac{bh^3}{12}, \quad I_y = \frac{hb^3}{12}; & I_x = I_y = \frac{\pi D^4}{64}; \\ I_x = I_y = \frac{\pi D^4}{64} (1 - c^4); & I_x = \frac{bh^3}{36}, \quad I_y = \frac{hb^3}{48}. \end{array}$$

**11. To'g'ri burchakli uchburchak katetlaridan o'tuvchi  $0_{x_1}, 0_{y_1}$  o'qlariga nisbatan markazdan qochirma inersiya momenti qaysi formuladan aniqlanadi?**

$$\begin{array}{ll} I_{x_1 y_1} = \frac{b^2 h^2}{24}; & I_{x_1 y_1} = -\frac{b^3 h}{72}; \\ I_{x_1 y_1} = \frac{bh}{18}; & I_{x_1 y_1} = \frac{b^2 h^2}{4}. \end{array}$$

**12. To'g'ri burchakli uchburchak markaziy  $0_x, 0_y$  o'qlariga nisbatan markazdan qochirma inersiya momenti qaysi formuladan aniqlanadi?**

$$\begin{array}{ll} I_{xy} = -\frac{b^3 h}{72}; & I_{xy} = \frac{bh}{18}; \\ I_{xy} = \frac{b^2 h^2}{24}; & I_{xy} = \frac{b^2 h^2}{4}. \end{array}$$

**13. To‘g‘ri burchakli uchburchakning katetlariga parallel bo‘lgan markaziy  $0x$ ,  $0y$  o‘qlariga nisbatan inersiya momentlari qaysi formuladan aniqlanadi?**

$$I_x = \frac{bh^3}{36}, \quad I_y = \frac{hb^3}{36};$$

$$I_x = \frac{bh^3}{12}, \quad I_y = \frac{hb^3}{12};$$

$$I_x = I_y = \frac{\pi D^4}{64};$$

$$I_x = I_y = \frac{\pi D^4}{64} (1 - c^4).$$

**15. To‘g‘ri to‘rtburchak  $b \times h$  tomonlari bo‘yicha o‘tuvchi o‘qlarga nisbatan inersiya momentlari qaysi formuladan aniqlanadi?**

$$I_x = \frac{1}{3}bh^3, \quad I_y = \frac{1}{3}b^3h, \quad I_{xy} = \frac{1}{4}b^2h^2;$$

$$I_x = \frac{1}{4}b^2h^2, \quad I_y = \frac{1}{4}b^3h, \quad I_{x_1y_1} = \frac{1}{12}b^3h$$

$$I_x = \frac{1}{4}b^2h^2, \quad I_y = \frac{1}{12}bh^3, \quad I_{x_1y_1} = \frac{b^2h^2}{24};$$

$$I_x = \frac{1}{4}bh^3, \quad I_y = \frac{1}{4}b^3h, \quad I_{xy} = \frac{1}{4}b^2h^2.$$

**16. Uchburchakli kesimning markaziy o‘qlariga nisbatan inersiya momentlari qaysi formuladan aniqlanadi?**

$$I_x = \frac{bh^3}{36}, \quad I_y = \frac{hb^3}{48};$$

$$I_x = \frac{bh^3}{12}, \quad I_y = \frac{hb^3}{12};$$

$$I_x = I_y = \frac{\pi D^4}{64};$$

$$I_x = I_y = \frac{\pi D^4}{64} (1 - c^4)$$

**17. Uchburchakli kesimning markaziy o‘qlariga parallel ravishda asosidan o‘tgan  $0x_2$  o‘qqa nisbatan inersiya momenti qaysi formuladan aniqlanadi?**

$$I_{x_2} = \frac{bh^3}{12};$$

$$I_{y_2} = \frac{hb^3}{48};$$

$$I_{x_2} = I_{y_2} = \frac{\pi D^4}{64};$$

$$I_{x_2} = I_{y_2} = \frac{\pi D^4}{64} (1 - c^4).$$

**18. Uchburchakli kesimning markaziy o'qlariga parallel asosi qarshisidagi uchidan o'tgan  $x_1$  o'qqa nisbatan inersiya momenti qaysi formuladan aniqlanadi?**

$$I_{x_1} = \frac{bh^3}{4};$$

$$I_{y_1} = \frac{hb^3}{48};$$

$$I_{x_1} = I_{y_1} = \frac{\pi D^4}{64};$$

$$I_{x_1} = I_{y_1} = \frac{\pi D^4}{64} (1 - c^4).$$

**19. Doiraviy kesimning markaziy o'qlariga nisbatan inersiya momentlari qaysi formuladan aniqlanadi?**

$$I_x = I_y = \frac{\pi D^4}{64};$$

$$I_x = \frac{bh^3}{36}, \quad I_y = \frac{hb^3}{48};$$

$$I_x = \frac{bh^3}{12}, \quad I_y = \frac{hb^3}{12};$$

$$I_x = I_y = \frac{\pi D^4}{64} (1 - c^4).$$

**20. Halqa kesimning markaziy o'qlariga nisbatan inersiya momentlari qaysi formuladan aniqlanadi?**

$$I_x = I_y = \frac{\pi D^4}{64} (1 - c^4);$$

$$I_x = \frac{bh^3}{36}, \quad I_y = \frac{hb^3}{48};$$

$$I_x = I_y = \frac{\pi D^4}{64};$$

$$I_x = \frac{bh^3}{12}, \quad I_y = \frac{hb^3}{12}.$$

**21. To'g'ri to'rtburchakli tekis kesim qarshilik momentlari qaysi formulalardan aniqlanadi?**

$$W_x = \frac{bh^2}{6}, \quad W_y = \frac{hb^2}{6};$$

$$W_x = W_y = \frac{a^3}{6};$$

$$W_x = W_y = \frac{\pi D^3}{32};$$

$$W_P = \frac{\pi D^3}{16}.$$

**22. Doiraviy tekis kesim qarshilik momentlari qaysi formulalardan aniqlanadi?**

$$W_x = W_y = \frac{\pi D^3}{32};$$

$$W_x = W_y = \frac{a^3}{6};$$

$$W_P = \frac{\pi D^3}{16};$$

$$W_x = \frac{bh^2}{6}, \quad W_y = \frac{hb^2}{6}.$$

**23. Doiraviy tekis kesim qutb qarshilik momenti qaysi formuladan aniqlanadi?**

$$W_p = \frac{\pi D^3}{16};$$

$$W_x = W_y = \frac{a^3}{6};$$

$$W_x = W_y = \frac{\pi D^3}{32};$$

$$W_x = \frac{bh^2}{6}, \quad W_y = \frac{hb^2}{6}.$$

**24. Kvadrat tekis kesim qarshilik momentlari qaysi formulalardan aniqlanadi?**

$$W_y = W_v = \frac{a^3}{6};$$

$$W_p = \frac{\pi D^3}{16};$$

$$W_x = W_v = \frac{\pi D^3}{32};$$

$$W_x = \frac{bh^2}{6}, \quad W_y = \frac{hb^2}{6}.$$

**25. Bosh inersiya o'qlari uchun qaysi xususiyatlar to'g'riligini ko'rsating.**

- markazdan qochirma inersiya momenti doimo nolga teng, inersiya momentlari ekstremal qiymatlarga ega bo'ladi;
- markazdan qochirma inersiya momenti doimo nolga teng, inersiya momentlari bir-biriga teng qiymatlarga ega bo'ladi;
- markazdan qochirma inersiya momenti doimo maksimumga teng, inersiya momentlari ekstremal qiymatlarga ega bo'ladi;
- markazdan qochirma inersiya momenti minimumga teng, inersiya momentlari ekstremal qiymatlarga ega bo'ladi.

**26. Tekis kesim yuzasi koordinata o'qlari burilganda inersiya momentlari...**

- o'zgaradi;
- o'zgarmaydi;
- nolga teng bo'ladi;
- maksimumga teng bo'ladi

**27. Bosh inersiya momentlari deb qanday momentlarga aytiladi?**

- bosh inersiya o'qlariga nisbatan aniqlangan inersiya momentlari;

- koordinata sistemasiga nisbatan aniqlangan inersiya momentlariga;
- koordinata inersiya o'qlariga nisbatan aniqlangan inersiya momentlariga;
- bosh inersiya radiuslariga nisbatan aniqlangan inersiya momentlariga.

### **28. Bosh inersiya o'qlariga nisbatan bosh inersiya momentlari qanday qiymatlarni qabul qiladi?**

- biriga nisbatan inersiya momentlar maksimum, ikkinchisiga nisbatan minimum va markazdan qochirma inersiya moment nolga teng;
- biriga nisbatan inersiya momentlar maksimum, ikkinchisiga nisbatan maksimum va markazdan qochirma inersiya moment nolga teng;
- biriga nisbatan inersiya momentlar minimum, ikkinchisiga nisbatan minimum va markazdan qochirma inersiya moment nolga teng;
- biriga nisbatan inersiya momentlar maksimum, ikkinchisiga nisbatan noi va markazdan qochirma inersiya moment minimumga teng.

### **29. Bosh inersiya o'qlari uchun quyidagi qaysi formulalar to'g'riligini ko'trsating.**

$$J_u = J_{\max}; \quad J_v = J_{\min}; \quad J_w = 0;$$

$$J_{\max} = 0; \quad J_{\min} = 0; \quad J_{uv};$$

$$J_{\max} = J_{\min}; \quad J_{uv} = J_{\max};$$

$$J_{\max} = J_{uv}; \quad J_{uv} = J_{vu}.$$

### **30. Bosh inersiya o'qlari holati quyida keltirilgan formulalarning qaysi biridan aniqlanadi?**

$$\operatorname{tg} 2\alpha_0 = \frac{2J_{xy}}{J_y - J_x};$$

$$\operatorname{tg} 2\alpha_0 = \frac{J_y - J_x}{2J_{xy}};$$

$$\operatorname{tg} 2\alpha_0 = \frac{2J_{xy}}{J_y + J_x};$$

$$\operatorname{tg} 2\alpha_0 = \frac{2r_{xy}}{\sigma_1 - \sigma_3}.$$

**BURALISH****7.1-§. Doira kesimli to‘g‘ri brusning buralishi**

Tashqi kuchdan brusning ko‘ndalang kesim yuzalarida zo‘riqish kuch omillaridan biri, ya’ni faqat burovchi momentlargina hosil bo‘ladigan deformatsiya lanish holatiga *buralish* deformatsiyasi deyiladi. Buralishga ishlovchi silindrik bruslarga *val* deb ataladi.

Ba’zi bir hollarda vallarni hisoblashda tashqi burovchi momentlar talab qilingan quvvat miqdori va valning aylanishlar tezligi bilan aniqlanadi. Agar val bir daqqa ichida  $n$  marta aylansa, unda 1 sekundda aylanish burchagi  $2\pi/60$  yoki  $\pi/30$  radianga teng bo‘ladi. Valdan uzatilayotgan quvvat, burovchi moment miqdori bilan valning 1 sekundda aylanishlar soni (radianda) ko‘paytmasiga teng:

$$N = M \frac{\pi}{30} \text{ bundan } M = \frac{30N}{\pi} (\text{kg} \cdot \text{m}) = \frac{300N}{\pi} (\text{N} \cdot \text{m}).$$

Bu yerda quvvatning o‘lchov birligi kg m/sek.

Agar quvvat  $N$  ot kuchida (o.k) berilgan bo‘lsa, burovchi moment quyidagi formuladan aniqlanadi:

$$M = \frac{30 \cdot 75N}{\pi} = 716,2 \frac{N}{n} (\text{kg} \cdot \text{m}) = 7162 \frac{N}{n} (\text{N} \cdot \text{m}).$$

Agar bir ot kuchi 0,73562 kVt ekanligini e’tiborga olsak, unda burovchi moment quyidagi formuladan aniqlanadi:

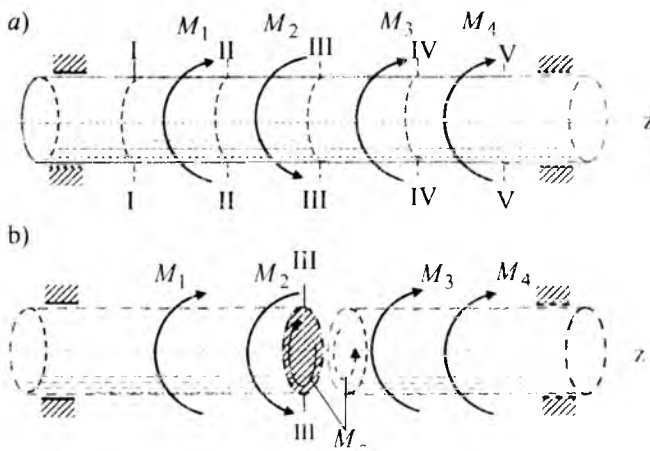
$$M = \frac{7162}{0,73562} \frac{N}{n} (\text{N} \cdot \text{m}) = 9736 \frac{N}{n} (\text{N} \cdot \text{m}).$$

Buralish deformatsiyasi amalda juda ko‘p uchraydi. Masalan: mashina detallari, inshoot elementlari, lokomativlarning o‘qlari, tir-sakli vallar, fazoviy konstruksiya elementlari, prujinalarning o‘ramlari va shunga o‘xshashlar buralish deformatsiyasiga qarshilik ko‘rsatadi. Ko‘ndalang kesim yuzasi turli shaklda bo‘lgan buralishga ishlaydigan bruslar ichida texnikada ko‘p uchraydigan doiraviy va halqasimon ko‘ndalang kesim yuzasiga ega bo‘lgan bruslar muhim o‘rin egallaydi.

## 7.2-§. Burovchi moment va uning epyurasini qurish

Bir uchi bilan mahkamlangan silindriq brusning ikkinchi erkin uchiga qo'yilgan juft kuch ta'sirida bo'lsa, brusning erkin ko'ndalang kesimi mahkamlangan kesimiga nisbatan aylanadi va natijada brus buraladi (7.3-chizma). Brus buralganda uning ixtiyoriy ko'ndalang kesimida hosil bo'lgan ichki kuch omili, ya'ni burovchi moment kesish usulidan foydalaniq aniqlanadi.

Brusning qoldirilgan qismiga ta'sir etayotgan tashqi momentlarning biror kesimdagagi algebraik yig'indisiga shu kesimdagagi *burovchi moment* deb ataladi va  $M_b$  bilan belgilanadi.



7.1-chizma. Turli ko'ndalang kesimlariga qo'yilgan sirtqi momentlar ta'siridagi val

Valni mustahkamlikka tekshirishda uning eng xavfli kesimini aniqlab olish zarur. Buning uchun esa brus o'qi bo'ylab burovchi momentning o'zgarish qonunini ko'rsatuvchi grafikni chizish lozim. O'zgarmas ko'ndalang kesimli bruslarning maksimal burovchi moment hosil bo'lgan kesimi xavfli kesim hisoblanadi.

Burovchi momentni brus o'qi bo'ylab o'zgarish qonunini ko'rsatuvchi grafikka *burovchi moment epyurasi* deyiladi. 7.1,a-chizmada keltirilgan val turli ko'ndalang kesimlariga qo'yilgan sirtqi momentlar ta'sirida muvozanatda bo'lsin.

Valning ixtiyoriy kesimidagi burovchi momentni aniqlash uchun kesish usulidan foydalanamiz, ya’ni valni kesimiga perpendikulyar bo’lgan biror tekislik bilan ikkiga bo’lamiz. Val bo’laklarning muvozanatini tiklash maqsadida tashlab yuborilgan qismning ta’sirini olib qolingan qismga qo’yamiz va uning muvozanatini tekshiramiz (7.1,b-chizmada).

Masalan III-III tekislik bilan bo’lingan bo’laklarni tekshiramiz. Chap qism uchun statikaning muvozanat tenglamasini tuzamiz:

$$\sum M_z = 0; \quad M_1 - M_2 + M_z = 0; \text{ bundan } M_z = M_2 - M_1.$$

$$\sum M_z = 0; \quad -M_z + M_3 + M_4 = 0; \text{ bundan } M_z = M_3 - M_4.$$

Xuddi shuningdek o’ng qism uchun statikaning muvozanat tenglamasini tuzamiz.

Demak, bular asosida quyidagi qoidalarni qabul qilish mumkin:

Brusning ixtiyoriy kesimida hosil bo’ladigan burovchi moment, shu kesimdan chap tomonda ta’sir etayotgan barcha sirtqi kuchlardan brus o’qiga nisbatan olingen momentlarning algebraik yig‘indisiga teng bo’ladi. Yoki shu kesimdan o’ng tomonda ta’sir etayotgan barcha sirtqi kuchlar teskari ishorasi bilan olingen momentlarning algebraik yig‘indisiga teng bo’ladi.

$$M_z = \sum_{\text{chap}} \text{mom}_{\text{chap}} = - \sum_{\text{o’ng}} \text{mom}_{\text{o’ng}}.$$

Ko’dalang kesimga uning normali tomonidan qaraganda burovchi moment soat millari harakati bo’yicha yo’nalgan bo’lsa, ishorasini mürsbat, aks holda manfiy deb qabul qilamiz. Burovchi moment epyurasini qurish bo’ylama kuch epyurasini qurishdan farq qilmaydi. Valning uzunligi bo’yicha bir nechta kesimlarda burovchi momentlarni topish zaruriyati tug’ilsa va xavfli kesimini aniqlash maqsadida burovchi moment epyurasini qurish lozim. Shu maqsadda 7.2-chizmada keltirilgan brus uchun burovchi moment epyurasi qurilsin. Bunda sirtqi burovchi momentlar qiyatlari  $M_1 = 1000 \text{ N} \cdot \text{m}$ ,  $M_2 = 2000 \text{ N} \cdot \text{m}$ ;  $M_3 = 3000 \text{ N} \cdot \text{m}$ ;  $M_4 = 8000 \text{ N} \cdot \text{m}$ ;  $M_5 = 2000 \text{ N} \cdot \text{m}$  ga teng bo’lsin.

Brusni oltita oraliqlarga bo’lamiz va har safar chap oraliqlarning muvozanatini tekshiramiz, unda kesimlardagi burovchi moment quyidagilarga teng bo’ladi:

$$M_z^I = 0;$$

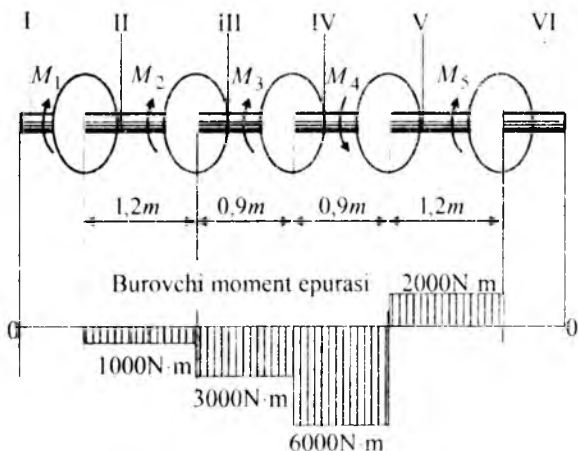
$$M_z^{II} = -M_I = -1000 \text{ N} \cdot \text{m};$$

$$M_z^{III} = -M_I - M_{II} = -3000 \text{ N} \cdot \text{m};$$

$$M_z^{IV} = -M_I - M_{II} - M_{III} = -6000 \text{ N} \cdot \text{m},$$

$$M_z^{V} = -M_I - M_{II} - M_{III} + M_{IV} = 2000 \text{ N} \cdot \text{m};$$

$$M_z^{VI} = -M_I - M_{II} - M_{III} + M_{IV} - M_V = 0.$$



### 7.2-chizma. Burovchi moment epyurasi

Burovchi moment epyuralarini qurish cho'zilgan va siqilgan bruslarning bo'ylama kuch epyurasini qurish kabi bajariladi. Burovchi moment epyuralari 7.2-chizmada keltirilgan.

### 7.3-§. Val kesimidagi kuchlanishlarni hamda kesimning buralish burchagini aniqlash

Silindr shaklidagi brusning yon sirtiga yasovchilariga parallel bo'lgan bo'ylama chiziqlar va ko'ndalang kesim yuzalarining konturini hosil qiluvchi aylanalar bilan to'ri hosil qilamiz. Brus buralganda hosil bo'lgan deformatsiya natijalariga asosan quyidagi xulosalariga kelish mumkin:

a) deformatsiyagacha tekis bo'lgan ko'ndalang yuzasi, brus buralgandan keyin ham tekisiligicha, kesim gardishi aylanaligicha, radiusi esa to'g'ri chiziqligicha qoladi;

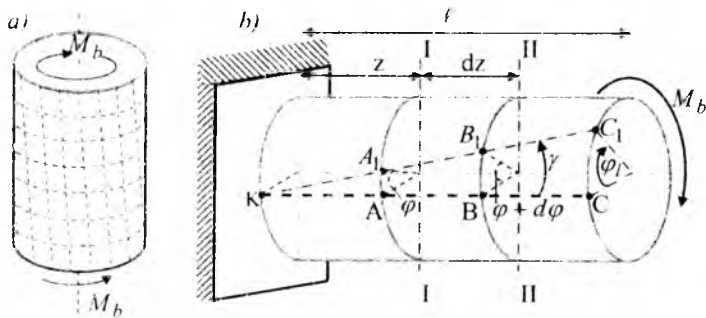
b) har bir ko'ndalang kesim qo'shni kesimga nisbatan brus o'qi atrosida ma'lum burchakka aylanadi. Bu burchak *buralish burchagi* deyiladi. Buralish burchagi burovchi momentga va ko'ndalang kesimlar oraliq'iga proporsionaldir;

v) brusning barcha yasovchilari bir xil burchakka og'adi va silindr sirtiga chizilgan kvadratlar bir xilda qiyshayib romb shaklini oladi;

g) brus buralganda ko'ndalang kesim oraliqlari o'zgarmaydi, ya'ni brus cho'zilmaydi ham, siqilmaydi ham.

Keltirilgan bu tajribalarning natijalaridan foydalanib doiraviy silindr uchun buralishda hosil bo'ladigan deformatsiya va kuchlanishlarning ko'ndalang kesim yuzasi bo'yicha qanday qonun bilan o'zgarishini aniqlash mumkin.

7.3,a-chizmadan ko'rindaniki, deformatsiyadan keyin brusning yonma-yon bo'lgan ko'ndalang kesimlari bir-biriga nisbatan siljiydi; qaralayotgan kesim qistirib mahkamlangan kesimdan qancha uzoq bo'lsa, shu kesimning siljishi shuncha ko'p bo'ladi. Masalan, tayanchdan  $\varphi$  oraliqdagi ko'ndalang kesim mahkamlangan kesimga nisbatan  $\varphi$  ga burilgan bo'lsa, tayanchdan  $\varphi + d\varphi$  oraliqdagi kesim esa  $\varphi + d\varphi$  burchakka buriladi (7.3,b-chizma).



7.3-chizma. To'g'ri o'qli brus

$d\varphi$  burchak II kesimining I kesimga nisbatan og'ish burchagi, ya'ni  $d\varphi$  oraliqdagi elementning buralish burchagidir.

Umuman, istalgan kesimning og'ish burchagi shu kesim bilan mahkamlangan kesim orasidagi elementning buralish burchagiga tengdir.

Shunday qilib, brus uchidagi kesimning og'ish burchagi tekshirilayotgan brusning buralish burchagiga tengdir.

Demak, buralish deformatsiyasi, brusning yonma-yon turgan kesimlarining bir-biriga nisbatan siljishidan iborat ekan, shu brus kesim yuzalarida urinma kuchlanishlar hosil bo'ladi.

Endi buralgan brusdan I va II kesimlar bilan ajratilgan elementni tekshiramiz (7.4-chizma).

$$BB_1 = r \cdot d\varphi.$$

$\angle BAB_1 = \gamma$  burchak element II kesimning I kesimga nisbatan nisbiy siljishi bo'ladi.

$$BB_1 = \gamma \cdot dz; \quad \gamma \cdot dz = r \cdot d\varphi; \quad \gamma = r \frac{d\varphi}{dz}$$

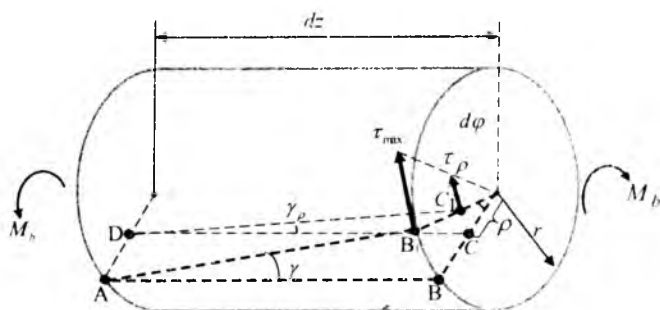
Brusning uzunlik birligiga to'g'ri keladigan siljish burchagidir.

$$[\gamma = r\theta]. \quad (7.1)$$

Bu formuladan ko'rindaniki, silindrik brusning buralishidan hosil bo'ladigan nisbiy siljish shu brus kesimi yuzasining radiusiga proporsionaldir.

Yuqoridagi xulosalarning a) bandiga binoan, bu elementning ichidan ajratilgan  $\rho$  radiusli elementning nisbiy siljishi quyidagicha bo'ladi:

$$\gamma_\rho = \theta \cdot \rho.$$

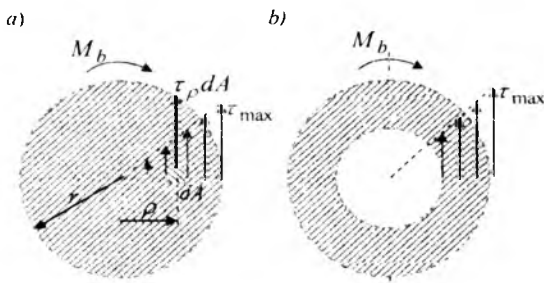


7.4-chizma. Uzunligi  $dz$  bo'lgan ajratilgan element

Buralgan brusning ko'ndalang kesimlaridagi urinma kuchlanishlarni siljishdagi Guk qonunidan foydalaniib aniqlaymiz. Kesim markazidan  $\rho$  masofadagi nuqtaning urinma kuchlanishi (7.4-chizma) quyidagicha topiladi [30, part I, p-95]:

$$\tau_\rho = G \cdot \gamma_\rho = G \cdot \theta \cdot \rho, \quad (a)$$

Bunga binoan urinma kuchlanish  $\rho$  ga to'g'ri proporsional bo'lar ekan. Demak, valning ko'ndalang kesimi bo'yicha urinma kuchlanish to'g'ri chiziq qonuni bilan o'zgarar ekan (7.5-chizma).



7.5-chizma. Urinma kuchlanishning kesim bo'yicha o'zgarar qonuni

Kesimdan ajratilgan elementar yuzacha ( $dA$ )ga to'g'ri keladigan zo'riqish kuchi quyidagicha bo'ladi:

$$\tau_\rho dA = G \cdot \theta \cdot \rho \cdot dA.$$

Bu elementar zo'riqish kuchlarining yo'nalishlari kesim radiisiga tik bo'ladi, chunki siljish ham shu yo'nalishda vujudga keladi.

Elementar zo'riqish kuchning brus o'qiga nisbatan olingan momenti quyidagicha bo'ladi:

$$dM = G \cdot \theta \cdot \rho^2 dA.$$

Brus buralganda deformatsiyadan keyingi muvozanat holati uchun ko'ndalang kesim yuzida to'plangan bu elementar zo'riqish kuchlari momentlarining yig'indisi tashqi burovchi momentga teng bo'ladi:

$$M_b = \int_A G \cdot \theta \cdot \rho^2 \cdot dA.$$

Bu formuladagi  $G\theta$  o'zgarmas miqdorni integral tashqarisiga chiqarib va  $\int \rho^2 \cdot dA$  integral kesim yuzining qutb inersiya momenti ekanligini e'tiborga olsak u quyidagi ko'rinishni oladi:

$$M_b = G \cdot \theta \cdot I_p.$$

Bundan brusning uzunlik birligiga to'g'ri kelgan buralish burchagi ( $\theta$ )ni topamiz [30, part I, p-97]:

$$\theta = \frac{M_b}{G I_p} \quad (7.2)$$

Bunda  $G I_p$  buralgan brusning bikirligini ifodalaydi, uning val materialining fizik xossasi va ko'ndalang kesim o'lchamlarining buralish deformatsiyasiga qanday ta'siri borligi quyidagicha topiladi:

$$\varphi = \theta \ell = \frac{M_b \ell}{G I_p} \quad (7.3)$$

Bundan ko'rindiki, buralgan brusning to'la buralish burchagi burovchi moment bilan brus uzunligiga to'g'ri proporsional va bikirligiga teskari proporsionaldir.

(7.3) formuladan to'la buralish burchagini qiymati radian hisobida chiqadi, uni gradusga aylantirish uchun  $\frac{180^0}{\pi}$  ga ko'paytirish kerak:

$$\varphi^0 = \frac{180^0}{\pi} \frac{M_b \ell}{G I_p} \quad (7.4)$$

Urinma kuchlanishni topish uchun (a) formulaga  $\theta$  ning qiymatini (7.2) formuladan qo'yamiz:

$$\tau_\rho = G \rho \frac{M_b}{G I_p}.$$

$$\tau_\rho = \frac{M_b}{I_p} \rho \quad (7.5)$$

Bu formuladan ko'ndalang kesimning ixtiyoriy nuqtasidagi urinma kuchlanish topiladi.

Maksimal urinma kuchlanish brus ko'ndalang kesimining chetki nuqtalarida hosil bo'лади:

$$\tau_{\max} = \frac{M_b}{I_\rho} r = \frac{M_b}{W_p}.$$
(7.6)

Kuchlanish diagrammasi 7.5-chizmada ko'rsatilgan.

Ushbu (7.6) formulaning maxrajidagi kasrni  $w_p$  bilan belgilaymiz va u brus ko'ndalang kesim yuzining qutb qarshilik momenti deyiladi.

$$W_p = \frac{I_\rho}{r},$$
(7.7)

Ushbu (7.7) formuladan ko'rinadiki, tekis chizmalarning qutb qarshilik momentlari uzunlik o'lchovining uchinchi darajasi bilan o'lchanar ekan va kesim yuzining qutb *qarshilik momenti* deb ataladi. (7.7) formulani hisobga olib (7.6) formulani quyidagi ko'rnishda yozamiz:

$$\tau_{\max} = \frac{M_b}{W_p}$$

(7.8)

Silindrik sterjenlarning buralish nazariyasida (7.3) va (7.8) formulalar muhim ahamiyatga egadir.

#### 7.4-§. Valni mustahkamlikka va bikirlikka hisoblash

Buralishning mustahkamlik sharti shundan iboratki, maksimal urinma kuchlanish ( $\tau_{\max}$ ) tegishli ruxsat egilgan kuchlanishdan oshmasligi kerak:

$$\tau_{\max} = \frac{M_{b_{\max}}}{W_p} \leq [\tau]$$

(7.9)

Bunda  $M_b$  valning eng xavfli kesimiga tegishli burovchi momentdir. Uni biz burovchi moment epyurasidan topamiz.

Bu tenglama ham cho'zilish va siqilishdagi yoki siljishdagi mustahkamlik shartlariga juda o'xshashdir, biroq kuch o'rniiga moment, kesim yuzi o'rniiga esa kesim yuzining qarshilik momenti olin-gan. Bu formulani faqat silindrik bruslar uchungina tatbiq qilish mumkin.

Bu tenglama yordamida cho'zilish yoki siqilishdagi mustahkamlik shartidagi kabi uch xil masalani yechish mumkin. Ulardan

eng muhim vallarning diametrini topishdir. Buning uchun (7.9) formuladan kesim yuzasining qarshilik momenti  $w_p$  qiymatini topamiz:

$$W_p = \frac{M_{b_{\max}}}{[\tau]} \quad . \quad (5.10)$$

Bunga (7.6) dan  $w_p$  ni qiymatini qo'ysak,

$$\frac{\pi d^3}{16} \geq \frac{M_b}{[\tau]} : \text{ bundan } d \geq \sqrt[3]{\frac{16M_b}{\pi[\tau]}} \approx 1,72 \cdot \sqrt[3]{\frac{M_b}{[\tau]}} \quad . \quad (7.11)$$

kelib chiqadi.

Agar  $M_b$  ning o'rniga uning quvvat orqali ifodalangan ifodasi ni qo'ysak:

$$d \geq \sqrt[3]{\frac{71620 \cdot N \cdot 16}{\pi \cdot [\tau] \cdot n}} \approx 72 \cdot \sqrt[3]{\frac{N}{[\tau] \cdot n}} \quad . \quad (7.12)$$

Kovak vallar uchun:

$$W_p = \frac{\pi D}{16} (1 - c^4) \text{ bo'ladi,}$$

bundan:

$$D \geq \sqrt[3]{\frac{16M_b}{\pi(1 - c^4)[\tau]}} \approx 1,72 \cdot \sqrt[3]{\frac{M_b}{(1 - c^4)[\tau]}} \quad . \quad (7.13)$$

yoki

$$D \geq 72 \cdot \sqrt[3]{\frac{N}{n(1 - c^4)[\tau]}} \quad . \quad (7.14)$$

bo'ladi.

Bunda  $N$  quvvat (ot kuchida olinadi);

$n$  valning bir minutga aylanishlar soni.

(7.11) va (7.14) formulalardan ko'rindiki, quvvat o'zgartirilmagan holda valning aylanishlar soni oshirilsa, val diametri kichraysiaishi mumkin.

Siljish uchun ruxsat etilgan kuchlanish  $[\tau] = (0,5 - 0,6)[\sigma]$  formula yordamida olinadi. Bunda valga yuklar statik ravishda qo'yilgan deb qaraladi.

Biz yuqorida buralgan brusning ko'ndalang va bo'ylama kesimlarida faqat urinma kuchlanishlar fa'sir qilishini qayd qilib o'tgan edik (7.4-chizma).

Endi bunday bruslarning qiya kesimlarida qanday kuchlanishlar paydo bo'lishini tekshiramiz.

Buralgan silindrik bruslarning qiya yuzalarida urinma kuchlanishlardan tashqari normal kuchlanishlar ta'sir qilishini ko'ramiz. Bu normal kuchlanishlar quyidagi

$$\sigma_{1,3} = \frac{1}{2} \left[ (\sigma_x + \sigma_y) \pm \sqrt{(\sigma_x + \sigma_y)^2 + 4\tau_{xy}^2} \right]. \quad (7.15)$$

formula bilan aniqlanadi. Bu formula bosh kuchlanish formulasini bo'lib juda katta ahamiyatga ega.

Biz tekshirayotgan hol uchun  $\sigma_x = \sigma_y = 0$  bo'ladi, binobarin  $\sigma_1 = \sigma_{\max} = \tau$  va  $\sigma_3 = -\sigma_{\min} = -\tau$  ga teng bo'ladi. Ulardan birinchisi cho'zuvchi va ikkinchisi esa siquvchi normal kuchlanishlardir. Bosh yuzalar esa ushbu

$$\operatorname{tg} 2\alpha_0 = -\frac{2\tau_{xy}}{\sigma_x - \sigma_y} \quad (7.16)$$

formula orqali topiladi.

Tajribalar shuni ko'rsatadiki, mo'rt materiallar, masalan, cho'yan brus o'qiga  $45^\circ$  burchak qiyaligidagi tekislik bo'yicha, ya'ni ancha katta cho'zuvchi kuchlanish ta'sir qilgan yuza bo'yicha yemiriladilar.

Demak, brus buraladigan bo'lganda uning o'qidan boshqa barsha nuqtalarida tekis kuchlanish holati, ya'ni sof siljish hosil bo'ladi. Buralishda bruslarning sirtidagi materiallari o'q oldidagi materiallarga qaraganda katta kuchlanishga ega bo'ladi. Shu tufayli brus bir xilda kuchlanmaydi. Agar yupqa devorli bruslar buralsa, devorning barcha nuqtalarida bir xil kuchlanish hosil bo'ladi deb hisoblanadi. Bunga trubalar ham misol bo'la oladi. Bu holda kuchlanish holati bir jinsli bo'ladi. Bunday trubalar sof siljish deformatsiyasini tekshirishda qo'l keladi, masalan, siljishdagi oquvchanlik chegarasi ( $\tau_{eq}$ )ni topishda ishlataladi.

Buralishga ishlovchi bruslar mustahkam bo'lishi bilan birgalikda bikir bo'lishi ham shart. Bikirlik sharti quyidagicha ifodalanadi:

$$\theta = \frac{M_b}{G I_p} \leq [\theta]$$

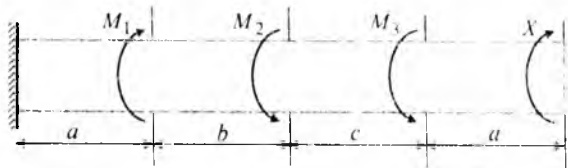
Bunda  $[\theta]$  brusning birlik uzunligiga to'g'ri keluvchi ruxsat etilgan buralish burchagi.

## Masalalar

*7.1-masala.* 10.8-chizmada berilgan val uchun quyidagilar aniqlansin:

- 1) noma'lum  $X$  burovchi momentning qanday qiymatida valning o'ng uchidagi kesimida buralish burchagi nolga teng bo'lishi;
- 2) aniqlangan  $X$  miqdori bo'yicha burovchi momentlar epyurasini qurilsin;
- 3) berilgan  $[\tau]$  ruxsat etilgan urinma kuchlanish qiymati bo'yicha valning diametri mustahkamlik shartidan aniqlansin va unga yaqin bo'lgan butun son bilan yaxlitlab olinsin ( $30, 35, 40, 45, 50, 55, 60, 65, 70, 75, 80, 85, 90, 95, 100$ );
- 4) buralish burchak epyuralari qurilsin;
- 5) eng katta nisbiy buralish burchagi aniqlansin (1 metr uzunklikka).

Berilganlar quyidagi jadvaldan shifr bo'yicha olinadi.



*10.8-chizma. Burovchi momentlar bilan yuklangan val*

$$a = 1.4 \text{ m}; b = 1.6 \text{ m}; c = 1.2 \text{ m};$$

$$M_1 = 1.4 \text{ kNm}; M_2 = 1.6 \text{ kNm}; M_3 = 1.2 \text{ kNm};$$

$$[\tau] = 70 \text{ MPa} = 700 \text{ N/sm}^2.$$

*1) Yechish.* 1) qaralayotgan masala bir marta statik aniqmas. Valning qistirib mahkamlangan tayanchidagi reaksiya kuchini aniqlashni talab qilinmaganligi uchun uni aniqlamaymiz. Valning erkin uchidagi oxirgi kesimidagi noma'lum  $X$  burovchi momentni aniqlaymiz. Masalaning sharti bo'yicha valning o'ng oxirgi uchidagi kesimning  $\varphi_D = 0$  burilish burchagi nolga teng bo'lishi lozim, ya'ni masalaning shartidan:

$$\varphi_D = 0.$$

Kuchlarning mustaqillik prinsipi asosida quyidagilarni hosil qilamiz:

$$\varphi_D = \varphi^{M_1} + \varphi^{M_2} + \varphi^{M_3} + \varphi^X = 0.$$

$$\varphi_D = \frac{M_1 \cdot a}{Gl_\rho} - \frac{M_2 \cdot (a+b)}{Gl_\rho} - \frac{M_3 \cdot (a+b+c)}{Gl_\rho} + \frac{X \cdot (2a+b+c)}{Gl_\rho} = 0.$$

Bu tenglamadan noma'lum  $X$  burovchi moment topiladi:

$$X = \frac{(-M_1) \cdot a + M_2 \cdot (a+b) + M_3 \cdot (a+b+c)}{(2a+b+c)} = \frac{(-1,4) \cdot 1,4 + 1,6(1,4+1,6) + 1,2(2 \cdot 1,4 + 1,6 + 1,2)}{(2 \cdot 1,4 + 1,6 + 1,2)} = 1,40714 \text{ kNm},$$

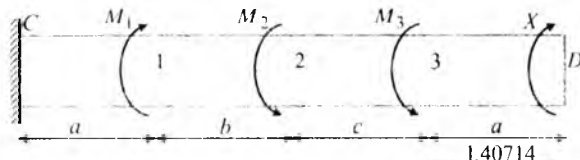
Valning har bir oralig'i uchun burovchi momentlar aniqlanadi:

$$M_b^{3-D} = -X = -1,40714 \text{ kNm};$$

$$M_b^{2-3} = -X + M_3 = -1,40714 + 1,2 = -0,20714 \text{ kNm};$$

$$M_b^{1-2} = -X + M_3 + M_2 = -1,40714 + 1,2 + 1,6 = 1,39286 \text{ kNm};$$

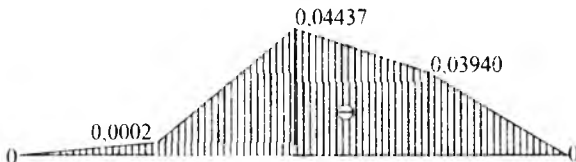
$$M_b^{C-1} = -X + M_3 + M_2 - M_1 = -1,40714 + 1,2 + 1,6 - 1,4 = -0,00714 \text{ kNm}$$



Burovchi moment epyurasi  $M_b$



Buralish burchak epyurasi  $\varphi$



7.9-chizma. Burovchi moment va buralish burchak epyuralari

2) aniqlangan bu qiymatlar bo'yicha 7.9-chizmada burovchi moment epyurasi qurib ko'rsatilgan.

3) valning mustahkamlik shartidan foydalanib, uning diametri aniqlanadi.

$$\tau_{\max} = \frac{M_b}{W_p} \leq [\tau]; \quad W_p \geq \frac{M_b}{[\tau]}$$

Doira shaklidagi kesim yuzasi qarshilik momenti taqriban  $0,2d^3$  ga teng bo'lgani uchun mustahkamlik shartidan:

$$0,2d^3 \geq \frac{M_b}{[\tau]}; \quad d \geq \sqrt[3]{\frac{M_b}{0,2[\tau]}} = \sqrt[3]{\frac{1,40714 \cdot 10^5}{2 \cdot 700}} = 4,650 \text{ sm} = 46,50 \text{ mm}.$$

Val diametrini  $d = 50 \text{ mm}$  ga teng deb qabul qilamiz.

4) Materiali po'latdan bo'lgan val uchun siljishdagi elastiklik moduli  $G = 8 \cdot 10^6 \text{ N/sm}^2$  ga teng ekanligi tajribalarda aniqlangan.

Kesimning qutb inersiya momentini aniqlaymiz:  
 $I_p = 0,1d^4 = 0,1 \cdot 625 \text{ sm}^4$  ga teng bo'ladi.

Har bir oraliqdagi xarakterli  $0,1,2,3, D$  kesimlar uchun valning buralish burchak qiymatlarini quyidagi formulalardan foydalanib aniqlaymiz:

Valning chap uchi buralish burchakgi nolga teng ekanligi ma'lum  $\varphi_c = 0$ .

$$\begin{aligned} \varphi_1 &= \varphi_c + \varphi_{c-1} = 0 + \frac{M_b^{C-1} \cdot a}{G I_p} = \\ &= \frac{(-0,00714 \cdot 10^5 \text{ Nsm}) \cdot (140) \text{ sm}}{(8 \cdot 10^6 \text{ N/sm}^2) \cdot 62,5 \text{ sm}^4} = -0,0002 \text{ rad}. \\ \varphi_2 &= \varphi_1 + \varphi_{1-2} = -0,0002 + \frac{M_b^{1-2} \cdot b}{G I_p} = \\ &= -0,0002 + \frac{(1,39286 \cdot 10^5 \text{ Nsm}) \cdot (160) \text{ sm}}{(8 \cdot 10^6 \text{ N/sm}^2) \cdot 62,5 \text{ sm}^4} = 0,04437 \text{ rad}. \end{aligned}$$

$$\varphi_3 = \varphi_2 + \varphi_{2-3} = -0,04437 + \frac{M_b^{2-3} \cdot c}{Gl_\rho} =$$

$$= -0,04437 + \frac{-0,20714 \cdot 10^5 \text{ Nsm} \cdot (120) \text{ sm}}{\left(8 \cdot 10^6 \text{ N/sm}^2\right) \cdot 62,5 \text{ sm}^4} = -0,0394 \text{ rad};$$

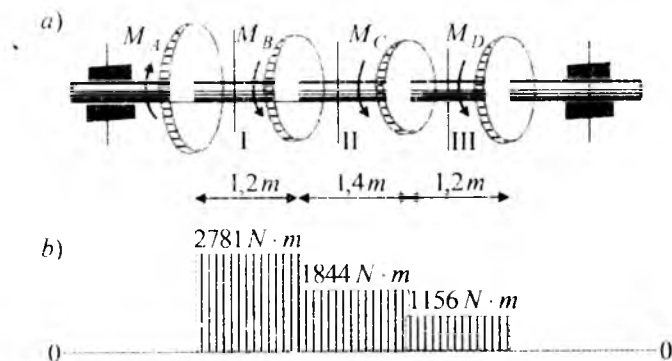
$$\varphi_D = \varphi_3 + \varphi_{3-D} = \frac{M_b^{3-D} \cdot a}{Gl_\rho} = -0,0394 + \frac{(-1,40714 \cdot 10^5 \text{ Nsm}) \cdot (140) \text{ sm}}{\left(8 \cdot 10^6 \text{ N/sm}^2\right) \cdot 62,5 \text{ sm}^4} = 0.$$

Buralish burchagini aniqlangan qiymatlari bo'yicha epyuralari 7.9-chizmada qurib ko'rsatilgan.

5. Valning eng katta nisbiy buralish burchagini aniqlaymiz:

$$\varphi_{\max} = \frac{M_b^{3-D} \cdot l_m}{Gl_\rho} = \frac{1,40286 \cdot 10^5 \text{ Nsm} \cdot 100 \text{ sm}}{8 \cdot 10^6 \text{ N/sm}^2 \cdot 62,5 \text{ sm}^4} = 0,0271 \text{ rad}.$$

**7.2-masala.** Elektrodvigatel valiga o'rnatilgan shkivdan (7.10-chizmada ko'rsatilmagan) tasmali uzatma yordamida, transmissiya vali unga o'rnatilgan A shkividan harakatga keltiriladi. O'z navbatida shu valga o'rnatilgan B, C va D shkivlar yordamida ish mashinalari harakatga keltiriladi (7.10-chizma). Ushbu shkivlar tegishlicha  $N_B = 15 \text{ kvt}$ ,  $N_C = 11 \text{ kvt}$  va  $N_D = 18,5 \text{ kvt}$  quvvatlarni uzatadilar. Transmissiya vali  $\omega = 16 \text{ rad/sek}$  burchak tezlik bilan aylanadi. Podshipniklarning ishqalanishini e'tiborga olmasdan burovchi moment epyurasi qurilsin.



7.10-chizma. Burovchi moment epyurasi

**Yechish.** 1. Valning B shkividan tasmali uzatma yordamida ulangan mashina quvvatni talab qiladi, chunki mashina valiga

uzatilishi lozim bo'lgan burovchi moment quyidagiga teng bo'lishi lozim:

$$M_B = \frac{N_B}{\omega} = \frac{15 \cdot 10^3}{16} = 937 \text{ N} \cdot \text{m}.$$

C shkivdan o'zatilishi lozim bo'lgan burovchi moment quyidagiga teng bo'lishi lozim:

$$M_S = \frac{N_S}{\omega} = \frac{11 \cdot 10^3}{16} = 688 \text{ N} \cdot \text{m}.$$

D shkivdan uzatilishi lozim bo'lgan burovchi moment quyidagiga teng bo'lishi lozim:

$$M_D = \frac{N_D}{\omega} = \frac{18,5 \cdot 10^3}{16} = 1156 \text{ N} \cdot \text{m}.$$

Unda dvigatelning A shkiv orqali uzatiladigan burovchi momenti quyidagiga teng bo'ldi:

$$M_A = M_B + M_S + M_D = 937 + 688 + 1156 = 2781 \text{ N} \cdot \text{m}.$$

2. Val uchta oraliqdan iborat bo'lib, bu oraliqlarning har birida hosil bo'lgan burovchi momentlarni kesish usulidan foydalanib aniqlaymiz.

Birinchi  $AB$  ( $0 \leq z_1 \leq 1,2 \text{ m}$ ) oraliqda burovchi momentni quyidagi formuladan aniqlaymiz:

$$\sum M = -M_A + M_{b1} = 0;$$

bundan

$$M_{b1} = M_A = 2781 \text{ N} \cdot \text{m}.$$

Ikkinci  $BC$  ( $0 \leq z_2 \leq 1,4 \text{ m}$ ) oraliqda burovchi momentni quyidagi formuladan aniqlaymiz:

$$\sum M = -M_A + M_B + M_{b2} = 0;$$

Bundan

$$M_{b2} = M_A - M_B = 2781 - 937 = 1844 \text{ N} \cdot \text{m}.$$

Uchinchi  $BC$  ( $0 \leq z_3 \leq 1,2 \text{ m}$ ) oraliqda burovchi momentni quyidagi formuladan aniqlaymiz:

$$\sum M = -M_A + M_B + M_S + M_{b3} = 0;$$

Bundan

$$M_{b3} = M_A - M_B - M_S = 2781 - 937 - 688 = 1156 \text{ N} \cdot \text{m}.$$

3. Burovchi moment epyurasini qurish uchun val o'qiga parallel ravishda sanoq, ya'ni nol chiziqni o'tkazamiz. Sanoq chiziqqa har bir oraliqda o'zgarmas o'z qiymatiga ega bo'lgan burovchi momentlarni o'lchab qo'yib, ularni bir-biri bilan tutashtirish natijasida 7.10,b-chizmada ko'rsatilgan epyurani hosil qilamiz. Burovchi moment epyurasidan valning ko'p yuklangan oralig'i AB shkivlar oralig'i ekanligini ko'rish mumkin.

*7.3-masala.* 7.11,a-chizmada ko'rsatilgan val uchun burovchi moment, maksimal urinma kuchlanish, burilish burchak epyuralari qurilib, quyida berilgan  $[\theta] = 0,25^0/m = \frac{4 \cdot 180}{\pi}$ ;  $G = 8 \cdot 10^4 MPa$  ma'lumotlardan foydalanib val kesimi diametri va eng katta buralish burchak aniqlansin.

*Yechish.* 1. Val uchta oraliqdan iborat bo'lib, bu oraliqlarning har birida hosil bo'lgan burovchi momentlarni kesish usulidan foydalanib aniqlaymiz.

Birinchi  $AB$  ( $0 \leq z_1 \leq 0,5m$ ) oraliqda burovchi momentni quydagi formuladan aniqlaymiz:

$$M_{1b} = -M_A = -0,6 kN \cdot m.$$

Ikkinchi  $BC$  ( $0 \leq z_2 \leq 0,5m$ ) oraliqda burovchi momentni quydagi formuladan aniqlaymiz:

$$M_{2b} = -M_A - M_B = -1,4 kN \cdot m.$$

Uchinchchi  $CD$  ( $0 \leq z_3 \leq 0,9m$ ) oraliqda burovchi momentni quydagi formuladan aniqlaymiz:

$$M_{3b} = -M_A - M_B + M_C = 0,6 kN \cdot m.$$

Burovchi moment epyuralarini quramiz (7.11,b-chizma). Epyuradan ko'rinishdiki, eng katta burovchi moment  $M_{max} = M_{1b} = -1,4 kN \cdot m$  ga teng ekan.

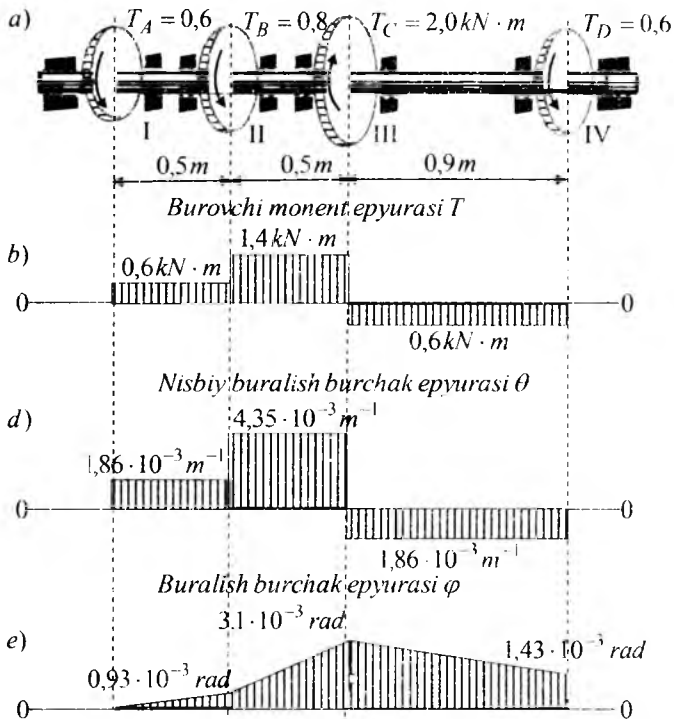
2. Valning mustahkamlig (7.11) shartidan foydalanib, uning diametrini aniqlaymiz:

$$d \geq \sqrt[3]{\frac{16M_h}{\pi[\tau]}} = \sqrt[3]{\frac{16 \cdot 1,4 \cdot 10^{-3}}{3,14 \cdot 20}} = 0,07 m = 7 sm.$$

3. Valning bikirlik shartidan foydalanib, uning diametrini aniqlaymiz:

$$d \geq 4 \sqrt{\frac{32M_b}{G\pi[\theta]}} = 4 \sqrt{\frac{32 \cdot 1,4 \cdot 10^{-3} \cdot 180 \cdot 4}{8 \cdot 10^4 \cdot [\pi]^2}} m = 0,07996 m = 8 sm.$$

Valning aniqlangan diametrlaridan eng kattasi  $d = 8 sm$  ni qabul qilamiz.



### 7.11-chizma. Burovchi moment va buralish burchak epyuralari

4. Valning oraliqlaridagi nisbiy buralish burchaklarini aniqlaymiz:

$$\theta_I \geq \frac{M_{1b}}{GI_\rho} = \frac{0,6 \cdot 10^{-3} \cdot 32}{8 \cdot 10^4 \cdot \pi (8 \cdot 10^{-2})^4} = 1,86 \cdot 10^{-3}.$$

$$\theta_{II} \geq \frac{M_{2b}}{GI_\rho} = \frac{1,4 \cdot 10^{-3} \cdot 32}{8 \cdot 10^4 \cdot \pi (8 \cdot 10^{-2})^4} = 3,35 \cdot 10^{-3}.$$

$$\theta_{III} \geq \frac{M_{3b}}{GI_\rho} = \frac{0,6 \cdot 10^{-3} \cdot 32}{8 \cdot 10^4 \cdot \pi (8 \cdot 10^{-2})^4} = 1,86 \cdot 10^{-3}.$$

Hisob natijalari bo'yicha nisbiy buralish burchak epyuralarini quramiz (7.11,b-chizma).

A nuqtani qo'zg'almas deb barcha oraliqlar uchun buralish burchak  $\varphi$  epyuralarini quramiz (7.11,d-chizma). Valning oraliqlari chegaralarida nisbiy buralish burchak  $\theta = \text{const}$  bo'lgan uchun buralish burchak  $\varphi$  val uzunligi bo'ylab chiziqli qonun asosida o'zgaradi:

$$\varphi_{2-1} = \theta_1 \ell_1 = 1,86 \cdot 10^{-3} \cdot 0,5 \text{ rad} = 0,93 \cdot 10^{-3} \text{ rad};$$

$$\varphi_{3-1} = \varphi_{2-1} + \varphi_{3-2} = (0,93 \cdot 10^{-3} + 2,18 \cdot 10^{-3}) = 4,35 \text{ rad};$$

$$\varphi_{4-1} = \varphi_{2-1} + \varphi_{3-2} + \varphi_{4-3} = (0,93 \cdot 10^{-3} + 2,18 \cdot 10^{-3} - 1,67 \cdot 10^{-3}) = 1,43 \cdot 10^{-3} \text{ rad}.$$

7.4-masala. Doiraviy kesimli to'g'ri o'qli brus uzunligi bo'yicha o'zgarmas bo'lgan  $M_b = 3 \text{ kNm}$  ta'siridan buraladi.  $[\tau] = 45 \text{ MPa}$ ;  $[\varphi] = 0,25 \text{ grad/m}$ ;  $[G] = 0,8 \cdot 10^3 \text{ MPa}$  ga teng deb qabul qilib, ko'ndalang kesim diametri mustahkamlik va bikirlik shartlaridan aniqlansin.

$$\text{Eslatma } [\varphi'] = 0,25 \text{ grad/m} = 0,25 \frac{\pi}{180} = 0,437 \text{ rad/sm}.$$

Javobi: D=97 mm.

7.5-masala. Burchak  $\omega = 12 \text{ rad/sek}$  tezlik bilan aylanib,  $N = 100 \text{ kvt}$  quvvat uzatuvchi doiraviy val ko'ndalang kesim diametri mustahkamlik va bikirlik shartlaridan aniqlansin. Berilganlar:  $[\tau] = 40 \text{ N/mm}^2$ ;  $[\theta] = 0,009 \text{ grad/m}$ ;  $[G] = 8 \cdot 10^4 \text{ N/mm}^2$ .

### Tayanch iboralar:

Burovchi moment, buralish, deformatsiya, kesish usuli, val, mustahkamlik, burovchi moment epyurasi, doiraviy kesimli, kuchlanish va deformatsiya, deformatsiyagacha tekis, ko'ndalang yuzasi, tekisligicha, kesim gardishi aylanaligicha, radiusi esa to'g'ri chiziqligicha buralish burchagi, proporsionaldir, nisbiy siljish, urinma kuchlanish, qutb inersiya momenti bikirlik, qutb qarshilik momenti, mustahkamlik sharti, bikirlik sharti, buralish burchak epyurasi, buralishda statik aniqmas masalalar, tayanchlarda reaksiya momentlari, statika muvozanat tenglamasi, kesimi doiraviy bo'lмаган bruslarining buralishi.

## Test savollari:

### 1. Buralish – bu...

- brusning ko'ndalang kesim yuzalarida faqat burovchi moment sodir bo'ladigan deformatsiyadir;
- brusning ko'ndalang kesim yuzalarida faqat eguvchi moment sodir bo'ladigan deformatsiyadir;
- brusning ko'ndalang kesim yuzalarida faqat kesuvchi moment sodir bo'ladigan deformatsiyadir;
- brusning ko'ndalang kesim yuzalarida faqat kesuvchi kuch va burovchi moment sodir bo'ladigan deformatsiyadir.

### 2. Agar qurʼat $F$ ot kuchida berilgan bo'lsa, burovchi moment qanday ifodalanadi?

$$M_b = 9736 \frac{F}{n} N \cdot m$$

$$M_b = 7162 \frac{F}{n} N \cdot m$$

$$M_b = \frac{Fv}{75} N \cdot m$$

$$M_b = 9736 \frac{F}{n} kN \cdot m$$

### 3. Agar qurʼat $F$ kilovattda berilgan bo'lsa, burovchi moment qanday ifodalanadi?

$$M_b = 7162 \frac{F}{n} N \cdot m$$

$$M_b = 9736 \frac{F}{n} N \cdot m$$

$$M_b = \frac{Fv}{75} N \cdot m$$

$$M_b = 9736 \frac{F}{n} kN \cdot m$$

### 4. Brus ko'ndalang kesimda hosil bo'lgan burovchi moment qanday usuldan foydalanib aniqlanadi?

- kesish;
- dinamik;
- fizik;
- boshlang'ich.

### 5. Brusning buralishida ko'ndalang kesimda qanday zoʼriqish kuchlari hosil bo'ladi?

- burovchi moment;
- eguvchi moment;

- burovchi moment, kesuvchi kuch;
- eguvchi moment, ko'ndalang kuch.

**6. Statik aniqmas masalalarda noma'lumlar soni statik tenglamalar sonidan bitta ko'p bo'lsa, masala necha marta statik noaniq bo'ldi?**

- 1;
- 2;
- 3;
- 4.

**7. Statik aniqmas masalalar statik tenglamalar sonidan noma'lum zo'riqish kuchlari soni uchta ko'p bo'lsa, masala necha marta statik noaniq bo'ldi?**

- 3;
- 4;
- 1;
- 2.

**8. Statik aniqmas masalalarda noma'lumlar soni  $n+1$  ta statik tenglamalar soni  $n$  ta bo'lsa, masala necha marta statik noaniq bo'ldi?**

- 1;
- $n+1$ ;
- $n$ ;
- $n-1$ .

**9. Statik aniqmas masalalar qo'shimcha tenglamalar soni qanday shartdan foydalanib tuziladi?**

- sistema deformatsiyasi shartidan;
- sistema kuchlanishi shartidan;
- sistema bog'lanish shartidan;
- sistema tayanch shartidan.

**10. Statik aniqmas masalalar qanday tartibda yechiladi?**

- statik muvozanat tenglamalar tuziladi, noma'lumlar soni aniqlanadi, qo'shimcha tenglama tuziladi;
- deformatsiyalarni solishtirish, kuch usul, energetik usul yordamida qo'shimcha tenglama tuziladi;
- kuch usul, mexanik usul, energetik usul yordamida qo'shimcha tenglama tuziladi;
- mexanik xossalari, fizik xossalari, geometrik xossalari yordamida sintez qilinadi.

**11. Masalada ortiqcha noma'lumlar soni uchta bo'lsa, masala necha marta statik noaniq bo'ladi?**

- uch marta;
- ikki marta;
- to'rt marta;
- besh marta.

**12. Statik aniqmas masalalarini yechishda asosiy sistema – bu...**

- statik aniqmas sistemadan ortiqcha bog'lanishlarni tashlab yuborib olingan statik aniq sistemadir;
- statik aniqmas sistemadagi tayanchlarning birontasini reaksiya kuchi bilan almashtirib olingan statik aniqmas sistemadir;
- statik aniqmas sistemadagi tayanchlarning barcha reaksiya kuchi bilan almashtirib olingan statik aniq sistemadir;
- statik aniq sistemadan ortiqcha noma'lumlarni tashlab yuborib olingan statik aniq sistemadir.

**13. Statik aniqmas masalalarini yechishda ekvivalent sistema – bu...**

- statik aniqmas sistemadagi tayanchlarning birontasini noma'lum reaksiya kuchi bilan almashtirib olingan statik aniq sistemadir;
- statik aniqmas sistemadan ortiqcha bog'lanishlarni tashlab yuborib olingan statik aniqmas sistemadir;
- statik aniqmas sistemadan ortiqcha noma'lumlarni tashlab yuborib olingan statik aniqmas sistemadir;
- statik aniq sistemadagi tayanchlarning barcha reaksiya kuchi bilan almashtirib olingan statik aniq sistemadir.

**14. Statik aniqmas masalalarini yechishda asosiy sistemani ekvivalent sistemadan hosil qilish mumkinmi?**

- mumkin;
- mumkin emas;
- ba'zan mumkin;
- ko'pincha mumkin emas.

## **15. Statik aniqmas bruslar sistemasini yechish qanday reja asosida olib boriladi?**

- noma'lum zo'riqishlar yo'nalishlari ko'rsatiladi, kerakli muvozanat tenglamalar tuziladi, qo'shimcha tenglama tuziladi, qo'shimcha tenglamadagi deformatsiyalar zo'riqish kuchlari bilan almashdirilib va ular birgalikda yechiladi;
- noma'lum zo'riqishlar yo'nalishlari ko'rsatilmaydi, kerakli muvozanat tenglamalar tuziladi, qo'shimcha tenglama tuziladi, qo'shimcha tenglamadagi kuchlanishlar zo'riqish kuchlari bilan almashdiriladi va yechiladi;
- noma'lum zo'riqishlar yo'nalishlari ko'rsatiladi, kerakli muvozanat tenglamalar tuzilishi shart emas, qo'shimcha tenglama tuziladi, qo'shimcha tenglamadagi deformatsiyalar zo'riqish kuchlari bilan almashdirilib va ular birgalikda yechiladi;
- ma'lum zo'riqishlar yo'nalishlari ko'rsatiladi, kerakli muvozanat va qo'shimcha tenglama tuzilmaydi, qo'shimcha tenglamadagi deformatsiyalar zo'riqish kuchlari bilan almashdirilib va ular birgalikda yechiladi.

## **16. Bruslarning buralishida burovchi moment ishorasi quyida keltirilgan qaysi birida musbat deb qabul qilinadi?**

- kesimga tashqi normal tomonidan qaraganda burovchi moment soat millari harakati bo'yicha yo'nalgan bo'lsa;
- kësimga tashqi normal tomonidan qaraganda burovchi moment soat millari harakatiga teskari yo'nalgan bo'lsa;
- kesimga tashqi normal tomonidan qaraganda burovchi moment soat millari harakati perpendikulyar yo'nalgan bo'lsa;
- kesimga tashqi normal tomonidan qaraganda burovchi moment soat millari harakati parallel yo'nalgan bo'lsa.

## **17. Ko'ndalang kesimi doira shaklida brus sirtida yotuvchi tolanning siljish burchagi qaysi javobda to'g'ri keltirilgan?**

$$\gamma = \frac{r \cdot d\varphi}{dz}; \quad \gamma_\rho = \frac{\rho \cdot d\varphi}{dz}; \quad \gamma = \frac{r \cdot d\gamma}{dz}; \quad \gamma_\rho = \frac{\rho \cdot d\gamma_\rho}{dz};$$

**18. Qaysi javobda ko'ndalang kesimi doira shaklida brusning to'la buralish burchagi formulasi to'g'ri keltirilgan?**

$$\varphi = \frac{M_{br} \cdot \ell}{GI_\rho}; \quad \varphi = \frac{M_{eg} \cdot \ell}{EI_x}; \quad \gamma = \frac{r \cdot d\varphi}{dz}; \quad \theta = \frac{M_{br}}{GI_\rho}.$$

**19. Qaysi javobda ko'ndalang kesimi doira shaklida brusning nisbiy buralish burchagi formulasi to'g'ri keltirilgan?**

$$\theta = \frac{M_{br}}{GI_\rho}; \quad \gamma = \frac{r \cdot d\varphi}{dz}; \quad \varphi = \frac{M_{br} \cdot \ell}{GI_\rho}; \quad \gamma_\rho = \frac{\rho \cdot d\gamma_\rho}{dz}.$$

**20. Qaysi javobda ko'ndalang kesimi doira shaklida brusning bikirligi to'g'ri keltirilgan?**

$$GI_\rho; \quad EI_\rho; \quad \sigma l_\rho; \quad u_\rho.$$

**21. Ko'ndalang kesimi doira shaklida brus buralganda ko'ndalang kesimlar orasidagi masofa o'zgaradimi?**

- o'zgarmaydi;
- o'zgaradi;
- bo'ylama tolalari cho'ziladi;
- bo'ylama tolalari siqiladi va cho'ziladi.

**22. Ko'ndalang kesimi doira shaklida bruslarning buralishi o'rghanishda qanday gipotezalarda foydalanamiz?**

– brus buralguncha tekis bo'lgan kesim yuzasi buralgandan keyin ham tekisligicha qoladi va brusning radiusi egrilanmaydi;

– kuch qo'yilgan nuqtada kuchlanish jism o'lchamiga nisbatan juda ham katta bo'lsa, ko'chishlar, deformatsiyaning natijasi bo'lganligidan, u ta'sir qiluvchi kuchlarga proporsional;

– jismning qalinligiga nisbatan o'lchamlari katta bo'lgan egri sirt bilan chegaralangan; jismning qalinligiga nisbatan qolgan boshqa o'lchamlari katta bo'lgan tekis sirt bilan chegaralangan bo'lsa;

– brus cho'zilguncha tekis bo'lgan kesim yuzasi cho'zilgandan keyin ham tekisligicha qoladi va brusning radiusi egrilanadi.

**23. Buralishda brus ko'ndalang kesimining ixtiyoriy nuqtasiagi urinma kuchlanish qaysi formuladan aniqlanadi?**

$$\tau = \frac{M_{br}}{I_\rho} \rho; \quad \tau = \frac{M_{br}}{J_x}; \quad \tau = \frac{M_{br}}{W_x}; \quad \tau = \frac{M_{br}}{J_\rho}.$$

**24. Buralishda urinma kuchlanish brusning doiraviy ko'ndalang kesimi bo'yicha qanday qonun asosida o'zgaradi?**

- to'g'ri chiziqli qonun asosida;
- parabola qonun asosida;
- ikkinchi tartibli egri chiziqli qonun asosida;
- giperbola qonun asosida.

**25. Buralishda urinma kuchlanish kesim yuzasining qaysi nuqtasida nolga teng va qaysi nuqtalarida maksimal qiymatga ega bo'ladi?**

- kesim og'irlik markazida nolga, eng chekka nuqtalarda maksimal;
- kesim og'irlik markazida maksimal, eng chekka nuqtalarda nol;
- kesim og'irlik markazida maksimumga eng chekka nuqtalarida minimumga;
- kesim og'irlik markazida minimumga eng chekka nuqtalarda minimumga.

**26. Silindrik brus ko'ndalang kesimi qutb qarshilik momenti qaysi javobda to'g'ri berilgan?**

$$W_\rho = \frac{J_\rho}{r}; \quad W_\rho = \frac{J_\rho}{d}; \quad W_\rho = \frac{J_x}{d}; \quad W_\rho = \frac{J_x}{r}.$$

**27. Valning ko'ndalang kesimida qanday ichki kuch faktorlari hosil bo'ladi?**

- burovchi moment;
- burovchi va eguvchi momentlar;
- faqat eguvchi moment;
- bimoment.

## **28. Qaysi javobda buralishda silindrik bruslarning mustah-kamlik sharti to‘g‘ri keltirilgan?**

$$r_{\max} = \frac{M_{br_{\max}}}{W_{\rho}} \leq [\tau]; \quad \sigma_{\max} = \frac{M_{br_{\max}}}{W_{\rho}} \leq [\sigma];$$

$$\tau_{\max} = \frac{M_{eg_{\max}}}{W_{\rho}} \leq [\tau]; \quad \sigma_{\max} = \frac{M_{eg_{\max}}}{W_{\rho}} \leq [\sigma].$$

## **29. Qaysi javobda buralishda silindrik bruslarning bikirlik sharti to‘g‘ri keltirilgan?**

$$\theta_{\max} = \frac{M_{br}}{GI_{\rho}} \leq [\theta]; \quad \gamma_{\max} = \frac{r \cdot d\varphi}{dz} \leq [\gamma_{\max}];$$

$$\varphi_{\max} = \frac{M_{br} \cdot \ell}{GI_{\rho}} \leq [\varphi]; \quad \gamma_{\rho} = \frac{\rho \cdot d\gamma_{\rho}}{dz}.$$

## **30. Qanday masalalarga statik aniqmas masalalar deb aytildi?**

– agar noma'lum zo'riqish kuchlari yoki reaksiya kuchlari soni shu masala uchun tuzish mumkin bo'lgan statikaning muvozanat tenglamalari sonidan ko'p bo'lsa;

– agar noma'lum zo'riqish kuchlari yoki reaksiya kuchlari soni shu masala uchun tuzish mumkin bo'lgan statikaning muvozanat tenglamalari soniga teng bo'lsa;

– agar qaralayotgan masaladagi faqat statikaning muvozanat tenglamalari yordamisiz yechish mumkin bo'lsa;

– agar qaralayotgan masaladagi faqat statikaning muvozanat tenglamalari yordamida yechish mumkin bo'lgan.

## GLOSSARIY

1. *Mustahkamlik* – material (namuna, detal, konstruksiya elementlarining yemirilmasdan tashqi kuchga qarshilik ko'rsatish qobiliyatidir.
2. *Bikirlilik* – konstruksiya elementlarining tashqi kuch ta'siridan katta deformatsiya hosil qilmaslik qobiliyatidir.
3. *Ustuvorlik* – tashqi kuch ta'sirida konstruksiya elementlarining dastlabki muvozanat holatini saqlash qobiliyatidir.
4. *Deformatsiya* – jismlarning tashqi kuch ta'siridan o'z geometrik shaklini o'zgartirishi.
5. *Elastik deformatsiya*  $\Delta\ell_e$  – konstruksiya ta'sir etayotgan kuchlardan hosil bo'lgan deformatsiya konstruksiya kuchdan to'liq ozod qilinganda to'liq yo'qolib ketishi.
6. Plastik yoki qoldiq deformatsiya  $\Delta\ell_p$  – konstruksiya kuchdan to'liq ozod qilinganda deformatsiya yo'qolmasdan qolishi (angl. plastic).
7. *Brus* – ko'ndalang kesim o'lchamlari uzunlik o'lchamiga qaraganda juda kichik bo'lgan jismlar.
8. *Sterjen* – cho'zilishga yoki siqilishga ishlovchi bruslar.
9. *Val* – burilishga ishlovchi brus.
10. *Qobiq (oholochka)* – qalinligi qolgan boshqa o'lchamlariga nisbatan juda kiehik bo'lgan egri sirt bilan chegaralangan konstruksiya qismi.
11. *Guk qonuni* –  $\sigma$  normal kuchlanish nisbiy chiziqli c deformatsiyaga to'g'ri proporsional.
12. Ko'paytma  $E \cdot A$  – cho'zilishda kesim bikirligi.
13.  $E$  – bo'ylama elastiklik moduli (модель упругость), materialning cho'zilishga (siqilish) qarshilik ko'rsata olish xususiyatini bildiradi.
14. *Elastiklik modulining geometrik ma'nosi* – og'ma to'g'ri chiziq bilan  $\varepsilon$  o'qi orasidagi burchakning tangensi elastiklik moduliga to'g'ri proporsional  $\operatorname{tg}\alpha = \sigma/\varepsilon \approx E$ .
15. *Elastiklik modulining fizik ma'nosi* – sterjenni ikki marta uzayishini ta'minlovchi kuchlanishni bildiradi.  $E = \sigma$ , bunda  $\varepsilon = 1$  bo'ladi,  $\Delta\ell = \ell$  bo'lqanda. Bundan kuchlanishning elastik deformatsiyalanish sohada qabul qiladigan haqiqiy qiymati ming marta kichik bo'ladi.
16. *Buralish* – brus ko'ndalang kesimida faqat bitta ichki kuch faktori burovchi moment hosil bo'ladi.

17. *Markaziy o'q* – o'qqa nisbatan yuzadan olingan statik moment nolga teng.

18. *Kesim og'irlik markazi* – markaziy o'qlarning kesishgan nuqtasi.

19. *Balka (to'sin)* – konstruksiya elementining to'g'ri chiziqli geometrik o'qi bo'lib, odatda brus kabi asosan egilishga ishlaydi.

20. *Konsol* – bir uchi bilan qistirib mahkamlangan balka.

21. *Egilishda balka deformasiyasi* – uning geometrik o'qining egriligi.

22. *To'plangan kuch* – inshoot yuziga nisbatan o'lchamlari kichik bo'lgan yuzachasiga qo'yilgan kuch.

23. *Hajmiy kuch* – elementning barcha zarrachalariga uzluksiz ta'sir etuvchi kuchlar.

24. *Statik yuklar* – doimiy (xususiy og'irlik yuki) yoki vaqt bo'yicha sekin o'zgaruvchi, ya'ni inersiya kuchidan hosil bo'ladigan tezlanish e'tiborga olmasa ham bo'ladigan (qor yuqidan bosimning o'zgarishi).

25. *Doimiy kuchlar* – inshootlarga butun xizmat davomida uzluksiz doimiy ta'sir qiladigan kuchlar.

26. *Muvaqqat kuchlar* – inshootni ekspulatatsiya davrida cheklangan vaqt oralig'ida ta'sir qiladigan kuchlar, masalan, gaz balloni bosimi.

27. *Ichki yoki zo'riqish kuchlari* – konstruksiya elementini hosil qiluvchi atom zarrachalari orasidagi o'zaro ta'sir kuchlari.

28. *Bo'ylama kuch* – brusning qaralayotgan kesimdan bir tomonda ta'sir etayotgan barcha kuchlar (shu jumladan, reaksiya) proyeksiyalaring algebraik yig'indisiga teng.

29. *Epyura* – brus uzunligi bo'ylab ichki kuchning yoki kuchlanishning ko'ndalang kesim bo'yicha o'zgarishi qonuni ko'rsatuvchi grafik.

30. *Kuchlanish* – yuza birligiga to'g'ri kelgan ichki kuch intensivligini xarakterlaydi.

31. *Normal kuchlanish  $\sigma$*  – kesim yuzasiga perpendikulyar ta'sir etib konstruksiya elementini cho'zuvchi yoki siquvchi kuch intensivligi bilan xarakterlanadi.

32. *Urinma kuchlanish  $\tau$*  – kesim tekisligida ta'sir etib, tekis kesimning qismini siljutuvchi kuch intensivligi bilan xarakterlanadi.

33. *Ruxsat etilgan kuchlanishlar* – konstruksiya elementlarining uzoq ishlash davrida yemirilmasdan va xavf-xatarsizligini ta'minlaydigan eng katta kuchlanish.

34. *Bosh yuzalar* – urinma kuchlanishlar nolga teng bo'lgan yuzalar.

35. *Bosh kuchlanishlar* – bosh yuzalarga ta'sir qiluvchi normal kuchlanishlar.
36. *Neytral qatlam* – qatlam tolalarida normal kuchlanish hosil bo'lmaydi (tolalar cho'zilmaydi ham, siqilmaydi ham).
37. *Neytral o'q* – neytral qatlam tekisligi bilan ko'ndalang kesim tekisligi kesishgan chiziq.
38. *Qobiq o'rta tekisligi* – qobiq qalinligini teng ikkiga bo'lувчи sirt.
39. *Qobiq egriligi* – radiusiga teskari bo'lган kattalik.
40. *Puasson koeffitsiyenti* – oddiy cho'zilish yoki siqilishda ko'ndalang deformatsiyaning absolyut qiymatining bo'ylama deformatsiyaga absolyut qiymatiga nisbati.
41. *Cho'zilish diagrammasi* – cho'zuvchi kuch  $F$  bilan namunaning cho'zilishi  $\Delta t$  orasidagi grafik bog'lanish.
42. *Proporsionallik chegarasi*  $\sigma_{pr}$  – Guk qonuni bajariladigan eng katta kuchlanish.
43. *Oquvchanlik chegarasi*  $\sigma_{oq}$  – yuk ortmagan holda deformatsiya orta boradigan kuchlanish.
44. *Mustahkamlit chegarasi*  $\sigma_m$  (vaqtincha qarshilik) – namuna chidash bera oladigan eng katta yuk uning dastlabki kesim yuzasiga nisbati.
45. *Statik noaniq masalalar* – faqat statikaning muvozanat tenglamalar yordamida yechib bo'lmaydigan masalalar.
46. *Kesimi yadrosi* – kesim og'irlik markazi atrosida chizilgan shunday sohaki, agar bo'ylama kuch qo'yilgan nuqta shu soha ichida yotsa, u ko'ndalang kesim yuzasining barcha nuqtalarida bir xil ishorali kuchlanishlar hosil bo'ladi.
47. *Dinamik yuklar* – juda qisqa vaqt ichida o'z qiymati yoki holatini o'zgartiradigan yuklar.
48. *Zarba* – harakatlanayotgan jismlarning juda qisqa vaqt ichida tezliklarini keskin o'zgartirish bilan bog'liq bo'lган to'qnashuv.

## ГЛОССАРИЙ

1. *Прочность* – способность материала (образца, детали, элемента конструкции) не разрушаясь сопротивляться действию внешних сил.
2. *Жесткость* – способность конструктивных элементов деформироваться без существенного изменения геометрических размеров.
3. *Устойчивость* – способность конструктивного элемента сохранять под нагрузкой первоначальную форму равновесия.
4. *Деформация* – изменение формы и размеров тела под действием приложенных сил.
5. *Деформация упругая*  $\Delta^e$  – исчезающая после снятия нагрузки (от англ. elastic).
6. *Деформация пластическая*  $\Delta^e_p$  – остающаяся после снятия нагрузки (от англ. plastic).
7. *Брус* – тело, одно из измерений которого, значительно больше двух других.
8. *Стержень* – брус, работающий на растяжение или сжатие.
9. *Вал* – брус, работающий на кручение.
10. *Оболочка* – тело, ограниченное двумя криволинейными поверхностями, расстояние между которыми (толщина оболочки) мало по сравнению с другими ее размерами.
11. *Закон Гука* – нормальное напряжение  $\sigma$  прямо пропорционально относительной линейной деформации  $\varepsilon$ .
12. *Произведение  $E \cdot A$*  – жесткость сечения при растяжении.
13. *E* – модуль упругости, модуль упругости первого рода, характеризует сопротивляемость материала упругой деформации при растяжении (сжатии).
14. *Геометрический смысл модуля упругости* – тангенс угла наклона начального участка диаграммы растяжения  $\operatorname{tg} \alpha = \sigma / \varepsilon = E$ .
15. *Физический смысл модуля упругости* – напряжение, требующееся для удлинения стержня вдвое:  $\sigma = \varepsilon$  при  $\varepsilon = 1$ , то есть при  $\Delta^e = \ell$ . Реально достижимые напряжения в упругой области деформирования примерно в тысячу раз меньше.
16. *Кручение* – вид сопротивления, при котором в поперечных сечениях бруса возникает только один внутренний силовой фактор – крутящий момент.
17. *Ось центральная* – ось, относительно которой статический момент площади равен нулю.

18. Центр тяжести сечения – точка пересечения центральных осей.

19. Балка – конструктивный элемент, с прямолинейной геометрической осью, обычно в виде бруса, работающий главным образом на изгиб.

20. Консоль – балка с одним защемленным концом.

21. Деформация балки при изгибе – кривизна ее геометрической оси.

22. Сосредоточенная сила – силы приложенные к площадкам, размеры которых малы по сравнению с размерами объекта.

23. Объемная сила – непрерывно распределены по объему, занимаемому элементом.

24. Статические нагрузки – постоянный (нагрузка от собственного веса) или медленно изменяющиеся так, что силами инерции вследствие ускорения можно пренебречь (изменение давления от снеговой нагрузки).

25. Постоянная сила – постоянные действуют в течение всего времени существования конструкции, например, нагрузка на фундамент здания.

26. Временная сила – действуют на протяжении отдельных периодов эксплуатации объекта, например, давление газа в баллоне.

27. Внутренние усилия – силы взаимодействия между частицами тела (кристаллами, молекулами, атомами), возникающие внутри элемента конструкции, как противодействие внешним нагрузкам.

28. Продольная сила – численно равны алгебраической сумме проекций всех внешних сил (в том числе и реакций), приложенных к брусу по одну сторону от рассматриваемого сечения.

29. Эпюра – график, изображающий закон изменения внутренних усилий или напряжений по длине бруса, а также напряжений по поперечному сечению бруса.

30. Напряжение – величина, характеризующая интенсивность внутренних усилий в точке.

31. Напряжение нормальное  $\sigma$  – перпендикулярное к сечению, характеризует интенсивность сил отрыва или сжатия частиц элементов конструкции.

32. Напряжение касательное  $\tau$  – действующее в плоскости сечения, характеризует интенсивность сил, сдвигающих эти части в плоскости сечения.

33. *Допускаемое напряжение* – наибольшее напряжение, которое можно допустить в элементе конструкции при условии его безопасной, долговечной и надежной работы.

34. *Главные площадки* – площадки, на которых касательные напряжения отсутствуют.

35. *Главные напряжения* – нормальные напряжения, действующие по главным площадкам.

36. *Нейтральный слой* – слой волокон, в котором нормальные напряжения отсутствуют.

37. *Нейтральная ось* – следь пересечения нейтрального слоя с плоскостью поперечного сечения.

38. *Срединной поверхности оболочки* – поверхность, делящая толщину оболочки пополам.

39. *Кривизна оболочки* – величины обратные радиусам.

40. *Коэффициент Пуассона* – отношение поперечной деформации к продольной, взятое по абсолютной величине при простом растяжении или сжатии.

41. *Диаграмма растяжения* – график зависимости растягивающей силой  $F$  и удлинением образца  $\Delta^e$ .

42. *Предел пропорциональности*  $\sigma_{III}$  – наибольшее напряжение, при котором справедлив закон Гука.

43. *Предел текучести*  $\sigma_T$  – напряжение, при котором деформации растут без увеличения нагрузки.

44. *Предел прочности (временной сопротивление)*  $\sigma_v$  – отношение наибольшей нагрузки, выдерживаемой образцом, к первоначальной площади его сечения.

45. *Статически неопределенные задачи* – которые нельзя решить с помощью только уравнение статики.

46. *Ядро сечения* – область очерченная вокруг центра тяжести и характерная тем, что всякая продольная сила, приложенная внутри этой области, вызывает во всех точках поперечного сечения напряжения одного знака.

47. *Динамические нагрузки* – которая сравнительно быстро меняет свою величину или положение.

48. *Удар* – взаимодействие движущихся тел в результате их соприкосновения, связанное с резкими изменениями скоростей точек этих тел за весьма малый промежуток времени.

## GLOSSARY

1. *Strength* – the ability of a material (a specimen, a part) without destroying resistance to the action of external forces.
2. *Rigidity* – the ability of structural elements to deform without significant changes in geometric dimensions.
3. *Stability* – the ability of a structural element to keep under load the original form of equilibrium.
4. *Deformation* – changing the shape and size of the body under the action of the applied forces.
5. *Elastic deformation* – disappearing old position after removal of the load (from the English elastic).
6. *Plastic deformation* – remaining after the removal of the load (from the English plastic).
7. A beam is a body, one of the dimensions of which is considerably larger than the other two.
8. *Rod* – bar working on tension or compression.
9. *Torsion* – proof shaft.
10. The shell is a body bounded by two curved surfaces the distance between them (the thickness of the shell) is small in comparison with its other dimensions.
11. *Hooke's law* – the normal stress  $\sigma$  is directly proportional to the relative linear deformation  $\varepsilon$ .
12. *Product EA* – the stiffness of the section when stretched.
13.  $E$  – modulus of elasticity, modulus of elasticity of the first kind, characterizes the resistance of the material to elastic deformation under tension (compression).
14. The geometric meaning of the modulus of elasticity is the slope of the initial segment of the tension diagram
15. The physical meaning of the modulus of elasticity is the stress required to extend the rod in half:  $E = \sigma$  for  $\varepsilon = 1$ , that is, for  $\Delta l = l$ . Really achievable stresses in the elastic deformation region are about a thousand times smaller.
16. Control is the kind of resistance at which only one internal force factor-torque occurs in the cross-sections of the bar.
17. The central axis is the axis with respect to which the static moment of the area is zero.
18. The center of gravity of the section is the point of intersection of the central axes.

19. *Beam* – a structural element, with a rectilinear geometric axis, usually in the form of a bar, working mainly on bending.
20. *Console* – a beam with one jammed end.
21. The deformation of a beam under bending is the curvature of its geometric axis.
22. *The concentrated force* – sil applied to the sites, the dimensions of which are small in comparison with the size of the object.
23. *Volumetric force* – continuously distributed over the volume occupied by the element.
24. *Static loads* – constant (load from own weight), or slowly changing so that by inertia forces due to acceleration can be neglected (change of pressure from snow load).
25. *Fat persistence* – permanent acts throughout the lifetime of the structure, for example, the load on the foundation of the building.
26. *Temporal force* – operate during individual periods of operation of the facility, for example, the gas pressure in the cylinder.
27. *Internal forces* – the forces of interaction between body particles (crystals, molecules, atoms) arising within the structural element, as counteraction to external loads.
28. The longitudinal force is numerically equal to the algebraic sum of the projections of all external forces (including reactions) applied to the beam on one side of the cross-section in question.
29. *Diagram* – a graph depicting the law of changes in internal forces or stresses along the length of the beam, as well as stresses along the cross-section of the beam.
30. Voltage is a quantity characterizing the intensity of internal forces at a point.
31. *The stress is normal* – perpendicular to the cross section, characterizes the intensity of the forces of detachment or compression of the particles of the structural elements.
32. *The tangential stress* – acting in the plane of the section, characterizes the intensity of the forces shifting these parts in the plane of the section.
33. The allowable voltage is the highest voltage that can be tolerated in the structural member provided it is safe, durable and reliable.
34. Main areas are platforms where tangential stresses are absent.
35. Main voltages are normal voltages acting on main sites.
36. The neutral layer is a layer of fibers in which normal stresses are absent.

37. The neutral axis is the intersection of the neutral layer with the plane of the cross section.

38. The middle surface of the shell is a surface dividing the thickness of the shell in half.

39. *Cavity of the shell* – the inverse of the radii.

40. Poisson's ratio is the ratio of the transverse deformation to the longitudinal deformation, taken in absolute value for simple stretching or compression.

41. *Diagram of stretching* – graph of the dependence of tensile force and elongation of the sample.

42. The proportionality limit is the greatest stress at which Hooke's law is valid.

43. The yield strength is the stress at which the deformations grow without increasing the load.

44. *Strength (time resistance)* – the ratio of the largest load held by the sample, to the original area of its cross section.

45. *Statically indeterminate tasks* – which cannot be solved using only the static equation.

46. The core of the section is the region delineated around the center of gravity and is characterized by the fact that any prolonged force applied inside this region causes a voltage of one sign at all points of the cross section.

47. *Dynamic loads* – which comparatively quickly changes its value or position.

48. *Impact* – the interaction of moving bodies as a result of their contact, associated with a sharp change in the velocities of the points of these bodies in a very short period of time.

# **A D A B I Y O T L A R**

## **Tavsiya etilgan asosiy adabiyotlar, xorijiy adabiyotlar va internet saytlari ro'yxati**

- 1.** *Mirziyoyev Shavkat Miromonovich.* Erkin va farovon, demokratik O'zbekiston davlatini birqalikda barpo etamiz. – Toshkent: «O'zbekiston», 2016. – 56 b. (pdf)
- 2.** *Mirziyoyev Shavkat Miromonovich.* Tanqidiy tahlil, qat'iy tartib-intizom va shaxsiy javobgarlik – har bir rahbar faoliyatining kundalik qoidasi bo'lishi kerak. 2017-yil 14-yanvar. – Toshkent: «O'zbekiston», 2017. – 104 b. (pdf)
- 3.** Узбекистон Республикасинин “Таълим тўғрисида”ги конуни. 1997 йил 29 август. – Т.: “Адолат”, 1997.
- 4.** Узбекистон Республикаси Олий ва ўрта маҳсус таълим вазирлигининг 2009 йил 14 августдаги 286-сонли “Талабалар мустақил ишларини ташкил этиш тўғрисида”ги бўйрути.
- 5.** Ўрзобоев М.Т. Материаллар каршилиги. Асосий курси. Олий ўкув юртлари учун дарслик. – Т.: “Ўқитувчи”, 1973. – 510 б.
- 6.** Материаллар каршилигидан масалалар тўплами. В.К.Качурин таҳрири остида. Олий техника ўкув юртлари талабалари учун ўкув кўлланма. – Т.: “Ўзбекистон”, 1993. – 336 б.
- 7.** Маткаримов А.Х. Материаллар каршилигидан қискача курс. Ўкув кўлланма. – Т.: ЎАЖБНТ маркази, 2003 – 185 б.
- 8.** Материаллар каршилиги. А.Ф.Смирновнинг умумий таҳрири остида. Олий ўкув юртлари учун дарслик. – Т.: «Ўқитувчи», 1988. – 464 б.
- 9.** Nabiyev A. Materiallar qarshiligi. Oliy o'quv yurtlari uchun darslik. – Т.: «Yangi asr avlodni», 2008. – 379 b.
- 10.** Корабоев Б. Материаллар каршилиги. Олий техника ўкув юртлари учун дарслик. – Т.: “Фан ва технология”, 2007. – 192 б.
- 11.** Шодмонова З.С. Материаллар каршилиги. Ўкув кўлланма. – Т.: 2018. – 169 б.
- 12.** Якубов Ш.М., Рахманов Б.К., Хамраев С.П. Материаллар каршилиги. Ҳисоблани-лойиҳалаш ишлари. Ўкув кўлланма. – Т.: “Ўқитувчи”, 2007. – 100 б.
- 13.** Ҳисанов С.М. Материаллар каршилиги фанидан масалалар ечиш. Ўкув кўлланма. – Т.: “Ўзбекистон”, 2006. – 288 б.
- 14.** Shirinqulov T., Ismayilov K., Qo'lldashev A. Elastik-plastik plastinkalar hisobi: O'quv qo'llanma. O'zbekiston Respublikasi Oliy va o'rta maxsusus ta'lim vazirligi. – Т.: TAFAKKUR-BO'STONI, 2012. – 240 b.

15. Водопьянов В. И. и др. Курс сопротивления материалов с примерами и задачами: учеб. Пособие. ВолгГТУ. – Волгоград, 2012. – 136 с.
16. Макаров Г.Е. Сопротивление материалов на базе Matcad. Учеб.пос. Санкт-Петербург “БХВ – Петербург”, 2004. –512 с.
17. Горшков А.Г и др. Сопротивление материалов: Учеб.пос. — М.: ФИЗМАТЛИТ, 2005. – 544 с.
18. Феодосьев В.И. Сопротивление материалов. Учебник для вузов. – М.: Издательство МГТУ, им.Н.Э. Баумана, 2003. – 592 с.
19. Подскребка М.Д. и др. Сопротивление материалов: Учебник для вузов. Минск: “Высшая школа”, 2007. –797 с.
20. Дарков А.В., Шapiro Г.С. Сопротивление материалов. Учебник для вузов. – М.: “Высшая школа”, 1989. – 624 с.
21. Варданян Г.С. и др. Сопротивление материалов теория упругости и пластичности. Учебник для вузов. – М.: 2000. – 584 с.
22. Александров А.В. и др. Сопротивление материалов. Учебник для вузов 3-е изд. - М.: “Высшая школа”, 2003. – 560 с.
23. Hobilov B.A., To'ychiyev N.J. Materiallar qarshiligi. Oliy o'quv yurtlari uchun darslik. – Т.: O'zbekiston faylasuflari milliy jamiyati, 2008. – 400 b.
24. Mirsaidov M.M. va boshqalar. Materiallar qarshiligi. Oliy o'quv yurtlari uchun darslik. – Т.: “Fan va texnologiya”, 2010. – 412 b.
25. Husarenko Г.С. и др. Сопротивление материалов. Учебник для вузов. Киев. Головное издательство издательского объединение «Высшая школа», 1986. – 775 с.
26. Ismayilov K. Sizilgan sterjenlar, plastinkalar va qobiqlarning elastiklik chegarasidan keyingi ustuvorligi. – Т.: O'zbekiston faylasuflari milliy jamiyati, 2006. – 176 b.

### Xorijiy adabiyotlar

27. Beer F.P., Johnston E.R., DeWolf J.T., Mazurek D.F. Mechanics of Materials. 7 th\_Edition.-New York McGraw-Hill Education Ltd, 2015 (897p)
- 28 Gere J.M., Goodno B.J. Mechanics of Materials. 8th\_Edition.– Canada by Nelson Education Ltd, 2013 (1098p)
29. James M. Gere-Mechanics of Materials, 6th Edition Copyright 2004 Thomson Learning, Inc. 940 p.
- 30 Janco roland Hucko branislav introduction to mechanics of materials, part 1, 2013. 234 p.
31. Janco roland Hucko branislav introduction to mechanics of materials, part 2, 2013. – 160 p.
32. Goulet J. Resistance des materiaux Bordas Paris, 1976. -- 192.

33. *Surya N.Patnaik, Dale A. Hopkins*-Strength of materials. 2004, Elsevier (USA). 773 p.
34. *Tomasz Wierzbicki*. Plates and Shells. – 2005. 102p.
35. *Timoshenko S.P. S.Woinowsky-Kriger* Theory of plates and shells. McGraw-hill book company, inc New York Toronto London, 1963 – 635.

### **Foydalanish uchun tavsiya etilgan internet saytlari**

1. <http://www.uzsci.net>
2. <http://www.ziyo.net>
- <http://www.my sopramat.ru>

# MUNDARIJA

<b>Annotatsiya .....</b>	<b>3</b>
<b>So'zboshi .....</b>	<b>6</b>
<b>1-bob. Asosiy tushunchalar .....</b>	<b>8</b>
1.1-§. Materiallar qarshiligi masalalari va asosiy tushunchalar .....	8
1.2-§. Konstruksiya elementlari va tuzilmalari .....	9
1.3-§. Kuchlar tasnifi .....	11
1.4-§. Ichki kuchlar. Kesish usuli .....	14
1.5-§. Deformatsiyalar to'g'risida tushuncha .....	17
1.6-§. Deformatsiya turlari .....	18
1.7-§. Kuchlanishlar to'g'risida tushunchalar .....	18
1.8-§. Materiallar qarshiligining asosiy gipotezalari .....	21
Tayanch iboralar .....	22
Test savollari .....	23
<b>2-bob. Cho'zilish va siqilish .....</b>	<b>32</b>
2.1-§. Bo'ylama kuchlar va ularning epyuralarini qurish .....	32
2.2-§. Brus ko'ndalang kesimidagi kuchlanishlar .....	35
2.3-§. Cho'zilish va siqilishda bo'ylama deformatsiya. Guk qonuni .....	37
2.4-§. Ko'ndalang deformatsiya .....	39
2.5-§. Cho'zilish va siqilish deformatsiyalarida xususiy og'irlikni hisobga olish .....	42
2.6-§. Teng qarshilikli bruslar .....	45
2.7-§. Pog'onali sterjenlar .....	46
2.8-§. Cho'zilish va siqilishda statik aniqrnas masalalar .....	48
2.9-§. Montaj kuchlanishlar .....	52
2.10-§. Haroratning o'zgarishi natijasida hosil bo'ladigan kuchlanishlar .....	54
2.11-§. Cho'zilish va siqilishda sterjenlarni mustahkamlikka hisoblash .....	55
2.12-§. Bikirlik sharti .....	66
Masalalar .....	67
Tayanch iboralar .....	88
Test savollari .....	89
<b>3-bob. Konstruksion materiallarning mexanik xarakteristikalari .....</b>	<b>117</b>
3.1-§. Materiallarni cho'zilishga sinash. Cho'zilish diagrammasi .....	117
3.2. Materiallarni siqilishga sinash .....	128
3.3-§. Cho'zilish va siqilishda potensial energiya .....	135
Masalalar .....	137
Tayanch iboralar .....	139

<b>Test savollari .....</b>	<b>140</b>
<b>4-bob. Murakkab kuchlanish holati .....</b>	<b>147</b>
4.1-§. Kuchlanishlarni belgilash va ularning ishoralari .....	147
4.2-§. Jism nuqtasi kuchlanganlik holati .....	148
4.3-§. Cho'zilish yoki siqilishda sterjen o'qiga og'ma (qiya) kesimlaridagi kuchlanishlar va uning tahlili .....	150
4.4-§. Tekis kuchlanish holatida qiya kesim yuzachalaridagi kuchlanishlar .....	153
4.5-§. Bosh kuchlanishlar va bosh yuzalar .....	155
4.6-§. Ekstremal urinma kuchlanishlar .....	157
4.7-§. Mor doirasi .....	159
4.8-§. Hajmiy kuchlanish .....	164
4.9-§. Umumlashgan Guk qonuni. Deformatsiya komponentlarining kuchlanish komponentlari orqali ifodasi .....	171
4.10-§. Mustahkamlik nazariyalari .....	175
Masalalar .....	190
Tayanch iboralar .....	202
Test savollari .....	203
<b>5-bob. Siljish .....</b>	<b>225</b>
5.1-§. Siljish deformatsiyasi haqida tushunchalar .....	225
5.2-§. Kuchlanish va deformatsiya .....	226
5.3-§. Guk qonuni. Elastik modullari $G$ , $E$ va $\mu$ orasidagi munosabat .....	227
5.4-§. Siljishga ishlovchi konstruksiyanı amalda hisoblash .....	229
Masalalar .....	237
Tayanch iboralar .....	246
Test savollari .....	247
<b>6-bob. Tekis kesim geometrik tavsiflari .....</b>	<b>253</b>
6.1-§. Umumiylama'lumotlar .....	253
6.2-§. Kesimning statik momentlari .....	254
6.3-§. Tekis kesim inersiya momentlari .....	255
6.4-§. Oddiy tekis kesim inersiya momentlari .....	257
6.5-§. Tekis kesim o'qlari parallel ko'chirilganda inersiya momentlari .....	260
6.6-§. Murakkab tekis kesim inersiya momentlari .....	262
6.7-§. Tekis kesim koordinata o'qlari burliganda inersiya momentlari .....	263
6.8-§. Tekis kesim bosh inersiya o'qlari va bosh inersiya momentlari .....	265
6.9-§. Tekis kesim inersiya radiuslari .....	268
Masalalar .....	269
Tayanch iboralar .....	290
Test savollari .....	290

<b>7-bob. Buralish</b>	297
7.1-\$. Doira kesimli to'g'ri brusning buralishi .....	297
7.2-\$. Burovechi moment va uning epyurasini qurish ..	298
7.3-\$. Val kesimidagi kuchlanishlarni hanida kesimning buralish burchagini aniqlash .....	300
7.4-\$. Va'lni mustahkamlikka va bikirlikka hisoblash .....	305
Masalalar .....	308
Tayanch iboralar .....	315
Test savollari .....	316
<b>Glossariy</b> .....	323
<b>Adabiyotlar</b> .....	332

# ОГЛАВЛЕНИЕ

<b>Аннотация .....</b>	<b>4</b>
<b>Предисловие .....</b>	<b>6</b>
<b>1-глава. Основные понятия .....</b>	<b>8</b>
1.1-§. Основные понятие и задачи сопротивление материалов .....	8
1.2-§. Элементы конструкции и составление .....	9
11.3-§. Виды нагрузок .....	11
1.4-§. Метод сечений. Внутренние силы .....	14
1.5-§. Понятие о деформациях .....	17
1.6-§. Виды деформации .....	18
1.7-§. Понятие о напряжениях .....	18
11.8-§. Основные предпосылки о сопротивление материалов .....	21
Ключевые слова .....	22
Вопросы теста .....	23
<b>2-глава. Растяжение и сжатие .....</b>	<b>32</b>
2.1-§. Продольные силы и построение их эпюры .....	32
2.2-§. Напряжения в поперечных сечениях бруса .....	35
2.3-§. Продольные деформации при растяжении и сжатии.	
Закон Гука .....	37
2.4-§. Поперечные деформации .....	39
2.5-§. Учет собственного веса при растяжении и сжатии .....	42
2.6-§. Брус равного сопротивления .....	45
2.7-§. Ступенчатые стержни .....	46
2.8-§. Статически неопределенные задачи при растяжении и сжатии	48
2.9-§. Монтажные напряжения .....	52
2.10-§. Напряжений возникающие в результате изменения	
температуры .....	54
2.11-§. Расчет стержней при растяжении и сжатии на прочность .....	55
2.12-§. Условия жесткости .....	66
Задачи .....	67
Ключевые слова .....	88
Вопросы теста .....	89
<b>3-глава. Механические характеристики конструкционных</b>	
<b>материалов .....</b>	<b>117</b>
3.1-§. Испытание материалов на растяжение. Диаграмма растяжения	117
3.2-§. Испытание материалов на сжатии .....	128
3.3-§. Потенциальная энергия при растяжении и сжатии .....	135
Задачи .....	137

<b>Ключевые слова .....</b>	<b>139</b>
<b>Вопросы теста .....</b>	<b>140</b>
<b>4-глава. Сложное напряженное состояние .....</b>	<b>147</b>
4.1-§. Обозначения напряжений и их знаки .....	147
4.2-§. Напряженное состояние в точке тела .....	148
4.3-§. Напряжения в наклонных сечениях при растяжениях или сжатии стержня и анализ .....	150
4.4-§. Напряжения в наклонных площадках при плоском напряженном состоянии .....	153
4.5-§. Главные напряжения и главные деформации .....	155
4.6-§. Экстремальные касательные напряжения .....	157
4.7-§. Круг Мора .....	159
4.8-§. Объемное напряженное состояние .....	164
4.9-§. Обобщенный закон Гука. Выражение компонентов напряжений через компонентов деформации .....	171
4.10-§. Теории прочности .....	175
Задачи .....	190
Ключевые слова .....	202
Вопросы теста .....	203
<b>5-глава. Сдвиг .....</b>	<b>225</b>
5.1-§. Понятие о деформации сдвига .....	225
5.2-§. Напряжения и деформации .....	226
5.3-§. Закон Гука. Зависимость между модулями упругости $G$ , $E$ и $\mu$ .....	227
5.4-§. Практические расчеты конструкций, работающих на сдвиг .....	229
Задачи .....	237
Ключевые слова .....	246
Вопросы теста .....	247
<b>6-глава. Геометрические характеристики плоских сечений .....</b>	<b>253</b>
6.1-§. Общие сведения .....	253
6.2-§. Статические моменты сечений .....	254
6.3-§. Момент инерции плоских сечений .....	255
6.4-§. Момент инерции простейших сечений .....	257
6.5-§. Моменты инерций плоских сечений при параллельном переносе осей .....	260
6.6-§. Моменты инерции сложно-плоских сечений .....	262
6.7-§. Моменты инерции при повороте координатных осей плоских сечений .....	263
6.8-§. Главные моменты инерции и главные оси инерции .....	

плоских сечений .....	265
6.9-§. Радиус инерции плоских сечений .....	268
Задачи .....	269
Ключевые слова .....	290
Вопросы теста .....	290
<b>7-глава. Кручение .....</b>	<b>297</b>
7.1-§. Кручение прямого бруса с круглым сечением .....	297
7.2-§. Крутящий момент и построение их эпюр .....	298
7.3-§. Определение напряжений и угол закручения в сечениях вала .....	300
7.4-§. Расчет валов на прочность и жесткость .....	305
Задачи .....	308
Ключевые слова .....	315
Вопросы теста .....	316
<b>Глоссарий .....</b>	<b>323</b>
<b>Литературы .....</b>	<b>332</b>

## TABLE OF CONTENTS

<b>Annotation .....</b>	5
<b>Forewords .....</b>	6
<b>1-chapter. Main notion .....</b>	8
1.1-Main notion and problems resistance material .....	8
1.2-Elements to designs and formation .....	9
1.3-Types of the loads .....	11
1.4-Method of the sections, internal power .....	14
1.5-Notion about deformation .....	17
1.6-Types to deformation .....	18
1.7-Notion about voltages .....	18
1.8-The Main premiseses about resistance material .....	21
Keywords .....	22
Questions of the test .....	23
<b>2-chapter. Sprain and compression .....</b>	32
2.1-Longitudinal power and building their graphic .....	32
2.2-Pressure in cross-sections бav .....	35
2.3-Longitudinal deformation at sprain and compression. Law Guka .....	37
2.4-Transverse deformation бav .....	39
2.5-Account of the own weight at sprain and compress .....	42
2.6-Brus equal resistance .....	45
2.7-Stupenchatyе .....	46
2.8-Statically vague problems at sprain and compression .....	48
2.9-Erection voltages .....	52
2.10-Pressure appearing as a result of change the temperature .....	54
2.11-Calculation стержней at sprain and compression on toughness .....	55
2.12-The Conditions to acerbity .....	66
Problems .....	67
Keywords .....	88
Questions of the test .....	89
<b>3-Chapter. Mechanical features constructictional material .....</b>	117
3.1-Test material on sprain. Diagram of the sprain .....	117
3.2-Test material on compression .....	128
3.3-The Potential energy at sprain and compression .....	135
Problems .....	137
Keywords .....	139
Questions of the test .....	140

<b>4-chapter. Difficult strained conditions .....</b>	147
4.1-§. Marking-offs of pressure their signs .....	147
4.2-§. The Stress condition in a body point .....	148
4.3-§. Pressure in slope sectional views at tensionings or compression of a rod and the analysis .....	150
4.4-§. Pressure in slope platforms at a flat stress condition .....	153
4.5-§. The main pressure and principal strains .....	155
4.6-§. Extreme tangent lines of pressure .....	157
4.7-§. The Mohr's circle .....	159
4.8 §. A volume stress condition .....	164
4.9-§. The generalised Hook's law. Expression of components of pressure through deformation components .....	171
4.10-§. Durability theories .....	175
Problems .....	190
Keywords .....	202
Questions of the test .....	203
 <b>5-chapter. Shift .....</b>	225
5.1-Poniyatie about deforming the shift .....	225
5.2-Pressure and deformation at shift .....	226
5.3-The Law Guka. Zavisomosti between module G, E, and? Bounce .....	227
5.4-Practical determine design, working at shift .....	229
Problems .....	237
Keywords .....	246
Questions of the test .....	247
 <b>6-chapter. Geometric features of the flat sections .....</b>	253
6.1-General information .....	253
6.2-Steady-state moments of the sections .....	254
6.3-Moment to inertias of the flat sections .....	255
6.4-Moment to inertias simple sections .....	257
6.5-Moments inertia flat sections under parallel carrying the axes .....	260
6.6-Moments to inertias in a complicated way-flat sections .....	262
6.7-Moments enerce at tumbling of the coordinate axes of the flat .....	263
6.8-Main moments to inertias and main to axis to inertias of the flat sections .....	265
6.9-The Radius to inertias of the flat sections .....	268
Problems .....	269
Keywords .....	290
Questions of the test .....	290

<b>7-chapter. Torsion .....</b>	<b>297</b>
<b>7.1-Torsion direct Bay with round section .....</b>	<b>297</b>
<b>7.2-Turning moment and building their graphic .....</b>	<b>298</b>
<b>7.3-Determination of the voltages and corner of the twisting in sections         of the gross .....</b>	<b>300</b>
<b>7.4-Calculation gross on toughness and acerbity .....</b>	<b>305</b>
<b>Problems .....</b>	<b>308</b>
<b>Keywords .....</b>	<b>315</b>
<b>Questions of the test .....</b>	<b>316</b>
<b>Glossary .....</b>	<b>323</b>
<b>Literature .....</b>	<b>332</b>

## **Mualliflar:**

**Alisher Qodirqulovich Usmonqulov,**  
*texnika fanlari doktori, professor*

**Kubaymurat Ismayilov,**  
*texnika fanlari doktori, professor*

**Oqbo'ta Karimovich Adilov,**  
*texnika fanlari nomzodi, dotsent*

**Sherzod Rustamkulovich Yaxshiboyev**

## **MATERIALLAR QARSHILIGI**

*(Oliy o'quv yurtlari uchun o'quv qo'llanma)*

### **1-QISM**

Мухаррир *Д. Минебоева*  
Бадиий мухаррир *А. Мамасонев*  
Мусаххих *И. Суонов*  
Саҳифаловчи: *А. Қайимов*

**“MASHHUR-PRESS NASHRIYOTI”**  
Нацриёт лицензияси № А1 282. 11.01.2016

100129, Тошкент, Марказ-15. 1/90-йй.  
e-mail: mashkhur-press@mail.ru

Босишига 2018 йил 7 декабря руҳсат этилди. Бичими 60x84  $\frac{1}{16}$ . Офсет босма.  
«Cambria» гарнитураси. Шартли босма табоги 19,96.  
Алади 500 дона. Буюртма № 40

«MASHHUR-PRESS NASHRIYOTI» МЧЖ  
матбаа бўлимида офсет усулида босилди.